

MINISTERUL EDUCATIEI SI INVATAMANTULUI
INSTITUTUL POLITEHNIC "TRAIAN VULIA" TIMISOARA
FACULTATEA DE MECANICA

MIRCEA A. TANAS

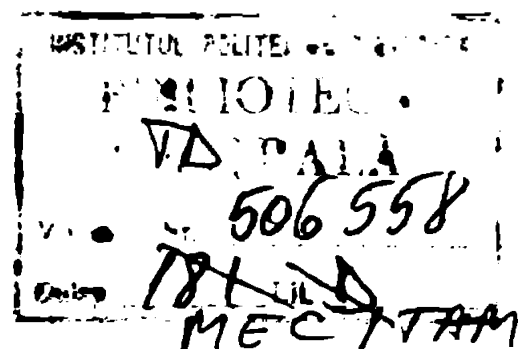
STUDIUL EXPERIMENTAL SI TEORETIC AL PIERDERILOR
HIDRAULICE IN TRANSFORMATOARELE HIDRODINAMICE.

teză de doctorat.

COMISIUNEA STIINTEFICĂ
ACAD. PROF. DR. DOC. INFERIAN ANTON

BIBLIOTECA CENTRALA
UNIVERSITATEA "POLITEHNICA"
TIMISOARA

TIMISOARA 1965



**Pierderea celor dobândite e mai
chinătoare decât nedobândirea lor.
(Prabodhachandraya)**

CUVÎNT ÎNALTE.

Setea de perfecțiune se naște odată cu omul și se manifestă, uneori violent, în cele mai diverse domenii ale vieții, fiind cauză eficientă a progresului. Nostalgia mașinii ideale a însoțit întreaga istorie a științei, ruinând pe cei ignoranți și impulsivii și pe cei lucizi, tendința spre stabilitate entropică, obținerea motorului ideal al lui Aristotel, fiind țeluri pe care tehnica actuală le-a înglobat fără șovăire în programul ei, transmutând visurile inconsistente în strategii raționale și realiste de micșorare a pierderilor energetice și creștere a eficienței sistemelor fizice.

Lucrarea de față se vrea o contribuție modestă în lupta de stăpânire a acestor pierderi energetice, considerând că la ora actuală, mai mult ca oricând, cunoașterea căilor de reducere a energiei pierdute în orice proces de transformare este de o importanță deosebită, iar domeniul mașinilor hidraulice este exemplar în această privință.

Trebuie să subliniem însă că, fără sprijinul continuu și sfaturile profesionale, pedagogice și părintești ale Academieiului Ioan Anton această lucrare nu s-ar fi realizat și ne grăbim și pe această cale să-i mulțumim în mod special. Atmosfera sănătoasă, de emulație științifică și ajutor binevoitor, aparținând Școlii Politehnice din Timișoara a fost de un mare folos, pentru care ne exprimăm profunda grațitudine. Mulțumim, de asemenea, tuturor colegilor care, prin discuțiile purtate, au contribuit la consolidarea părții teoretice. Ne exprimăm recunoștința față de colegii și personalul muncitor ce și-au adus aportul la realizarea stațiunii experimentale și a aparatului de măsură. În același timp, mulțumim familiei pentru ajutorul și răbdarea acordată, la diverse nivele și pe diverse căi. Cîrul mulțumirilor dovedește, dacă mai era nevoie, că această lucrare, cu oricare altă, nu poate fi considerată o creație particulară, individuală, ci ea este produsul unui cumul de factori, mai mult sau mai puțin vizibili și cunoscuți, fiind în fond o consecință a condițiilor spirituale și materiale oferite de țară, și în mod firesc, odată elaborată, lucrarea se întoarce la sursa ce i-a provocat apariția, fiind închinată folosului țării și reprezentînd, sperăm, un răspuns pe măsura sprijinului primit, iar dacă ea a reușit să deschidă un drum viabil pentru analiza pierderilor hidraulice în turbomașini, scopul propus în lucrare a fost, credem, atins.

CUPRINS.

Capitolul I. Probleme generale.	p.7
1.1. Importanța cunoașterii bilanșului energetic la transformatoarele hidrodinamice.	p.7
1.2. Complexitatea curgerii în transformatoarele hidrodinamice.	p.9
1.3. Calculul pierderilor hidraulice în turbotransformatoare.	p.14
1.4. Necesitatea studiului curgerii în conducte rotitoare și curbate.	p.16
1.5. Efectele curburii și rotației asupra pierderilor hidraulice în conducte și canale.	p.19
Capitolul II. Model teoretic al curgerii laminare în conducte curbate rotitoare.	p.33
2.1. Ecuațiile fundamentale ale mișcării.	p.33
2.2. Pierderile hidraulice în conducte drepte rotitoare.	p.37
2.3. Pierderile hidraulice în conducte curbate fixe.	p.45
2.4. Pierderile hidraulice în conducte curbate rotitoare	p.54
Capitolul III. Model teoretic al curgerii turbulente în conducte curbate sau rotitoare.	p.63
3.1. Pierderile hidraulice în conducte drepte rotitoare.	p.63
3.2. Pierderile hidraulice în conducte curbate fixe.	p.80
3.3. Debitnetrul cot.	p.90
Capitolul IV. Determinarea experimentală a pierderilor hidraulice în conducte rotitoare.	p.93
4.1. Cercetări experimentale pe plan mondial.	p.93
4.2. Stațiunea experimentală LAMT.	p.112
Capitolul V. Analiza rezultatelor experimentale.	p.127
5.1. Prelucrarea datelor experimentale.	p.127
5.2. Rezultatele experimentale pentru cazul conductei rotitoare.	p.136
5.3. Rezultatele experimentale pentru cazul canalului rotitor.	p.143
5.4. Asupra aplicabilității rezultatelor la evaluarea pierderilor în magistrale hidraulice.	p.169
Capitolul VI. Concluzii.	p.175
6.1. Concluzii generale.	p.175
6.2. Contribuții originale.	p.178
6.3. Perspective.	p.181
Bibliografie.	p.193

CAPITOLUL I -

PROBLEME GENERALE.

1.1. Importanța cunoașterii bilanțului energetic la transforma- toarele hidrodinamice.

Producerea energiei electrice în condiții optime și cu pierderi minime, reprezintă la ora actuală o condiție esențială pentru dezvoltarea societății moderne a cărei civilizație se bazează în mod hotărâtor pe consumul și transformarea energiei electrice, precum și a celorlalte forme de energie.

În țara noastră, programul deosebit de dezvoltare a economiei naționale, implică în toate domeniile o utilizare cu maximă de eficiență a energiei, garanție a promovării unei înalte tehnicități în toate ramurile industriale, contribuind nemijlocit la ridicarea gradului de civilizație și bunăstare a poporului român.

O componentă energetică de bază este fără îndoială energia hidrolică, apa fiind în viața umanității terestre un element indispensabil, atât omului, cât și planetei noastre conținând 70% apă. La ora actuală, realizarea unor mașini hidraulice de mare eficiență, care să permită o prelucrare optimă a energiei hidraulice, apare ca o problemă de înaltă importanță pentru specialiștii hidraulicieni, cu atât mai mult, cu cât, domeniul de utilizare al mașinilor hidraulice și pneumatice este deosebit de vast și fie producătoare, fie consumatoare de energie electrică, aceste mașini vor trebui să se caracterizeze printr-o funcționare avantajoasă, proiectarea lor având în centrul atenției realizarea unor randamente deosebite și evitarea pierderilor energetice. În acest context, transformatoarele hidrodinamice de diferite tipuri, fie prin modul lor de funcționare, cuprind o dublă transformare energetică, iar prin vastitatea și varietatea posibilităților de utilizare în diversele ramuri economice, se evidențiază că mașini hidraulice foarte căutate, reprezintă un domeniu unde problema reducerii pierderilor energetice se pune cu stringență. Dacă ținem seamă că tipul cel mai complicat de pierderi îl constituie pierderile hidraulice din rotorii turbomașinilor, iar transformatoarele hidrodinamice au în alcătuirea lor rotorii de pompă și de turbină, precum și rețele de palete fixe, este ușor de înțeles cât de însemnată devine, la aceste mașini, cunoașterea corectă a bilanțului energetic. Mai mult, dacă se elucidază problema pierderilor hidraulice în turbotrans

formatoare, soluțiile obținute se pot evident extinde la pompe și turbine hidraulice, rezultatele fiind general valabile și cazul turbotransformatoarelor fiind exemplar pentru întreg domeniul mașinilor hidraulice.

Pierderile energetice constituie un factor hotărâtor la selectarea turbotransformatoarelor și a mașinilor hidraulice în general, aici la ora actuală fiecare zecime de procent al randamentului coastează foarte mult și atunci, se impune un program complex de selecție a variantei optime. Din aceste motive, la realizarea unei mașini hidraulice de înaltă eficiență se desfășoară o activitate experimentală deosebită, căci pentru niște condiții date se proiectează un șir de variante, care se execută sub forma de modele experimentale și se încearcă apoi în laborator, departajându-se prin ponderea pierderilor energetice și determinându-se astfel varianta optimă ce se va realiza după aceea ca mașină industrială. O astfel de selecție se bazează deci, pe cunoașterea pierderilor energetice, respectiv al bilanțului energetic ce caracterizează din acest punct de vedere eficiența cu care are loc în mașină transformarea energiei hidraulice, adică transferul energetic pe paleta rotorică.

De aceea, o proiectare judicioasă presupune în primul rând determinarea bilanțului energetic din mașina hidraulică, o analiză amănunțită a acestuia și apoi modificarea în consecință a proiectării pentru a se obține o soluție optimă. Mai mult, cunoașterea bilanțului energetic și deci a tuturor tipurilor de pierderi ce intervin în funcționarea turbotransformatoarelor și a mașinilor hidraulice în general, permite proiectantului stabilirea unei metode de selecție a variantei optime /155/, /156/, /157/, /10/, /11/, dintr-un șir mare de variante obținute, fie cu aceeași metodă de proiectare, fie cu metode diferite. Ori, în zilele noastre, când calculatorul electronic a deschis perspective și posibilități colosale aplicării metodelor teoretice cele mai complicate, când tezaurul teoretic al hidrodinamicii este explorat și revitalizat cu metode matematice moderne, cercetarea teoretică, cu aplicarea acesteia la proiectarea mașinilor hidraulice și studiul caracteristicilor acestora prezintă avantaje de netăgăduit. Atunci, pe bună dreptate, se pune întrebarea: pentru ce, cercetare experimentală?

1.2. Complexitatea curgerii în transformatoarele hidrodinamice.

Curgerea în turbotransformatoare (fig.1.1,1.2) și în special în canalele interpaletare ale rotorilor radiali și radiali-axiali este una dintre cele mai complexe mișcări în domeniul ingineresc al mecanicii fluidelor /6/. Această curgere poate avea un caracter puternic tridimensional datorită efectelor rotației și curbării canalului interpaletar și într-adevăr, în cazul rotorilor mașinilor hidraulice apar două categorii fundamentale de parametri ce determină complexitatea spectrului hidrodinamic: pe de o parte, forma geometrică a canalului interpaletar, dublu curbat în spațiu, cu secțiuni patrulatere variabilă de-a lungul firelor de curent, iar pe de altă parte, canalul se află în mișcare de rotație, astfel că ecuațiile de mișcare se raportează la sistemul de referință neinertial.

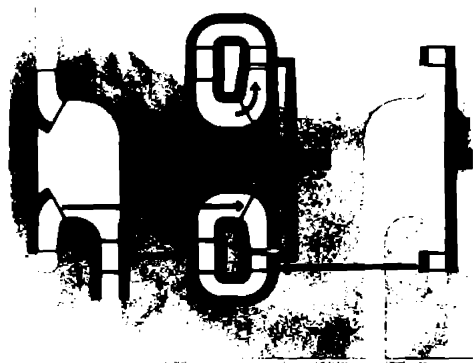


Fig.1.1

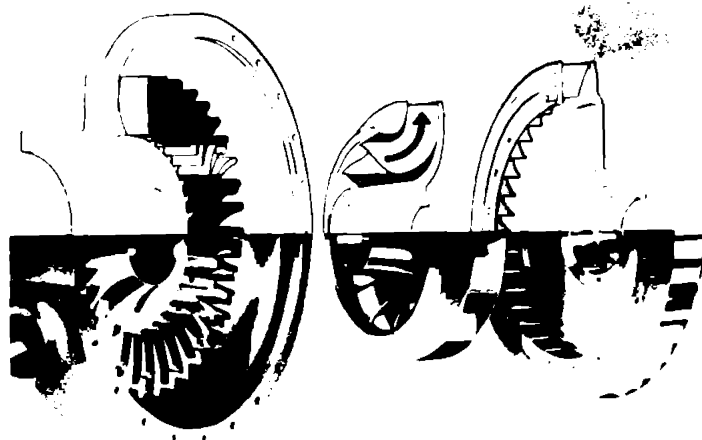


Fig.1.2

În turbotransformatoare, curentul de lichid, sau torul de lichid (fig. 1.3), are o mișcare complicată: el se mișcă de la rotorul de pompă spre cel de turbină, în sensul indicat de săgeți, deci o particulă de lichid se rotește în jurul unei axe toroide O_2 , pe o traiectorie ce depinde de forma profilului circuitului (reprezentat de secțiunea hășurată) și în același timp particula de lichid se rotește și pe un cerc cu centrul pe axa O_1O_2 - axa arborilor turbotransmisiei, ambele mișcări depinzând de turațiile arborilor, primar și condus, mișcarea rezultantă a lichidului fiind o mișcare elicoidală, afectată de rotație, curbură și interacțiunea rețelelor tandem.

Curgerea, în general, în canalele interpaletare rotorice este turbulentă, ori structura turbulentă a curentului este puternic influențată de efectul forțelor Coriolis ce apar datorită rotației, producându-se fenomene de stabilizare și destabilizare a stratului limită

turbulent pe fețele canalului, formându-se zone de desprindere și de stagnare ale fluidului, în funcție de sensul de rotație unele

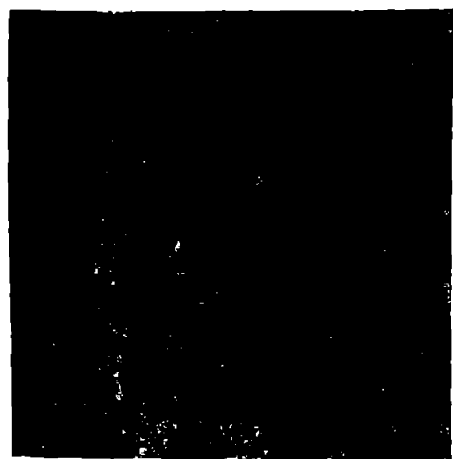


Fig. 1.3

cercetări experimentale recente /Rothe, P., J.F. Johnston, Free Shear Layer Behavior in Rotating Systems, ASME, 3, 1979/ de pildă, arată că și în cazul desprinderii, ca și la curgerea obișnuită în canale rotitoare, rotația influențează în mod similar, rotația destabilizatoare reducând distanța de rasturare a curenților liberi, iar rotația stabilizatoare crescând-o. (Fig. 1.4, 1.5). Curbura canalului intervine prin intermediul forțelor centrifuge al căror efect

se suprapune peste cel al forțelor Coriolis, contribuind în sens negativ sau pozitiv asupra structurii curenților; să adăugăm faptul că, forma de difuzor a canalului complică și mai mult problema.



Fig. 1.4

În afara influenței asupra mecanismului turbulenței în general și asupra desprinderii stratului limită turbulent în special, rotația dă naștere unei importante mișcări secundare, care se suprapune peste curgerea

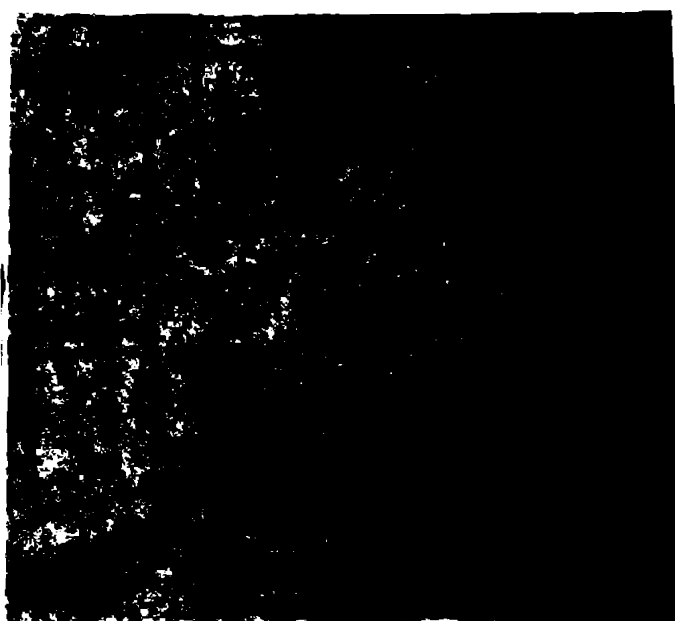


Fig. 1.5

principală din canal, provocând distorsionarea puternică a curenților, a cimpului de viteze și presiuni, distribuția de viteze fiind total modificată față de cazul canalului staționar. În Fig. 1.6 și 1.7 Lohmeyer/34/ prezintă distorsionarea liniilor de egală viteză datorită rotației (numărul Strouhal fiind aici $St = \omega r / w$). De asemenea, curbura canalului conduce la apariția unei mișcări secundare datorate forțelor centrifuge, care

se suprapune peste curgerea secundară datorată forțelor Coriolis, compunerea celor două mișcări producând o resultantă dificil de evaluat și esențială în mecanismul pierderilor hidraulice din canalul rotoric interpaletar; să adăugăm că forțele și efectele viscozității pot fi un element modificator important în generarea curgerii secundare, la fel ca și curenții ce intră în canalul rotoric dintr-un canal adia-

cent, iar dacă câmpul accelerației Coriolis și centrifuge este variabil, efectele asupra curgerii se complică și mai mult./135/.

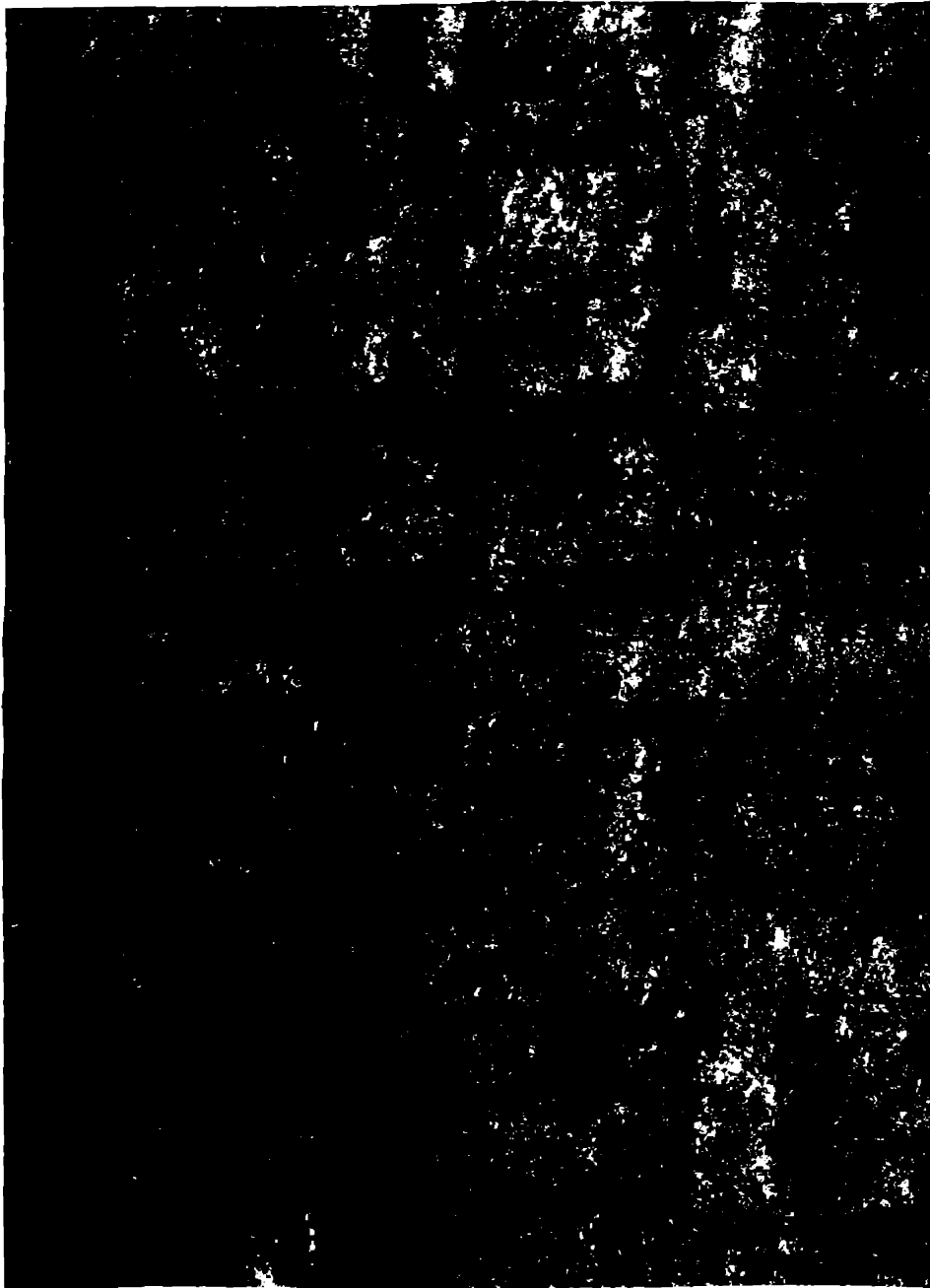


Fig.1.6



Fig.1.7

Rotăția și curbura influențează curgerea în difuzor, modificând-o în mod drastic./120/,/135/.

Așa cum spune Watanabe /10/, modelul curgerii în canalul rotorice este cea mai importantă problemă în cercetarea și proiectarea mașinilor centrifuge, performanțele rotorului depinzând de distribuția curentului la ieșire, adică spre deosebire de curgerea potențială care se mai consideră în calcule, mișcarea din canalul interpaletar, curgerea reală prezintă vorticități, asociate cu zone de stagnare și de asemenea apare fenomenul de diră care este de fapt alimentat de mișcările secundare și se formează în urma desprinderii curentului, desprindere care desigur depinde de istoria anterioară a curgerii; Compararea distribuțiilor de viteză dintr-un rotor centrifug /9/, calculate în ipoteza curgerii potențiale (fig.1.8), cu cele obținute experimental (fig.1.9) reflectă diferențele dintre teorie și realitate.

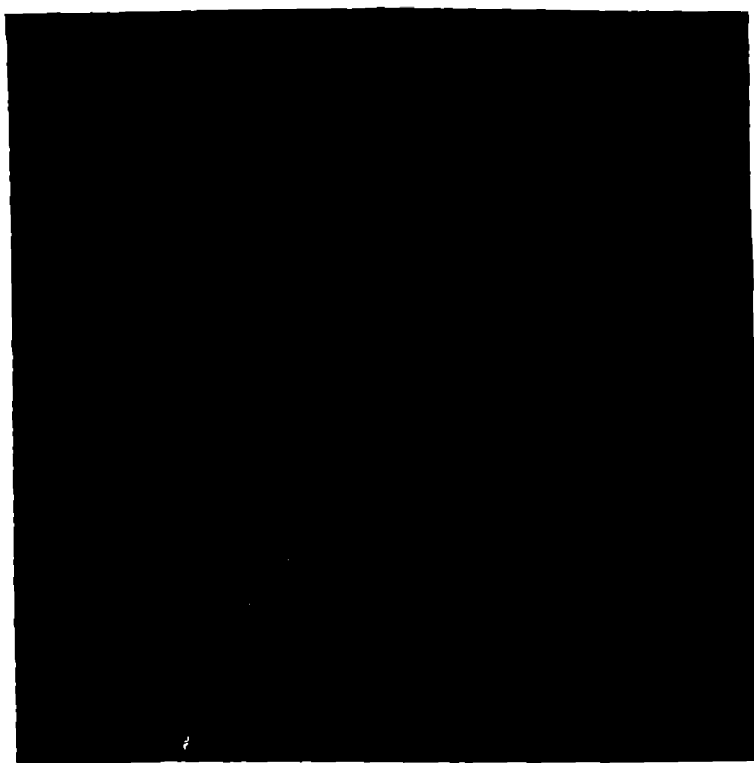


Fig.1.8

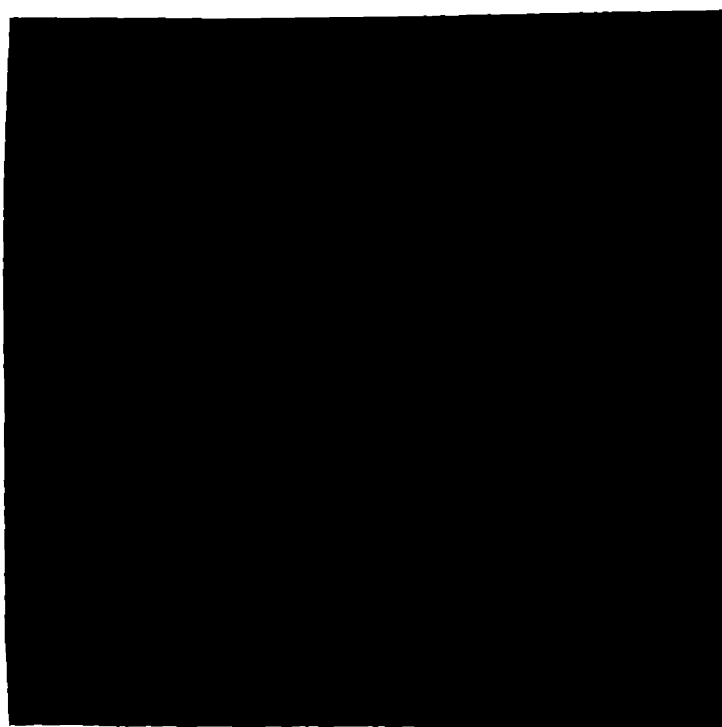


Fig.1.9

Studiile experimentale ale lui Elbing /37/ asupra unui canal rotorice arată sugestiv spectral turbulenței (fig.1.10), distribuția pierderilor energetice (fig.1.11) și a vitezei relative (fig.1.12), confirmând complexitatea mișcării turbulente sub efectele rotației și curburii.

De fapt, dacă până nu demult o cunoaștere globală a curgerii în turbotransformatoare și în general, în mașinile hidraulice, era suficientă pentru calculul și proiectarea acestora, la ora actuală când se urmărește obținerea unor rotoare cu eficiență maximă și cu investiții rezonabile /74/, când se caută stabilirea unor previziuni cât mai precise asupra desfășurării proiectării, este absolut necesară cunoașterea detaliată a curgerii în canalele interpaletare. /112/, /63/. Ori, faptul că în aceste mașini curgerea este atât de complexă, fiind vâscosă, nepermanentă și tridimensională, a făcut ca modelele matema-

tice existente să nu poată descrie fenomenul real, abia în ultimul timp elaborându-se metode teoretice care încearcă să modeleze fenomenele complexe, ținând cont de efectele rotației și geometriei canalului, fără însă să reușească o modelare completă, ceea ce conduce desigur la discrepanțe între rezultatele teoretice și datele reale și atunci, singura soluție de-a determina corect performanțele mașinii hidraulice este cercetarea experimentală, încercările de laborator constituind și în prezent fundamentul oricărei cercetări din domeniul mașinilor hidraulice,

Indispensabilitatea cercetării experimentale nu implică însă renunțarea la modelarea teoretică a fenomenului real ci din contra, conduce la îmbinarea armonioasă a celor două căi, un model teoretic adecvat permițând o selecție primară a celor mai bune variante de rotor, iar încercările experimentale fiind utilizate pentru o selecție de finețe în vederea determinării variantei finale economisindu-se manoperă, timp și bani; de altfel chiar în cadrul cercetării experimentale, recent s-a introdus metoda experimentului factorial, de selecție rapidă prin determinarea matematică a direcției privilegiate, a variantei optime, metodă ce se aplică foarte bine la turbină transformatoare/154/.

Configurația hidrodinamică a curgerii în rotorii turbo-transformatoarelor și ai mașinilor hidraulice în general fiind atât de complexă, este normal ca acest lucru să se reflecte și asupra pierderilor hidraulice, ele fiind influența



Fig. 1, 10

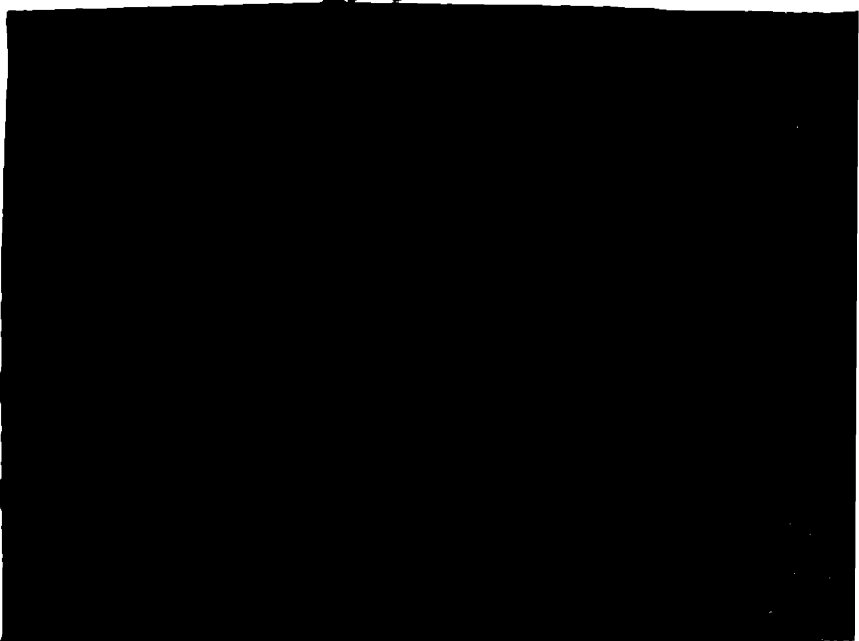


Fig. 1, 11



te în mod analog, de aceeași natură care determină pierderile hidrodinamice și spre deosebire de cazul curgerii într-o conductă dreaptă fixă, în canalele rotative pierderile hidraulice se modifică și cresc datorită efectelor rotației și curburii canalului, mișcările secundare contribuind îndeosebi la mărirea valorii pierderilor hidraulice. Determinarea pierderilor hidraulice în canalele rotative

Fig.1.12

interpaletare este strâns legată de cunoașterea distribuției de viteze sau presiuni, respectiv de înfățișarea curgerii în aceste canale, calculul teoretic al pierderilor fiind o problemă complicată, dar de mare interes, având în vedere faptul că evaluarea cât mai corectă a bilanțului energetic permite o proiectare optimă a mașinilor hidraulice.

1.3. Calculul pierderilor hidraulice în turbotransformatoare.

În general, determinarea bilanțului energetic la turbotransformatoare se bazează pe o contabilizare a tuturor categoriilor de pierderi, definite și exprimate în mod elastic, conform hidraulicii cunoscutelor fixe /3/, /45/, /66/, /66/, /115/, /138/, etc. Dar pierderile hidraulice în canalele rotative formează de fapt un tot unitar, un complex de interacțiuni, pierderea rezultantă ne fiind niciodată simpla sumă a pierderilor parțiale, definite ca la conducte fixe.

Deficiențele metodei au lăsat căutarea altor căi și am putea spune că, la ora actuală, s-au conturat clar două metode distincte:

-metoda "exterioară", ce pornește de la caracteristicile de funcționare și geometria unor turbotransformatoare existente, stabilește pentru un anumit domeniu de existență, valorile unor coeficienți de pierdere globală; amintim aici rezultatele lui Nevrlj/116/ și Peligrad/123/ și subliniem că o astfel de metodă se poate extinde cu bune rezultate în întreg potențialul mașinilor hidraulice.

-metoda "interioară", ce se străduie să determine, pe baza principiilor mecanicii fluidelor, expresia generală a pierderilor hidraulice, ținând în special cont de teoria straturii limită și prezentând avantajul cunoașterii mecanismului întreg al curgerii, precum și cel al validității generale și această metodă fiind compatibilă cu întreg dome-

nial mijurilor hidraulice. Mijenko /107/, /108/, realizează o sinteză prezentând metodele lui Kořianaki, Speidel, Stepanov, Markov, de calcul al pierderilor hidraulice în rețelele turbomacinelor, pe baza considerării stratului limită. La Fel Lvov /106/ și alții, pe baza unor date experimentale asupra stratului limită în rețele de profile, propune relații de calcul al pierderilor hidraulice în turbotransformatoare.

Din păcate, toate aceste metode de estimare a pierderilor hidraulice în canalele interpaletare ale turbomacinelor, pe baza calculului stratului limită laminar sau turbulent pe profil, în rețeaua de profile sau pe suprafața paletelor, prezintă trei deficiențe grave:

- nu țin cont de rotația canalelor interpaletare,
- nu țin cont de curbura paletelor și circuitului
- nu țin cont de diferența ce există între curgerea în cazul profilului singular, rețelei de profile, sau suprafeței paletelor și cazul real din mașină al curgerii în canalul rotoric (efectul canal)

Un prim pas în direcția remedierii acestor deficiențe îl constituie cercetările experimentale ale lui Tomo-O-Ishihara /87/, asupra unor rotoruri de turbotransformatoare de tipul Trilok, în urma cărora s-au determinat aproximativ variațiile coeficientului de frecare, în funcție de numărul Reynolds, pentru diferite rotații ale rotorului

Deși Tomo-O-Ishihara n-a studiat turbulența în canale, relația obținută empiric pentru coeficientul de frecare are forma similară cu cea dată de Blasius, însă a apărut dependența de rotație în formulă, cum ar fi fost corect pentru cazul canalului rotitor. (fig. 1.13). Tot în domeniul turbotrans-

formatoarelor în /45/, utilizându-se rezultatele lui Junglaus /82/, se prezintă valorile pierderilor hidraulice pe baza calculului stratului limită laminar, ținând cont de rotație, fără însă a se reuși stabilirea unei aprecii utile pentru coeficientul de pierdere și a unei metodologii generale de calcul. Un studiu interesant asupra influenței rotației, sau curburii canalului, cu aplicații la mașinile radiale și considerând mișcarea secundară, este realizat de

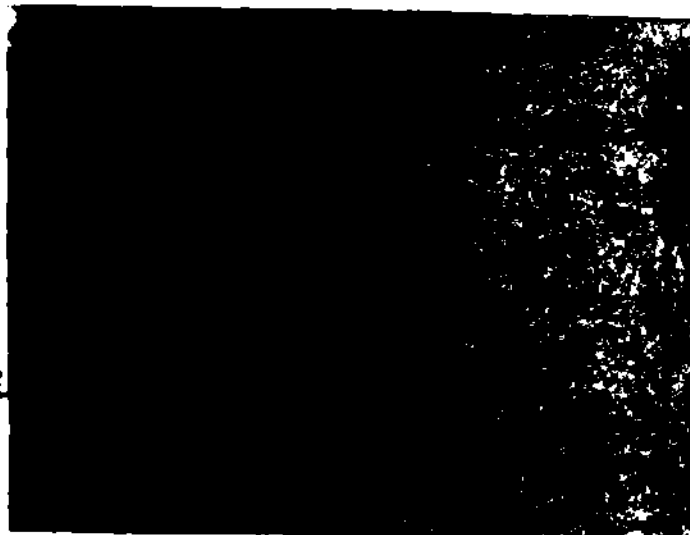


Fig. 1.13

Vill /17/, dar fără a depăși problemele de ordin general. Skarbul /146/, /147/, în schimb prezintă pentru canalele rotitoare ale mașinilor radiale o metodă de rezolvare a ecuațiilor de mișcare în regim turbulent, cu considerarea rotației, prin integrarea acestora și utili-

zarea a presiiei da la placa dreptă fixă pentru tensiunea la perete. Călea uzantă de Ekharbul este de altfel, cea mai des utilizată de cercetători pentru studiul turbulenței în canale rotitoare.

După cum se știe, rotația provoacă în canale apariția mișcării secundare, mișcare ce cauzează disipații suplimentare. Korçin /91/ analizează teoretic această mișcare secundară pentru canalele maginilor radiale, obținând în final, în paralel cu Johnson /73/, ecuațiile ce descriu turbionul secundar, expresia vitezei mișcării secundare și a pierderilor hidraulice, datorate acestei mișcări, observându-se că ele depind de numărul Rossby, număr rotațional, definit ca $Ro = V/q2r$, pierderile crescând cu scăderea lui Ro, adică cu creșterea rotației canalului. (fig. 1.14), dar Korçin nu reușește să obțină expresia generală a pierderilor.

Este poate momentul de-a se sublinia deficiențele metodelor clasice de calcul al pierderilor hidraulice în canalele interpaletare ale turbomaginilor metode ce considerau în mod separat fiecare tip de pierdere, evaluate prin analogie cu rezultatele obținute la canale și conducte fixe, sau coturi și difuzoare, însumându-se apoi toate aceste pierderi în mod artificial. De aceea deși Korçin, considerând rotația canalului, estimează just apariția unor disipații suplimentare datorită mișcării secundare, face aceeași greșală de-a se

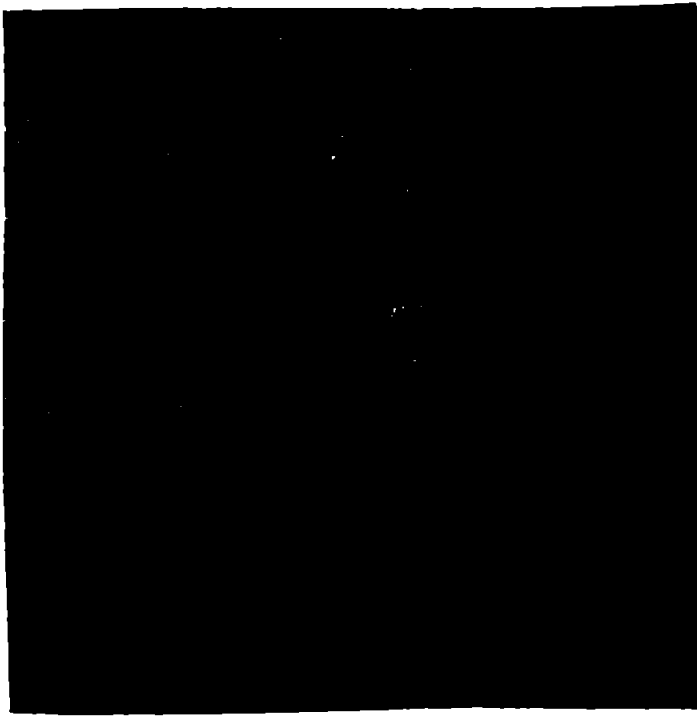


Fig. 1.14

separa artificial aceste pierderi de contextul general al curgerii.

Singura cale corectă este de-a utiliza ecuațiile de mișcare aplicate la condițiile date, obținându-se în final, prin soluționarea acestora, expresia generală a coeficientului de pierdere hidraulică, expresie ce înglobează în mod firesc efectele tuturor condițiilor inițiale (mișcare secundară, rotație, curbura, turbulență).

1.4. Necesitatea studiului curgerii în conducte rotitoare și curbate.

Spre deosebire de pierderile hidraulice din conductele sau canalele staționare, unde metodică de calcul este destul de bine pusă la punct, în cazul rotoarelor turbotransmisțiilor și al maginilor hidraulice în general, mișcarea de rotație a acestora, forma canalelor interpaletare de secțiune variabilă și curbate în spațiu, repartiția neuniformă a vitezei în secțiunea transversală a canalului, sînt cauzele unor pier-

deri hidraulice complexe, bazate pe fenomene de desprindere și vîrtejuri, mișcări secundare și turbulență. Datorită dificultăților deosebite de exprimare teoretică a pierderilor hidraulice din canalele rotative interpalețare, în literatura de specialitate se procedează de obicei la adaptarea relațiilor de calcul de la curgerea în conducte fixe, prin admiterea unor coeficienți de pierdere obținuți experimental /102/, ceea ce limitează însă metoda teoretică la niște cazuri particulare; defalcarea pierderilor hidraulice pe diverse categorii, considerându-se separat pierderile datorită schimbării de direcție, cele datorită variației bruste de secțiune, pierderi longitudinale, pierderi datorită mișcării secundare, pierderi în difuzor, conduce la o înșurubare artificială și cum are în experiența o astfel de ipoteză duce în cele mai multe cazuri la o substanțială divergență a rezultatelor teoretice cu cele experimentale. Un calcul corect, presupune considerarea teoriei stratului limită, și a curgerii secundare, și mai mult, avînd în vedere complexitatea curgerii din canalele rotative, nu se poate aborda direct problema pierderilor hidraulice din turbomășini, metodele teoretice trebuind a fi elaborate etapizat, plecînd de la cazul cel mai simplu spre cel mai complicat și în acest sens, se poate considera ca model primar al curgerii în canalul interpalețar, curgerea în conducte, dar depășind ideea calculării rezultatelor de la cazul staționar, și constituindu-se, întîi pentru regiul laminar, o metodă analitică generală, care utilizînd ecuațiile fundamentale ale mecanicii fluidelor, să țină cont, rînd pe rînd, în mod firesc, de efectele datorate curburii, rotației, și trecîndu-se apoi la regiul turbulent, prin adaptarea metodei la complexitatea cerută, obținîndu-se în final distribuțiile de viteză și pierderile hidraulice ca un rezultat logic. Lemmy /73/ de pildă, a utilizat cu succes analogia dintre curgerea în rotor și cea dintr-o conductă curbă difuzor, numită "curgere echivalentă din conductă", la proiectarea rotorilor centrifugali și această posibilitate de a considera curgerea în conducte rotitoare și curbate ca model al curgerii în turbomășini a deschis un câmp larg de investigație, constituind saltul calitativ necesar în trecerea de la metoda clasică a prelucrării rezultatelor de la conductele fixe drepte, la metoda studiului direct al efectelor rotației și curburii în curgerea prin canale, și fiind singura cale realistă de modelare a fenomenelor din rotorii turbomășinilor, pe baza căreia, mai apoi se putea aborda problema pierderilor direct în mașină.

Această cale, bătută încă de Adler /1/, și reluată de Ito /72/, a devenit fundamentală pentru toți cercetătorii ce s-au ocupat de cunoașterea fenomenului din rotorii turbomășinilor, în ultimii 10 ani, realizîndu-se progrese remarcabile în studiul teoretic și experi-

50658 1815

scutit al curgerii și pierderilor hidraulice din conducte curbate sau rotitoare, fără însă se elaboreze o metodă generală care să fie valabilă pentru condițiile specifice curgerii în rotorul turbinei și pompelor centrifuge și care să poată fi aplicată la calculul coeficientului de pierdere hidraulică pentru o gamă largă a valorilor curburii și rotației, indiferent de regiul de curgere, laminar sau turbulent. (în Fig. 1.15 se prezintă după [57] efectele curburii și rotației a) canal drept rotitor; b) canal curbat staționar; c) canal rotitor curbat). Rețelele de palete mobile și fixe ale



Fig. 1.15

valabile, care să permită pentru orice situație particulară, calculul pierderilor hidraulice indiferent de regiul de funcționare, să pună în evidență influența rotației și geometriei conductei asupra coeficientului de pierdere hidraulică, distribuției de viteză axiale și structurii turbulente a curgerii, rezultatele teoretice urmindă să fi verificate prin încercări experimentale, pe o stațiune capabilă să realizeze nu numai conducta curbă rotitoare, dar și un canal rotitor interpolat. Realizarea acestor deziderate ar constitui un pas impor-

turbotransformatoarelor sînt rețele radiale sau radial-axiale și osnale le interpaletare sau o configurație atît de complicată ca în cazul turbinelor Francis, ceea ce face ca aproximarea curgerii rotorii ce o curgere în conducte să fie posibilă și chiar de dorit.

Conform celor spuse mai sus, prezenta lucrare își propune o abordare a studiului și determinării pierderilor hidraulice din conducte curbate rotitoare, model absolut necesar pentru înțelegerea curgerii complete din rotorul turbomășinilor, urmîndu-se stabilirea unei metode teoretice general

tant în stăpânirea fenomenelor hidrodinamice complicate din turbomășini și ar permite, prin analogie, utilizarea rezultatelor la proiectarea mașinilor hidraulice în primul rând radiale, facilitând determinarea bilanțului energetic și deci controlarea metodei de proiectare, respectiv realizarea unei preselecții a variantelor optime.

Elaborarea unei metode teoretice de calcul al pierderilor hidraulice în conducte curbate rotitoare, impune evident o cunoaștere prea labilă detaliată a fenomenelor ce apar în astfel de cazuri, pentru a permite formularea unor ipoteze de lucru corespunzătoare, în vederea apropierei de curgerea reală și atunci, ca primă etapă este necesară o trecere în revistă a configurației curgerii hidrodinamice din conducte și canale curbate sau rotitoare, pentru a se putea detașa elementele esențiale de cele secundare și a se contura un model adecvat al curgerii.

1.5. Efectele curburii și rotației asupra pierderilor hidraulice în conducte și canale.

Mișcările secundare, cauzate fie de rotația canalului, fig.1.16, fie de curbura acestuia, complică mult curgerea turbulentă, transformând mișcarea clasică în așa zisa "curgere turbulentă complexă", după cum o denumește Bradshaw /24/, de aceea studiul experimental al mișcărilor secundare capătă o valoare deosebită.

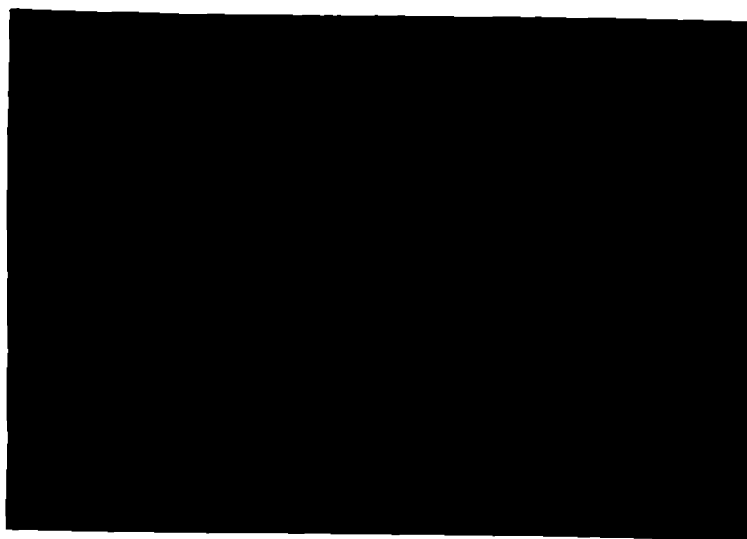


Fig.1.16

În acest sens sînt deosebit de interesante cercetările experimentale ale lui Lennesmann /63/, /103/, a cărui teză de doctorat tratează detaliat problema curgerii secundare în canale rotitoare, punîndu-se în evidență distribuțiile de viteză, fig.1.17, 1.18, 1.19, 1.20., cercetări relatate

in /62/ of epoi in /112/ (fig.1,21,1.22,1.23)

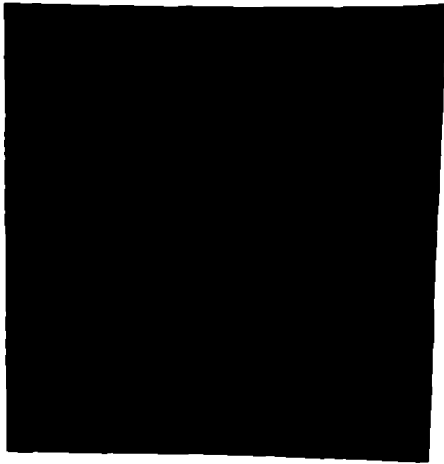


Fig.1.17

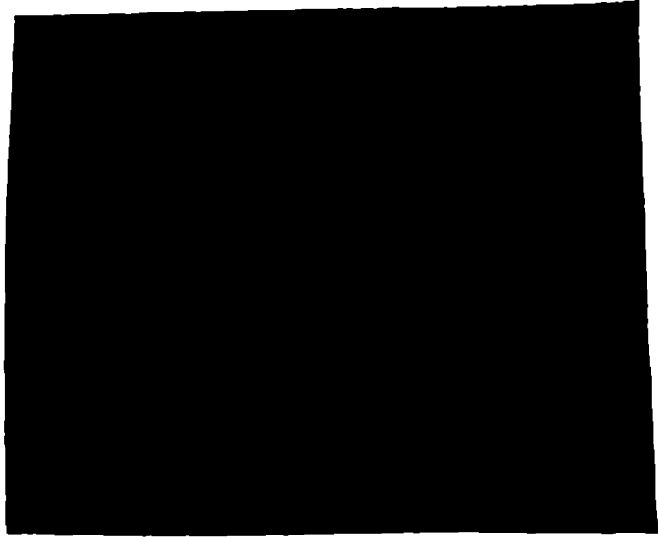


Fig.1.18

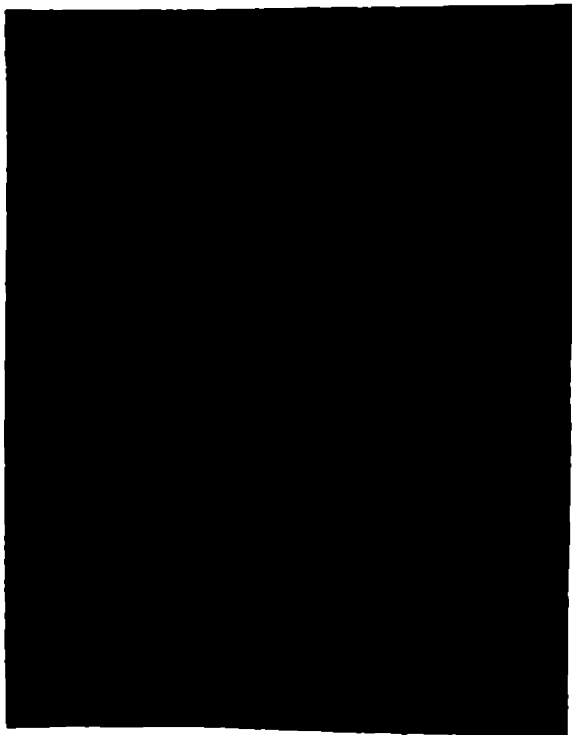


Fig.1.19

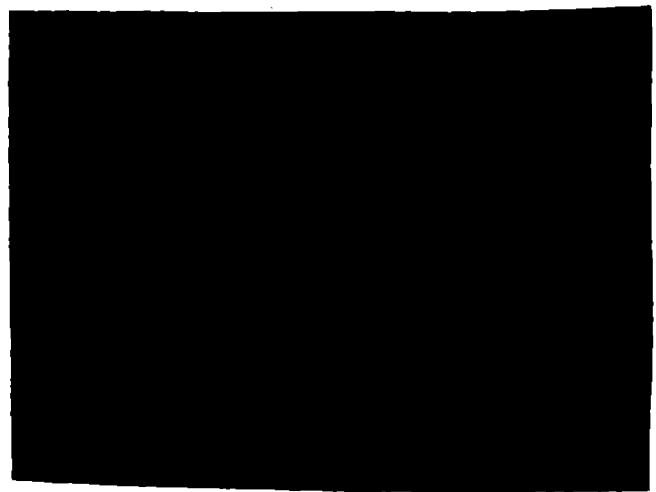


Fig.1.20

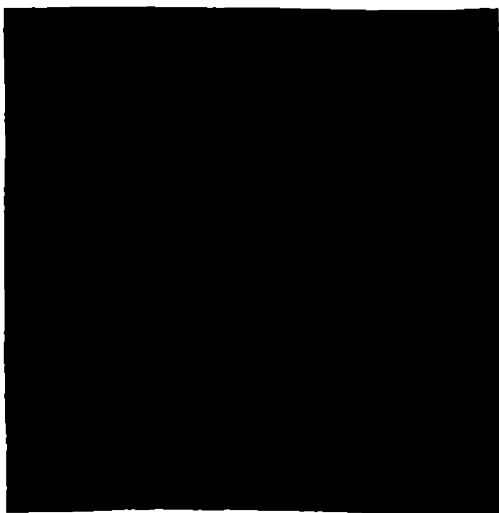


Fig.1.21



Fig.1.22

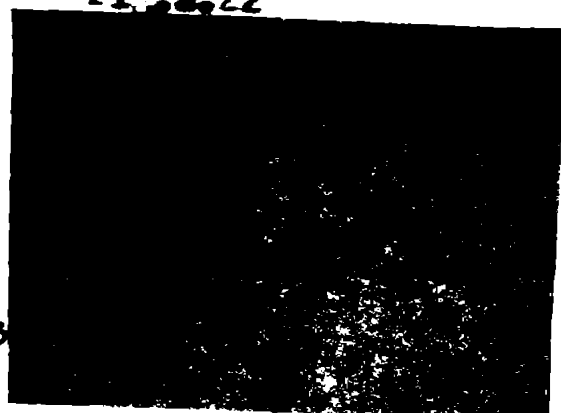


Fig.1.23

Toate aceste exemple atestă imposibilitatea aplicării rezultate lor de la canalele fixe și stratul limită turbulent de pe frontiera rigidă staționară, la cazul complicat al rotorilor turbomășinilor.

În acest context se consideră interesante cercetările lui B. Lakshminarayana, /96/, /4/, /5/, /50/, /53/, /95/ asupra curgerii turbulente în canalele elicoidale ale unor pompe-inductor pentru rachete, în prima etapă acesta studiind stratul limită turbulent pe o paletă elicoidală rotitoare, fig.1.24, și stabilind ecuațiile integrale, în care expresia tensiunii tangențiale este dată după Nagar:

$$\frac{\tau_0}{(\rho R)^2} = 0,01255 (R_{\theta_{11}})^{-1/4}, \quad R_{\theta_{11}} = \frac{\rho R \theta_{11}}{\nu}$$

$$\theta_{11} = \frac{1}{(\rho R)^2} \int_0^h u(\rho R - u) dz$$

expresie utilizată și de Skartul /146/

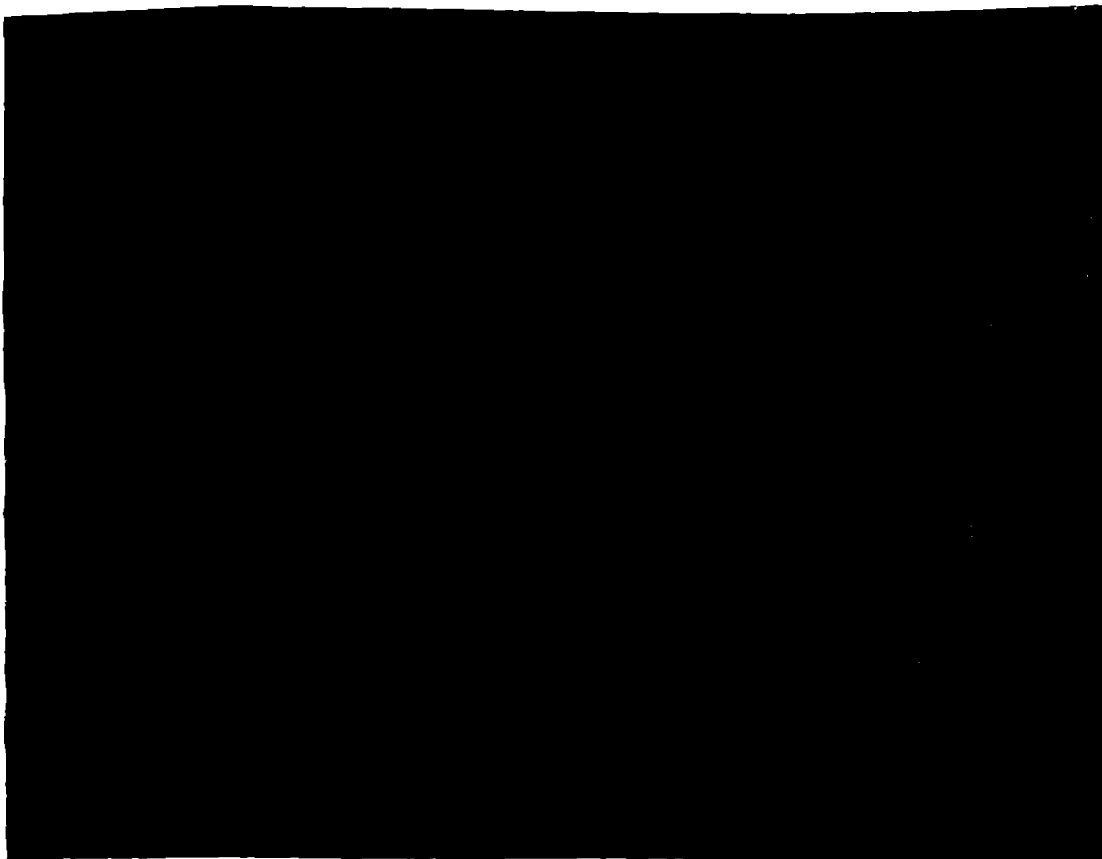


Fig.1.24

Ca o concluzie importantă, se arată că C_f , coeficientul de frecare experimental este mai mare (de 2 ori) decât în cazul plăcii staționare, el crescând cu turajia, fig.1.25, și deci trebuind să depindă și de un parametru al efectului de rotație, parametru definit ca raportul dintre forțele Coriolis și forțele inerțiale (la fel ca și în /34/):

$$R_o = \frac{2 \rho \omega}{\mu \left(\frac{\partial u}{\partial r} \right) / r} \sim \varepsilon \theta$$

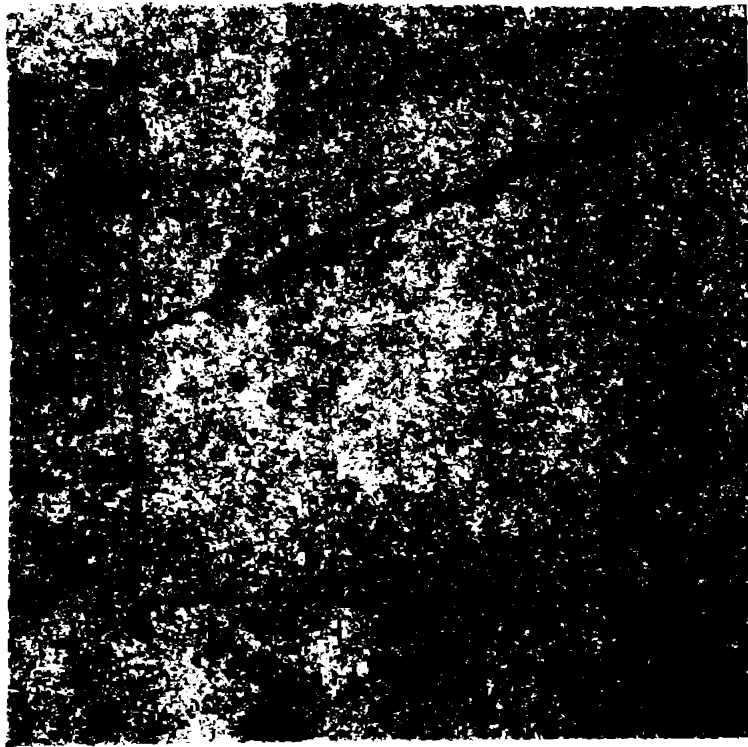


Fig.1.25

Dar, studiul stratului limită turbulent pe suprafața paletelor nu corespunde curgerii reale din turbomășini, deoarece nu se ține cont de "efectul canalului" și Iakubinarayana va studia în a doua etapă turbulența tridimensională, în canale elicoidale rotitoare, în investigațiile teoretice și experimentale relevând diferențe substanțiale între rezultatele de la paleta singulară și canal, ceea ce justifică îndreptarea cercetărilor spre conducte și canale rotitoare.

Față de canalul staționar intensitățile fluctuațiilor turbulente cresc, rotația având tendința de-a mări componenta tensiunii turbulente în direcția curentului și a micșora celelalte două componente, în timp ce curbura prezintă un efect contrar.

Studiile lui J. Moore pe canale rotitoare /109/ arată că rotația provoacă un gradient de presiune transversal, datorat forțelor Coriolis ce produc mișcări secundare; evoluția curgerii în canal apare similară cu cea din turbomășini: la debite scăzute, un vârtej apare pe partea de suprapresiune, în timp ce la debite mai mari, când vârtejul nu este prezent, stratul limită turbulent de pe partea de depresiune se îngroașă, trecând în formă de dîră largă. Forțele Coriolis au o dublă influență: micșorarea secundară cauzată, în direcție tangențială, de componentele forței Coriolis paralele cu suprafața peretelui și, structura turbulentă a stratului limită poate fi modificată de componentele Coriolis perpendiculare pe perete. Ca și J. Moore, Lohmann /98/ descrie curgerea în rotor, insistând asupra efectului stabilizator al mișcării secundare în cazul stratului limită de pe partea de cuprapresiune și destabilizator, asociat unei creșteri de grosime, în cazul stratului limită de pe partea de depresiune a canalului.

J.P. Johnston, întreprinde un amplu program de cercetări în vederea

studierii turbulenței în canale rotitoare, demonstrând în final/76/ că rotația cauzează schimbări de bază și complexe în structura stratului limită turbulent și în regiul de curgere. J.F. Johnston concluzionează și el că, dacă componentele Coriolis paralele produc migcările secundare, cele perpendiculare pe suprafața solidă produc efecte de stabilizare în structura însăși a turbulenței, acest al doilea efect fiind însoțit de trei fenomene conexe: (1) rotația poate modifica raportul dintre producția turbulentă și disipație și astfel modifică profilul energiei turbulente și profilele tensiunilor și vitezei medii transversale din stratul limită, analog cu efectele curburii semnalate de Bradshaw /23/; (2) rotația poate descrește tendința stratului laminar, instabil hidrodinamic, de-a suferi tranziția spre regiul turbulent, adică rotația poate anihila tranziția turbulentă; (3) rotația poate provoca în curgerea laminară în canale instabilități, inducând mari perturbații, de forma vorticităților Taylor-Gortler (fig.1.26)

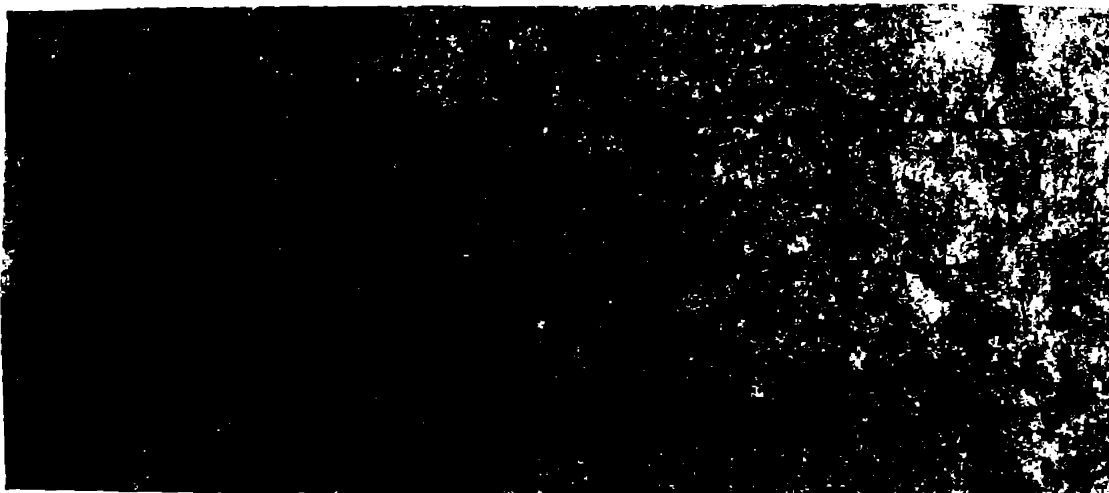


Fig.1.26

J.F. Johnston remarcă o creștere a producției tensiunilor turbulente și al lui $(-\overline{u'v'})$ pentru o rotație pozitivă ($q > 0$); dacă rotația este negativă, producția turbulentă scade. Pentru a caracteriza influența rotației asupra stabilității turbulenței Johnston utilizează un parametru adimensional, aproximat în final cu numărul Richardson, utilizat de Bradshaw:

$Ri = -2q / (\partial \bar{u} / \partial y)$, arătând după Lesius (1971) că stabilitatea există când $Ri > 0$, iar instabilitatea când $Ri < 0$.

Desigur, trebuie menționat aici că Johnston se referă la stabilitate din punct de vedere al turbulenței, pe când J. Moore și Lohman studiază stabilitatea stratului limită din punct de vedere al desprinderii acestuia și deci, dacă partea de suprapresiune a canalului este mai stabilă în privința desprinderii, separația având loc pe partea de depresiune, din contra, din punct de vedere al turbulenței

partea stabilă este cea de depresiune. Rezultatele experimentale ale lui Johnston, cantitative și calitative (vizualizări) pun în evidență trei zone: stabilă ($Re > 0$), instabilă ($Re < 0$) și neutră ($Re = 0$), fig. 1.27

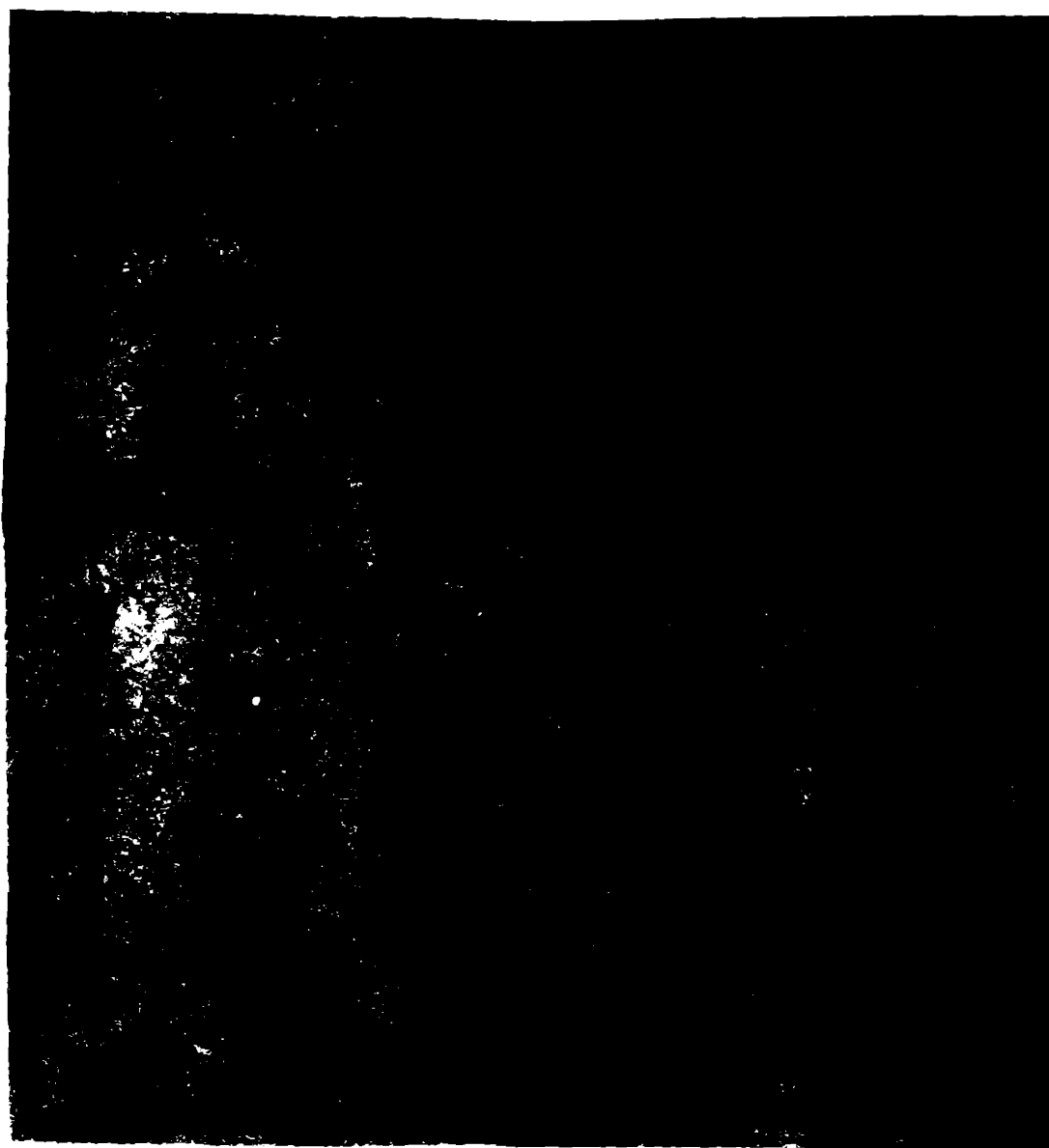


Fig. 1.27

În regiunea stabilă se confirmă experimental scăderea producției turbulente, a tensiunilor turbulente și a viscozității aparente (fig. 1.28, secundară de o tendință de laminarizare a stratului limită, însoțită de apariția unei zone de producție negativă a energiei turbulente. În regiunea instabilă crește producția turbulente, viscozitatea aparentă ϵ , realizându-se o instabilitate de tip Taylor-Görtler, dar apare și un mecanism de limitare a creșterii tensiunilor turbulente, datorită vorturilor turbionare.

Alături de rotație, efectele curburii conduc la rezultate similare și J. L. Johnston studiază efectele combinate ale rotației și curburii /75/ asupra stratului limită turbulent, arătând că efectele curburii și rotației asupra structurii turbulente și modul în care aceste efecte modifică tensiunile tangențiale turbulente sînt mult

mai importante decât efectele explicite introduse în ecuațiile de mișcare prin termenii ce conțin rotația și raza de curbură. Bradshaw subliniază că, în cazul curburii, având $|S/R_c| \cong 0,02$, apar modificări ale tensiunilor tangențiale turbulente de ordinul a 10%.

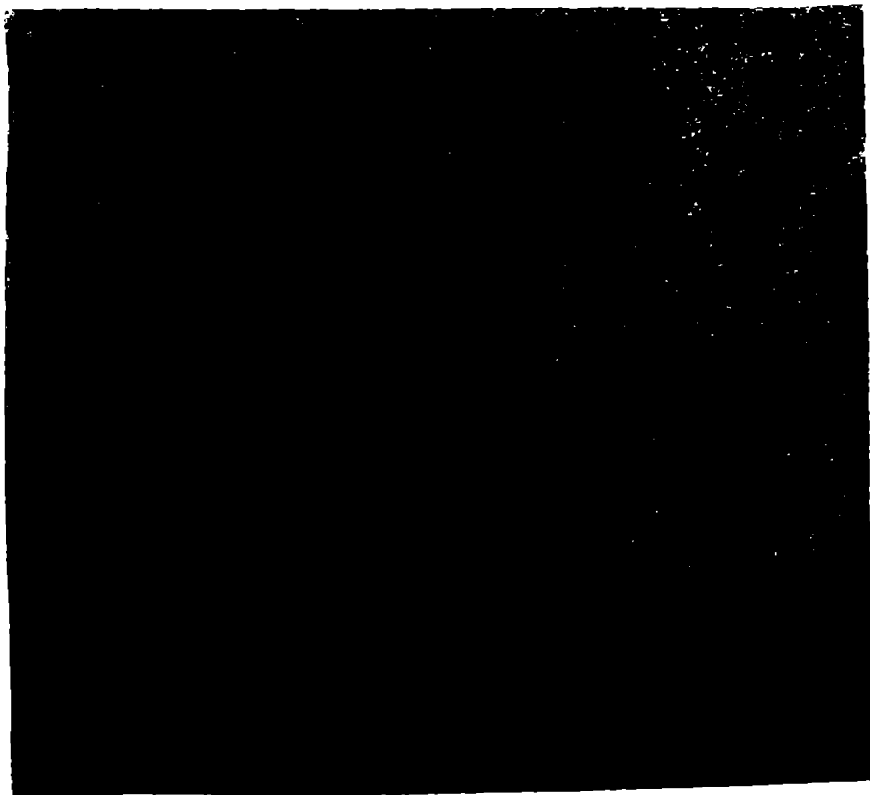


Fig. 1.28



Fig. 1.29

Examinând datele experimentale, J.P. Johnston ajunge la următoarele concluzii:

- fiecare efect separat al curburii și rotației produce stabilizare sau destabilizare în curgerea turbulentă.
- parametrii locali ce exprimă sensul și mărimea efectelor stabilității sînt numerele gradient Richardson:

$$R_{i2} = -2q / (\partial u / \partial y)$$

$$R_{ic} = 2 \left(u / R_c \right) / (\partial u / \partial y)$$

unde U este viteza principală.

O definiție sintetică a acestor efecte de stabilizare se poate face prin schema dată în /75/, fig. 1.29.

Școala germană de hidrodinamică a turbomășinilor s-a ocupat consecvent de problemele complexe ale curgerii în canale rotitoare, începînd cu Seelig /143/, Dobner /34/, Selberg-Larsen /153/, Jungelius /82/ și continuînd cu Harpfer /58/, Elbing /37/, Pache /119/, Hallmann /57/ și Eutenouer /39/.

Elbing studiază experimental mișcarea secundară și turbulența în canalul rotoric radial, oferind un bogat material documentar, complet în mod ridicat de măsurătorile lui Hellmann, care determină și el

componentele turbulenței și mișcarea secundară. Cu mult înaintea lui Hellmann, J. Moore /189/ studiasse teoretic și experimental curgerea turbulentă într-un difuzor drept radial rotitor, punând în evidență mai atent problemele ce apar la curgerea în canalele interpaletare, și având în vedere importanța pentru studiile viitoare a acestor chestiuni ce desvăluie fenomenale curioase din canalele dreptunghiulare rotitoare, merită a se stăruie asupra lor. J. Moore consideră curgerea împărțită în patru regiuni: curgere potențială, straturile limită superior și inferior, curgerile în colțuri, straturile limită laterale, mișcările secundare fiind generate în straturile limită superior și inferior, în timp ce modificările turbulenței se întâmplă la pereții laterali. Hellmann /57/ continuă cercetările lui J. Moore și J.P. Johnston, considerând de la bun început că, în rotorii turbomășinilor, influența rotației este mai însemnată decât cea a curburii, această ipoteză permițându-i conceperea unui model teoretic bazat pe curgerea într-un canal drept, fără curbură (adică, numărul Strouhal este sensibil mai mare decât parametrul de curbură - $S = \frac{q Z R}{V}$, $Pe = R / Re$ - , ipoteză simplificatoare, dar nu întotdeauna reală.) În acest context, Hellmann prezintă calitativ mișcarea secundară în secțiunea transversală a canalului sub forma din fig. 1.30. Mișcarea secundară se va produce în stratul limită al coroziei și înalului, ca urmare a acțiunii accelerației Coriolis. Repartiția de viteze a mișcării secundare, notată de Hellmann cu $W_y(z)$ se prezintă calitativ în fig. 1.30, observându-se că acest tip de distribuție va produce un vorticej ω_x , similar cu vorticejurile induse descrise de Ellis (Lohmann /92/ subliniază aportul vorticităților induse Ellis asupra stabilității curgerii din punct de vedere al desprinderii). Considerând vectorul vorticității $\vec{\omega} = \nabla \times \vec{w}$ rezultă după direcția x:

$$\omega_x = \frac{\partial w_z}{\partial y} - \frac{\partial w_y}{\partial z} \quad , \quad \text{unde} \quad \frac{\partial w_y}{\partial z} > \frac{\partial w_z}{\partial y}$$

După cum arată experimentul, mișcarea secundară se continuă și pe partea de depresiune și de suprapresiune ale canalului, fără o producție suplimentară de curgere secundară, căci forțele Coriolis sînt perpendiculare pe secțiunile pereților. În planul central, $\omega_x = 0$, căci $\frac{\partial w_z}{\partial y} = 0$ ($w_z = 0$), iar presupunînd că în planul central nu apare nici o instabilitate, $\frac{\partial w_y}{\partial z} = 0$

Exprimînd, similar cu a treia teoremă a lui Helmholtz /127/, pentru cazul fluidului viscos în reper neinertial, ecuația vorticității, se obține:

$$\frac{d\vec{\omega}}{dt} = (\vec{\omega} \cdot \nabla) \vec{w} + (2\vec{q} \cdot \nabla) \vec{w} + \nabla^2 \vec{w}$$



Fig.1.30

Considerând neglijabilă influența viscozității moleculare și de asemenea $\partial \bar{\omega} / \partial t = 0$ (vorticitate staționară), se obține:

$$(\bar{\omega} \cdot \nabla) \bar{\omega} \cong (\bar{\omega} \cdot \nabla) \bar{\omega} + (2\bar{q} \cdot \nabla) \bar{\omega}$$

După cum arată J.P.J. Chaston, forțele Coriolis realizată în canal trei zone (stabilă, neutră și instabilă), aceste forțe fiind dominante și deci:

$$(\bar{\omega} \cdot \nabla) \ll (2\bar{q} \cdot \nabla) \bar{\omega}$$

iar,

$$(\bar{\omega} \cdot \nabla) \bar{\omega} \cong (2\bar{q} \cdot \nabla) \bar{\omega}$$

sau

$$w_x \frac{\partial w_x}{\partial x} + w_y \frac{\partial w_x}{\partial y} + w_z \frac{\partial w_x}{\partial z} \cong 2q \frac{\partial w_x}{\partial z}$$

sau, aproximativ:

$$w_z \frac{\partial w_x}{\partial z} \cong 2q \frac{\partial w_x}{\partial z}$$

ecuație ce reprezintă influența mișcării secundare asupra stabilității stratului limită turbulent de pe partea de suprapresiune și de depresiune /57/. Se observă imediat că, pentru partea de depresiune:

-în cazul curgerii secundare dinspre coroană spre planul central:

$$\omega_z < 0 \quad \omega_x > 0 \quad \partial\omega_x/\partial z > 0 \quad \text{deci } \partial\omega_x/\partial z > 0$$

-în cazul curgerii secundare dinspre inel spre planul central:

$$\omega_z > 0 \quad \omega_x < 0 \quad \partial\omega_x/\partial z < 0 \quad \text{deci } \partial\omega_x/\partial z < 0$$

Iar pentru partea de suprapresiune:

-în cazul curgerii dinspre planul central spre coroană:

$$\omega_z < 0 \quad \omega_x > 0 \quad \partial\omega_x/\partial z < 0 \quad \text{deci } \partial\omega_x/\partial z > 0$$

-în cazul curgerii secundare dinspre planul central spre inel:

$$\omega_z > 0 \quad \omega_x < 0 \quad \partial\omega_x/\partial z > 0 \quad \text{deci } \partial\omega_x/\partial z < 0$$

Ca urmare, se poate reprezenta distribuția vitezei principale din canal W_x pe partea de depresiune și pe cea de suprapresiune de-a lungul lui s (înălțimea canalului) pe baza considerațiilor teoretice asupra ecuației vorticității, aceste distribuții fiind în ceplină concordanță cu rezultatele experimentale ale lui Fowler /44/, Elbing /37/, și prezenta lucrare le va întări, fig. 1.31

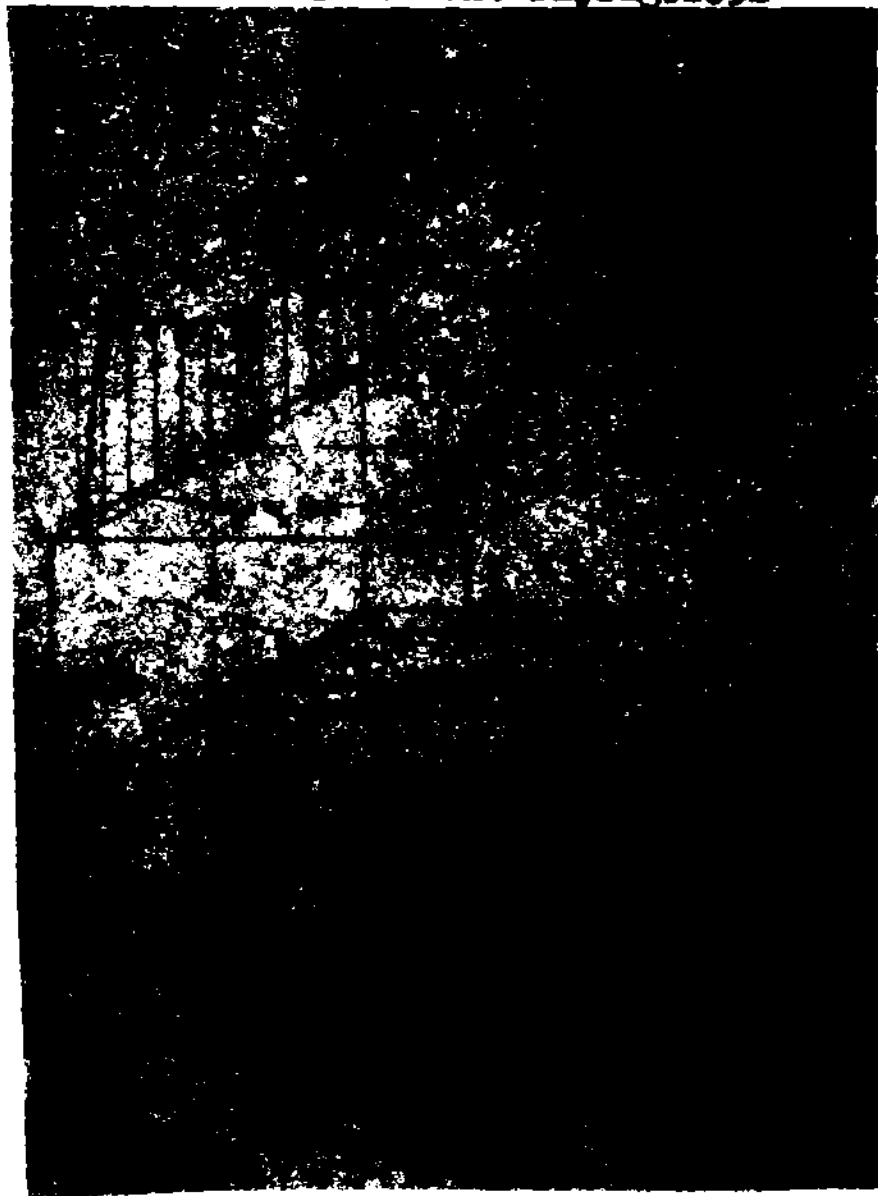


Fig. 1.31

În afara influenței mișcării secundare asupra distribuțiilor de viteze, Hellmann studiază și interacțiunea dintre curgerea secundară și structura turbulenței. Poate nu este inutil să reamintim, din cele expuse pînă aici că, rotația și curbura produc o multitudine de efecte, adesea contradictorii (vezi stabilitatea turbulenței și stabilitatea desprinderii), aceste contradicții, prin unitatea și lupta lor, încadrîndu-se perfect în legitățile ce susțin manifestarea lumii fizice, și implicit prezintă mari dificultăți pentru o modelare matematică. Hellmann, utilizînd o folie de aluminiu foarte subțire și suficient de îngustă, obturează în timpul experimentului mișcarea secundară de pe corceni, respectiv înal, înainte de-a ajunge curentul din stratul limită pe partea de depresiune, obținînd în acest fel variația tensiunilor turbulente din stratul limită de pe partea de depresiune, în prezența și în absența mișcării secundare. Diferențele obținute între cele două distribuții de tensiuni conduc la concluzia că, similar cu fenomenul descris de J.P. Johnston/76/ privind producția turbulentă, respectiv stabilitatea turbulenței pe partea de depresiune, datorită forțelor Coriolis, rîscarea secundară de pe partea de depresiune provoacă la rîndul ei o modificare a structurii turbulente. Johnston arată că /76/, producția energiei turbulente se poate exprima:

$$\hat{P} = (-\overline{w_x' w_y'}) \partial \overline{w_x} / \partial y$$

Iar producția de tensiune tangențială turbulentă $(-\overline{w_x' w_y'})$ pe partea de depresiune a canalului este, în planul central:

$$\hat{P}_{q \neq 0, R_c = \infty} = \overline{w_y'^2} \partial \overline{w_x} / \partial y - (\overline{w_x'^2} - \overline{w_y'^2}) 2q$$

Decarece /57/, /76/ $\partial \overline{w_x} / \partial y > 0$, $\overline{w_x'^2} > \overline{w_y'^2}$, și $\partial \overline{w_x} / \partial y < 2q$, $q > 0$ rezultă că producția \hat{P} devine negativă și deci $(-\overline{w_x' w_y'})$ schimbă de semn, deci energia turbulentă se transformă în energie cinetică a curentului mediu. Expresia lui Johnston fiind valabilă numai pentru planul central, Hellmann o extinde pentru toată partea de depresiune sub forma:

$$\tilde{P}_{q \neq 0, R_c = \infty} = \overline{w_y'^2} \partial \overline{w_x} / \partial y - (\overline{w_x'^2} - \overline{w_y'^2}) 2q - (-\overline{w_y' w_z'}) \partial \overline{w_x} / \partial z$$

Presupunînd că $(-\overline{w_y' w_z'}) > 0$, $\overline{w_x'^2} > \overline{w_y'^2}$, $\partial \overline{w_x} / \partial z > 0$ rezultă că producția tensiunii turbulente $(-\overline{w_x' w_y'})$ de către mișcarea secundară este de același semn cu producția datorată forțelor Coriolis ($\partial \overline{w_x} / \partial z > 0$, înseamnă tocmai existența mișcării secundare)

Deci, mișcarea secundară produce în stratul limită de pe partea de

depresiune, similar cu forțele Coriolis, transformarea turbulenței în energie medie. Pe de altă parte, această producție turbulentă negativă face posibilă existența unei mișcări secundare pe partea de depresiune, căci altfel, în situația inexistenței unei transformări a turbulenței în energie medie, mișcarea secundară de pe coroană și înel ajungând la colțurile canalului din zona părții de depresiune s-ar continua prin niște vârtejuri de colț, locale, în direcția curentului principal.

În cazul părții de suprapresiune, producția turbulentă este:

$$\bar{P}_2 \neq 0, R_e = \infty = \overline{w_y'^2} \partial \overline{w_x} / \partial y + (\overline{w_x'^2} - \overline{w_y'^2}) 2g - (-\overline{w_y' w_z'}) \partial \overline{w_x} / \partial z$$

iar: $\overline{w_x'^2} > \overline{w_y'^2}$, $(-\overline{w_y' w_z'}) > 0$, $\partial \overline{w_x} / \partial z > 0$

(condiție ce reprezintă existența mișcării secundare)

Deci, producția tensiunii turbulente ($-\overline{w_x' w_y'}$) datorită mișcării secundare este de sens contrar celei datorate forțelor Coriolis. Se pare că influența forțelor Coriolis este mai mare și deci are loc o intensificare a producției turbulente pe aceeași energie curentului mediu. Dar Johnston /76/ specifică în lucrarea sa că, pe partea de suprapresiune (de instabilitate) producția turbulentă este limitată de vorticitățile celulare, ceea ce apare clar în expresia de mai sus, unde vorticitatea mișcării secundare ω_x are acțiune contrară forțelor Coriolis. Deci, cercetările lui Hellmann au dovedit că, în stratul limită turbulent, pe partea de depresiune a canalului, viteza medie principală $\overline{w_x}$ și tensiunile turbulente de-a lungul lățimii canalului se modifică, dacă curentul secundar deplin dezvoltat pe coroană și înel, se continuă pe partea de depresiune, în direcția planului central. Energetic, această continuare este posibilă, dacă turbulența stratului limită de pe partea de depresiune se transformă în energie medie. Dacă această transformare nu are loc, atunci curentul secundar de pe coroană și înel se continuă cu vârtejuri de colț. Studiile lui J. Moore /109/ asupra curgerii secundare în colțul format de partea de depresiune, respectiv de suprapresiune, cu coroana canalului interpaletar s-au bazat pe ipoteza continuității și a constanței impulsului, după direcția lui x. Astfel curentul transversal $w_y(z)$ este dependent de $w_x(y)$ prin formele profilurilor de viteză $w_x(z)$ și $w_z(y)$. În mod similar Hellmann, utilizând componente după x a ecuațiilor de mișcare, în urma unor simplificări ajunge la condiția:

$$\frac{1}{\rho} \frac{\partial p_m}{\partial x} = \left[(\partial w_x / \partial y - 2g) w_y + w_z \partial w_z / \partial z \right] = c_1$$

care exprimă posibilitatea continuării mișcării secundare pe partea de depresiune, fig. 1, 32

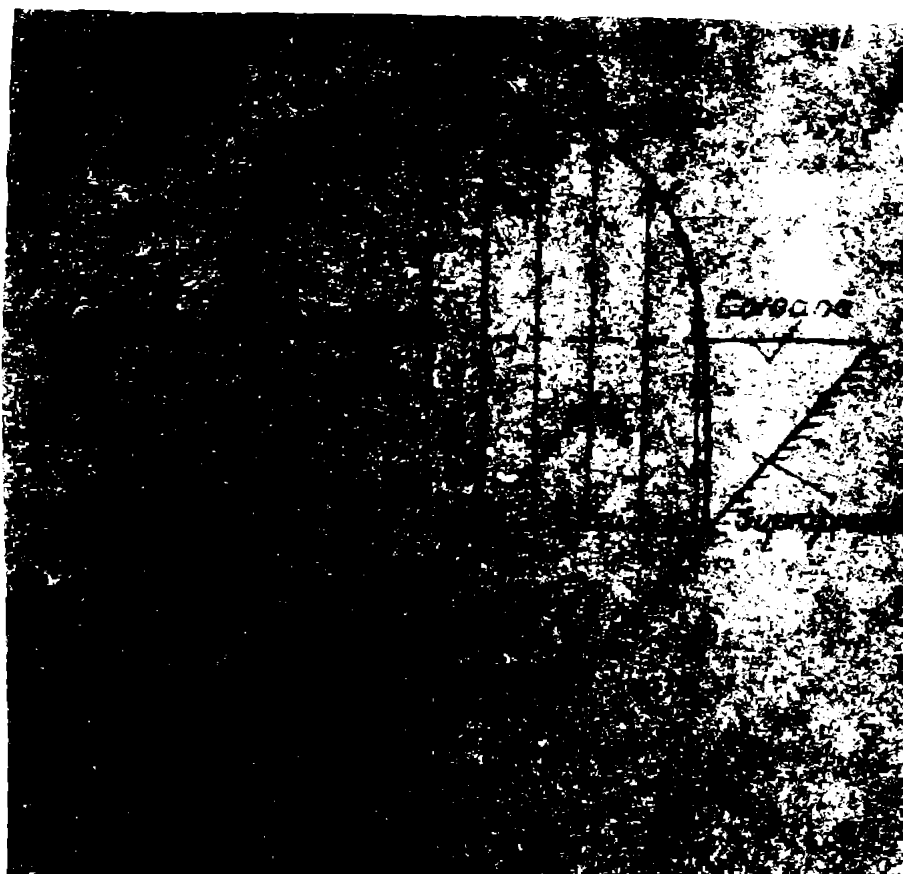


Fig. 1.32

Se observă că la trecerea de pe coroană pe partea de depresiune, la coroană $\omega_y < 0$, iar pe partea de depresiune, în regiunea colțului, $\partial \omega_x / \partial y > 0$ și deci decelerația convectivă $\omega_y (\partial \omega_x / \partial y - 2q) < 0$ ($q < 0$) ce rezultă, trebuie anihilată pentru a păstra constanța gradientului de presiune de o accelerație $w_z \partial \omega_x / \partial z > 0$. Dar caza $w_z < 0$, înseamnă că $\partial \omega_x / \partial z < 0$ este condiția continuității mișcării secundare de pe coroană pe partea de depresiune, în cazul echilibrului forțelor pe direcția x . Această condiție, după cum rezultă din ecuația vîrtejului, este respectată doar în inediata apropiere a coroanei, pe cînd în regiunea colțului unde $\partial \omega_x / \partial z > 0$ nu se produce nici o accelerație de anihilare a termenului decelerator. Atunci, continuarea curentului secundar pe partea de depresiune va fi posibilă dacă, curentul secundar format (din zona de $\partial \omega_x / \partial z < 0$) pentru menținerea constanței lui $\frac{1}{\rho} \frac{\partial p_n}{\partial x}$, va prelua energie suplimentară prin transformarea energiei turbulente în energie medie. În caz contrar, mișcarea secundară se încheie în colț, sub formă de vîrtej, fig. 1.33. Deci, curentul secundar de pe partea de depresiune, conține și ocazia de producere a energiei medii din energie turbulentă, asemănător cu efectul forțelor Coriolis descris de Johnston, ocazie din care însuși curentul secundar își trage existența.

În ceea ce mi este necesar să se insiste în continuare asupra complexității curgerii în turbomașini, problemele evidențiate mai sus fiind deosebit de elocvente și reliefînd clar complicațiile



Fig.1.33

se pot apărea odată cu mișcarea turbulentă și efectele rotației și curburii canalului interpaletar, complicații ce sub anumite aspecte abia sînt bănuite; cu atât mai mult, elaborarea unui model matematic care să țină cont de toți factorii ce intervin în curgerea hidrodinamică din rotor este extrem de dificilă și în nici un caz nu se poate realiza exhaustiv.

Avînd acum limpede trasată imaginea de ansamblu a curgerii în turbomășini, se desprinde în mod firesc singura cale posibilă din punct de vedere teoretic pentru descrierea cîmpului hidrodinamic și determinarea pierderilor hidraulice în canalele interpaletare (pierderi care evident sînt afectate în mod direct de toate fenomenele descrise mai sus): este calea de la simplu spre complex, adică o metodă bazată pe principiile fundamentale ale mecanicii fluidelor, care pornind de la situația cea mai simplă (relativ simplă) posibilă va ține cont întîi doar de anumite influențe, ca apoi să se treacă treptat spre situații mai complexe și în acest sens se va studia în primul rînd curgerea laminară și separat efectele rotației și curburii, apoi aceste efecte se vor îmbina și în final se va trece la curgerea turbulentă, stabilindu-se astfel o metodă generală capabilă să ofere, în limitele ipotezelor restrictive utilizate, soluții pentru calculul pierderilor hidraulice și al cîmpului de viteze în conducte rotitoare și curbate.

CAPITOLUL II

MODEL TEORETIC AL CURGERII LAMINARE ÎN CONDUCTE CURBATE ROTITOARE

2.1. Ecuațiile fundamentale ale mișcării.

2.1.1. Ecuațiile de mișcare Navier-Stokes, în reper neinertial.

Fie \mathcal{E}_β un sistem de referință inertial și \mathcal{E}'_β un sistem de referință neinertial, iar $(\bar{0}, \bar{e}_i), \bar{0} \in \mathcal{E}_\beta$ un reper ortonormat în \mathcal{E}_β și $(\bar{0}', \bar{e}'_i), \bar{0}' \in \mathcal{E}'_\beta$ un reper ortonormat în \mathcal{E}'_β . (fig.2.1) /159/



Ecuația Navier-Stokes pentru un fluid viscos incompresibil ($\rho = \rho' = \text{ct.}$), în raport cu \mathcal{E}'_β , se exprimă similar cu cazul reperului inertial:

$$\rho' \frac{d'\bar{v}'}{dt'} = \rho' \bar{f}' - \nabla' p' + \mu' \nabla'^2 \bar{v}' \quad (2.1)$$

Fig.2.1

Dar, dezvoltând: $\frac{\partial' \bar{v}'}{\partial t'} + \bar{\omega} \wedge \bar{v}' = \bar{f}' - \nabla' \left(\frac{p'}{\rho} \right) - \nabla' \left(\frac{\bar{v}'^2}{2} \right) + \nu \nabla'^2 \bar{v}' \quad (2.2)$

înă, cum a demonstrat O. Poga /127/:

$$\bar{f}' = \bar{Q}^T (\bar{f} + \bar{f}^a) \quad \text{unde } \bar{f}^a = - \left[\frac{d\bar{v}_e}{dt} + (\bar{v} - \bar{v}_e) \nabla \bar{v}_e \right] \quad (2.3)$$

ori: $\frac{d\bar{v}_e}{dt} = \frac{\partial \bar{v}_e}{\partial t} + \bar{v} \cdot \nabla \bar{v}_e = \frac{\partial \bar{v}_e}{\partial t} + (\bar{v} - \bar{v}_e) \nabla \bar{v}_e + \bar{v}_e \nabla \bar{v}_e \quad (2.4)$

și utilizând transformările din /127/ rezultă încă:

$$\bar{Q}^T \cdot (\bar{v} - \bar{v}_e) \cdot \nabla \bar{v}_e = \bar{q}' \wedge \bar{v}' \quad (2.5)$$

Conform /127/ câmpul presiunii $p = p'$ este reprezentabil prin suma a două câmpuri scalare p'_M (presiunea de mișcare) și p'_R (presiunea de repaus), sub forma: $p' = p'_M + p'_R$. Der. ecuația statică Euler în raport cu reperul neinertial se scrie: $\rho' \bar{f}' - \nabla' p'_R = 0 \quad (2.6)$

sau, conform (2.3) și deoarece pentru statică $\bar{v} = \bar{v}_e$

$$\rho \bar{Q}^T \left(\bar{f} - \frac{d\bar{v}_e}{dt} \right) - \nabla' p'_R = 0 \quad (2.7)$$

De unde:

$$\frac{1}{\rho} \nabla' p'_M = \frac{1}{\rho} \nabla' p' - \bar{Q}^T \left(\bar{f} - \frac{\partial \bar{v}_e}{\partial t} - \bar{v}_e \nabla \bar{v}_e \right) \quad (2.8)$$

și observând (2.3), (2.4), (2.5), (2.8), rezultă:

$$\frac{\partial' \bar{v}'}{\partial t'} - \bar{v}' \wedge (\bar{\omega}' + 2\bar{q}') + \frac{1}{2} \nabla' \bar{v}'^2 = - \frac{1}{\rho} \nabla' p'_M + \nu \nabla'^2 \bar{v}' \quad (2.9)$$

expresie ce exprimă sub forma cea mai generală ecuația de mișcare Navier-Stokes a unui fluid viscos incompresibil, raportată la un sistem de referință neinertial.

Accelerația locală absolută de antrenament este:

$$\partial \bar{v}_e / \partial \bar{z} = \nabla \bar{v}_0 + d\bar{q} / d\bar{z} \wedge (\bar{z} - \bar{c}) \quad \text{unde /127/ } \bar{v}_0 = (\bar{z} - \bar{c}) \left(\frac{d\bar{v}_0}{d\bar{z}} - \bar{q} \wedge \bar{v}_0 \right)$$

iar \bar{v}_0, \bar{q} și \bar{c} sînt funcții exclusive de timp

Pe de altă parte: $\bar{v}_e = \bar{v}'_0 + \bar{q} \wedge (\bar{z} - \bar{c})$ și $\bar{v}_e = -\bar{Q} \bar{v}'_e$

și atunci:

$$\bar{v}_e \cdot \nabla \bar{v}_e = \bar{q}' \wedge \left[\bar{v}'_0 + \bar{q}' \wedge (\bar{z}' - \bar{c}') \right] \bar{Q}^T \quad (2.10)$$

Dă unde, expresia cea mai generală pentru presiunea de mișcare eș

$$\frac{1}{\rho} \nabla' p'_M = \frac{1}{\rho} \nabla' p' - \bar{Q}^T \bar{f} + \bar{Q}^T \left[\frac{d\bar{v}_0}{d\bar{z}} - \bar{q} \wedge \bar{v}_0 + \frac{d\bar{q}}{d\bar{z}} \wedge (\bar{z} - \bar{c}) \right] + \quad (2.11)$$

$$+ \bar{q} \wedge \left[\bar{v}'_0 + \bar{q}' \wedge (\bar{z}' - \bar{c}') \right]$$

2.1.2. Cazuri particulare.

A/ $\bar{\varepsilon}'_3 \equiv \bar{\varepsilon}_3$

Se observă imediat că $\bar{q} = \bar{q}' = 0$ și $\bar{v}_0 = \bar{v}'_0 = 0$

Deci: $\frac{1}{\rho} \nabla p_M = \frac{1}{\rho} \nabla p - \bar{Q}^T \bar{f} \quad ; \quad \bar{f} = -\nabla \Omega \quad (2.12)$

$$\bar{Q}^T \cdot \bar{f} = -\nabla' \Omega \quad ; \quad \frac{1}{\rho} \nabla p_M = \frac{1}{\rho} \nabla p - \bar{f} \quad (2.13)$$

și atunci (2.9) devine:

$$\frac{\partial \bar{v}}{\partial \bar{z}} - \bar{v} \wedge \bar{\omega} + \frac{1}{2} \nabla \bar{v}^2 = -\frac{1}{\rho} \nabla p + \bar{f} + \nu \nabla^2 \bar{v} \quad (2.14)$$

relație ce reprezintă ecuația Navier-Stokes pentru reper inerțial

B/ Translație pură. (viteza unghiulară $\bar{q} = \bar{q}' = 0$)

Din (2.9): $\frac{\partial \bar{v}'}{\partial \bar{z}} - \bar{v}' \wedge \bar{\omega}' + \frac{1}{2} \nabla' \bar{v}'^2 = -\frac{1}{\rho} \nabla' p'_M + \nu \nabla'^2 \bar{v}' \quad (2.15)$

iar $\frac{1}{\rho} \nabla' p'_M = \frac{1}{\rho} \nabla' p' - \bar{Q}^T \left[\bar{f} - \frac{d\bar{v}_0}{d\bar{z}} \right]$

unde \bar{v}_0 conține numai termenul de translație

C/ rotație pură constantă

în acest caz $d\bar{q} / d\bar{z} = 0$, $\bar{v}_0 = \bar{q} \wedge \bar{c}$

decă $\bar{v}_e = \bar{v}_0 + \bar{q} \wedge (\bar{z} - \bar{c}) = \bar{q} \wedge \bar{z}$; $\frac{\partial \bar{v}_e}{\partial \bar{z}} = \frac{\partial}{\partial \bar{z}} (\bar{q} \wedge \bar{z}) = 0$

Considerînd din /127/ : $\bar{c} = -\bar{Q} \cdot \bar{c}'$ rezultă

$$\bar{v}_0 = \bar{q} \wedge \bar{c} - \bar{Q} \cdot \bar{v}'_0$$

Pentru rotație pură: $\bar{v}'_0 = 0$

Dă unde:

$$\frac{1}{\rho} \nabla' p'_M = \frac{1}{\rho} \nabla' p' - \bar{Q}^T \bar{f} + \bar{q}' \wedge \left[\bar{q}' \wedge (\bar{z}' - \bar{c}') \right] \quad (2.16)$$

D/ Cazul conductei rotitoare.

Din (2.16):

$$\frac{1}{\rho} \nabla' p'_M = \frac{1}{\rho} \nabla' p' - \bar{Q}^T \bar{f} + \left[\bar{q}' \wedge (\bar{z}' - \bar{c}') \right] \bar{q}' - \bar{q}'^2 (\bar{z}' - \bar{c}') \quad (2.17)$$

și atunci:

$$p'_M = p' - \frac{\rho}{2} \bar{q}'^2 (\bar{z}' - \bar{c}')^2 \quad \text{dar } \bar{z}' = \bar{c}' + \bar{Q}^T \cdot \bar{z}$$

Deci
$$p'_M = p' - \frac{\rho}{2} q'^2 z^2 \quad (2.18)$$

In cazul în care $\bar{\omega} = \bar{\omega}^0$, deci $\bar{\omega} = 0$, rezultă din (2.17):

$$p'_M = p' - \frac{\rho}{2} q'^2 z'^2 \quad (2.19)$$

Expresiile (2.18), (2.19) se identifică cu relația optimă de /76/ și folosită în /173/, /109/, /72/, /82/, /140/. Pe de altă parte, prin modul de obținere a ecuației de mișcare se pun în evidență prin deducție logică expresiile accelerațiilor Coriolis și centripetă fără a se apela la metoda artificială de alipire a acestor termeni cum se face în /82/ sau /153/

2.1.3. Măsură disipației viscoase.

Se consideră o conductă dreaptă rotitoare ($\bar{\omega}' = \omega t$) și volumul de control V' mărginit de suprafața laterală S'_l și de suprafețele de flux S'_n ($n=1, 2$), unde \bar{n}' este vectorul unitate normal (fig.2.2)

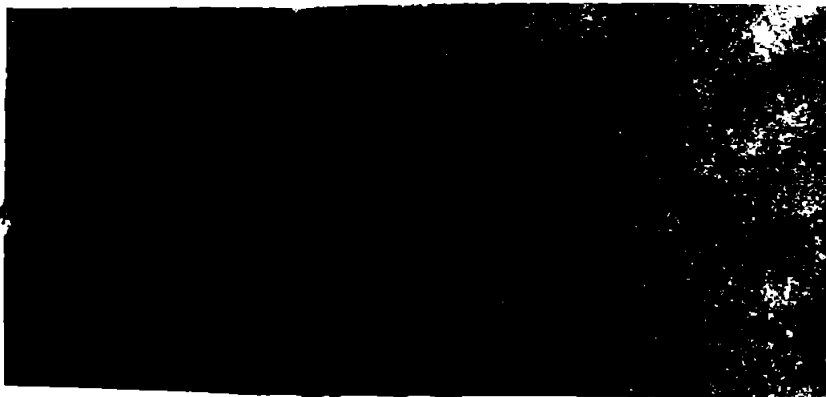


Fig.2.2

In cazul curgerii printr-o conductă rotitoare, peste mișcarea principală se suprapune o mișcare secundară, numită de Franzi de specie I-a. Cercetările experimentale și teoretice indică însă pentru un calcul global aproximația $|\bar{v}'_1| \ll |\bar{v}'_2|$ apropiată de realitate.

Se formulează ipotezele suplimentare:

Se formulează ipotezele suplimentare:

a) mișcarea relativă este permanentă $\frac{\partial \bar{v}'}{\partial t} = 0$

b) $\bar{\omega}' = 0$

c) $\bar{v}' = \bar{e}'_2 v'$

d) curgere depășită dezvoltată $\frac{\partial \bar{v}'}{\partial x'_2} = 0$

Conform /127/, ecuația transferului energiei cinetice pentru reperul neinertial are expresia:

$$\frac{\partial}{\partial t} \int_{V'} \rho \frac{\bar{v}'^2}{2} dv' = - \int_{S'_l} \rho H' \bar{v}' \bar{n}' da' + 2 \mu \int_{S'_l} \bar{n}' \bar{\delta}' \bar{v}' da' - \int_{V'} \phi dv' \quad (2.20)$$

unde:

$$H' = \Omega + \gamma_0 - \frac{\bar{v}'_e^2}{2} + \frac{\bar{v}'^2}{2} + \frac{p'}{\rho}$$

Ipotezele permit simplificările:

$$\begin{cases} \bar{v}'_0 = 0 \\ \bar{v}' \cdot \nabla' \bar{v}' = 0 \end{cases} \Rightarrow \frac{d \bar{v}'}{dt} = 0, \gamma_0 = 0$$

Se observă că:

$$\bar{v}'_e \cdot \nabla' \bar{v}'_e = \nabla' \left(\frac{\bar{v}'_e^2}{2} \right) + \left(\nabla'_{\wedge} \bar{v}'_e \right) \wedge \bar{v}'_e = \nabla' \left(\frac{\bar{v}'_e^2}{2} \right) + 2 \bar{q}'_{\wedge} \bar{v}'_e \quad (2.21)$$

și

$$2\bar{q} \wedge \bar{v}_e = \frac{1}{2} \nabla \left[(2\bar{q} \wedge \bar{v}_e) \cdot \bar{z} \right]$$

deci (2.21) devine: $\bar{v}_e \cdot \nabla \bar{v}_e = \nabla \left[\frac{\bar{v}_e^2}{2} + \frac{1}{2} (2\bar{q} \wedge \bar{v}_e) \cdot \bar{z} \right]$

sau $\bar{v}_e \cdot \nabla \bar{v}_e = -\nabla \left(\frac{\bar{v}_e^2}{2} \right)$

și atunci
$$\nabla' \left(\frac{p'_M}{\rho} \right) = \nabla' \left(\frac{p'}{\rho} + \Omega - \frac{\bar{v}_e^2}{2} \right) \quad (2.22)$$

Iar în final

$$H^1 = \frac{p'_M}{\rho} + \frac{\bar{v}^{12}}{2} \quad (2.23)$$

Conform ipotezelor, similar cu /127/:

$$\bar{n} \cdot \bar{D}' \cdot \bar{v}' \Big|_{S'_n} = 0, \quad \bar{n}' \cdot \bar{v}' \Big|_{S'_l} = 0$$

deci transferul energiei mecanice de deformare relativă:

$$2\mu \int_{\partial v'} \bar{n}' \cdot \bar{D}' \cdot \bar{v}' \cdot da' = 0 \quad \text{de asemenea} \quad \int_{S'_l} \rho H^1 \bar{v}' \cdot \bar{n}' \cdot da' = 0$$

Ecuația transferului energiei cinetice devine:

$$-\frac{\rho}{2} \int_{S'_n} \bar{v}' \cdot \bar{v}' \cdot \bar{v}' \cdot \bar{n}' \cdot da' - \rho \int_{S'_n} \frac{p'_M}{\rho} \bar{v}' \cdot \bar{n}' \cdot da' = \int_{v'} \phi dv' \quad (2.24)$$

Ecuația de mișcare (2.9) se scrie:

$$2\bar{q}' \wedge \bar{v}' = -\frac{1}{\rho} \nabla' p'_M + \nabla \nabla'^2 \bar{v}' \quad (2.25)$$

din analiza ei rezultând imediat că $\frac{\partial p'_M}{\partial x'_2}$ este o constantă

Debitul prin suprafața de flux se definește ca:

$$Q(S'_n) = \int_{S'_n} \bar{v}' \cdot \bar{n}' \cdot da' \quad (2.26)$$

și atunci

$$\int_{S'_n} \frac{p'_M}{\rho} \bar{v}' \cdot \bar{n}' \cdot da' = \frac{Q(S')}{\rho} \frac{\partial p'_M}{\partial x'_2} L_{12} \quad (2.27)$$

Pe de altă parte:

$$\int_{S'_n} \bar{v}' \cdot \bar{v}' \cdot \bar{v}' \cdot \bar{n}' \cdot da' = \alpha'(S'_n) Q(S') \tilde{v}^{12} \quad (2.28)$$

unde: $\alpha'(S'_n)$ este măsura neuniformității transferului energiei cinetice și \tilde{v}^{12} este viteza relativă mediată spațial pe S'_n

De asemenea, conform teoriei similitudinii cinetice, disipatia viscoasă globală a energiei cinetice este /127/:

$$\int_{v'} \phi dv' = \zeta' \rho Q(S') \frac{\tilde{v}^{12}}{2} \quad (2.29)$$

unde ζ' este coeficientul de pierdere pe volumul de control v'

Este mai convenabil însă să se introducă coeficientul de pierdere prin frecare λ'

$$\lambda' = \zeta' \frac{2R}{L} \quad (2.30)$$

și atunci (2.24) devine:

$$\left(\frac{\alpha' \tilde{V}^2}{2}\right)_{S_1'} - \left(\frac{\alpha' \tilde{V}^2}{2}\right)_{S_2'} - \frac{1}{\rho} \frac{\partial p_M}{\partial x_2'} L_{12} = \lambda' \frac{L_{12}}{2R} \frac{\tilde{V}^2}{2} \quad (2.31)$$

In ipoteza curgerii deplin dezvoltate, se obține:

$$\lambda' = -\frac{1}{\rho} \frac{\partial p_M}{\partial x_2'} \frac{4R}{\tilde{V}^2} \quad (2.32)$$

Observație.

In continuare, pentru simplitate, se va renunța la accent, toate ecuațiile referindu-se la reperul neinertial.

2.2. Pierderile hidraulice în conducte drepte rotitoare.

2.2.1. Ecuațiile Navier-Stokes în coordonate cilindrice.

Fiind vorba de o conductă de secțiune circulară este preferabilă trecerea la coordonate cilindrice $(\bar{r}, \bar{\theta}, \bar{z})$, fig. 2.3; ecuațiile de mișcare se obțin dezvoltând expresia (2.9)

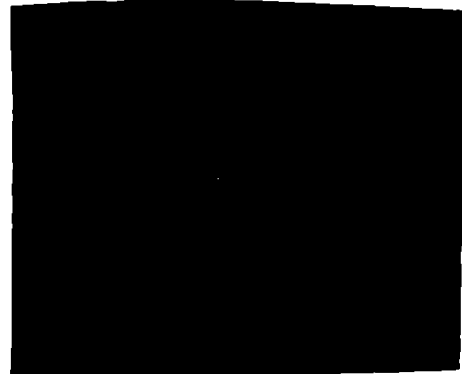


Fig. 2.3

$$v_n \frac{\partial v_n}{\partial r} + \frac{v_z}{r} \frac{\partial v_n}{\partial \theta} + v_y \frac{\partial v_n}{\partial y} - \frac{v_z^2}{r} = -\frac{1}{\rho} \frac{\partial p_M}{\partial r} + 2g v_y \cos \theta +$$

$$+ \nu \left[\nabla^2 v_n - \frac{v_n}{r^2} - \frac{2}{r^2} \frac{\partial v_z}{\partial \theta} \right] \quad (2.33)$$

$$v_n \frac{\partial v_z}{\partial r} + \frac{v_z}{r} \frac{\partial v_z}{\partial \theta} + v_y \frac{\partial v_z}{\partial y} + \frac{v_n v_z}{r} = -\frac{1}{\rho} \frac{\partial p_M}{r \partial \theta} - 2g v_y \sin \theta +$$

$$+ \nu \left[\nabla^2 v_z + \frac{2}{r^2} \frac{\partial v_n}{\partial \theta} - \frac{v_z}{r^2} \right] \quad (2.34)$$

$$v_n \frac{\partial v_y}{\partial r} + \frac{v_z}{r} \frac{\partial v_y}{\partial \theta} + v_y \frac{\partial v_y}{\partial y} = -\frac{1}{\rho} \frac{\partial p_M}{\partial y} - 2(v_n \cos \theta - v_z \sin \theta)g +$$

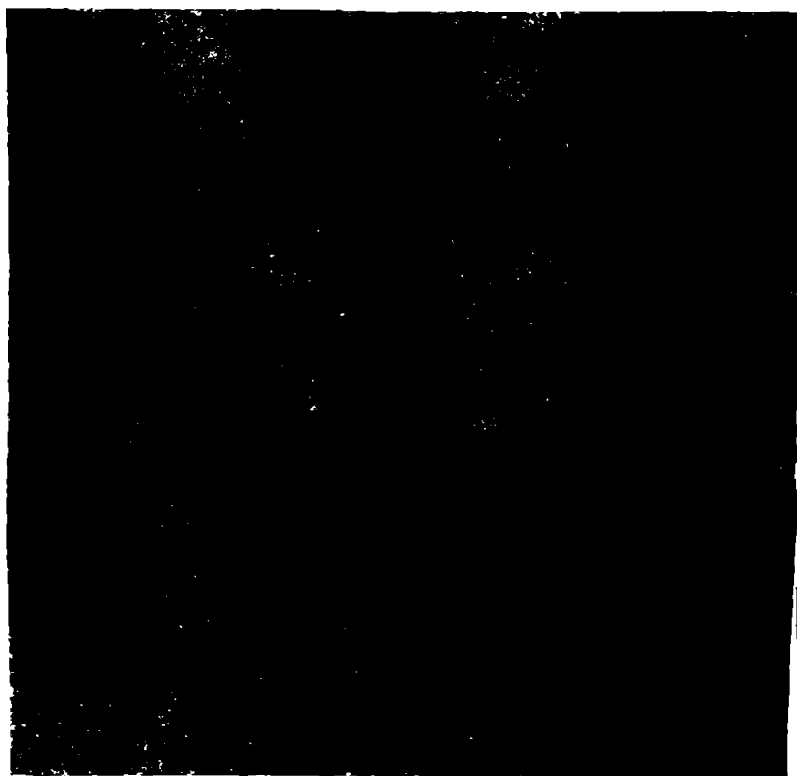
$$+ \nu \nabla^2 v_y \quad (2.35)$$

2.2.2. Determinarea coeficientului de pierdere λ_R

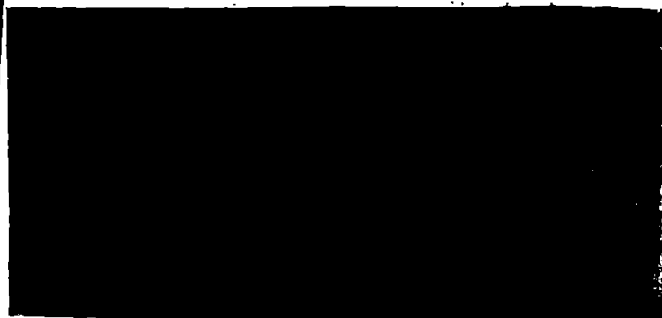
Se formulează următoarele ipoteze de calcul:

- rotație constantă ($\bar{\omega} = \omega t$);
- $\bar{C} = 0$;
- mișcarea relativă este permanentă;
- fluid incompresibil
- curgere deplin dezvoltată
- regim laminar;
- formal, curgerea se divide în două zone: un strat limită lângă perete, unde se concentrează forțele viscoase și mișcarea secundară are loc și o zonă potențială

2.2.2.1. Ecuațiile stratului limită.



Urmind calea descria de Schlichting /141/, ecuațiile de mișcare în stratul limită se pot simplifica, pe baza unei analize a ordinului de mărime al termenilor ecuațiilor (2.33), (2.34) (2.35), obținându-se în



ig.2.4

$$\begin{cases} \frac{1}{\rho} \frac{\partial p_M}{\partial r} = 0 & (2.36) \\ v_n \frac{\partial v_z}{\partial r} + \frac{v_z}{R} \frac{\partial v_z}{\partial \theta} = -\frac{1}{\rho} \frac{\partial p_M}{R \partial \theta} - 2g \sin \theta + \nu \frac{\partial^2 v_z}{\partial r^2} & (2.37) \\ v_n \frac{\partial v_y}{\partial r} + \frac{v_z}{R} \frac{\partial v_y}{\partial \theta} = 2g \sin \theta + \nu \frac{\partial^2 v_y}{\partial r^2} & (2.38) \end{cases}$$

În afara stratului limită, ecuațiile de mișcare pot fi reduse la:

$$\begin{cases} -\frac{1}{\rho} \frac{\partial p_M}{\partial x} + 2g \sin \theta = 0 & (2.39) \end{cases}$$

$$\begin{cases} v_x \frac{\partial v_y}{\partial x} + 2g \sin \theta = -\frac{1}{\rho} \frac{\partial p_M}{\partial y} & (2.40) \end{cases}$$

$$\begin{cases} -\frac{1}{\rho} \frac{\partial p_M}{\partial z} = 0 & (2.41) \end{cases}$$

Analizând aceste ultime ecuații, rezultă la frontiera exterioară a stratului limită:

$$(v_x)_\delta = -\frac{1}{\rho} \left(\frac{\partial p_M}{\partial y} \right)_\delta \frac{1}{(\partial v_y / \partial x)_\delta + 2g} \quad (2.42)$$

și

$$\left(\frac{\partial p_M}{\partial \theta} \right)_\delta = -2 \rho R g (v_y)_\delta \sin \theta \quad (2.43)$$

Integrând ecuațiile stratului limită, pentru o grosime definită δ se obține în final:

$$\frac{1}{R} \frac{d}{d\theta} \int_0^\delta v_z^2 d\zeta = 2g \sin \theta \int_0^\delta [(v_y)_\delta - v_y] d\zeta - \nu \left(\frac{\partial v_z}{\partial \zeta} \right)_0 \quad (2.44)$$

$$\frac{1}{R} \left[(v_y)_s \frac{d}{d\theta} \int_0^\delta v_G d\xi - \frac{d}{d\theta} \int_0^\delta v_G v_y d\xi \right] = -2g \sin \theta \int_0^\delta v_G d\xi + \nu \left(\frac{\partial v_y}{\partial \xi} \right)_0 \quad (2.45)$$

Pentru rezolvarea ecuațiilor integrale se impune ca o condiție suplimentară fluxul în curgerea secundară; din fig. 2.4 se remarcă identitatea debitului din nucleu cu cel din stratul limită:

$$\int_1^2 (v_x)_s dz = \int_0^\delta v_G d\xi \quad , (\text{continuitate curgerii secundare})$$

sau, din (2.42):
$$\frac{-(\partial p_n / \partial y) \cdot R \sin \theta}{\rho [(\partial v_y / \partial x)_s + 2g]} = \int_0^\delta v_G d\xi$$

și atunci:
$$\left(\frac{dv_y}{d\theta} \right)_s = 2g R \sin \theta + \frac{(\partial p_n / \partial y) R^2 \sin^2 \theta}{\rho \int_0^\delta v_G d\xi} \quad (2.46)$$

Soluționarea celor trei ecuații se face utilizând metoda Pohlhausen introducându-se viteza tangențială:

$$v_G = \frac{g}{\nu} \delta^2 (v_y)_s \sin \theta \cdot G_1(\eta) + \frac{g}{\nu} \Delta G_2(\eta) \quad (2.47)$$

unde:
$$G_1(\eta) = \frac{1}{3} (2\eta - 3\eta^2 + \eta^4) \quad \eta = \xi / \delta$$

$$G_2(\eta) = \frac{1}{3} (\eta - 3\eta^3 + 2\eta^4) \quad \Delta \text{ -factor de formă}$$

și viteza axială:
$$v_y = (v_y)_s G_3(\eta) \quad (2.48)$$

unde:
$$G_3(\eta) = a_0' + a_1' \eta + a_2' \eta^2 + a_3' \eta^3 = \frac{1}{2} (3\eta - \eta^3)$$

Înlocuind expresiile (2.47), (2.48) în ecuațiile (2.44), (2.45) și (2.46), rezolvând integralele în η și, pe baza comparării ordinului de mărime al termenilor ecuațiilor, introducând coeficienții adimensionali: $(v_y)_s = (\bar{v}_y)_s \cdot (v_y)_{s, \theta_0}$, $\theta_0 = 0$

$$\delta = \bar{\delta} \left[\frac{\nu^2 R}{g (v_y)_{s, \theta_0}} \right]^{1/4}, \quad \Delta = \bar{\Delta} \left[\frac{\nu^2 R (v_y)_{s, \theta_0}}{g} \right]^{1/2} \quad (2.49)$$

ecuațiile integrale de rosieru:

$$\frac{d}{d\theta} \left(\frac{17}{315} \bar{\delta}^5 (\bar{v}_y)_s^2 \sin^2 \theta + \frac{101}{1260} \bar{\delta}^3 (\bar{v}_y)_s \bar{\Delta} \sin \theta + \frac{19}{630} \bar{\delta} \bar{\Delta}^2 \right) =$$

$$= \frac{3}{4} \bar{\delta} (\bar{v}_y)_s \sin \theta - 3 \frac{\bar{\Delta}}{\bar{\delta}} \quad (2.50)$$

$$\frac{d}{d\theta} \left[\frac{7}{240} \bar{\delta}^3 (\bar{V}_y)_\delta^2 \sin \theta + \frac{17}{840} \bar{\delta} \bar{\Delta} (\bar{V}_y)_\delta \right] = \frac{3}{2} \frac{(\bar{V}_y)_\delta}{\bar{\delta}} - I_1 \sin^2 \theta \quad (2.51)$$

$$\frac{d(\bar{V}_y)_\delta}{d\theta} = (S)_{\delta, \theta_0} \sin \theta - I_1 \sin^2 \theta \left[\frac{1}{15} \bar{\delta}^3 (\bar{V}_y)_\delta \sin \theta + \frac{1}{20} \bar{\delta} \bar{\Delta} \right]^{-1} \quad (2.52)$$

aceste ecuații rezolvându-se prin integrare numerică, $(S)_{\delta, \theta_0}$ fiind parametru, s-a ținut cont că:

$$\frac{\partial p_m}{\partial y} = - \frac{2}{\pi R} \int_0^{\pi} \zeta_y d\theta = - \frac{2}{\pi R} \int_0^{\pi} \mu \left(\frac{\partial V_y}{\partial \xi} \right)_0 d\theta$$

iar $I_1 = \frac{3}{\pi} \int_0^{\pi} \frac{(\bar{V}_y)_\delta}{\bar{\delta}} d\theta$ și $S = \frac{2Rg}{\bar{V}_y}$ este numărul Strouhal, iar

$$(S)_{\delta, \theta_0} = \frac{2Rg}{(\bar{V}_y)_{\delta, \theta_0}}$$

2.2.2.2. Coeficientul de pierdere λ_R

Expresia vitezei axiale medii în secțiune este:

$$\bar{V}_y = \frac{2}{\pi R^2} \int_{-R}^R (V_y)_\delta (R^2 - x^2)^{1/2} dx - \frac{2}{\pi R} \int_0^{\pi} \int_0^{\delta} (V_y)_\delta d\xi d\theta + \frac{2}{\pi R} \int_0^{\pi} \int_0^{\delta} V_y d\xi d\theta \quad (2.53)$$

scu, în final, utilizând relațiile (2.49), se obține:

$$(\bar{V}_y)_0 = I_2 - I_3 (S Re^2)^{-1/4} (\bar{V}_y)_0^{1/4} \quad (2.54)$$

unde:

$$I_2 = \frac{2}{\pi} \int_0^{\pi} (\bar{V}_y)_\delta \sin^2 \theta d\theta \quad I_3 = \frac{3}{\pi} 2^{-5/4} \int_0^{\pi} (\bar{V}_y)_\delta \cdot \bar{\delta} d\theta$$

Iar, din (2.32):

$$\lambda_{rot} = - \frac{4R}{\bar{V}_y^2} \frac{1}{\rho} \left(\frac{\partial p_m}{\partial y} \right) = \frac{4R}{\bar{V}_y^2} \frac{2}{R} \frac{(\bar{V}_y)_{\delta, \theta_0} \cdot I_1}{\left(\frac{2(\bar{V}_y)_{\delta, \theta_0}}{2^2 R} \right)^{1/4}}$$

și atunci: $\lambda_{rot} = 2^{9/4} I_1 Re^{-1/2} S^{1/4} \bar{V}_y^{-5/4}$ (2.55)

Introducând numărul Strouhal se obține:

$$(S)_{\delta, \theta_0} = I_2 S - I_3 Re^{-1/2} S^{1/2} (S)_{\delta, \theta_0}^{1/4} \quad (2.56)$$

iar

$$\lambda_e = \lambda_{rot} = 2^{9/4} I_1 Re^{-1/2} S^{3/2} (S)_{\delta, \theta_0}^{-5/4} \quad (2.57)$$

unde $I_1 = \Psi \left[(S)_{\delta, \theta_0} \right]$, $I_2 = \Upsilon \left[(S)_{\delta, \theta_0} \right]$, $I_3 = \Upsilon \left[(S)_{\delta, \theta_0} \right]$

2.2.3. Rezultate numerice.

Considerând relațiile (2.49) și (2.54) se obține expresia analitică a distribuției vitezei axiale din conducta dreaptă rotitoare:

$$\frac{V_y}{\bar{V}_y} = \frac{1}{\frac{I_2}{(\bar{V}_y)_f} - I_3 (S \cdot Re^2)^{-1/4} \left(\frac{V_y}{\bar{V}_y}\right)^{-1/4} (\bar{V}_y)_f^{-3/4}} \quad (2.58)$$

Efectuind rezolvarea sistemului de ecuații și integrarea numerică pe calculatorul electronic Polix C 256 s-au obținut în primul rând variațiile mărilor: I_1, I_2, I_3 și $(\bar{V}_y)_f$ fig.2.5 și 2.6

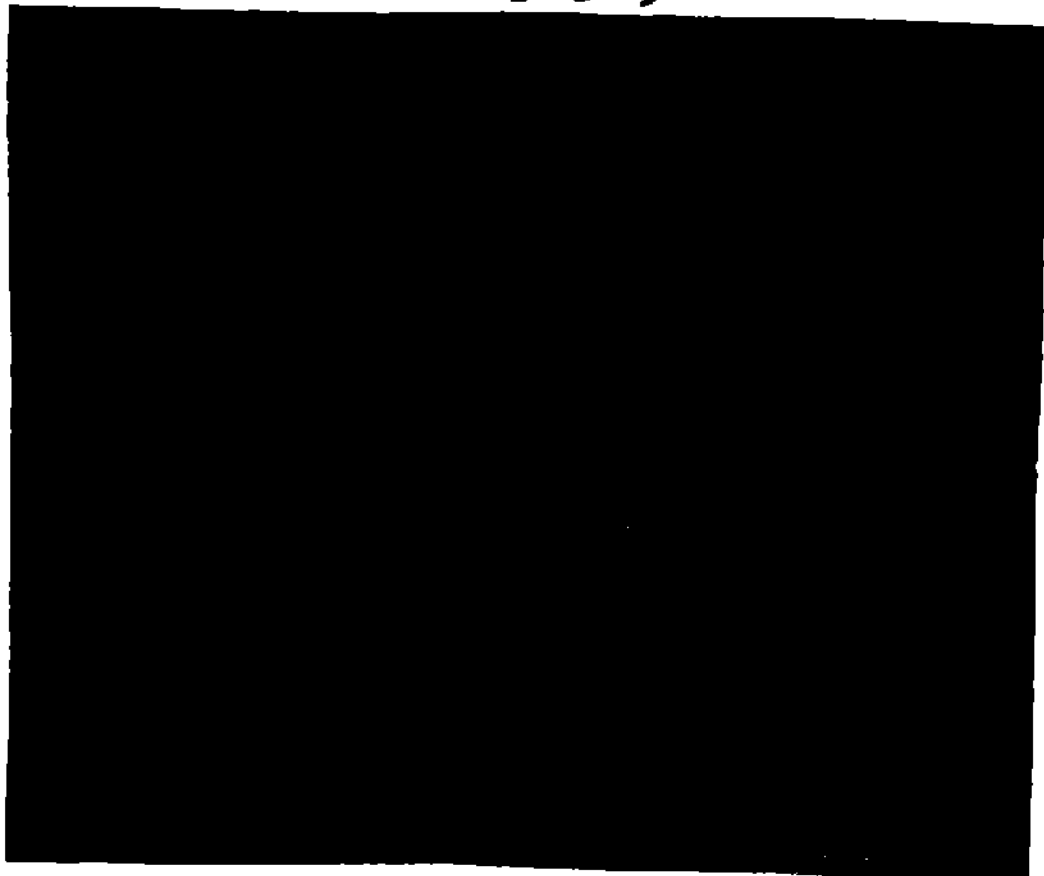


Fig.2.5

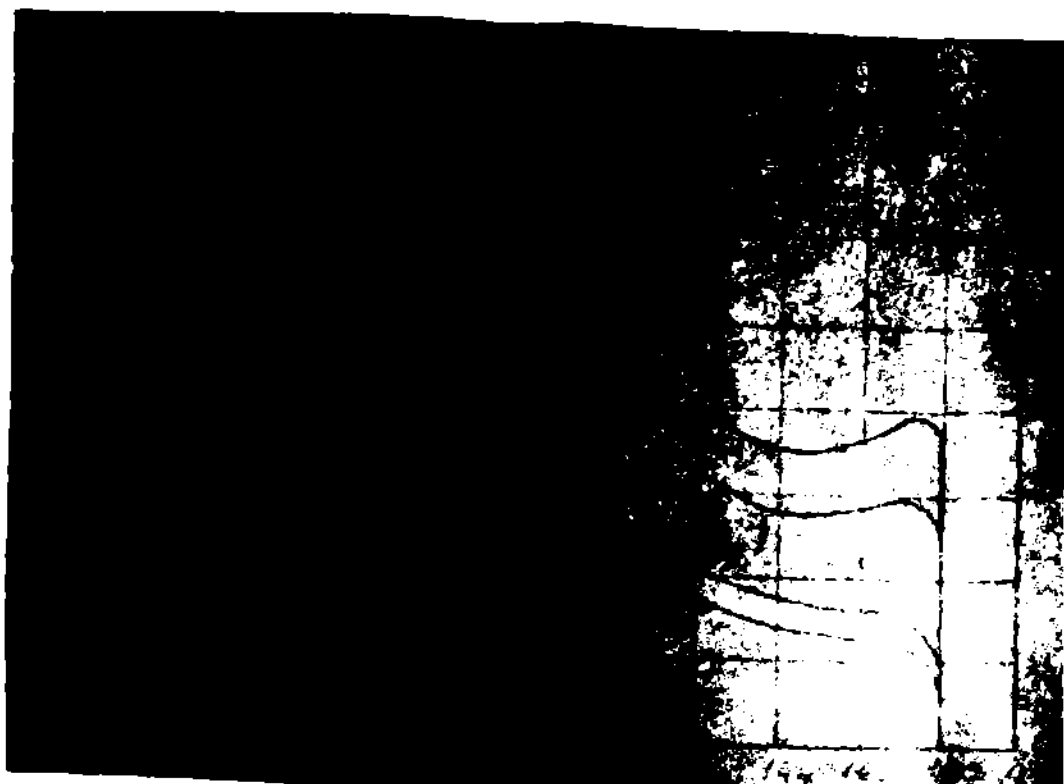


Fig.2.6

Pe baza acestor rezultate primare s-au calculat repartițiile de vitezi, vezi exemplificativ fig.2.7

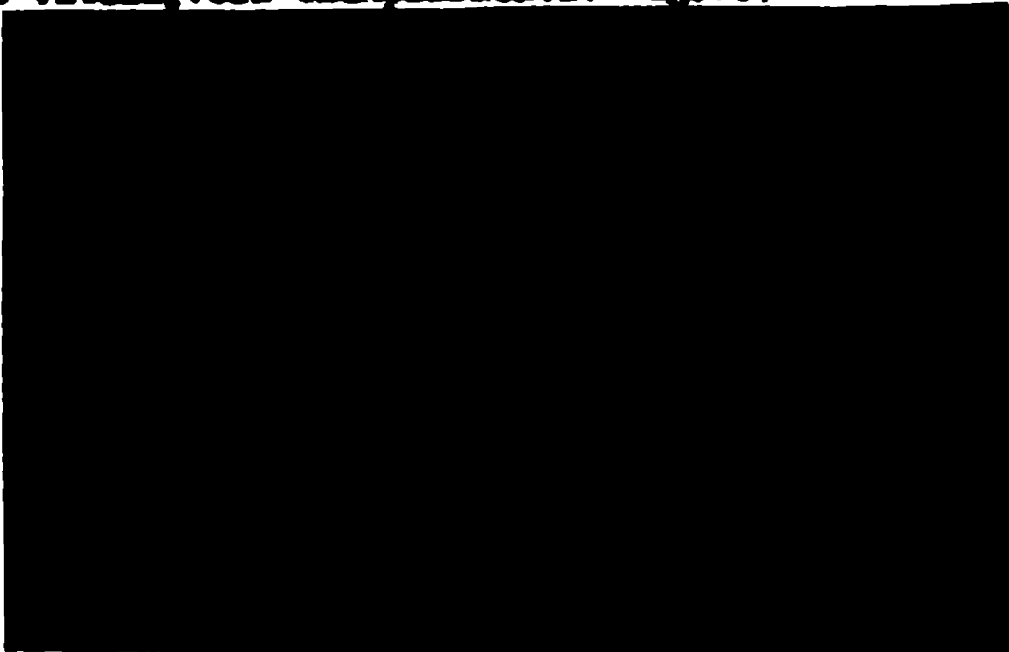


Fig.2.7

Se remarcă imediat că odată cu creșterea rotației, maximele vitezei scade și se deplasează spre centrul conductei. Pentru a analiza valabilitatea modelului teoretic s-au considerat două cazuri extreme, S foarte mic și S foarte mare.



În primul caz, comparând cu experimentul lui Ito /72/ se remarcă o bună concordanță (fig.2.8).

Fig.2.8

În al doilea caz, se observă de asemenea o bună apropiere de datele din /18/, curba teoretică modelând excelent experimental. (fig.2.9). Aceste comparații arată că metoda este general valabilă, indiferent de rotație, fapt important, căci în literatură rezultatele teoretice sunt obținute pentru cazuri particulare, fie

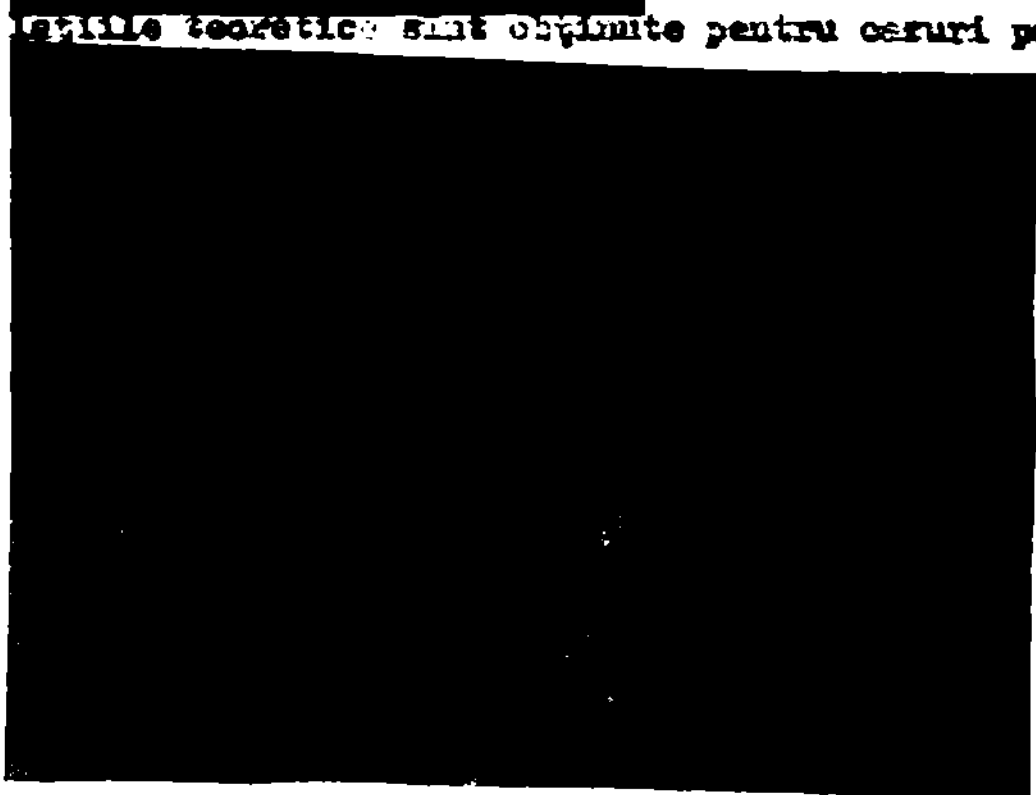


Fig.2.9

rotație foarte mică, fie foarte mare, neglijându-se astfel anumii termeni ai ecuațiilor de mișcare și limitându-se utilitatea modelului teoretic. Prezenta teorie însă obține rezultate prin simplă particularizare, fiind de forma cea mai generală, și permițând o analiză profundă a influenței rotației asupra curgerii, viteza fiind funcție de S , spre deosebire de relațiile existente în literatură; mai mult, se vede că distribuția de viteze se modifică violent de cum apare rotația creșterea acesteia provocând aplatizarea curbei, datorită scăderii influenței termenilor inerțiali, infirmându-se teoria eronată din /153/ (fig. 2.10 arată datele eronate /153/)

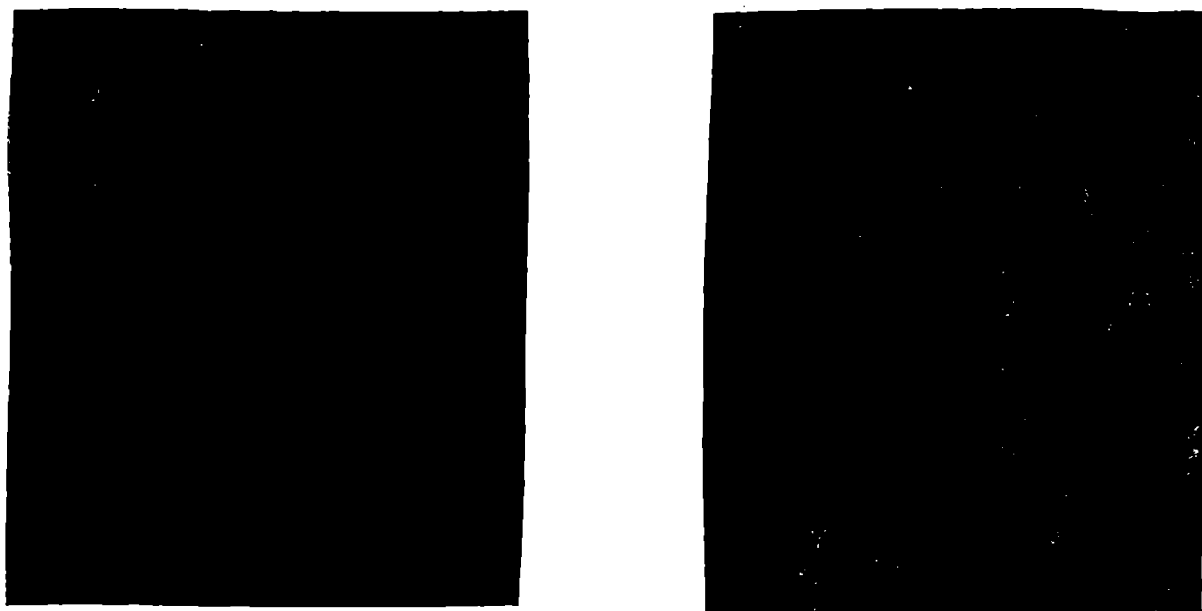
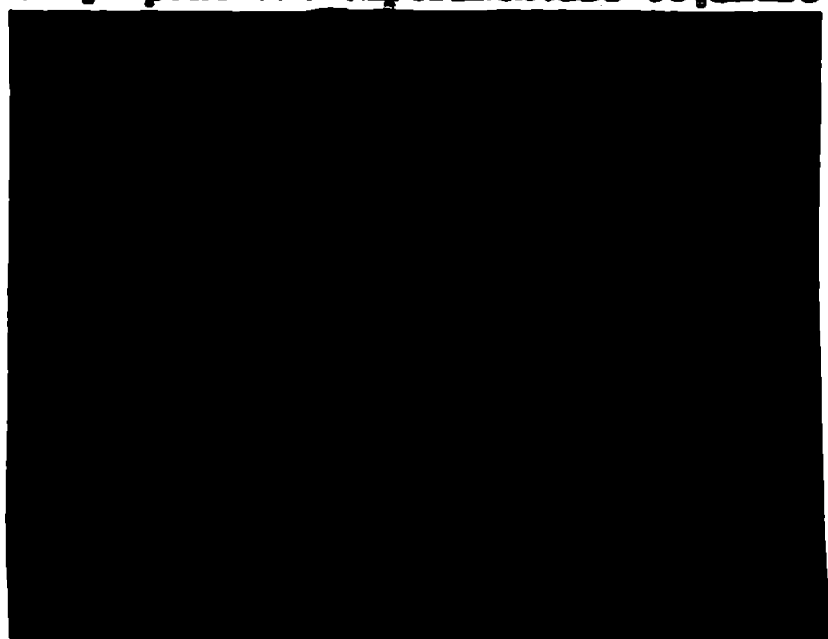


Fig. 2.10

Considerându-se relația (2.57) s-a calculat coeficientul de pierdere λ_R , fig. 2.11. Pentru $Re=200$ s-a prezentat comparativ curba teoretică și punctele experimentale obținute în /72/. Se observă pentru



$S > 1,5$ o apropiere mult mai bună a curbei teoretice din prezenta lucrare de rezultatele experimentale, față de teoria lui Ito, fapt explicabil având în vedere că Ito s-a situat în ipoteza rotației foarte mici.

(fig. 2.12)

Fig. 2.11



Fig.2.12

Dependențele grafice de mai sus au fost prelucrate obținându-se următoarele relații explicite:

$$\lambda_{rot} = 4,75683 I_1 Re^{-1/2} S^{3/2} (S)_{\delta, \theta_0}^{-5/4} \quad (2.59)$$

unde: $(S)_{\delta, \theta_0} = A \cdot S \cdot e^{BS}$

pentru $S \leq 1,5$ (2.60)

$$A = 0,58141 - 1,2505 (Re)^{-1/3}$$

$$B = 0,3421 + 0,4776 (Re)^{-1/3}$$

și $(S)_{\delta, \theta_0} = aS^2 - bS + c$

pentru $1,5 < S < 6$ (2.61)

$$a = 0,71163 - 0,333 (Re)^{-1/3}$$

$$b = 0,77 + 5,52844 (Re)^{-1/2}$$

$$c = 0,885 + 5,9 (Re)^{-1/2}$$

iar

$$I_1 = 0,000164 (S)_{\delta, \theta_0}^2 - 0,00828 (S)_{\delta, \theta_0}^2 + 0,4204 (S)_{\delta, \theta_0} + 0,511 \quad (2.62)$$

In cazul extrin când $S > 6$, iar $Re < 250$ se recomandă:

$$(S)_{\delta, \theta_0} = 5,4687 S - 14,687 \quad (2.63)$$

$$I_1 = -0,00327 (S)_{\delta, \theta_0}^2 + 0,37554 (S)_{\delta, \theta_0} + 0,67909 \quad (2.64)$$

Pe baza acestor relații s-a calculat λ și s-a reprezentat grafic comparativ cu date experimentale din /14/, fig.2.13, /72/, fig. 2.14, /34/, fig.2.15

Se remarcă o foarte bună concordanță, chiar și în cazul canalului de secțiune dreptunghiulară largă, /34/



Fig.2.13



Fig.2.14

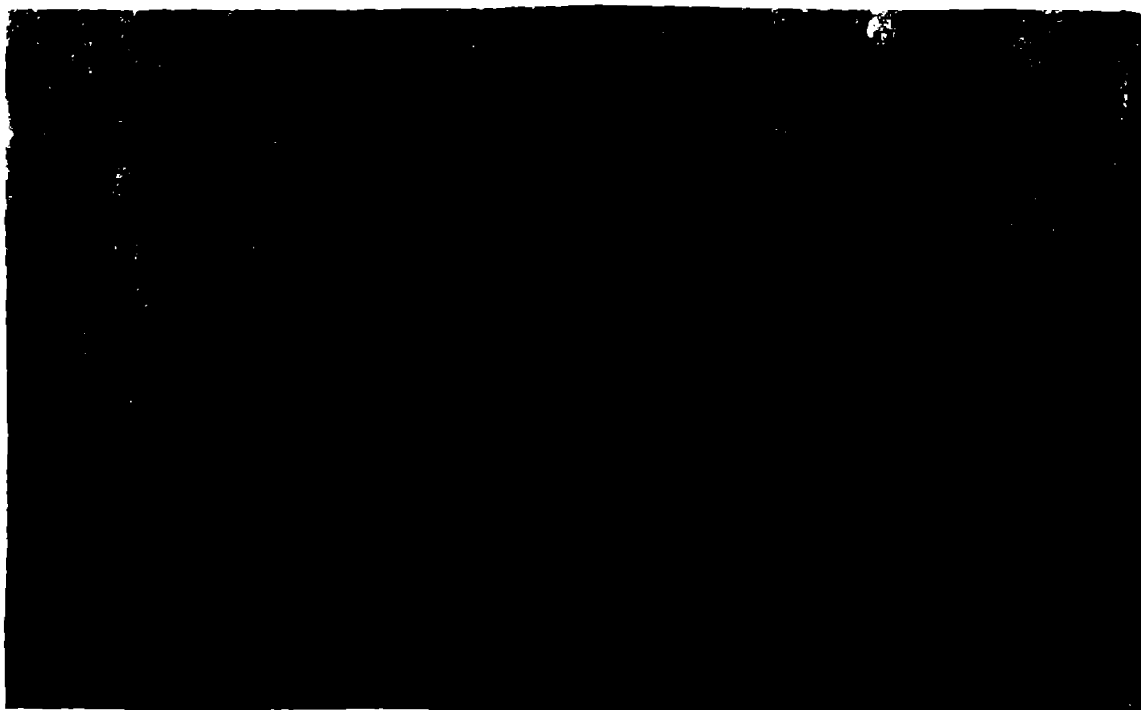


Fig.2.15

2.3. Pierderile hidraulice în conducte curbate fixe.

După cum arată Schlichting /142/ datorită curburii apare o mișcare secundară, provocată de forțele centrifuge și asociată cu mișcarea secundară din conductele rectilinii datorită forțelor Coriolis /34/. Printr-o cercetare teoretică și experimentală curgerii în conducte curbate este Adler /1/, datele măsurărilor punând în evidență efectul curburii, fig. 2.16, 2.17. (Maximul vitezei se deplasează spre interiorul curburii în cazul rotației.)



Fig.2.16



Fig. 2.17

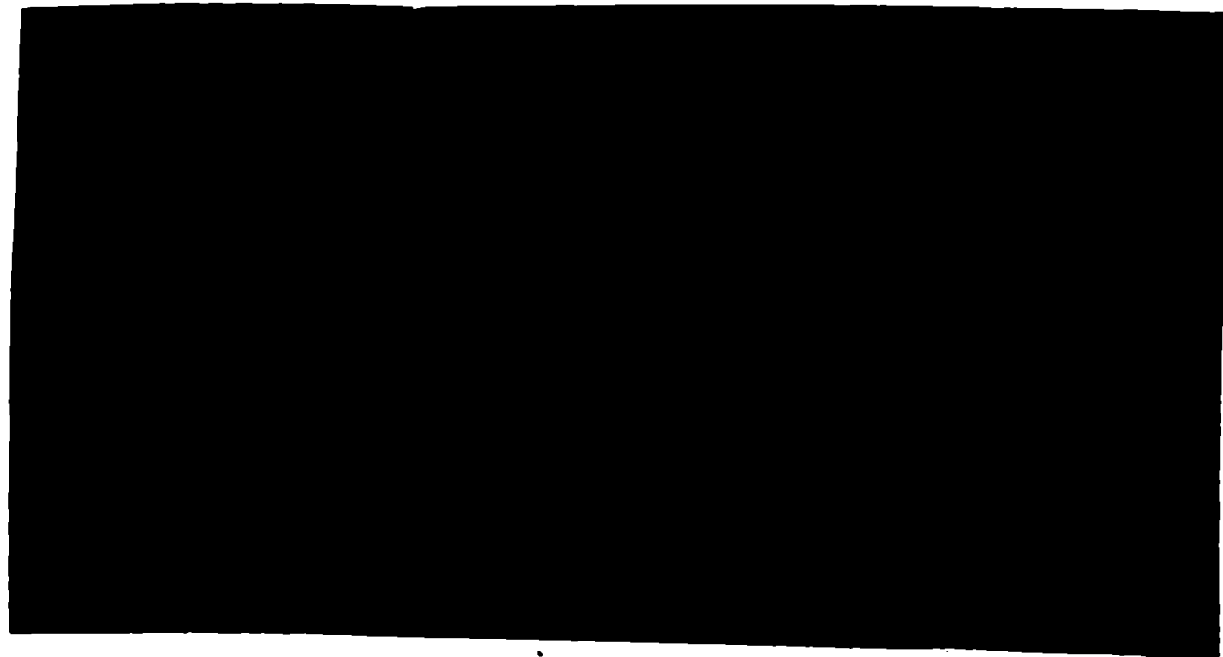


Fig. 2.18

2.3.1. Ecuațiile de mișcare în coordonate cilindrice.

$$\begin{aligned} \frac{\partial v_n}{\partial t} + v_n \frac{\partial v_n}{\partial r} + \frac{v_z}{r} \frac{\partial v_n}{\partial \theta} + \frac{R_c}{R_c + r \cos \theta} v_y \frac{\partial v_n}{\partial y} - \frac{v_z^2}{r} - \frac{v_y^2 \cos \theta}{R_c + r \cos \theta} = -\frac{1}{\rho} \frac{\partial p}{\partial r} + \\ + \nu \left[\frac{\partial^2 v_n}{\partial r^2} + \frac{1}{r} \frac{\partial v_n}{\partial r} + \frac{1}{r^2} \frac{\partial^2 v_n}{\partial \theta^2} + \frac{R_c^2}{(R_c + r \cos \theta)^2} \frac{\partial^2 v_n}{\partial y^2} - \frac{2}{r^2} \frac{\partial v_z}{\partial \theta} + \right. \\ \left. + \frac{1}{R_c + r \cos \theta} \left(\frac{\partial v_n}{\partial r} \cos \theta - \frac{\partial v_n}{r \partial \theta} \sin \theta \right) - \frac{v_n}{r^2} - \frac{v_n \cos^2 \theta}{(R_c + r \cos \theta)^2} + \frac{v_z \sin \theta \cos \theta}{(R_c + r \cos \theta)^2} - \right. \\ \left. - \frac{2 R_c \cos \theta}{(R_c + r \cos \theta)^2} \frac{\partial v_y}{\partial y} \right] \end{aligned} \quad (2.65)$$

$$\begin{aligned} \frac{\partial v_z}{\partial t} + v_n \frac{\partial v_z}{\partial r} + \frac{v_z}{r} \frac{\partial v_z}{\partial \theta} + \frac{R_c}{R_c + r \cos \theta} v_y \frac{\partial v_z}{\partial y} + \frac{v_n v_z}{r} + \frac{v_y^2 \sin \theta}{R_c + r \cos \theta} = -\frac{1}{\rho} \frac{\partial p}{\partial z} + \nu \left[\frac{\partial^2 v_z}{\partial r^2} + \frac{1}{r} \frac{\partial v_z}{\partial r} + \right. \\ \left. + \frac{1}{r^2} \frac{\partial^2 v_z}{\partial \theta^2} + \frac{R_c^2}{(R_c + r \cos \theta)^2} \frac{\partial^2 v_z}{\partial y^2} + \frac{2}{r^2} \frac{\partial v_n}{\partial \theta} - \frac{v_z}{r^2} + \frac{1}{R_c + r \cos \theta} \left(\frac{\partial v_z}{\partial r} \cos \theta - \frac{\partial v_z}{r \partial \theta} \sin \theta \right) + \right. \\ \left. + \frac{v_n \sin \theta \cos \theta}{(R_c + r \cos \theta)^2} - \frac{v_z \sin^2 \theta}{(R_c + r \cos \theta)^2} + \frac{2 R_c \sin \theta}{(R_c + r \cos \theta)^2} \frac{\partial v_y}{\partial y} \right] \end{aligned}$$

$$\frac{\partial v_y}{\partial t} + v_n \frac{\partial v_y}{\partial r} + \frac{v_z}{r} \frac{\partial v_y}{\partial \theta} + \frac{R_c}{R_c + r \cos \theta} v_y \frac{\partial v_y}{\partial y} + \frac{v_y}{R_c + r \cos \theta} (v_n \cos \theta - v_z \sin \theta) = (2.66)$$

$$\begin{aligned} = -\frac{R_c}{R_c + r \cos \theta} \frac{1}{\rho} \frac{\partial p}{\partial y} + \nu \left[\frac{\partial^2 v_y}{\partial r^2} + \frac{1}{r} \frac{\partial v_y}{\partial r} + \frac{1}{r^2} \frac{\partial^2 v_y}{\partial \theta^2} + \frac{R_c^2}{(R_c + r \cos \theta)^2} \frac{\partial^2 v_y}{\partial y^2} + \frac{1}{R_c + r \cos \theta} \left(\frac{\partial v_y}{\partial r} \cos \theta - \frac{\partial v_y}{r \partial \theta} \sin \theta \right) + \right. \\ \left. + \frac{2 R_c \cos \theta}{(R_c + r \cos \theta)^2} \frac{\partial v_n}{\partial y} - \frac{2 R_c \sin \theta}{(R_c + r \cos \theta)^2} \frac{\partial v_z}{\partial y} - \frac{v_y}{(R_c + r \cos \theta)^2} \right] \end{aligned} \quad (2.67)$$

2.3.2. Ecuațiile stratului limită

Ipoteze de calcul:

a) mișcare permanentă; b) fluid incompresibil; c) curgere deplin dezvoltată; d) regiune laminară; e) continuitatea mișcării secundare; f) curgerea se divide formal în două zone: stratul limită, unde se concentrează forțele viscoase și un nucleu potențial; g) curbura conductei este constantă.

Pe baza analizei ordinului de mărime al termenilor ecuațiilor de mișcare, acestea se simplifică simplificat, obținându-se în stratul limită:

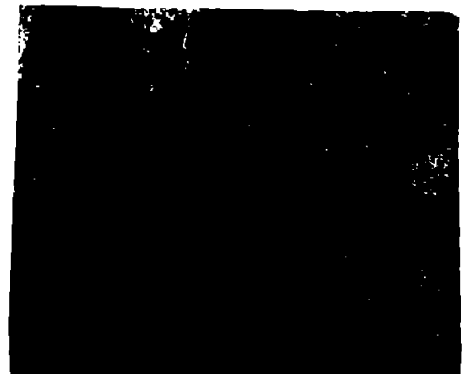


Fig. 2.19

$$\frac{1}{\rho} \frac{\partial p}{\partial r} = 0$$

$$v_n \frac{\partial v_z}{\partial r} + \frac{v_z}{R} \frac{\partial v_z}{\partial \theta} + \frac{v_y^2 \sin \theta}{R_c} = -\frac{1}{\rho} \frac{\partial p}{R \partial \theta} + \nu \frac{\partial^2 v_z}{\partial r^2}$$

$$\frac{\partial}{\partial r} (v_n v_y) + \frac{1}{R} \frac{\partial}{\partial \theta} (v_z v_y) - \frac{2v_y v_z \sin \theta}{R_c} = \nu \frac{\partial^2 v_y}{\partial r^2} \quad (2.68)$$

În afara stratului limită, ecuațiile se scriu:

$$-\frac{v_y^2}{R_c} = -\frac{1}{\rho} \frac{\partial p}{\partial x}$$

$$v_x \frac{\partial v_y}{\partial x} + \frac{v_x v_y}{R_c} = -\frac{1}{\rho} \frac{\partial p}{\partial y} \quad (2.69)$$

$$0 = -\frac{1}{\rho} \frac{\partial p}{\partial z}$$

de unde:

$$(v_x)_f = -\left(\frac{1}{\rho} \frac{\partial p}{\partial y}\right)_f \frac{1}{\left(\frac{\partial v_y}{\partial x}\right)_f + \frac{(v_y)_f}{R_c}} \quad (2.70)$$

$$\left(\frac{\partial p}{\partial \theta}\right)_f = -\rho \frac{R}{R_c} (v_y^2)_f \sin \theta \quad (2.71)$$

Integrând ecuațiile de mișcare din stratul limită pe o grosime constantă δ se obține:

$$-\frac{1}{R} \frac{d}{d\theta} \int_0^\delta v_z^2 d\xi + \frac{\sin\theta}{R_c} \int_0^\delta [v_z^2 + (v_z)_\delta^2 - v_y^2] d\xi = \nu \left(\frac{\partial v_z}{\partial \xi} \right)_0$$

$$-\frac{1}{R} \frac{d}{d\theta} \int_0^\delta v_z v_y d\xi + (v_y)_\delta \frac{1}{R} \frac{d}{d\theta} \int_0^\delta v_z d\xi - (v_y)_\delta \frac{\sin\theta}{R_c} \int_0^\delta v_z d\xi + \quad (2.72)$$

$$+ \frac{2 \sin\theta}{R_c} \int_0^\delta v_z v_y d\xi = \nu \left(\frac{\partial v_y}{\partial \xi} \right)_0 \quad (2.73)$$

$$\left(\frac{dv_y}{d\theta} \right)_\delta = \frac{(v_y)_\delta}{R_c} R \sin\theta + \frac{(\partial p / \partial y) R^2 \sin^2\theta}{\rho \int_0^\delta v_z d\xi} \quad (2.74)$$

ultima ecuație obținându-se din continuitatea mișcării secundare
Soluționarea ecuațiilor integrale se face utilizând metoda Pohlhausen /16.1/

Viteza tangențială are expresia:

$$v_z = \frac{\delta^2}{\sqrt{R_c}} (v_y)_\delta^2 \sin\theta G_1(\eta) + \frac{\Delta}{\sqrt{R_c}} G_2(\eta) \quad (2.75)$$

unde:

$$G_1 = \frac{1}{6} (2\eta - 3\eta^2 + \eta^4), \quad G_2(\eta) = \frac{1}{6} (\eta - 3\eta^3 + 2\eta^4)$$

Viteza axială (relează ca și pentru v_z condițiile la limită) este:

$$v_y = (v_y)_\delta G_3(\eta) \quad (2.76)$$

unde:

$$G_3(\eta) = 2\eta - 2\eta^3 + \eta^4$$

Condițiile la limită, identice cu cele de la conducta rotitoare sînt:

$$\begin{aligned} \xi = 0 & \Rightarrow v_y = 0 \\ \xi = \delta & \Rightarrow v_y = (v_y)_\delta ; (\partial v_y / \partial \xi) = 0 \end{aligned} \quad (2.77)$$

$$\begin{aligned} \xi = 0 & \Rightarrow v_z = 0 \\ \xi = \delta & \Rightarrow v_z = 0 ; (\partial v_z / \partial \xi) = 0 \end{aligned} \quad (2.78)$$

Utilizând coeficienții adimensionali: $(v_y)_\delta = (\bar{v}_y)_\delta (v_y)_{\delta, \theta_0}$

$$\delta = \bar{\delta} \left(\frac{\nu^2 R R_c}{(v_y)_{\delta, \theta_0}^2} \right)^{1/4}$$

$$\Delta = \bar{\Delta} \nu R^{1/2} R_c^{1/2} (v_y)_{\delta, \theta_0} \quad (2.79)$$

și notînd parametrul de curbură, $P_c = R/\bar{\delta}$, ecuațiile devin:

$$-\frac{d}{d\theta} \left[\frac{17}{315} \bar{\delta}^5 (\bar{v}_y)_\delta^4 \sin^2\theta + \frac{101}{1260} \bar{\delta}^3 \bar{\Delta} (\bar{v}_y)_\delta^2 \sin\theta + \frac{19}{630} \bar{\delta} \bar{\Delta}^2 \right] + \quad (2.80)$$

$$+ P_c \sin\theta \left[\frac{17}{315} \bar{\delta}^5 (\bar{v}_y)_\delta^4 \sin^2\theta + \frac{101}{1260} \bar{\delta}^3 \bar{\Delta} (\bar{v}_y)_\delta^2 \sin\theta + \frac{19}{630} \bar{\delta} \bar{\Delta}^2 \right] =$$

$$= G \left[\frac{\bar{\Delta}}{\bar{\delta}} - \frac{53}{105} \bar{\delta} (\bar{v}_y)_\delta^2 \sin\theta \right]$$

$$\begin{aligned}
 & -\frac{d}{d\theta} \left[\frac{167}{126} \bar{\delta}^3 (\bar{V}_y)_\delta \sin \theta + \frac{263}{252} \bar{\delta} (\bar{V}_y)_\delta \bar{\Delta} \right] + \\
 & + (\bar{V}_y)_\delta \frac{d}{d\theta} \left[2 \bar{\delta}^3 (\bar{V}_y)_\delta^2 \sin \theta + \frac{3}{2} \bar{\delta} \bar{\Delta} \right] - \\
 & - (\bar{V}_y)_\delta \sin \theta \cdot P_c \left[2 \bar{\delta}^3 (\bar{V}_y)_\delta^2 \sin \theta + \frac{3}{2} \bar{\delta} \bar{\Delta} \right] + \sin \theta P_c \left[\frac{167}{63} \bar{\delta}^3 (\bar{V}_y)_\delta^3 \sin \theta + \right. \\
 & \left. + \frac{263}{126} \bar{\delta} (\bar{V}_y)_\delta \bar{\Delta} \right] = 120 \frac{(\bar{V}_y)_\delta}{\bar{\delta}}
 \end{aligned} \tag{2.81}$$

$$\frac{d(\bar{V}_y)_\delta}{d\theta} = (\bar{V}_y)_\delta \sin \theta \cdot P_c - \frac{I_1 \sin^2 \theta}{\left[\frac{1}{30} \bar{\delta}^3 (\bar{V}_y)_\delta^2 \sin \theta + \frac{1}{40} \bar{\delta} \bar{\Delta} \right]} \tag{2.82}$$

unde $I_1 = \frac{4}{\pi} \int_0^{\pi} \frac{(\bar{V}_y)_\delta}{\bar{\delta}} d\theta$

2.3.3. Coeficientul de pierdere λ_c

Introducând expresia pentru viteza axială medie (2.53) rezultă în final:

$$\tilde{V}_{y/o} = I_2 - I_3 D^{-1/2} \tilde{V}_{y/o}^{1/2} \tag{2.83}$$

unde $\tilde{V}_{y/o} = \tilde{V}_y / (\bar{V}_y)_\delta, \theta_0$

$$I_2 = \frac{2}{\pi} \int_0^{\pi} (\bar{V}_y)_\delta \sin^2 \theta d\theta, \quad I_3 = \frac{3 \cdot 2^{1/2}}{5 \cdot \pi} \int_0^{\pi} (\bar{V}_y)_\delta \bar{\delta} d\theta$$

iar

$$D = Re(P_c)^{1/2} \text{ este numărul Dean}$$

Similar cu /1/ și /69/ :

$$\lambda_c = -\frac{1}{\rho} \frac{\partial p}{\partial y} \frac{4R}{\tilde{V}_y^2} \tag{2.84}$$

sau, utilizând coeficienții adimensionali:

$$\lambda_c = 2 I_1 D^{5/2} (P_c)^{-1/2} \tilde{V}_{y/o}^{-3/2} \tag{2.85}$$

2.3.4. Rezultate numerice.

Considerând relațiile (2.79) și (2.83) se obține expresia analitică a vitezei axiale:

$$\frac{V_y}{\bar{V}_y} = (\bar{V}_y)_\delta \cdot \left[\frac{1}{2} \left(-I_3 D^{-1/2} + \sqrt{I_3^2 D^{-1} + 4 I_2} \right) \right]^{-2} \tag{2.86}$$

Rezolvând sistemul de ecuații (2.80), (2.81), (2.82) și integrând numeric pentru valori parametrice ale lui P_c se determină variația mărimilor I_1, I_2, I_3 fig. 2.20



Fig. 2.20

S-au determinat apoi distri-
buțiile de viteză, din (2.86)
fig. 2.21 și 2.22. Se observă
că viteza depinde de cele
două criterii de similitudi-
ne hotărâtoare aici, Re și
 P_c . Pentru $Re=ct.$ se remarcă
ca și în cazul conductei ro-
titoare, că odată cu apari-
ția curburii, deci P_c foarte
mic, alura vitezei se modi-
fică brutal, forțele centri-
fuge determinând deplasarea
maximului vitezei pe perete
le interior concav; cu creș-

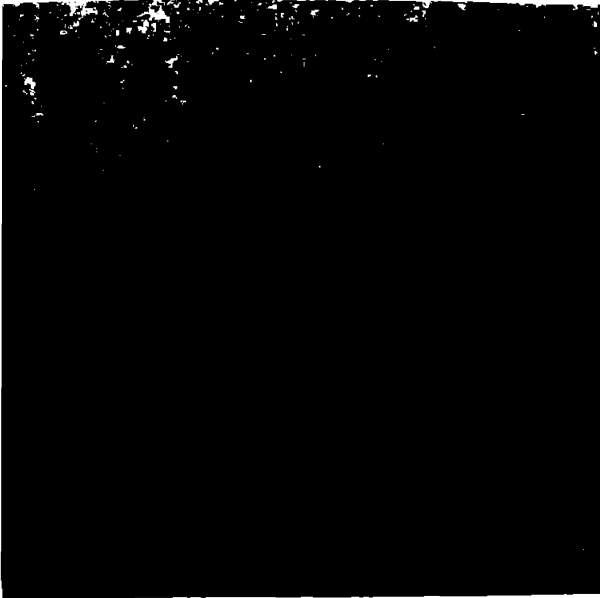


Fig. 2.21



Fig. 2.22

terea curburii viteza tinde să se aplatizeze. În fig. 2.22 se com-
pară cu date experimentale, remarcându-se o bună concordanță.

Relația (2.05) se rescrie pentru facilitarea calculului:

$$\lambda_c = 2^{1/2} I_1 D^{-1/2} P_c^{-1/2} \left(\sqrt{I_3^2 D^{-1} + 4 I_2} - I_3 D^{-1/2} \right)^{-3} \quad (2.87)$$

unde:

$$I_1 = 0,3844 P_c^2 + 0,3174 P_c + 0,5211$$

$$I_2 = 0,0511 P_c^2 + 0,6741 P_c + 0,56117$$

$$I_3 = -0,7888 P_c^2 + 3,7561 P_c + 2,054$$

Așa cum arată Lobner /34/ spectrul hidrodinamic al curgerii
în conducte curbate poate fi comparat cu cel al curgerii în con-
ducte rotitoare, pentru cazul când există identitatea $S \equiv P_c$ valo-
rică. În fig. 2.23 se prezintă comparativ coeficientul de pierdere



Fig.2.23

calculat pentru conducta curbata cu relatia (2.57) si pentru conducta retinatoare cu relatia (2.59), remarcandu-se o foarte buna apropiere a valorilor, ceea ce confirma justetea relatiilor obtinute. Se vede clar ca pierderile hidraulice cresc odata cu cresterea rotatiei sau a curburii, foarte violent in domeniul valorilor mici pentru S si R , urmand apoi o tendinta de aplatizare.

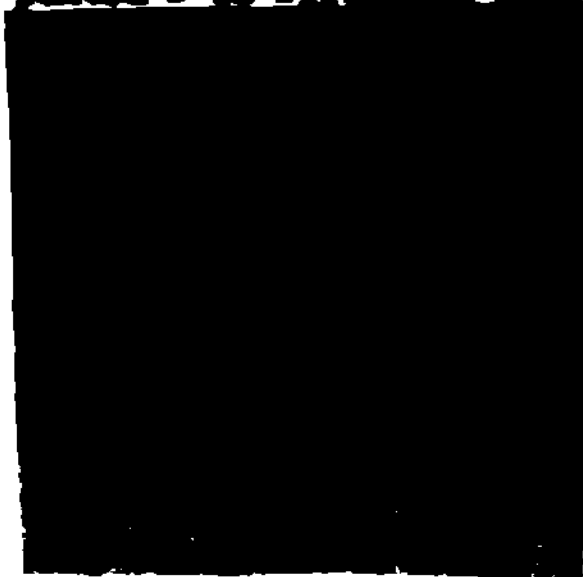


Fig. 2.24

In fig.2.24 si 2.25 se prezinta λ_c in comparatie cu date teoretice (tributare ipotetice R_c foarte mare), diferentele datorindu-se ipotezei simplificatorii folosite in literatura. Comparand cu experimentul se remarcă o buna congruenta, ce validează prezenta metodă (fig.2.26,2.27,2.28,2.29,2.30, 2.31,2.32)

Din diagramele prezentate se poate conchiziiona ca metoda elaborată este general valabila, indiferent de valoarea

curburii, spre ischimbare de metodele existante in literatura.

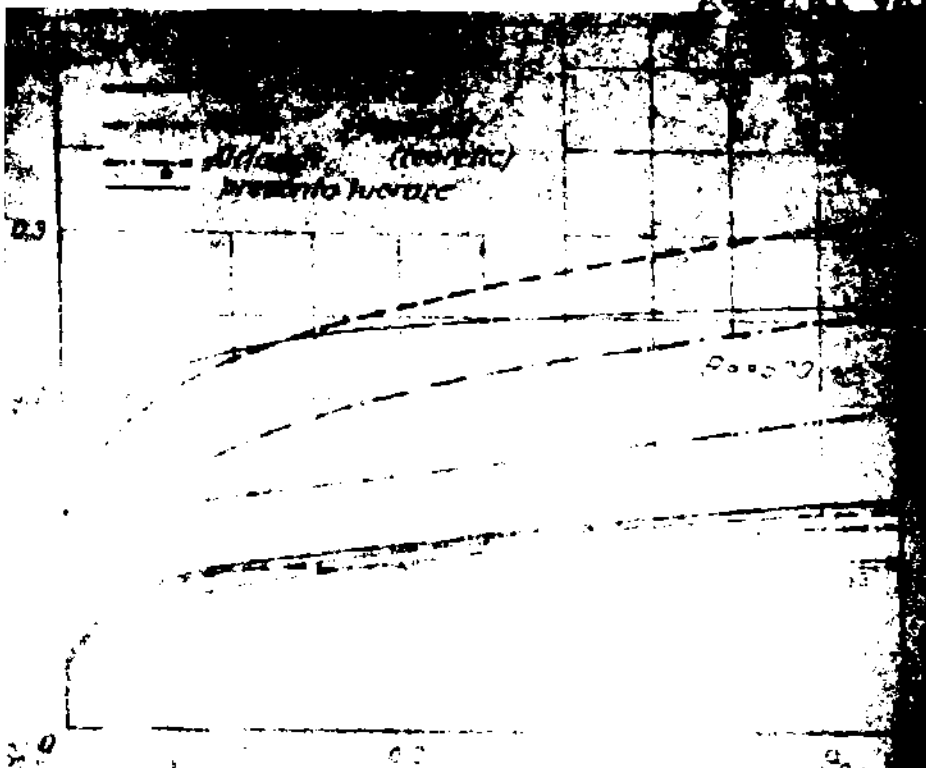


Fig.2.25



Fig. 2.26



Fig. 2.27

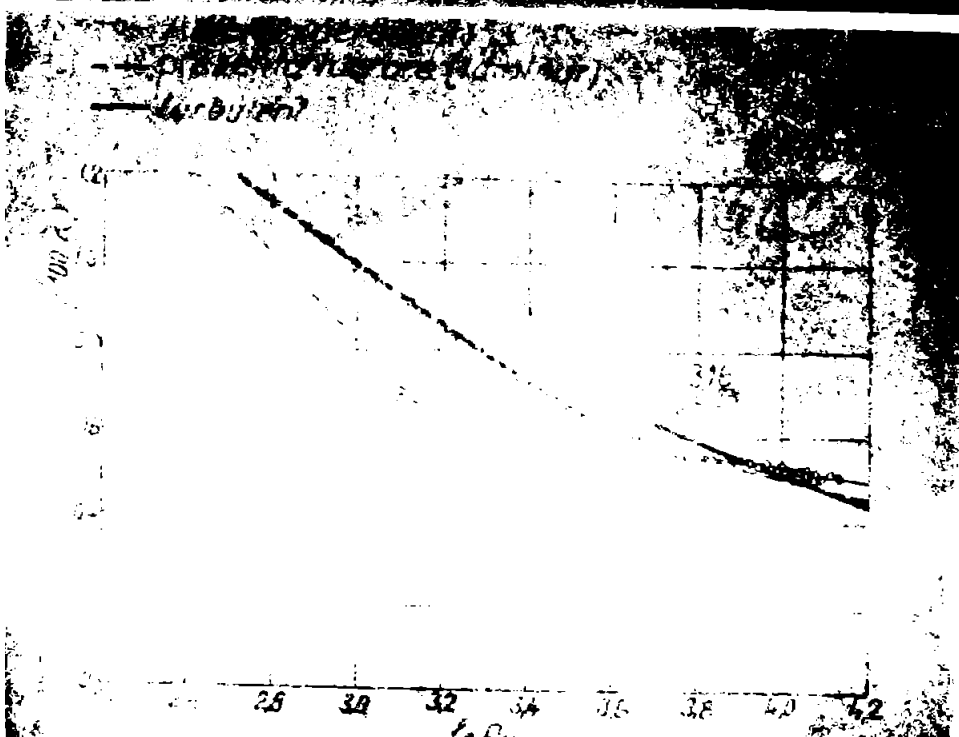


Fig. 2.28



Fig. 2.29

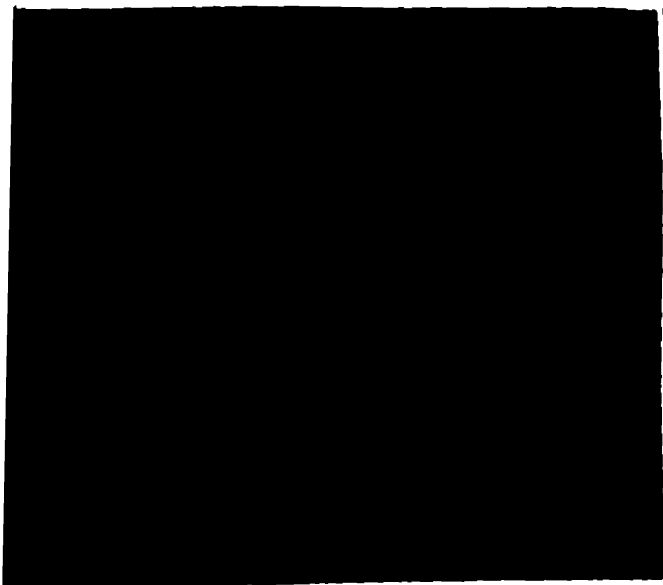


Fig. 2.30

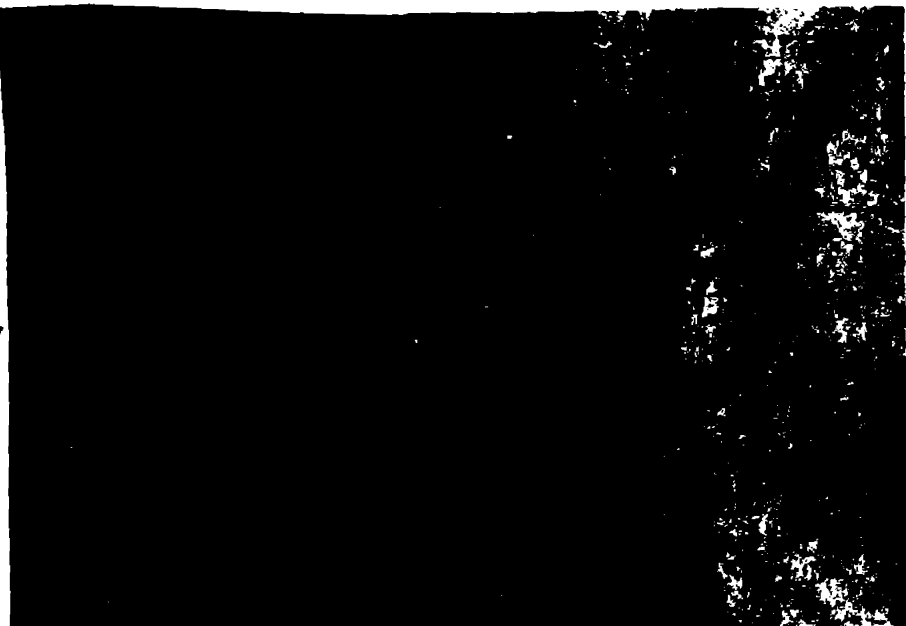


Fig. 2.31



Fig. 2.32

2.4. Pierderile hidraulice în conducte curbate rotitoare,

2.4.1. Curgerea în conducta rotitoare curbată.

Ținând seama de analogia posibilă cu canalele interpaletare din turbomășini, se impune luarea în considerare atât a rotației cit și a curburii, înglobând totul într-o metodă unitară, bazată pe rezultatele bune obținute mai sus. Spectrul hidrodinamic al curgerii în conducte rotitoare curbate este extrem de complex; dacă conducta se rotește înapoi, cu partea convexă, așa cum se întâmplă de obicei la pompe, curenții secundari datorati rotației, respectiv curburii, sînt de sens contrar, acțiunea forțelor Coriolis opunîndu-se acțiunii forțelor centrifuge, apărînd o rezultantă ce depinde de S și de P_c .

Hoffmaister /57/ stabilește un criteriu de apreciere a mișcării secundare rezultante, de felul următor: dacă $1 < 2g R_c / \sqrt{v_y} < 2$, mișcarea secundară rezultantă este minimă; dacă $2g R_c / \sqrt{v_y} > 2$, predomină influența rotației, curgerea secundară avînd sensul conform cazului 2.2.; dacă $2g R_c / \sqrt{v_y} < 1$, predomină influența curburii și mișcarea rezultantă are sensul conform cazului 2.3. Ito și Motai /71/ utilizînd metoda aproximațiilor succesive, calculează "fascinanta comportare a curenților", în

fig. 2.33 prezentîndu-se mișcarea secundară (jucătaton superioară) și distribuția vîrtejurilor (jum. inferioară) pentru rotație pozitivă (direcția curgerii secundare aceeași cu cea datorată curburii); în fig. 2.34 rotația este negativă, dar nică, față de efectul curburii; în fig. 2.35, forțele Coriolis sînt comparabile cu cele centrifuge, $S = P_c$, remarciindu-se două mișcări secundare adiacente, de sens contrar, aceasta însemnînd că pierderile nu se anihilează, ci rîmîn importante; în fig. 2.36 și 2.37 forțele Coriolis sînt dominante.

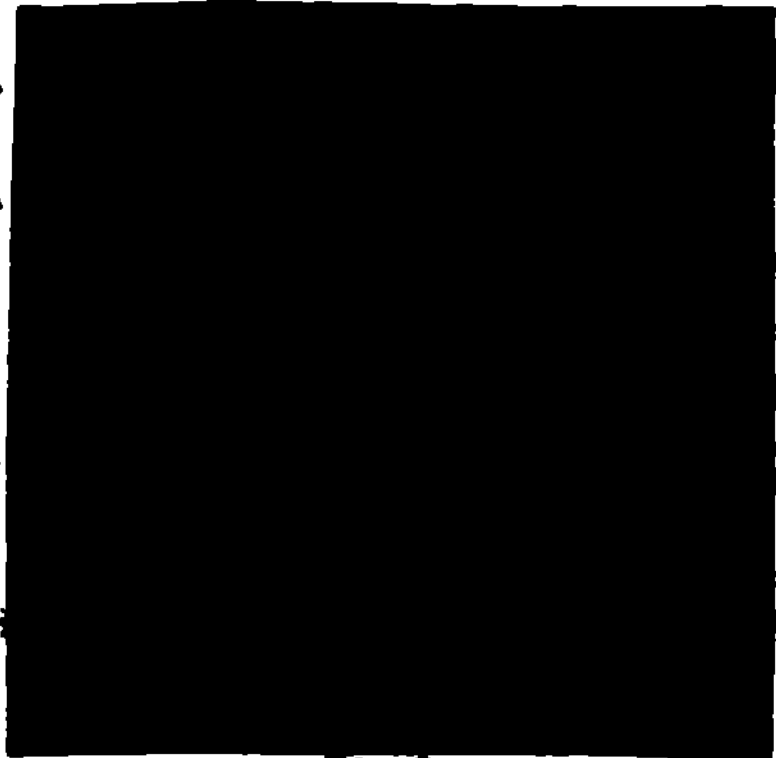


Fig. 2.33

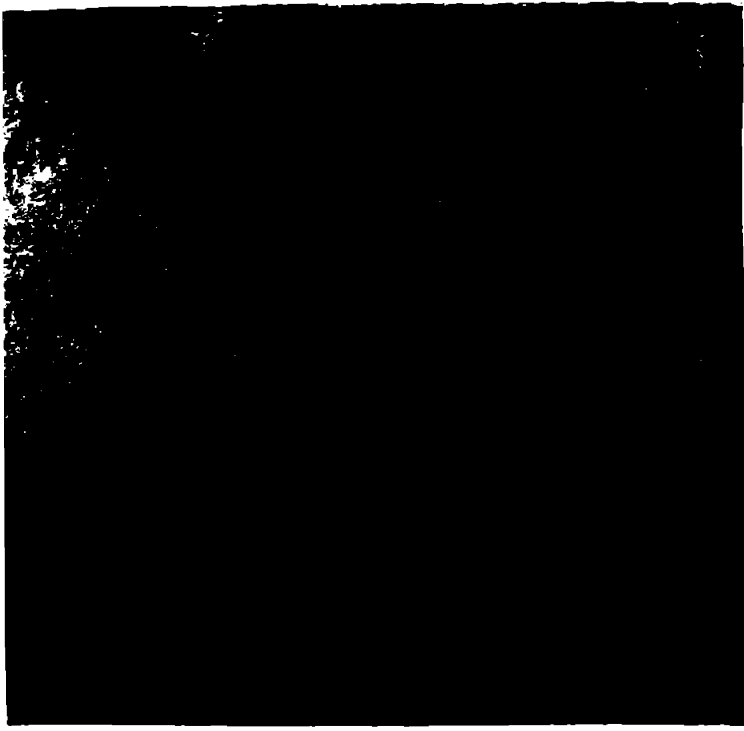


Fig.2.34

Fig.2.35

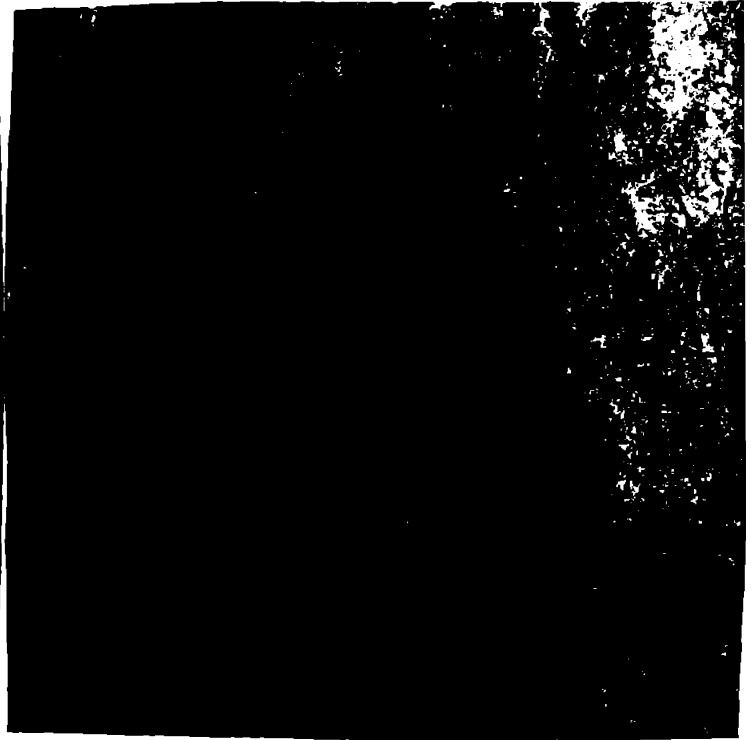


Fig.2.36

Fig.2.37

2.4.2. Ecuațiile de mișcare în coordonata cilindrice.



Fig.2.38

$$\begin{aligned} & \frac{\partial V_n}{\partial z} + V_n \frac{\partial V_n}{\partial r} + \frac{V_z}{r} \frac{\partial V_n}{\partial \theta} + V_y \frac{\partial V_n}{\partial y} - \frac{V_z^2}{r} + \frac{V_y^2 \cos \theta}{R_c} - 2g V_y \cos \theta = \\ & = -\frac{1}{\rho} \frac{\partial p_m}{\partial r} + \nu \left[\frac{\partial^2 V_n}{\partial r^2} + \frac{1}{r} \frac{\partial V_n}{\partial r} + \frac{1}{r^2} \frac{\partial^2 V_n}{\partial \theta^2} + \frac{\partial^2 V_n}{\partial y^2} - \frac{2}{r^2} \frac{\partial V_z}{\partial \theta} \frac{V_n}{r^2} - \right. \\ & \left. - \frac{1}{R_c} \left(\frac{\partial V_n}{\partial r} \cos \theta - \frac{\partial V_n}{r \partial \theta} \sin \theta \right) - \frac{V_n \cos^2 \theta}{R_c^2} + \frac{V_z \sin \theta \cos \theta}{R_c^2} + \frac{2 \cos \theta}{R_c} \frac{\partial V_y}{\partial y} \right] \end{aligned} \quad (2.88)$$

$$\begin{aligned} & \frac{\partial V_z}{\partial z} + V_n \frac{\partial V_z}{\partial r} + \frac{V_z}{r} \frac{\partial V_z}{\partial \theta} + V_y \frac{\partial V_z}{\partial y} + \frac{V_n V_z}{r} - \frac{V_y^2 \sin \theta}{R_c} + 2g V_y \sin \theta = \\ & = -\frac{1}{\rho} \frac{\partial p_m}{r \partial \theta} + \nu \left[\frac{\partial^2 V_z}{\partial r^2} + \frac{1}{r} \frac{\partial V_z}{\partial r} + \frac{1}{r^2} \frac{\partial^2 V_z}{\partial \theta^2} + \frac{\partial^2 V_z}{\partial y^2} + \frac{2}{r^2} \frac{\partial V_n}{\partial \theta} \right. \\ & \left. - \frac{V_z}{r^2} - \frac{1}{R_c} \left(\frac{\partial V_z}{\partial r} \cos \theta - \frac{\partial V_z}{r \partial \theta} \sin \theta \right) + \frac{V_n \sin \theta \cos \theta}{R_c^2} - \frac{V_z \sin^2 \theta}{R_c^2} - \right. \\ & \left. - \frac{2}{R_c} \sin \theta \frac{\partial V_y}{\partial y} \right] \end{aligned} \quad (2.89)$$

$$\begin{aligned} & \frac{\partial V_z}{\partial z} + V_n \frac{\partial V_y}{\partial r} + \frac{V_z}{r} \frac{\partial V_y}{\partial \theta} + V_y \frac{\partial V_y}{\partial y} - \frac{V_y}{R_c} (V_n \cos \theta - V_z \sin \theta) + \\ & + 2g (V_n \cos \theta - V_z \sin \theta) = -\frac{1}{\rho} \frac{\partial p_m}{\partial y} + \nu \left[\frac{\partial^2 V_y}{\partial r^2} + \frac{1}{r} \frac{\partial V_y}{\partial r} + \frac{\partial^2 V_y}{r^2 \partial \theta^2} + \right. \\ & \left. + \frac{\partial^2 V_y}{\partial y^2} - \frac{1}{R_c} \left(\frac{\partial V_y}{\partial r} \cos \theta - \frac{\partial V_y}{r \partial \theta} \sin \theta \right) - \frac{2 \cos \theta}{R_c} \frac{\partial V_n}{\partial y} + \frac{2 \sin \theta}{R_c} \frac{\partial V_z}{\partial y} - \frac{V_y}{R_c^2} \right] \end{aligned} \quad (2.90)$$

Iar ecuația de continuitate este:

$$\frac{\partial V_n}{\partial r} + \frac{V_n}{r} + \frac{\partial V_z}{r \partial \theta} + \frac{\partial V_y}{\partial y} - \frac{1}{R_c} (V_n \cos \theta - V_z \sin \theta) = 0 \quad (2.91)$$

Prin particularizare ($\varphi=0$ sau $R_c = \infty$) se pot obține ecuațiile de mișcare pentru cazul conductei drepte rotitoare sau conductei fixe curbate.

2.4.3. Ecuațiile de mișcare în stratul limită.

Ipotese de calcul: a) mișcarea relativă permanentă; b) fluid incompresibil; c) curgere depășită dezvoltată; d) continuitatea curgerii secundare; e) regiune laminară; f) rotație constantă; g) curbura constantă; h) formal, curgerea subdividă în două: un strat limită unde se concentrează forțele vâscose și un nucleu potențial.

Analizând ordinea de mărime a termenilor ecuațiilor se obține în final:

$$-\frac{V_z^2}{R} + \frac{V_y^2 \cos \theta}{R_c} \left[1 - \frac{2g R_c}{V_y} \right] = -\frac{1}{\rho} \frac{\partial p_m}{\partial r} \quad (2.92)$$

$$V_n \frac{\partial V_z}{\partial r} + \frac{V_z}{R} \frac{\partial V_z}{\partial \theta} - \frac{V_y^2 \sin \theta}{R_c} \left[1 - \frac{2g R_c}{V_y} \right] = - \frac{1}{\rho} \frac{\partial p_m}{R \partial \theta} + \nu \frac{\partial^2 V_z}{\partial r^2} \quad (2.93)$$

$$V_n \frac{\partial V_y}{\partial r} + \frac{V_z}{R} \frac{\partial V_y}{\partial \theta} + \frac{V_y V_z \sin \theta}{R_c} \left[1 - \frac{2g R_c}{V_y} \right] = \nu \frac{\partial^2 V_y}{\partial r^2} \quad (2.94)$$

Se observă evidențierea parantezei $\left[1 - \frac{2g R_c}{V_y} \right]$ ce corespunde criteriului de apreciere a mișcării secundare rezultate discutat anterior.

În afara stratului limită ecuațiile devin:

$$\frac{V_y^2}{R_c} - 2g V_y = - \frac{1}{\rho} \frac{\partial p_m}{\partial x} \quad (2.95)$$

$$V_x \frac{\partial V_y}{\partial x} - \frac{V_x V_y}{R_c} + 2g V_x = - \frac{1}{\rho} \frac{\partial p_m}{\partial y}$$

$$0 = - \frac{1}{\rho} \frac{\partial p_m}{\partial z}$$

și de aici:

$$\left(\frac{\partial p_m}{\partial \theta} \right)_s = \frac{\rho R \sin \theta}{R_c} (V_y)_s^2 - 2g \rho (V_y)_s R \sin \theta \quad (2.96)$$

$$V_x = - \frac{1}{\rho} \frac{\partial p_m}{\partial y} \frac{1}{\frac{\partial V_y}{\partial x} - \frac{V_y}{R_c} + 2g} \quad (2.97)$$

Considerând o grosime constantă a stratului limită δ , ecuațiile de mișcare se pot integra:

$$- \frac{1}{R} \frac{d}{d\theta} \int_0^\delta V_z^2 d\xi - \frac{\sin \theta}{R_c} \int_0^\delta [V_z^2 + (V_y)_s^2 - V_y^2] d\xi + 2g \sin \theta \int_0^\delta [(V_y)_s - V_y] d\xi = \nu \left(\frac{\partial V_z}{\partial \xi} \right)_0 \quad (2.98)$$

$$- \frac{1}{R} \frac{d}{d\theta} \int_0^\delta V_z V_y d\xi + (V_y)_s \frac{1}{R} \frac{d}{d\theta} \int_0^\delta V_z d\xi + (V_y)_s \frac{\sin \theta}{R_c} \int_0^\delta V_z d\xi - \frac{2 \sin \theta}{R_c} \int_0^\delta V_z V_y d\xi + 2g \sin \theta \int_0^\delta V_z d\xi = \nu \left(\frac{\partial V_y}{\partial \xi} \right)_0 \quad (2.99)$$

iar din ipoteza d):

$$\frac{d(V_y)_\delta}{d\theta} = -\frac{(V_y)_\delta R \sin \theta}{R_c} \left[1 - \frac{2g R_c}{(V_y)_\delta} \right] + \frac{\frac{\partial p_M}{\partial y} R^2 \sin^2 \theta}{\rho \int_0^\delta v_\zeta d\zeta} \quad (2.100)$$

Condițiile la limită sînt:

$$\zeta = 0, \quad v_\zeta = 0 \quad (2.101)$$

$$\zeta = \delta, \quad v_\zeta = 0 \quad (\partial v_\zeta / \partial \zeta) = 0$$

$$\zeta = 0 \quad v_y = 0 \quad v(\partial^2 v_y / \partial \zeta^2) = 0 \quad (2.102)$$

$$\zeta = \delta \quad v_y = (v_y)_\delta \quad (\partial v_y / \partial \zeta) = 0$$

de unde expresiile vitezelor, tangențială și axială, se scriu:

$$v_\zeta = \frac{\delta^2 (v_y)_\delta \sin \theta}{\nu} \left[2g - \frac{(v_y)_\delta}{R_c} \right] G_1(\eta) + \frac{\Delta}{\nu} \left[2g - \frac{(v_y)_\delta}{R_c} \right] G_2(\eta) \quad (2.103)$$

$$G_1(\eta) = \frac{1}{3} \eta - \frac{1}{2} \eta^2 + \frac{1}{6} \eta^4$$

$$G_2(\eta) = \frac{1}{6} \eta - \frac{1}{2} \eta^3 + \frac{1}{3} \eta^4$$

$$v_y = (v_y)_\delta \cdot G_3(\eta) \quad (2.104)$$

$$G_3(\eta) = 2\eta - 2\eta^3 + \eta^4$$

conform metodei Pohlhausen cunoscută.

Considerînd coeficienții adimensionali:

$$(v_y)_\delta = (\bar{v}_y)_\delta \cdot (v_y)_{\delta, \theta_0}, \quad (R_c)_{\delta, \theta_0} = \frac{2g R_c}{(v_y)_{\delta, \theta_0}} = (s)_{\delta, \theta_0} \cdot P_c^{-1} \quad (2.105)$$

$$\delta = \bar{\delta} \left(\frac{\nu^2 R}{g (v_y)_{\delta, \theta_0}} \right)^{1/4}, \quad \Delta = \bar{\Delta} \left(\frac{\nu^2 R (v_y)_{\delta, \theta_0}}{g} \right)^{1/2}$$

ecuațiile integrale devin:

$$\begin{aligned} & -\frac{d}{d\theta} \left\{ A \left[\frac{17}{315} \bar{\delta}^5 (\bar{v}_y)_\delta^2 \sin^2 \theta + \frac{101}{1260} \bar{\delta}^3 (\bar{v}_y)_\delta \bar{\Delta} \sin \theta + \right. \right. \\ & \left. \left. + \frac{19}{630} \bar{\Delta}^2 \bar{\delta} \right] \right\} - \sin \theta \cdot P_c \cdot A \left[\frac{17}{315} \bar{\delta}^5 (\bar{v}_y)_\delta^2 \sin^2 \theta + \right. \\ & \left. + \frac{101}{1260} \bar{\delta}^3 (\bar{v}_y)_\delta \bar{\Delta} \sin \theta + \frac{19}{630} \bar{\Delta}^2 \bar{\delta} \right] = \frac{53}{35} \bar{\delta} (\bar{v}_y)_\delta^2 \cdot (R_c)_{\delta, \theta_0}^{-1} \cdot \sin \theta + \\ & + \frac{3}{5} \bar{\delta} (\bar{v}_y)_\delta \sin \theta + 3B \frac{\bar{\Delta}}{\bar{\delta}} \end{aligned} \quad (2.106)$$

$$\begin{aligned}
 & -\frac{d}{d\theta} \left\{ B \left[\frac{167}{126} \bar{\delta}^3 (\bar{v}_y)_\delta^2 \sin \theta + \frac{263}{252} \bar{\Delta} \bar{\delta} (\bar{v}_y)_\delta \right] \right\} - \\
 & -\sin \theta \left\{ P_c \cdot B \left[\frac{41}{63} \bar{\delta}^3 (\bar{v}_y)_\delta^2 \sin \theta + \frac{74}{126} \bar{\Delta} \bar{\delta} (\bar{v}_y)_\delta \right] \right\} + \\
 & +\sin \theta \left\{ \left[2 \bar{\delta}^3 (\bar{v}_y)_\delta \sin \theta + \frac{3}{2} \bar{\Delta} \bar{\delta} \right] \cdot P_c \left[(R_o)_{\delta, \theta_o} - (\bar{v}_y)_\delta \right] \right\} + \\
 & + (\bar{v}_y)_\delta \frac{d}{d\theta} \left\{ B \left[2 \bar{\delta}^3 (\bar{v}_y)_\delta \sin \theta + \frac{3}{2} \bar{\Delta} \bar{\delta} \right] \right\} = 60 \frac{(\bar{v}_y)_\delta}{\bar{\delta}}
 \end{aligned} \tag{2.107}$$

$$\frac{d(\bar{v}_y)_\delta}{d\theta} = -P_c \sin \theta \left[(\bar{v}_y)_\delta - (R_o)_{\delta, \theta_o} \right] - \tag{2.109}$$

$$\begin{aligned}
 & - \frac{I_1 \sin^2 \theta}{B \left[\frac{1}{15} \bar{\delta}^3 (\bar{v}_y)_\delta \sin \theta + \frac{1}{20} \bar{\Delta} \bar{\delta} \right]} \\
 \text{unde: } & R_o = 2g R_c / \tilde{v}_y \text{ este numărul Rossby} \\
 & n = \left[1 - 2 (\bar{v}_y)_\delta \cdot (R_o)_{\delta, \theta_o}^{-1} + (\bar{v}_y)_\delta^2 (R_o)_{\delta, \theta_o}^{-2} \right] = B^2 \\
 & m = \left[1 - (\bar{v}_y)_\delta \cdot (R_o)_{\delta, \theta_o}^{-1} \right] \qquad I_1 = \frac{4}{\pi} \int_0^\pi \frac{(\bar{v}_y)_\delta}{\bar{\delta}} d\theta
 \end{aligned}$$

2.4.5. Coeficientul de pierdere λ_{Rc}

Utilizând expresia pentru viteza azială medie \tilde{v}_y , rezultă:

$$\tilde{v}_y|_o = I_2 - I_3 R_c^{-1/2} S^{-1/4} \tilde{v}_y|_o \tag{2.109}$$

unde: $\tilde{v}_y|_o = \frac{\bar{v}_y}{(v_y)_{\delta, \theta_o}}$

$$I_2 = \frac{2}{\pi} \int_0^\pi (\bar{v}_y)_\delta \sin^2 \theta d\theta$$

Iar $I_3 = \frac{3 \cdot 2^{3/4}}{5\pi} \int_0^\pi (\bar{v}_y)_\delta \bar{\delta} d\theta$

cu $\lambda_{CR} = -\frac{4R}{\tilde{v}_y^2} \frac{1}{\rho} \left(\frac{\partial p_m}{\partial y} \right)$ (2.110)

Dar $\lambda_{CR} = 2^{9/4} I_1 R_c^{-1/2} S^{1/4} \tilde{v}_y|_o^{-5/4}$
 (unde) $(R_o)_{\delta, \theta_o} = R_o \cdot \tilde{v}_y|_o$ $S = R_o \cdot P_c$

Iaci (2.109) rezultă:

$$(R_o)_{\delta, \theta_o} = I_2 \cdot S \cdot P_c^{-1/2} - I_3 R_c^{-1/2} S^{1/2} P_c^{-3/4} (R_o)_{\delta, \theta_o}^{1/4} \tag{2.111}$$

Iar

$$\lambda_{CR} = 2^{9/4} I_1 R_c^{-1/2} S^{1/2} P_c^{-5/4} (R_o)_{\delta, \theta_o}^{-5/4} \tag{2.112}$$

2.4.6. Rezultate numerice:

Rezolvarea ecuațiilor integrale s-a efectuat cu ajutorul calculatului electronic, prin modificarea după o anumită strategie a parametrilor P_c și $(R_o)_{f,\theta_o}$.

În urma integrării numerice s-au obținut valorile pentru cele trei integrale I_1, I_2, I_3 , remarcându-se dubla influență a rotației și curburii. (Fig. 2.39)

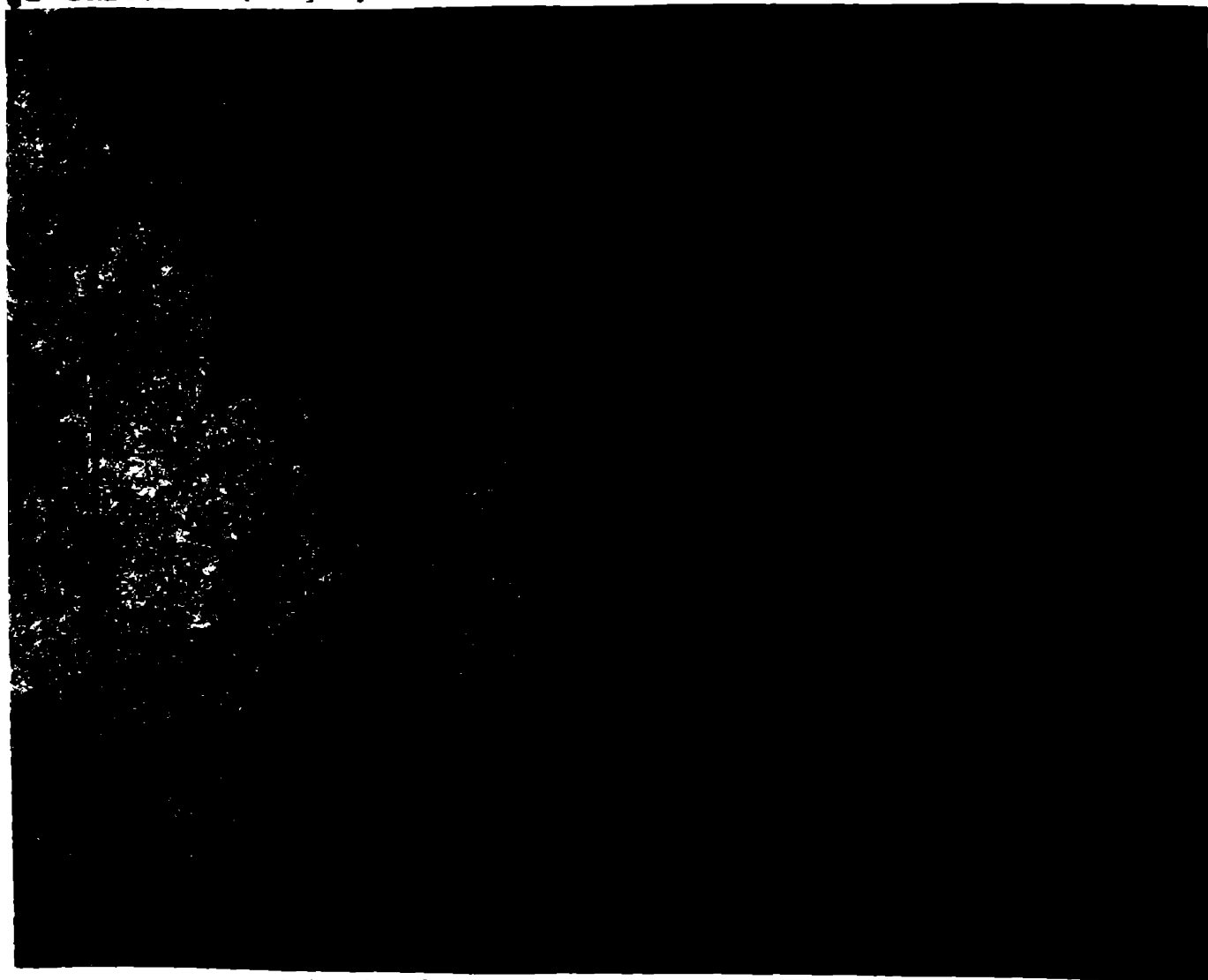


Fig. 2.39

De obicei, rotația are efect hotărâtor [37], [57], pentru valori mari ale produsului $P_c \cdot (R_o)_{f,\theta_o}$, curbura fiind neglijabilă.

Pentru o valoare constantă a numărului Reynold's se determină dependența $I = f(S)$, considerând $S > P_c$, fig. 2.40 și utilizând fig. 2.41

Pentru un calcul rapid al coeficientului de pierdere λ_{ce} se pot utiliza relațiile aproximative:

$$I_1 = 0,167 S + 0,567 \quad (2.113)$$

$$(S)_{f,\theta_o} = P_c (R_o)_{f,\theta_o} = 0,834 S - 0,167$$

Considerând expresiile exacte (2.111) și (2.112) se calculează λ_{ce} fig. 2.42, comparându-se cu datele experimentale din [39], fig. 2.43, 2.44, remarcându-se o bună congruență. În fig. 2.45 se prezintă exemplificativ distribuția de viteze pentru $S > P_c$.

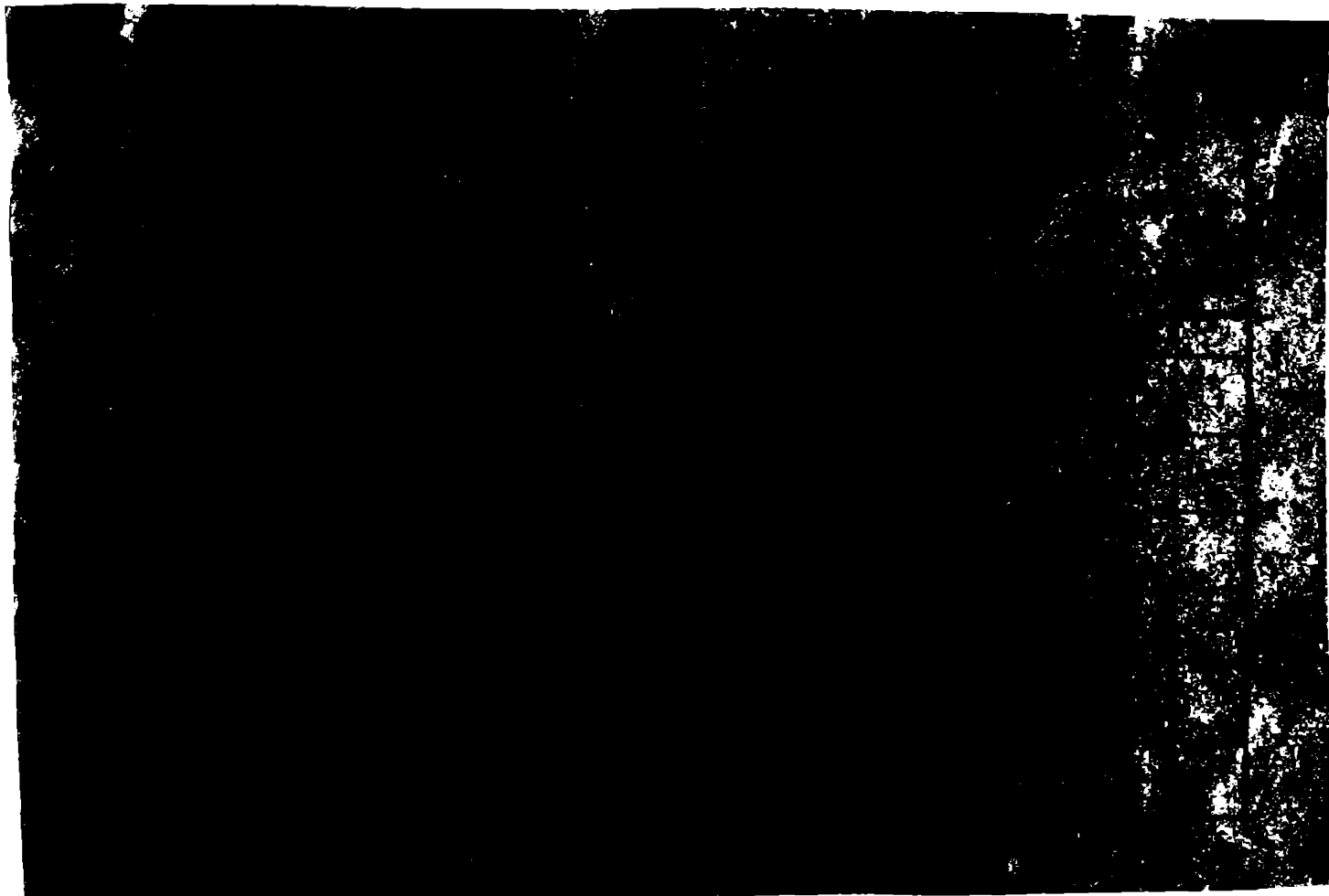


Fig. 2.40



Fig. 2.41

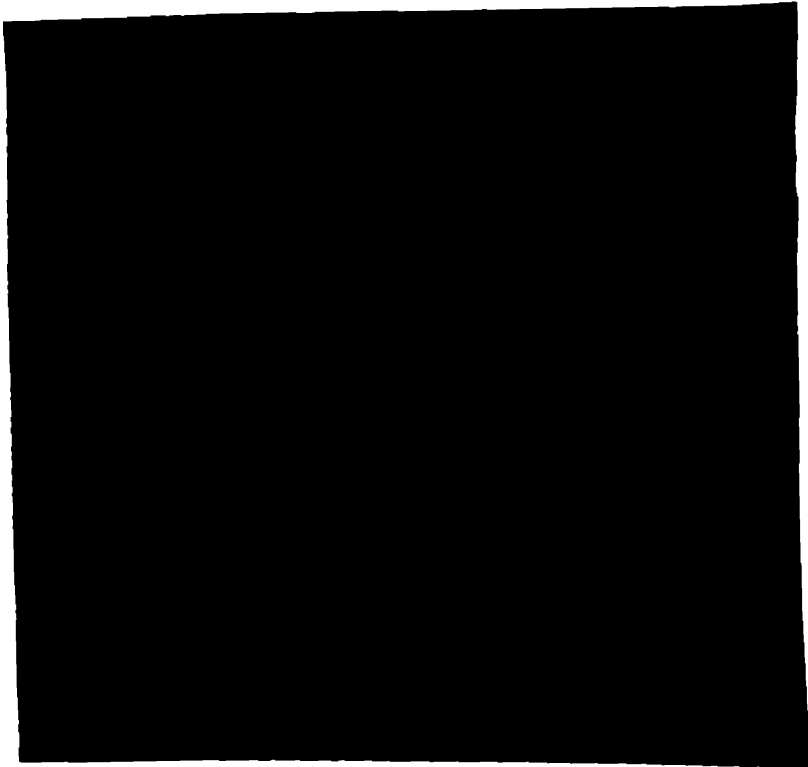


Fig. 2.42

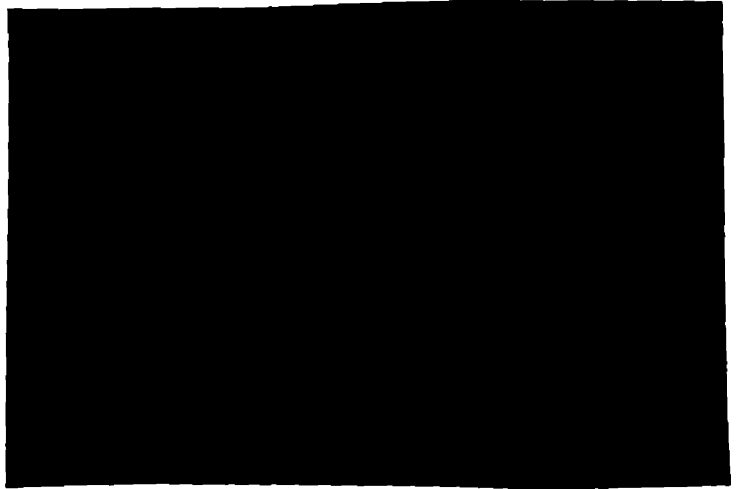


Fig. 2.43

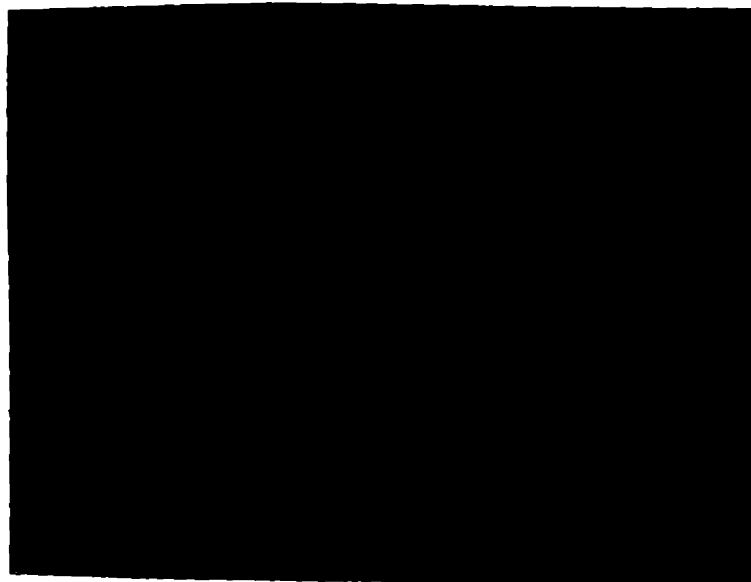


Fig. 2.44.

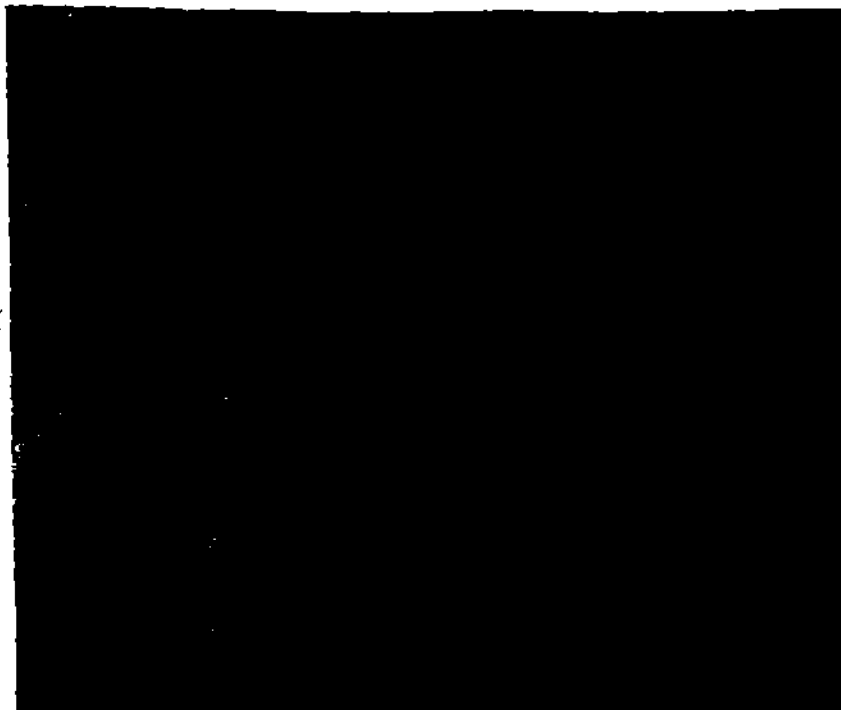


Fig. 2.45

CAPITOLUL III.

NOIUL TEORETIC AL CURGERII TURBULENTE ÎN CONDUCTE CURBATE SAU ROTATIONALE.

Curgera în turbulență este de obicei turbulentă, cea ce complică aspectul cimpului hidrodinamic și mai mult, dar și supraschimbă următoarea etapă a cercetării, trebuie să fie în mod evident, determinarea influenței rotației și curburii asupra pierderilor hidraulice în conducte, în cazul regimului turbulent.

3.1. Pierderile hidraulice în conducte drepte și curbate.

3.1.1. Curgera turbulentă în conducte rotaționale.

Așa cum arată rezultatele experimentale din [35], [37], [62], [63], și în regiile turbulente, datorită rotației, apare o mișcare secundară cea ce permite introducerea conceptului de strat limită în ideea lui J. R. van Driest; adică, deși în cazul conductelor stratul limită se dezvoltă pînă la axa conductei, se poate face convenția că mișcarea secundară se dezvoltă într-un fel de strat limită în regiunea de lângă perete. Rezultatele bune obținute în regiuni laminare, folosind această ipoteză, precum și datele experimentale de la curgera turbulentă, au condus la menținerea acestei ipoteze care s-a dovedit drastică și în cazul regimului turbulent, urmărindu-se în plus și elaborarea unei metode unitare, valabilă indiferent de regiuni de curgere.

3.1.2. Ecuațiile de mișcare Reynolds.

Pentru cazul nelaminar, în coordonate cilindrice, ecuațiile de mișcare cu următoarea formă:

$$\bar{v}_n \frac{\partial \bar{v}_n}{\partial r} + \frac{\bar{v}_\theta}{r} \frac{\partial \bar{v}_n}{\partial \theta} + \bar{v}_y \frac{\partial \bar{v}_n}{\partial y} - \frac{\bar{v}_\theta^2}{r} = -\frac{1}{\rho} \frac{\partial \bar{p}}{\partial r} + 2\bar{v}_y \omega \sin \theta +$$

$$+ 2 \left[\nabla^2 \bar{v}_n - \frac{\bar{v}_n}{r^2} - \frac{2}{r^2} \frac{\partial \bar{v}_\theta}{\partial \theta} \right] - \left[\frac{\partial \bar{v}_n'^2}{\partial r} + \frac{\partial \bar{v}_n' \bar{v}_\theta'}{r \partial \theta} + \frac{\partial \bar{v}_n' \bar{v}_y'}{\partial y} + \frac{\bar{v}_n'^2 - \bar{v}_\theta'^2}{r} \right] \quad (3.1)$$

$$\bar{v}_n \frac{\partial \bar{v}_\theta}{\partial r} + \frac{\bar{v}_\theta}{r} \frac{\partial \bar{v}_\theta}{\partial \theta} + \bar{v}_y \frac{\partial \bar{v}_\theta}{\partial y} + \frac{\bar{v}_n \bar{v}_\theta}{r} = -\frac{1}{\rho} \frac{\partial \bar{p}}{r \partial \theta} - 2\bar{v}_y \omega \cos \theta +$$

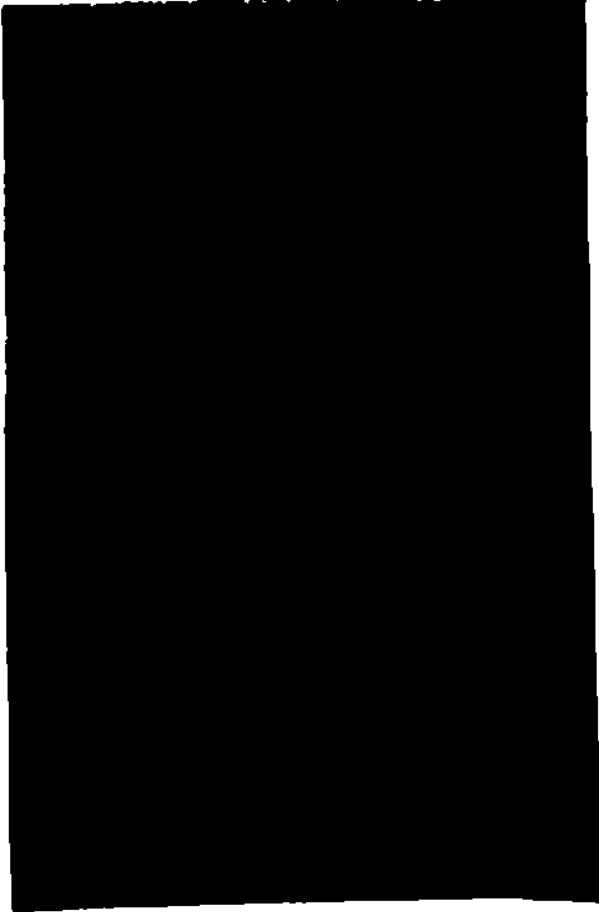
$$+ 2 \left[\nabla^2 \bar{v}_\theta + \frac{2}{r^2} \frac{\partial \bar{v}_n}{\partial \theta} - \frac{\bar{v}_\theta}{r^2} \right] - \left[\frac{\partial \bar{v}_\theta' \bar{v}_n'}{\partial r} + \frac{\partial \bar{v}_\theta'^2}{r \partial \theta} + \frac{\partial \bar{v}_\theta' \bar{v}_y'}{\partial y} + 2 \frac{\bar{v}_n' \bar{v}_\theta'}{r} \right] \quad (3.2)$$

$$\begin{aligned} \bar{v}_n \frac{\partial \bar{v}_y}{\partial r} + \frac{\bar{v}_z}{r} \frac{\partial \bar{v}_y}{\partial \theta} + \bar{v}_y \frac{\partial \bar{v}_y}{\partial y} = -\frac{1}{\rho} \frac{\partial \bar{p}_m}{\partial y} - 2g (\bar{v}_n \cos \theta - \bar{v}_z \sin \theta) + \\ + 2 \nabla^2 \bar{v}_y - \left[\frac{\partial \bar{v}_y \bar{v}_n'}{\partial r} + \frac{\partial \bar{v}_y \bar{v}_z'}{\partial \theta} + \frac{\partial \bar{v}_y'^2}{\partial y} + \frac{\bar{v}_y \bar{v}_n'}{r} \right] \end{aligned} \quad (3.3)$$

Observație. În continuare se renunță pentru simplitate la baza ca atenționarea ca marimile sînt mediate temporale.

3.1.3. Ecuațiile stratului limită turbulent.

Ipoteze de calcul: a) conductă perfect netedă; b) mișcarea relativă este permanentă; c) fluid incompresibil; d) curgerea turbulentă este d deplin dezvoltată; e) continuitatea și egalitatea vîrurilor; f) rotație constantă; g) se admite un nivel limită unde se caracterizează efectele turbulenței și viscozității (fig. 3.2); h) aplică aproximațiile lui Prandtl.



Aplicarea aproximațiilor Prandtl se realizează în concordanță cu înțelesul /23/, /24/, care e definit ca nivelul strat subțire de forfecare (TSF) pentru curgerea complexă, ele reprezintă aproximațiile lui Prandtl: pentru $\partial v / \partial y$ foarte mic toți gradientii tensorilor normali și diferența presiunii statice transversale se neglijează.

Utilizînd ipotezele de mai sus, similar cu /76/, /146/, /109/, /5/, /96/, /68/, /59/, /127/, se obțin ecuațiile simplificite ale stratului limită:

$$\frac{1}{\rho} \frac{\partial \bar{p}_m}{\partial r} = 0 \quad (3.4)$$

Fig. 3.2

$$\bar{v}_n \frac{\partial \bar{v}_z}{\partial r} + \frac{\bar{v}_z}{R} \frac{\partial \bar{v}_z}{\partial \theta} = -\frac{1}{\rho} \frac{\partial \bar{p}_m}{\partial \theta} - 2g \bar{v}_y \sin \theta + 2 \frac{\partial^2 \bar{v}_z}{\partial r^2} - \frac{\partial \bar{v}_z \bar{v}_n'}{\partial r} \quad (3.5)$$

$$\bar{v}_n \frac{\partial \bar{v}_y}{\partial r} + \frac{\bar{v}_z}{R} \frac{\partial \bar{v}_y}{\partial \theta} = -\frac{1}{\rho} \frac{\partial \bar{p}_m}{\partial y} + 2g \bar{v}_z \sin \theta + 2 \frac{\partial^2 \bar{v}_y}{\partial r^2} - \frac{\partial \bar{v}_y \bar{v}_n'}{\partial r} \quad (3.6)$$

În ecuația de continuitate este:

$$\frac{\partial V_n}{\partial r} + \frac{1}{R} \frac{\partial V_z}{\partial \theta} = 0 \quad (3.7)$$

În afara stratului limită, ecuațiile se scriu:

$$\begin{aligned} -\frac{1}{\rho} \frac{\partial p_M}{\partial x} + 2g V_y &= 0 \\ V_x \frac{\partial V_y}{\partial x} + 2g V_x &= -\frac{1}{\rho} \frac{\partial p_M}{\partial y} \\ -\frac{1}{\rho} \frac{\partial p_M}{\partial z} &= 0 \end{aligned} \quad (3.8)$$

Se observă din (3.8) că $\frac{\partial p_M}{\partial y}$ = ct., deoarece curgerea este deplin dezvoltată, și atunci:

$$(V_x)_\delta = \frac{-\frac{1}{\rho} \left(\frac{\partial p_M}{\partial y} \right)_\delta}{\left(\frac{\partial V_y}{\partial x} \right)_\delta + 2g} \quad (3.9)$$

la frontiera exterioară a stratului limită.

Iar:

$$\left(\frac{\partial p_M}{\partial \theta} \right)_\delta = -2\rho R g (V_y)_\delta \sin \theta \quad (3.10)$$

Considerând o grosime definită a stratului limită δ , se pot determina ecuațiile integrale:

$$\frac{1}{R} \frac{d}{d\theta} \int_0^\delta V_z^2 d\xi = 2g \sin \theta \int_0^\delta [(V_x)_\delta - V_x] d\xi - \frac{z_{\theta 0}}{\rho} \quad (3.11)$$

$$\begin{aligned} \frac{1}{R} \left[(V_x)_\delta \frac{d}{d\theta} \int_0^\delta V_z d\xi - \frac{d}{d\theta} \int_0^\delta V_z V_x d\xi \right] &= -2g \sin \theta \int_0^\delta V_z d\xi + \\ + \frac{z_{y0}}{\rho} + \frac{1}{\rho} \left(\frac{\partial p_M}{\partial y} \right)_\delta \cdot \delta \end{aligned} \quad (3.12)$$

De ce altă parte, conform 1. utesei e):

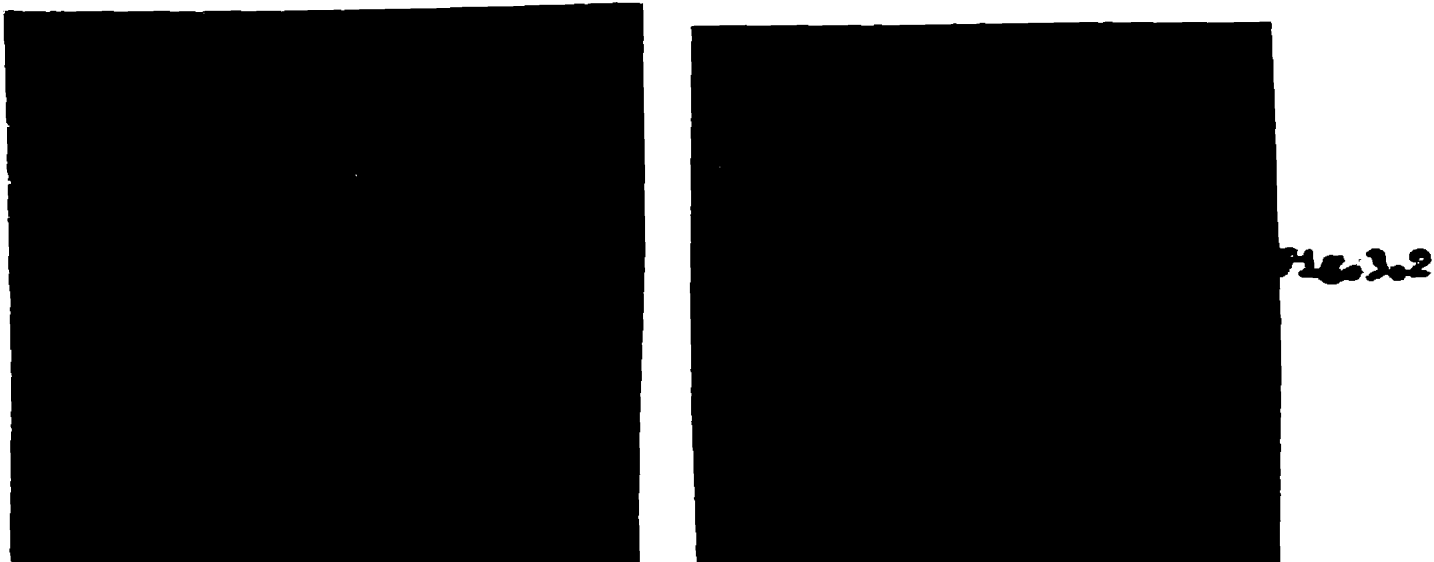
$$\int_1^2 (V_x)_\delta dz = \int_0^\delta V_z d\xi \quad (3.13)$$

de unde:

$$\left(\frac{dV_y}{d\theta} \right)_\delta = 2g R \sin \theta + \frac{\left(\frac{\partial p_M}{\partial y} \right)_\delta^2 R^2 / \sin^2 \theta}{\rho \int_0^\delta V_z d\xi} \quad (3.14)$$

Soluționarea ecuațiilor integrale presupune aproximarea distribuțiilor de viteză V_y și V_z și a tensiunilor de forfecare, la perete, τ_y și τ_θ .

În cazul curgerii turbulente, în stratul limită, variația vitezei axiale este substanțial mai mare decât în cazul curgerii laminare. Cercetările din [96], [68], [58], confirmă existența unei legi exponențiale pentru V_y , exponentul "n" influențând relativ puțin valorile vitezei axiale (vezi Lakshminarayana, fig. 3.2)



Se admite, pe baza rezultatelor din literatură, expresia:

$$V_y = (V_y)_\delta G_1(\eta) \tag{3.15}$$

unde:

$$G_1(\eta) = \eta^{1/n}$$

În general, se admite o legătură între viteza axială și cea tangențială, transpusă analog pentru cazul tensiunilor de forfecare. Astfel, după cum arată Pierce [124], pentru curgerea turbulentă se pot utiliza mai multe modele pentru distribuțiile de viteză: -modelul lui Prandtl.

Se consideră aici:

$$V_z = V_y(1-\eta) \operatorname{tg} \lambda; \operatorname{tg} \lambda = \lim_{\xi \rightarrow 0} (V_z/V_y) \equiv m; \tau_\theta = m \tau_y. \tag{3.16}$$

-modelul lui Lager,

$$\begin{aligned} V_z &= \varepsilon G(\eta) g(\eta) \\ V_y &= G(\eta) \quad G(\eta) = \eta^{1/n} \\ \tau_\theta &= \varepsilon \tau_y \quad \varepsilon = \lim_{\xi \rightarrow 0} \left(\frac{\partial V_z}{\partial \xi} / \frac{\partial V_y}{\partial \xi} \right) \\ g(\eta) &= (1-\eta)^2 \end{aligned} \tag{3.17}$$

-modelul lui Johnston,

Este un model triunghiular convențional (fig. 3.3)

Experimentele din /5/, /96/, studiază legătura dintre viteză, fig. 3.4, dar nu depășesc particulații.

În urma analizei acestor considerații din literatură de specialitate, s-a stabilit pentru viteza mijlocie secundară următoarea formulă:

$$V_B = E(1-\eta)^2 V_y \quad (3.18)$$

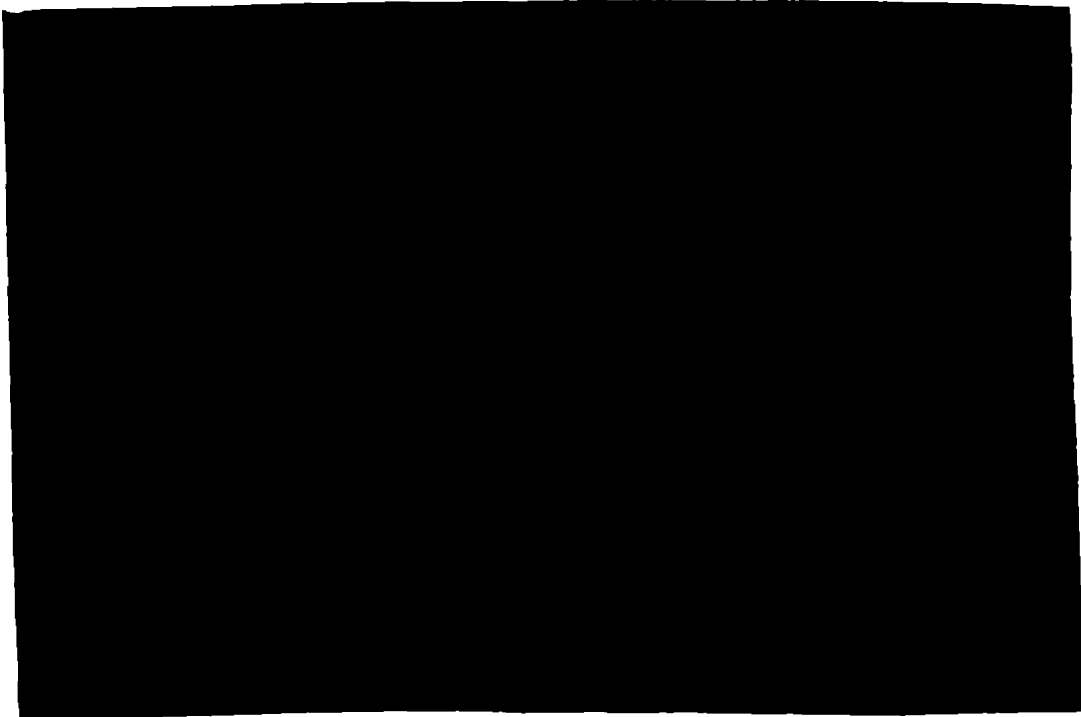
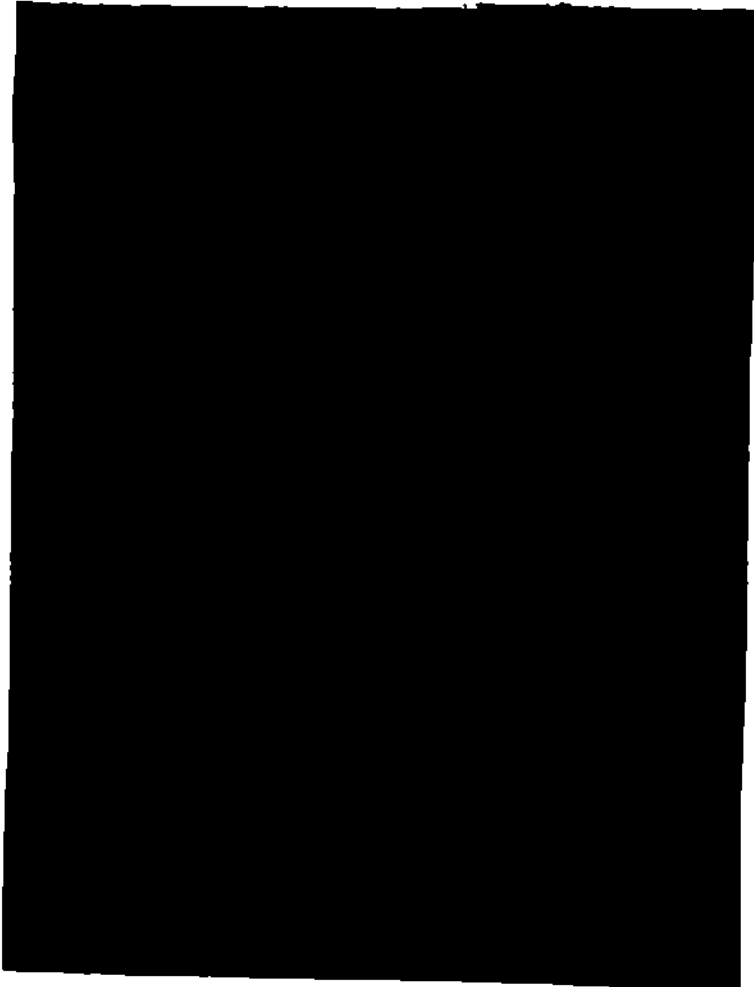


Fig. 3.4

Pentru determinarea expresiei tensiunii turbulente la parete, se utilizează două modele:

-se extinde expresia tensiunii de forfecare de la parete, τ_0 , obținută pentru conducte fixe, conform /68/, /58/, /146/, /5/, /96/, și atunci

$$\tau_0 = E \tau_y \quad \tau_y / \rho (2r)^2 = 0,01255 (Re_H)^{-1/4} \quad (3.19)$$

$$Re_H = 2r \theta_H / \nu \quad \theta_H = \frac{1}{(2r)^2} \int_0^2 V_y (2r - V_y) dz$$

sau, în final:

$$\begin{aligned} \overline{\tau}_{y_0} &= \rho (v_y)_\delta^2 \cdot 0,01255 \left[\frac{(v_y)_\delta}{2} \cdot \frac{1}{(v_y)_\delta^2} \int_0^\delta v_y [(v_y)_\delta - v_y] d\xi \right]^{-1/4} \\ &= K_1 \rho (v_y)_\delta^{9/4} \left[\int_0^\delta v_y [(v_y)_\delta - v_y] d\xi \right]^{-1/4} \end{aligned} \quad (3.20)$$

unde: $K_1 = 0,01255$

și: $\overline{\tau}_{y_0} = \varepsilon \overline{\tau}_{y_0}$

—Bradshaw /23/ propune un model de calcul al influenței curburii sau rotației asupra tensiunii turbulente, de forma:

$$\frac{l}{l_0} = 1 + \alpha \frac{e}{\partial v / \partial y} \quad (3.21)$$

unde: l_0 este lungimea de anchetă pentru peretele staționar
 l - lungimea de anchetă aparentă; α - constantă empirică
 e - mărimea forței externe (datorită curburii sau rotației)

Bradshaw a introdus de asemenea gradientul numărului Richardson, preluat apoi de J.P. Johnston pentru canale rotitoare, sub forma:

$$R_i = R_i^* (R_i^* + 1) \quad R_i^* = - \frac{2g}{(\partial v_y / \partial \xi)} \quad (3.22)$$

De obicei se consideră $R_i \approx R_i^*$

Numărul Richardson reprezintă un criteriu de analiză a stabilității curgerii turbulente. Johnston /54/, /75/, propune următoarea relație de tip Ionin-Oboukhov:

$$l/l_0 \approx 1 - \beta R_{i2} \quad (3.23)$$

unde $\beta = 6 \pm 2$, iar $0 < |R_{i2}| < 0,25$

Expresia pentru tensiunea turbulente are forma /75/:

$$\overline{\tau}_t = \rho l^2 \left| \frac{\partial v_y}{\partial \xi} \right| \left| \frac{\partial v_y}{\partial \xi} \right| \quad (3.24)$$

unde $l = F \cdot l_0$

$$F = 1 - \beta R_{i2}$$

iar $l_0 = ky \left[1 - \exp \frac{-y^+}{A^+} \right]$

conform /172/

Fig. 3.5 /54/ permițind aproximația $l_0 = 0,4 y$

Se mai consideră din /172/, /65/, /21/, /134/, că $\tau_0 = \tau_{max}$ iar coordonata $(\xi)_{\tau_{max}} = k \cdot R$ (R - raza conductei)

Atunci, tensiunea turbulente se poate exprima:

$$\overline{\tau}_{ty} = \rho F^2 l_0^2 \left| \frac{\partial v_y}{\partial \xi} \right| \left| \frac{\partial v_y}{\partial \xi} \right| = \rho l_0^2 (1 - \beta R_{i2})^2 \left| \frac{\partial v_y}{\partial \xi} \right| \left| \frac{\partial v_y}{\partial \xi} \right| \quad (3.25)$$

$$\text{cum } \bar{\epsilon}_{y_0} = \rho (0,004)^2 R^2 (1 - \beta_2 Ri_2)^2 \frac{1}{\delta^2} \left(\frac{\partial v_y}{\partial y} \right)_{y=0,01 R/\delta}^2 \quad (3.26)$$

iar după efectuarea calculului:

$$\bar{\epsilon}_{y_0} = k_7 \rho (\delta/R)^{-1/4} (v_y)_\delta^2 (1 - \beta_2 Ri_2)^2 \quad (3.27)$$

unde $k_7 = 0,000876$ iar $\bar{\epsilon}_{\theta_0} = \epsilon \bar{\epsilon}_{y_0}$

Introducând expresiile vitezelor și temperaturii în ecuațiile integrale, acestea se rezolvă, dobîndind forma finală prin utilizarea unor coeficienți adimensionali, ca de pildă:

$$(v_y)_\delta = (\bar{v}_y)_\delta (v_y)_{\delta, \theta_0}$$

$$\delta = \bar{\delta} \left(\frac{R (v_y)_{\delta, \theta_0}^{1/2} \bar{\nu}^{1/2}}{\bar{\nu}} \right)^{2/5} \quad (3.28)$$

$$\epsilon = \bar{\epsilon} \left(\frac{R \bar{\nu}}{(v_y)_{\delta, \theta_0}} \right)^{1/2}$$



Fig. 3.5

Pentru primul nod al temperaturii turbulente, ecuațiile integrale vor fi:

$$\frac{d}{d\theta} \left[k_2 \bar{\epsilon}^2 (\bar{v}_y)_\delta^2 \bar{\delta} \right] = 2 k_3 (\bar{v}_y)_\delta \bar{\delta} \sin \theta - k_1 k_4 \bar{\epsilon} (\bar{v}_y)_\delta^{7/4} \bar{\delta}^{-1/4} \quad (3.29)$$

$$(\bar{v}_y)_\delta \frac{d}{d\theta} \left[k_5 \bar{\epsilon} (\bar{v}_y)_\delta \bar{\delta} \right] - \frac{d}{d\theta} \left[k_6 (\bar{v}_y)_\delta^2 \bar{\delta} \bar{\epsilon} \right] = k_1 k_4 (\bar{v}_y)_\delta^{7/4} \bar{\delta}^{-1/4} - (S)_{\delta, \theta_0} k_5 (\bar{v}_y)_\delta \bar{\epsilon} \bar{\delta} \sin \theta \quad (3.30)$$

$$\frac{d(\bar{v}_y)_\delta}{d\theta} = (S)_{\delta, \theta_0} - \frac{I_1 \sin^2 \theta}{(\bar{v}_y)_\delta \bar{\delta} \bar{\epsilon} k_5} \quad (3.31)$$

unde $(S)_{\delta, \theta_0} = \frac{2gR}{(v_y)_{\delta, \theta_0}}$ $I_1 = \frac{2}{\pi} k_1 k_4 \int_0^\pi (\bar{v}_y)_\delta^{7/4} \bar{\delta}^{-1/4} d\theta$

În cazul nodului secundar lui Prandtl, se obține:

$$\frac{d}{d\theta} [K_2 \bar{E}^2 (\bar{V}_y)_\delta^2 \bar{\delta}] = 2K_3 (\bar{V}_y)_\delta \bar{\delta} \sin^2 \theta - K_7 (\bar{V}_y)_\delta^2 \bar{E} \bar{\delta}^{-1/4} (Re)_{\theta_0}^{1/4} (1 - \beta/2 Ri_2)^2 \quad (3.32)$$

$$(\bar{V}_y)_\delta \frac{d}{d\theta} [K_7 \bar{E} (\bar{V}_y)_\delta \bar{\delta}] - \frac{d}{d\theta} [K_6 (\bar{V}_y)_\delta^2 \bar{\delta} \bar{E}] = K_7 (\bar{V}_y)_\delta^2 \bar{\delta}^{-1/4} (Re)_{\theta_0}^{1/4} (1 - \beta/2 Ri_2)^2 \quad (3.33)$$

$$\frac{d(\bar{V}_y)_\delta}{d\theta} = - \frac{I_1' \sin^2 \theta}{(\bar{V}_y)_\delta \bar{\delta} \bar{E} K_7} \quad (3.34)$$

unde

$$I_1' = \frac{2}{\sqrt{\pi}} K_7 (Re)_{\theta_0}^{1/4} (1 - \beta/2 Ri_2)^2 \int_0^{\sqrt{\pi}} (\bar{V}_y)_\delta^2 \bar{\delta}^{-1/4} d\theta$$

$$(Re)_{\theta_0} = \frac{(\bar{V}_y)_{\delta, \theta_0} 2R}{\nu}$$

3.1.4. Coeficientul de pierdere λ_{RT}

Utilizând expresia cunoscută a vitezei axiale medii (2.53), se obține:

$$\tilde{v}_{y/0} = I_2 - I_3 (S^2 Re)^{-1/5} \tilde{v}_{y/0}^{-1/5} \quad (3.35)$$

unde $I_2 = \frac{2}{\sqrt{\pi}} \int_0^{\sqrt{\pi}} (\bar{V}_y)_\delta \sin^2 \theta d\theta$ $I_3 = \frac{2}{\sqrt{\pi}} \int_0^{\sqrt{\pi}} (\bar{V}_y)_\delta \bar{\delta} d\theta$

iar, din

$$\lambda_{RT} = - \frac{4R}{\tilde{v}_y^2} \frac{1}{\rho} \frac{\partial p_M}{\partial y}$$

rezultă:

$$\lambda_{RT} = 2^{2/10} I_1 (Re S)^{-2/10} \tilde{v}_{y/0}^{-17/10} \quad (3.36)$$

Distribuția de viteză este exprimată de relația:

$$\frac{v_y}{\tilde{v}_y} = \frac{1}{\frac{I_2}{(\bar{V}_y)_\delta} - I_3 (S^2 Re)^{-1/5} \left(\frac{v_y}{\tilde{v}_y}\right)^{1/5} (\bar{V}_y)_\delta^{-6/5}} \quad (3.37)$$

3.1.5. Rezultate numerice.

Obținerea soluțiilor a presupus rezolvarea unui sistem de trei ecuații diferențiale, prin integrare numerică și iterativ, determinându-se în final cele trei serii I_1, I_2, I_3 , pentru rotație mică ecscora fiind constante:

$$I_1 = 0,6435 ; \quad I_2 = 0,795 ; \quad I_3 = 0,14534$$

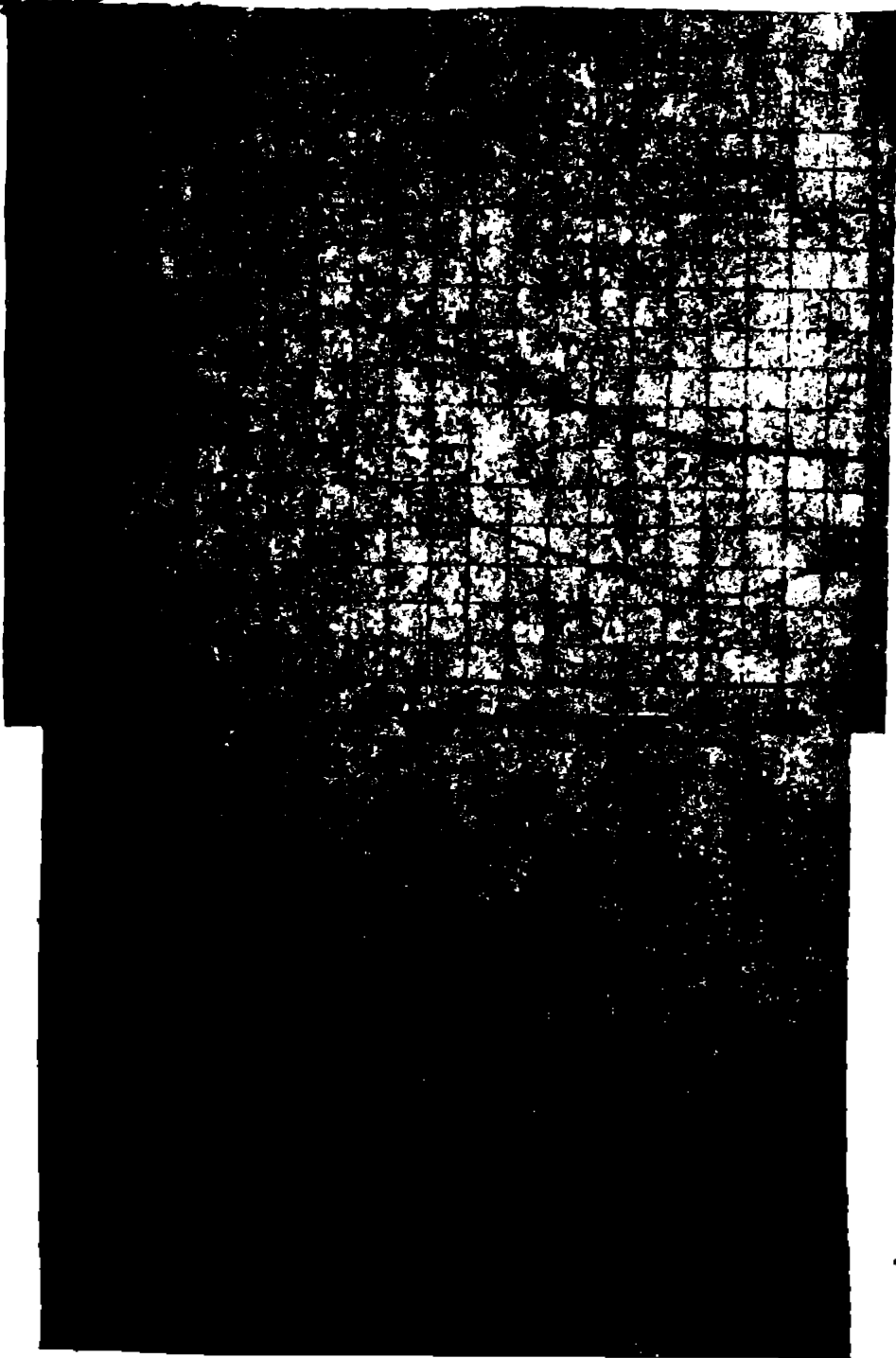
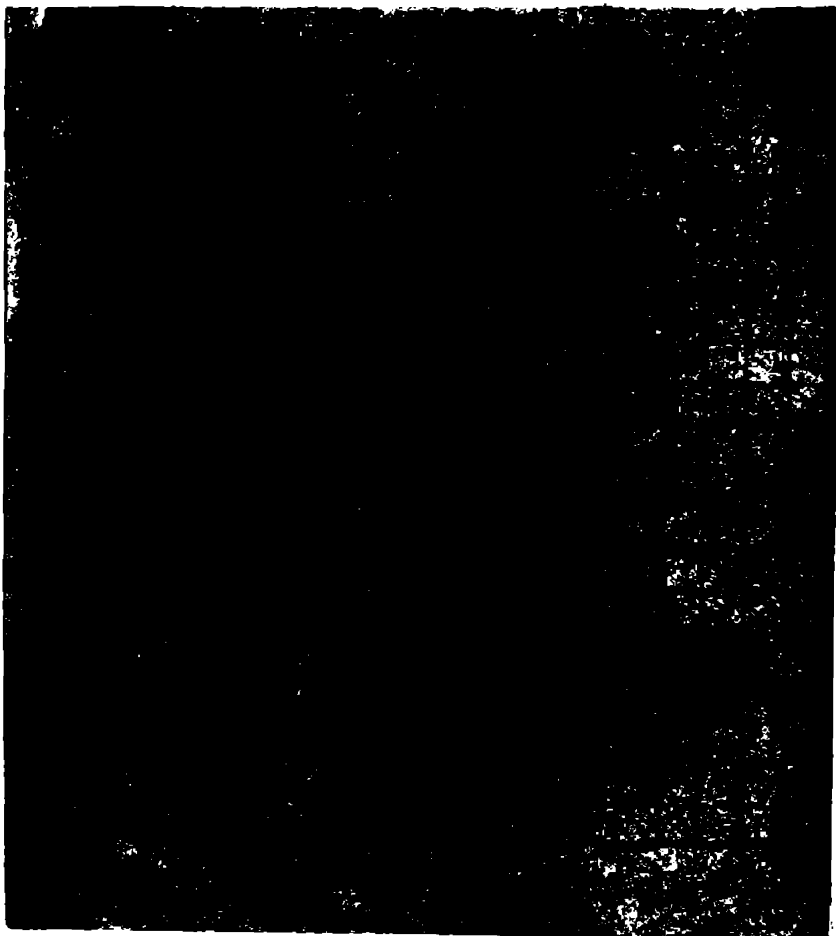
Pentru cazul general, variația este cea din fig. 3.6

Cunoscând pe I_1, I_2, I_3 s-au putut calcula coeficienții adimensionali, fig. 3.7. Verificarea metodei și a rezultatelor teoretice s-a făcut în primul rând prin compararea distribuțiilor vitezei axiale cu date experimentale oferite în /72/, fig. 3.8, /58/ fig. 3.9 și 3.10, /34/ fig. 3.11 și 3.12, și /76/ fig. 3.13.

Se remarcă o suficient de bună congruență, chiar și în cazul comparării cu experimentalul de la cazul dreptunghiular /34/

Fig. 3.7

Fig. 3.8



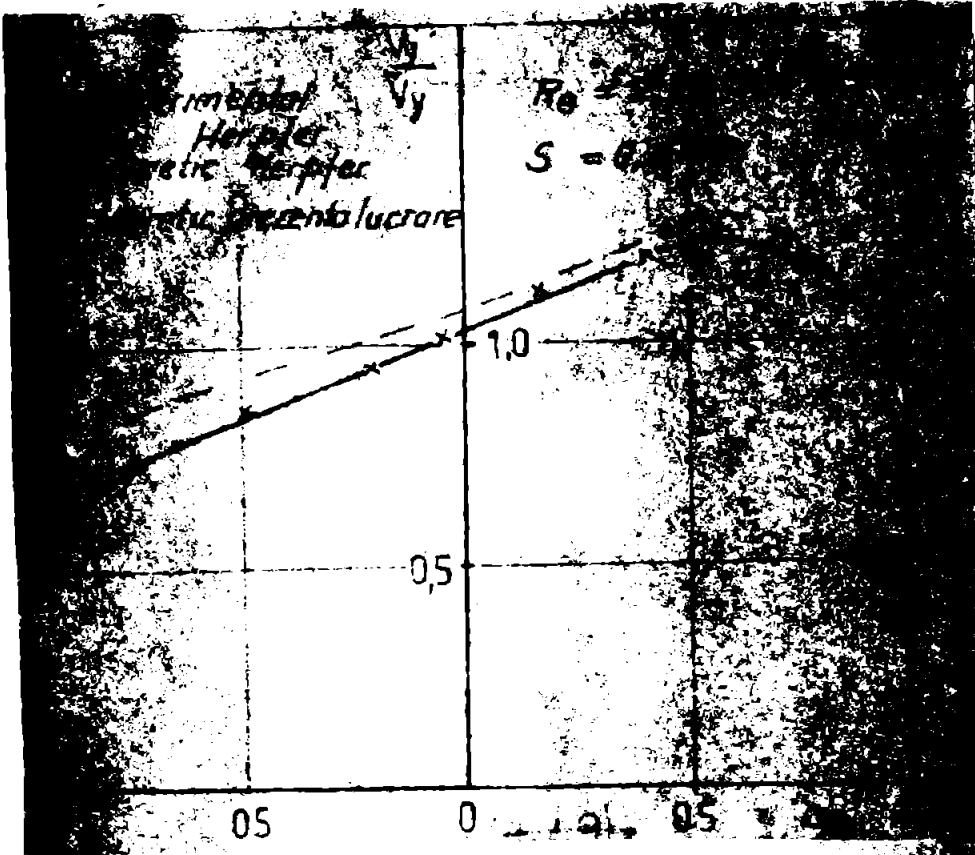


Fig. 3.9

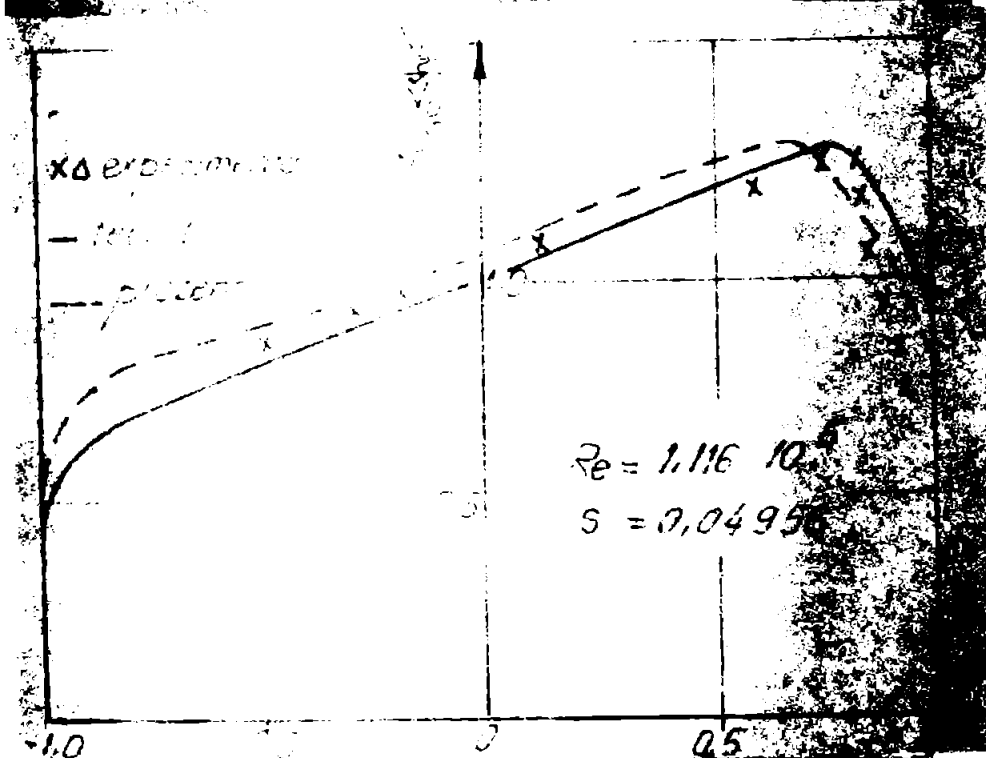


Fig. 3.10.

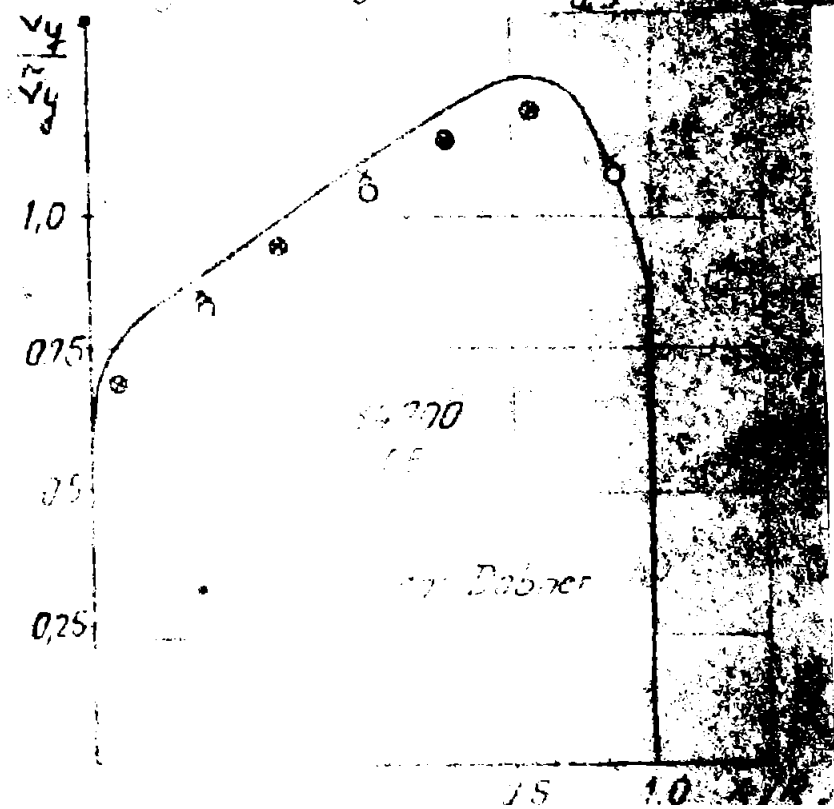


Fig. 3.11

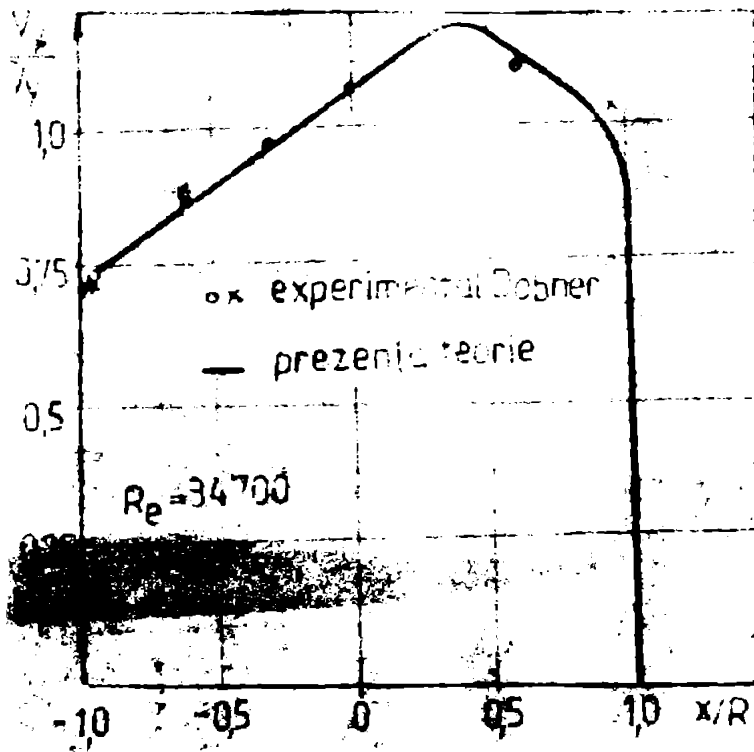


Fig. 3.12

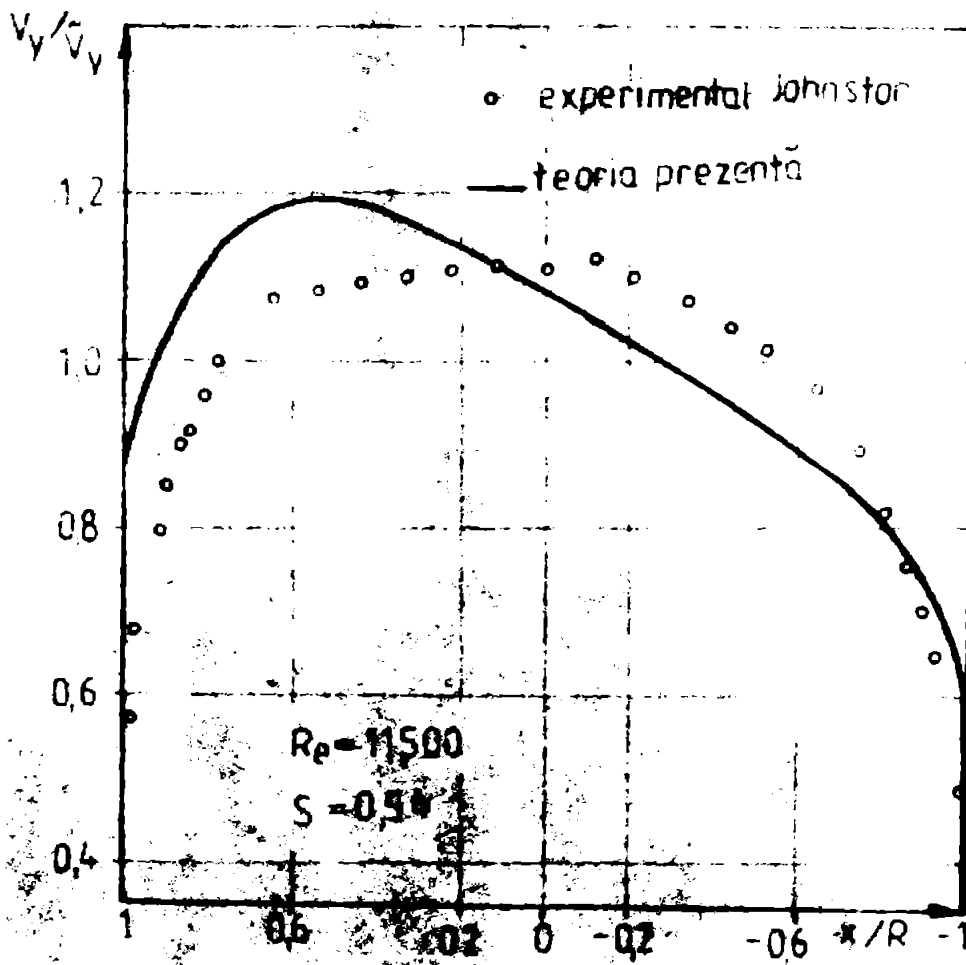


Fig. 3.13

Fig. 3.14

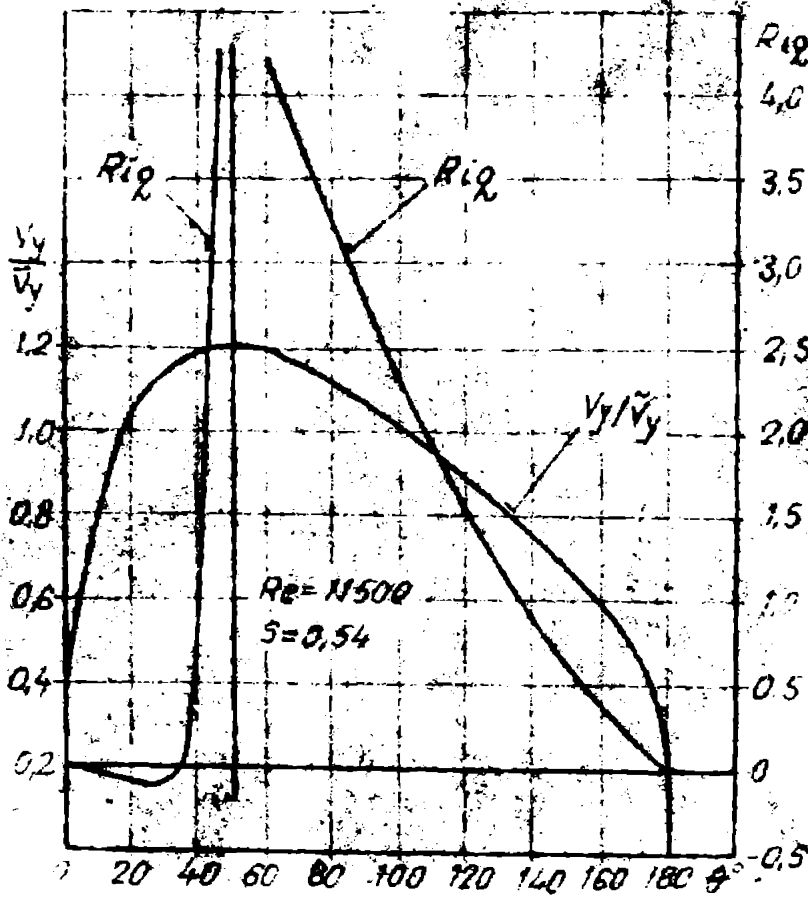
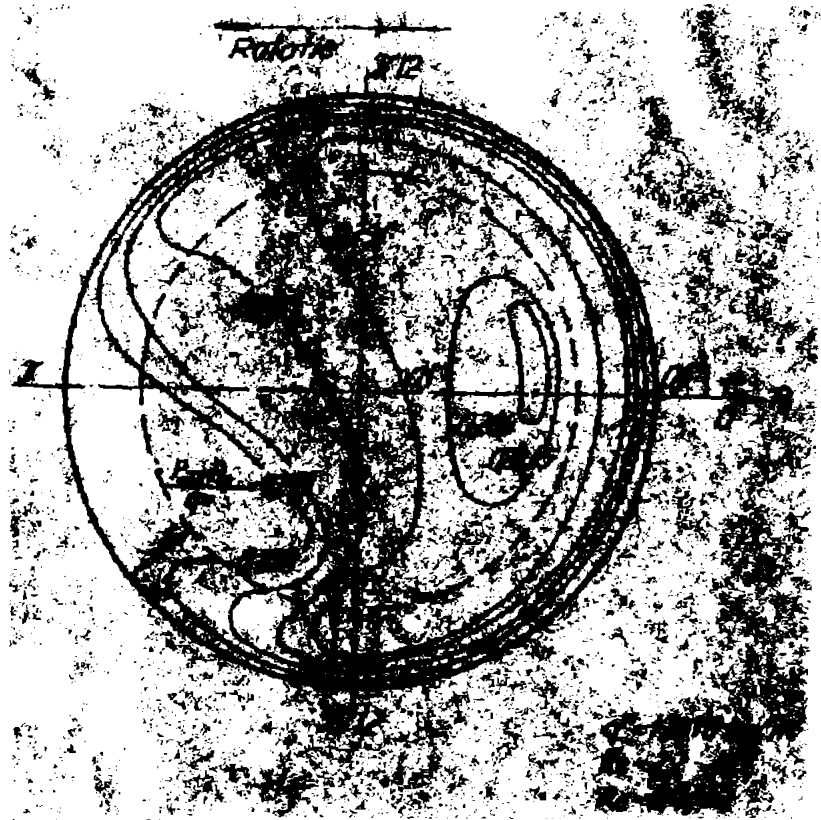


Fig. 3.15

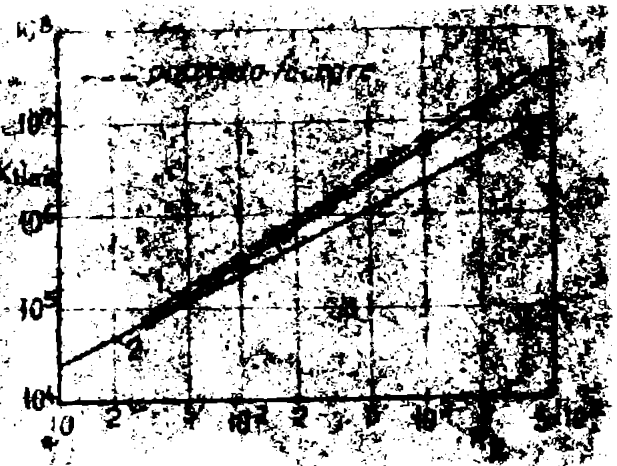


Fig. 3.16

Fig. 3.17

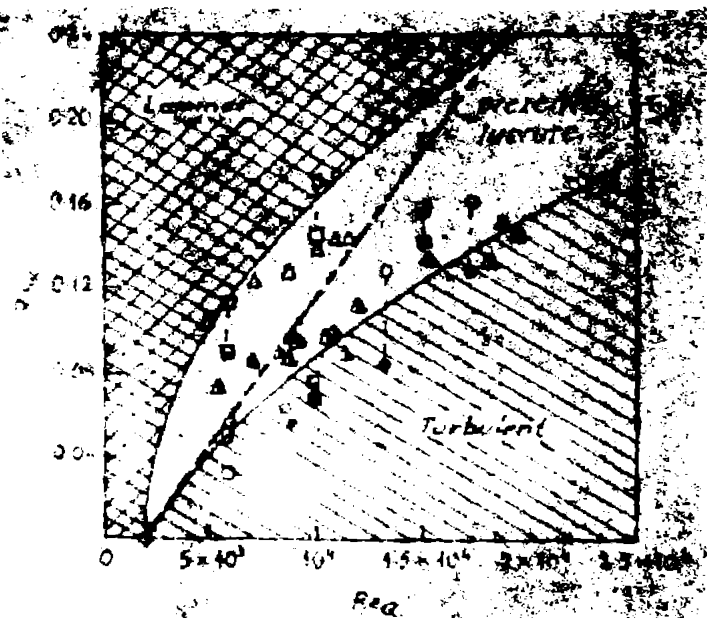
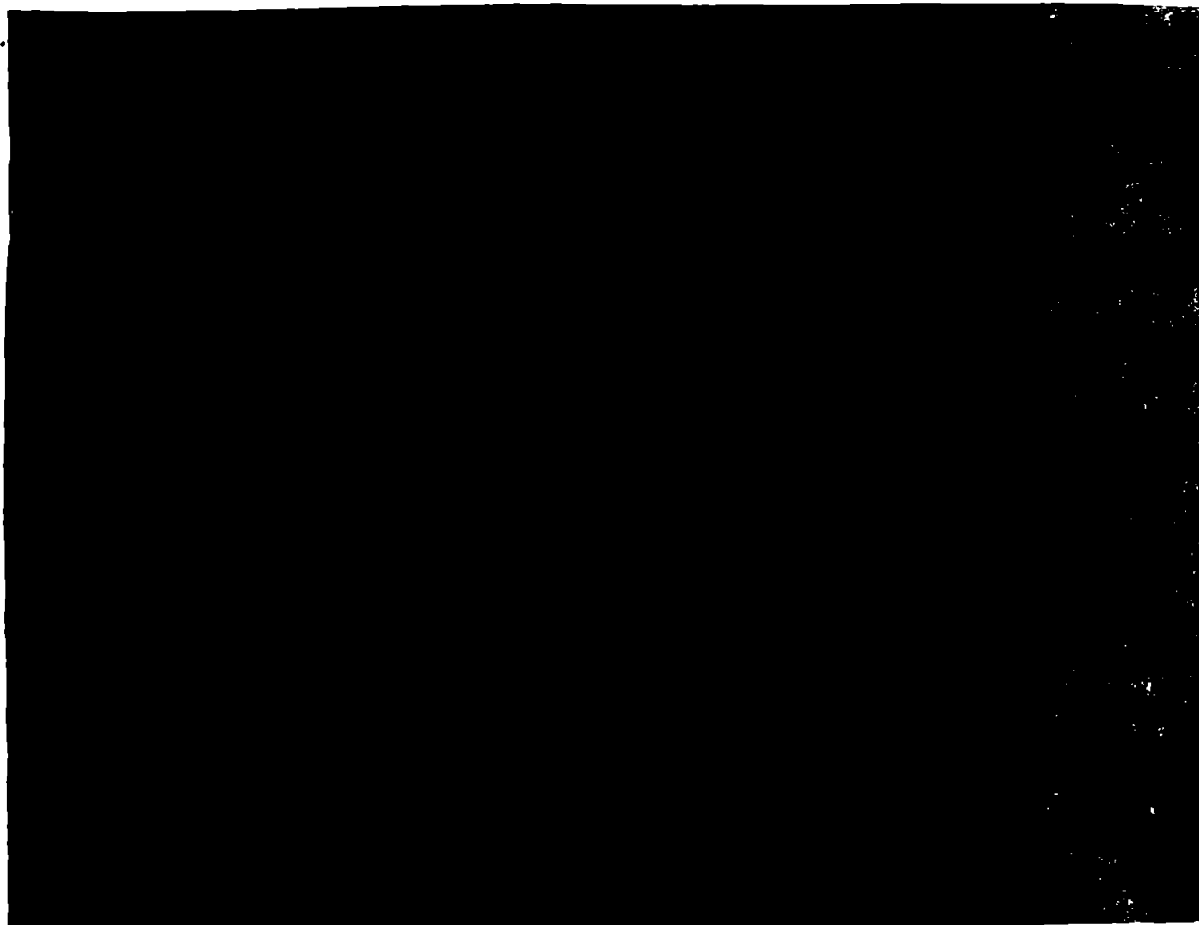


Fig. 3.28



O vizibilă neconcordanță se remarcă comparând datele teoriei prezente cu rezultatele experimentale ale lui Johnston /76/, dar aceste te diferențe apar datorită faptului că, așa cum arată și Howard/63/ forma foarte îngustă a canalului dreptunghiular reduce mult influența nărilor secundare.

În legătură cu grosimea straturii limită, rezultatele prezentului calcul s-au comparat cu cele obținute de Harpfer /58/ teoretic, fig. 3.14, pentru $Re=2,2 \cdot 10^5$ și $S=0,0332$. Rezultă:

	$\theta [^\circ]$	0	90	180
	Harpfer	0,28	0,24	0,26
$\frac{\delta}{R}$	Lucrarea de față	0,28	0,222	0,19

observându-se o bună concordanță.

Relația cu care s-a calculat $\frac{\delta}{R}$ este:

$$\frac{\delta}{R} = \bar{\delta} 2^{3/5} (S^2 Re)^{-1/5} \sim \sqrt[5]{y/10}^{-1/5}$$

cea ce arată că $\frac{\delta}{R}$ depinde de Re și S .

Să mai subliniem că ambele metode de calcul al tensiunii de forfecare au condus la rezultate apropiate diferența maximă dintre valorile pentru $\bar{\delta}$, fiind neînsemnată. Totuși, a doua metodă prin introducerea modelului Richardson permite o aprofundare a curgerii turbulente și o înțelegere mai completă a fenomenului. În presen-

În lucrare, metoda a doua utilizată a permis calculul numărului Richardson, care depinde atât de Re cit și de S . Exemplificativ se prezintă în fig. 3.15, valorile calculate pentru Ri_q la un număr Reynolds și număr Strouhal date. Desigur, avînd în vedere că teoretic Ri_q a fost definit pentru stratul limită turbulent, valorile calculate vor fi valabile numai pentru curgerea de lângă perete, spre centrul conductei numărul Ri_q tinzînd asimptotic spre infinit (asimptota apărînd în punctul unde avem un maxim al vitezei v_x/\bar{v}_y). Se observă din figură că pe partea de suprapresiune a conductei ($\theta \ll 90^\circ$), $Ri_q < 0$, deci stratul limită turbulent este instabil și turbulența crește, ceea ce se remarcă și prin valorile ridicate ale grosimii stratului limită turbulent δ/R , iar pe partea de depresiune ($\theta \gg 90^\circ$), $Ri_q > 0$, deci stratul limită turbulent este stabil și are loc o tendință de laminarizare (δ/R scade), aceste rezultate fiind în deplină concordanță cu cele ale lui Johnston /76/.

Desigur, din calcule rezultă un punct ($\theta = 34^\circ$) pentru care $Ri_q = 0$, (senă neutră), deși experimental arată că există un domeniu mai larg neutru neelucidat încă, /76/. În privința valorilor cantitative, se remarcă lângă perete că $Ri_q \in [0, -0,1]$, respectiv $Ri_q \in [0, +0,25]$, ceea ce coincide într-o măsură cu valorile date de Johnston /76/, și alții /120/, /152/.

O confirmare suplimentară a corectitudinii și generalității prezentei metode teoretice o constituie și analiza tranziției de la regimul laminar la cel turbulent. Intersecția curbelor teoretice $\lambda(Re)$ pentru curgerea laminară și turbulentă, permite determinarea punctelor teoretice de tranziție în funcție de rotație, sau de numărul Strouhal (S). Compararea cu rezultatele experimentale din /72/, fig. 3.16, /76/ fig. 3.17, /34/ fig. 3.18, a condus la o bună congruență, remarcîndu-se întîrzierea tranziției odată cu creșterea rotației, avînd deci loc o stabilizare globală a curgerii sub efectele rotației.

În prezenta lucrare s-a mai considerat că $\tau_{00} = \varepsilon \bar{v}_y$, pentru a verifica modelul s-a calculat exemplificativ ε cu relația

$$\varepsilon = \bar{\varepsilon} 2^{-1/2} S^{1/2} \bar{v}_y^{1/2}$$

obținîndu-se valorile:

S/Re	$2 \cdot 10^4$	10^5	$3 \cdot 10^5$
0,01	0,056	0,058	0,059
0,05	0,134	0,136	0,1372
0,1	0,192	0,194	0,195

Comparîndu aceste valori cu fig. 3.19, 3.20 unde sînt reprezentate valorile experimentale ale lui Lakshminarayana /5/, /96/ se observă o foarte bună concordanță.



Fig. 3.19

Fig. 3.20

Calculul coeficientului de pierdere λ_{RT} s-a făcut eficient, considerând următoarele expresii preluate din datele teoretice obținute:

$$I_1 = -0,0077922 S^2 + 0,034739 S + 0,038067$$

$$I_2 = -0,0015383 S^2 + 0,014999 S + 0,79546$$

$$I_3 = -0,017857 S^2 + 0,091964 S + 0,1477$$

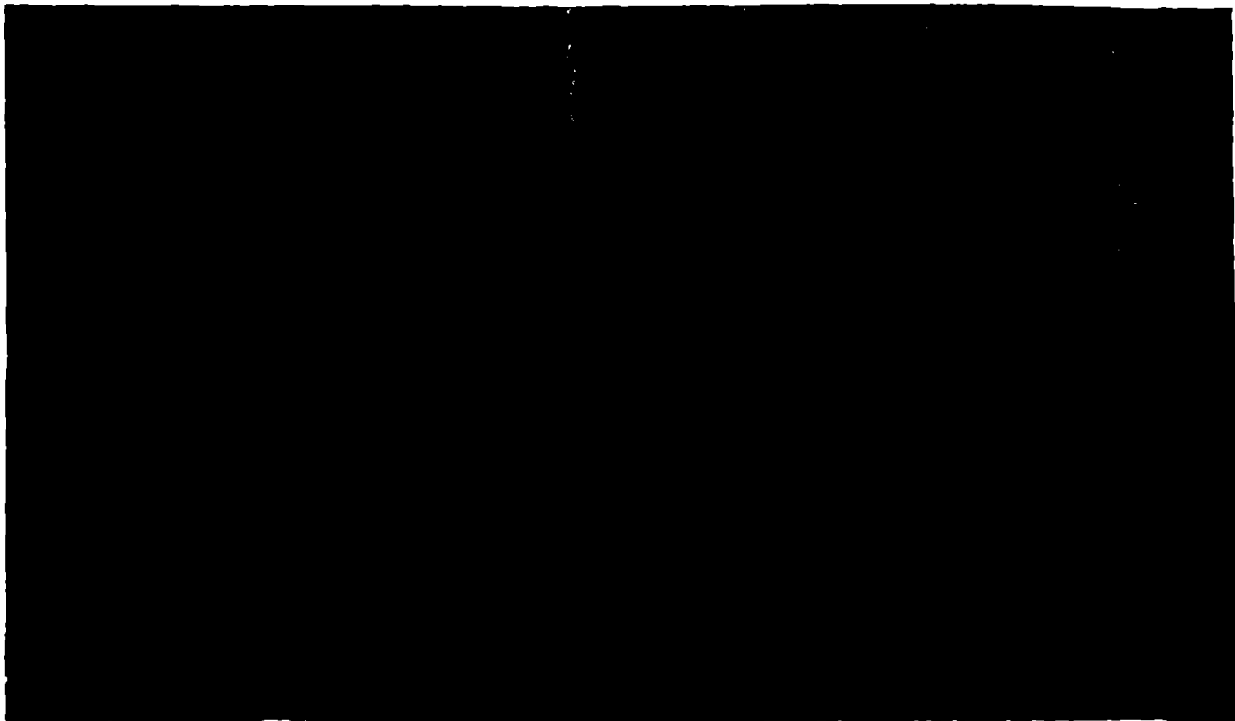


Fig. 3.21

În fig. 3.21 s-a reprezentat variația lui λ_{RT} , rezultând-se creșterea acestuia cu creșterea rotației și scăderea lui Re . Comparația cu experimental, /72/ fig. 3.22, /58/ fig. 3.23, /34/ fig. 3.24 și /171/ fig. 3.25, conduce la o suficient de bună congruență, validând metoda.

Mai mult decât atât, rezultatele obținute pot constitui o bază de plecare pentru estimarea pierderilor hidraulice în turbomășini, cu mențiunea că nu se ține cont de efectele curburii și de difuzor. Aplicând rezultatele la turbe transformatoare, în fig. 3.26, 3.27 și 3.28 se prezintă datele teoretice obținute aici, comparativ cu cele

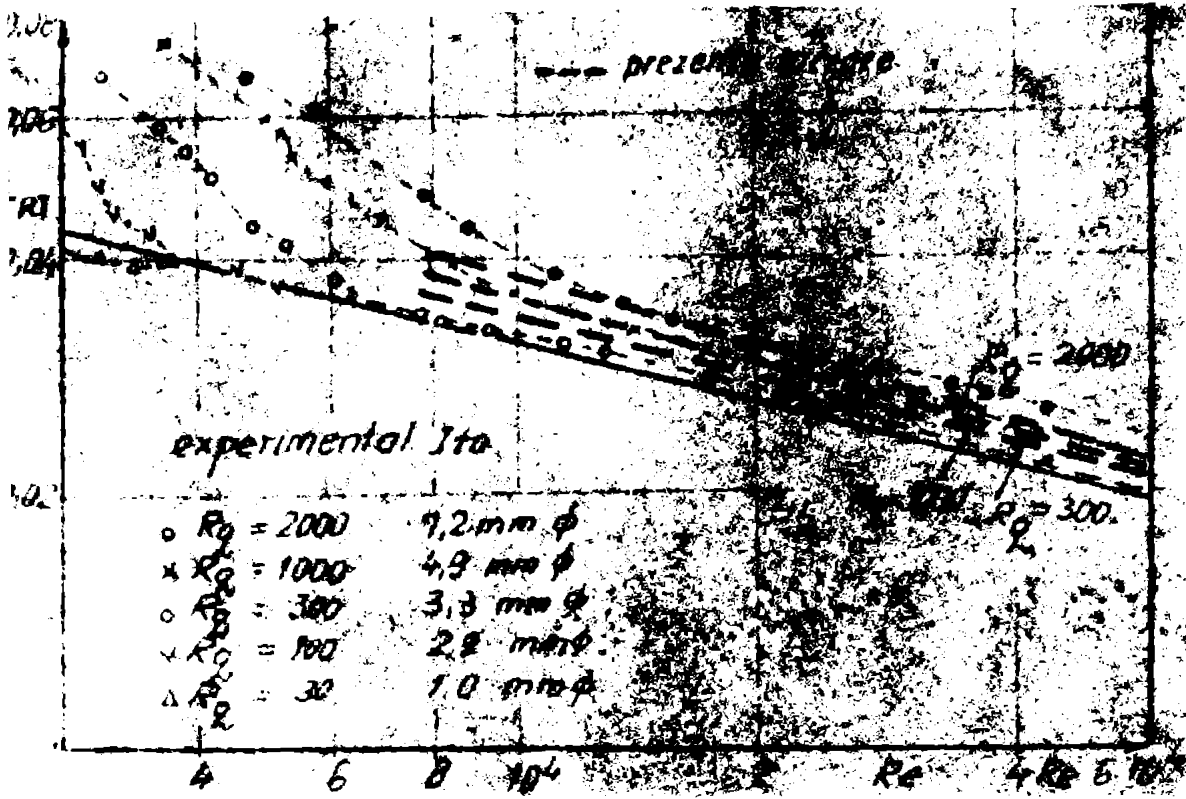


Fig. 3.22

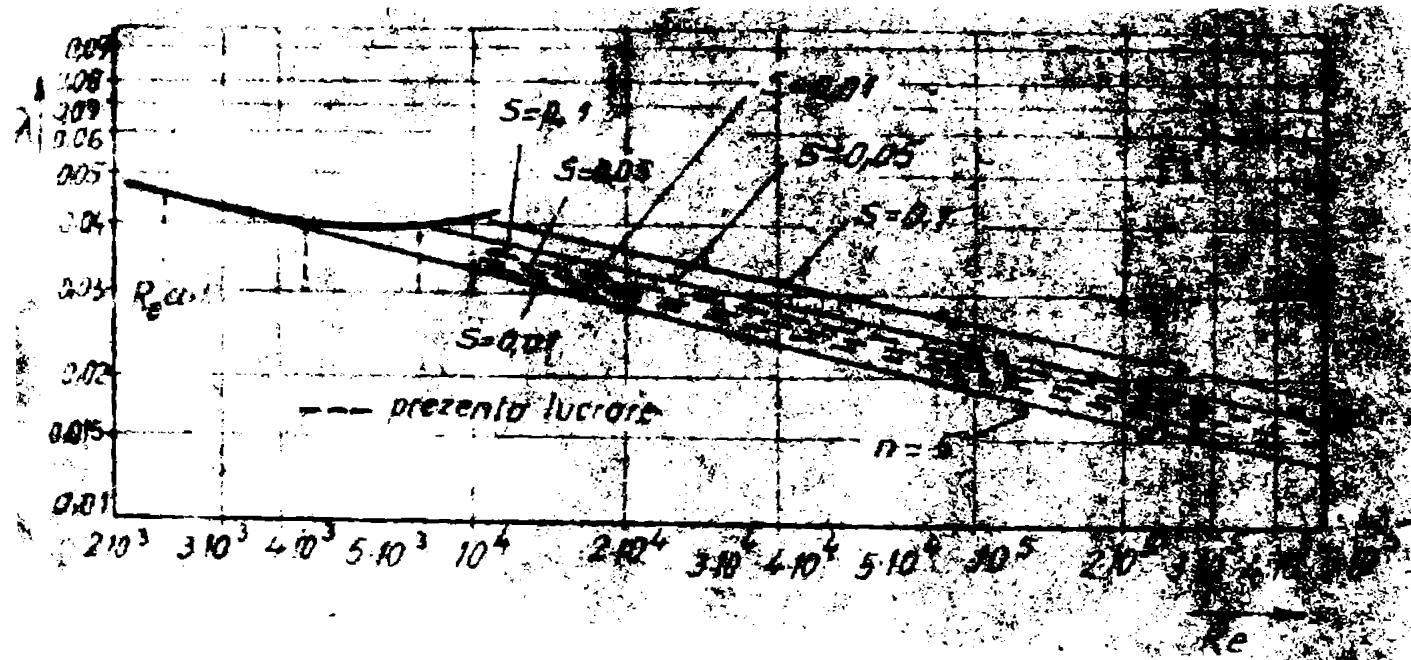


Fig. 3.23

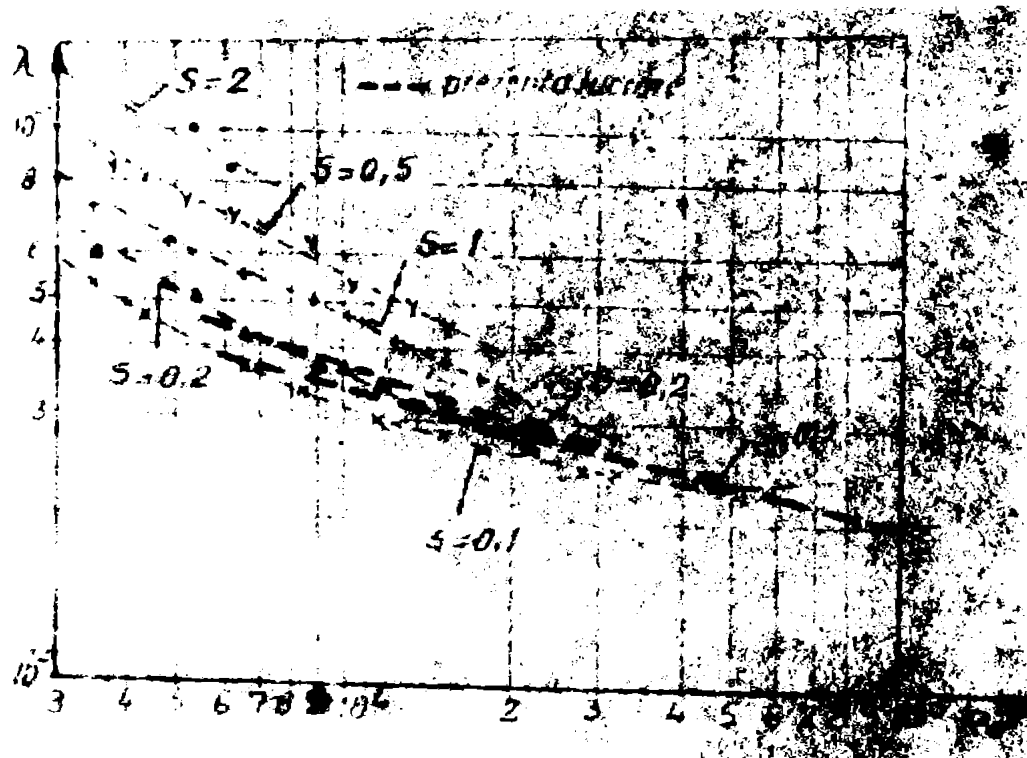


Fig. 3.24

Fig. 3.25

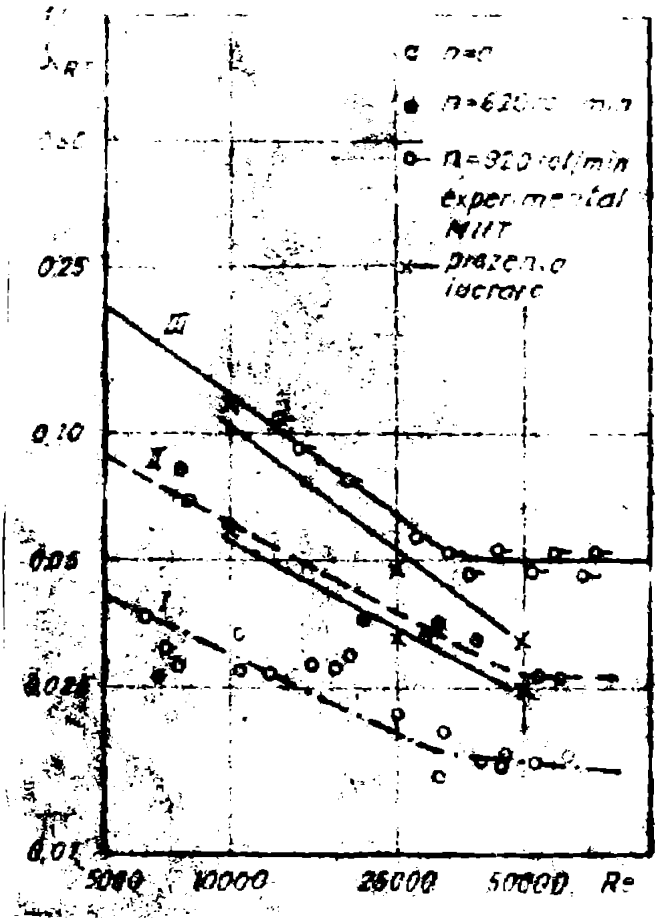


Fig. 3.26

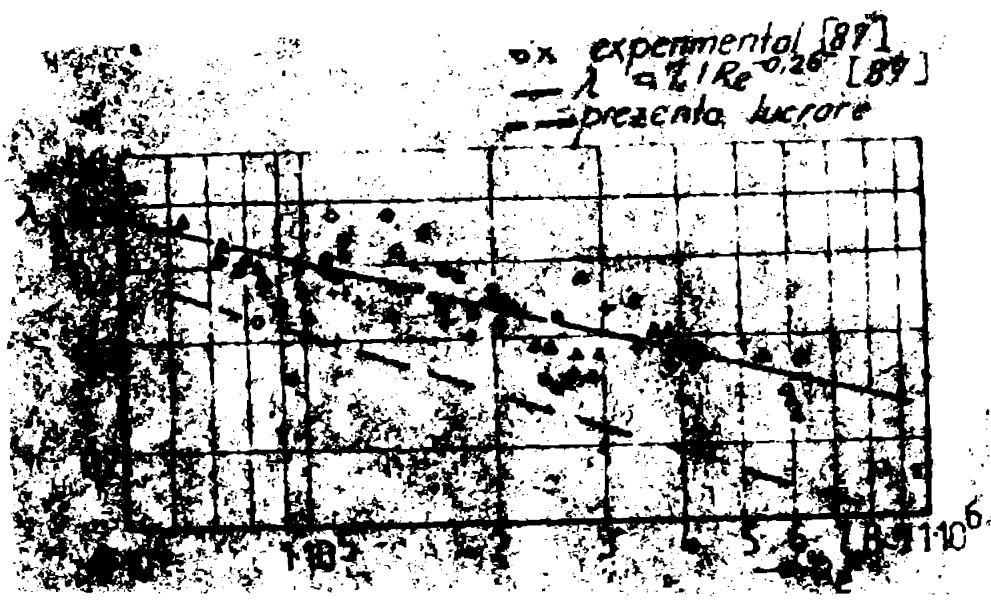


Fig. 3.27





Fig. 3.28

experimentale dobândite de japonezul Tomo-O-Ishihara /37/ în teza sa de doctorat, la cercetarea experimentală a unor turbotransformatoare diferite, de tip trilok în special. Se vede că datele sînt comparabile, dar această confruntare trebuie luată doar cu titlu informativ, datorită lipsei de informații precise legate de condițiile încercărilor lui Tomo-O-Ishihara; relația empirică a acestuia a fost de altfel concepută numai în funcție de numărul Reynolds, ceea ce limitează mult utilitatea ei.

3.2/Fluctuațiile hidraulice în conducte curbate fixe,

3.2.1. Surgerarea în conducte curbate.

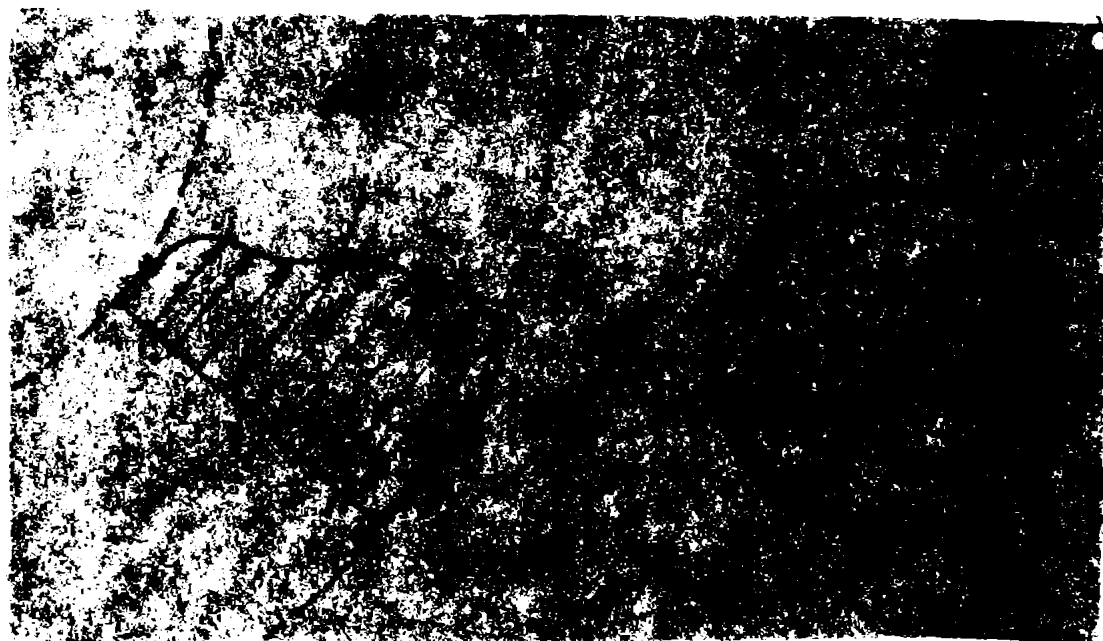


Fig. 3.29

Surgerarea turbulentă în conducte curbate fixe (fig. 3.29) a preocupat lumea științifică de multă vreme și mult înaintea studiului efectelor rotăției, deci cercetările asupra influenței curburii erau mult mai necesitare, și așa cum Miller încă în 1934 a studiat surgerarea laminară în conducte curbate, Ito /73/ în 1956 a abordat complexa problemă a surgerării turbulente, realizînd atât o cercetare experimentală (fig. 3.30 și 3.31), cît și un model matematic



Fig. 3.30

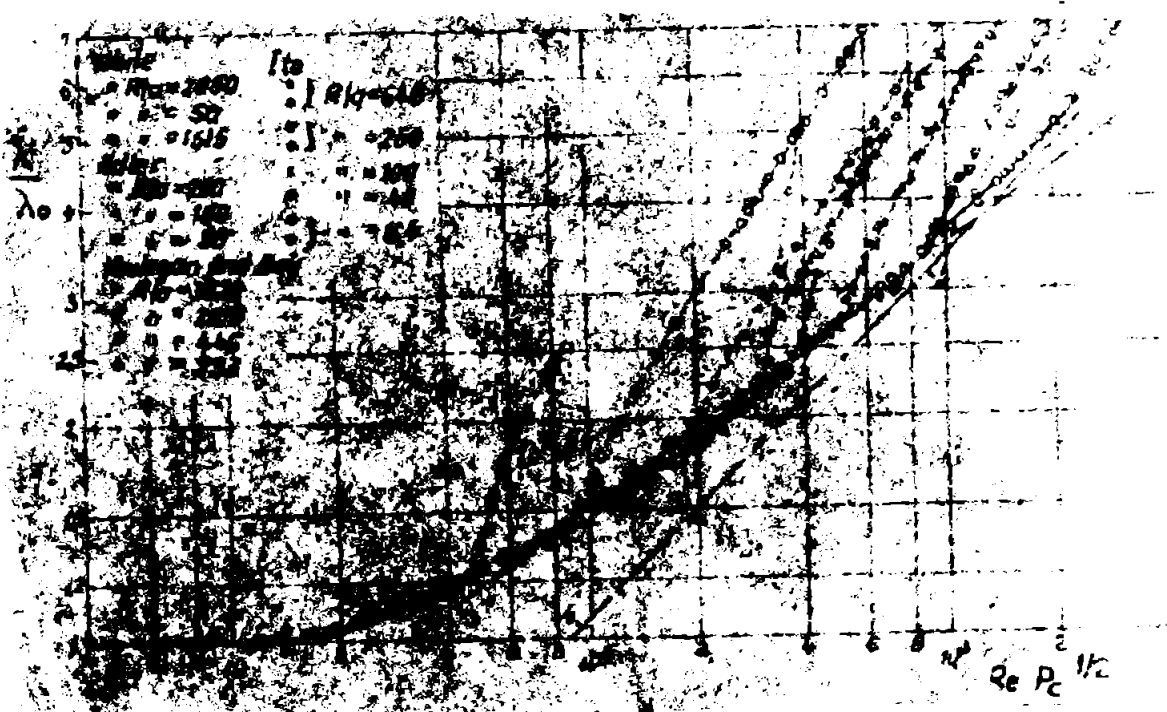


Fig. 3.31

similar cu cel al lui Adler, și care a rămas în continuare o notă de calcul exemplară.

În 1963, Brown încearcă să obțină experimental imaginea turbulenței și a mișcării secundare (fig. 3.32, 3.33), propunând un model al acestora (fig. 3.34), /27/, înălțându-se astfel clarificarea problemei.



Fig. 3.32



Fig. 3.33



Fig. 3.34

Cel care însă a fundamentat teoretic curgerea în canale curbate a fost Bradshaw, care arată că e curbare a liniilor de curent modifică tensiunile Reynolds aproximativ de zece ori mai mult decât tensiunile viscoase, ceea ce permite pe baza rezultatelor lui Thomann să se considere o relație de forma:

$$1 + 10 \frac{\partial v}{\partial y} / \frac{\partial v}{\partial y}$$

pentru creșterea turbulențelor turbulente, numai că aceasta este cu totul particulară și atunci Bradshaw /23/ propune expresia:

$$1 + 10 \frac{e}{\partial v / \partial y}$$

unde numărul 10 nu este o constantă universală, dar datorită neștiinței se poate folosi global. Cât despre "e", acesta se poate defini așa:

- divergență normală: $e = \partial v / \partial y$
- curbură: $e = -U/R_c$
- rotăție: $e = \omega$

Expresia generală va fi: $F = 1 + \alpha \frac{e}{\partial v / \partial y}$, unde α variază de la caz la caz; astfel se poate introduce numărul Richardson Ri_0 și gradientul numărului Richardson, Ri_0' , care de-a lungul liniei de curent curbate, s' are variația din fig. 3.35., în funcție de el determinându-se lungimea de amestec, fig. 3.36.

Aceste considerații arată că determinarea pierderilor hidraulice în conducte curbate nu înseamnă o simplă însumare a pierderilor longitudinale și a celor datorate mișcării secundare, cum face de pildă Kruger /92/, fig. 3.37, ci presupune o implicare în profunzimea fenomenului, așa cum face Se și Moller /152/ care verifică experimental criteriul Richardson propus de Bradshaw, fig. 3.38

Revizind cele spuse până aici, se poate concluziona că metoda generală elaborată în prezenta lucrare se poate aplica și în cazul de față.



Fig. 3.35

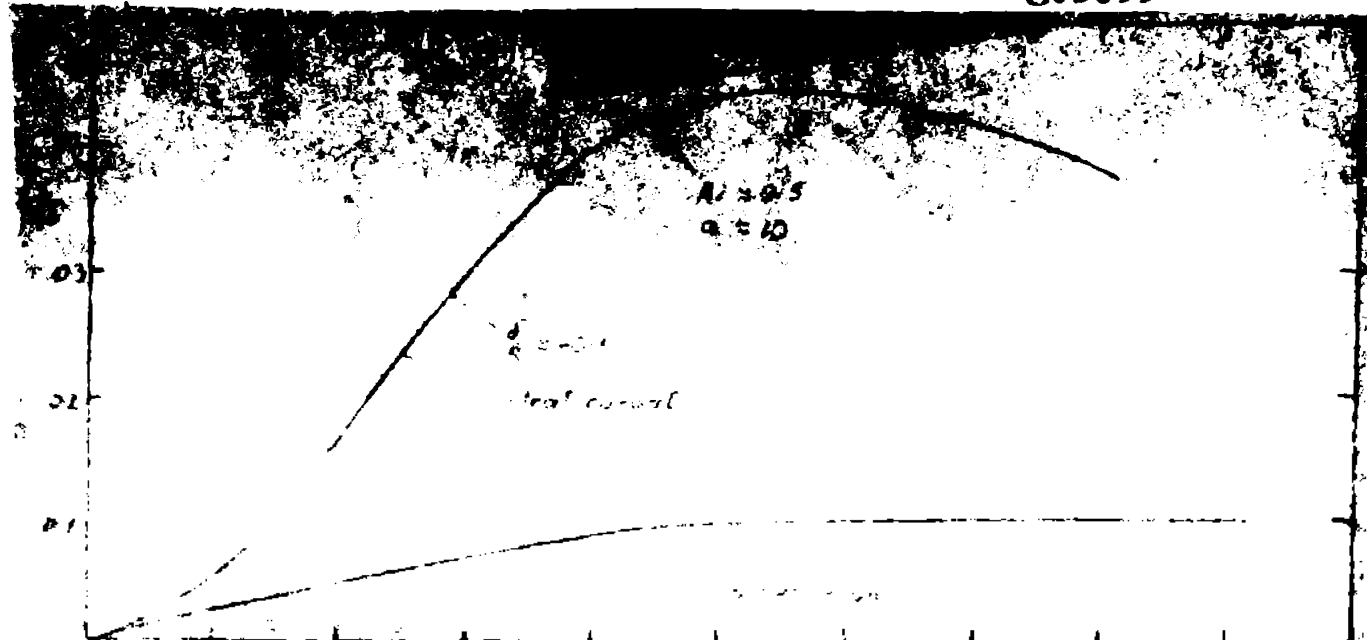


Fig. 3.36

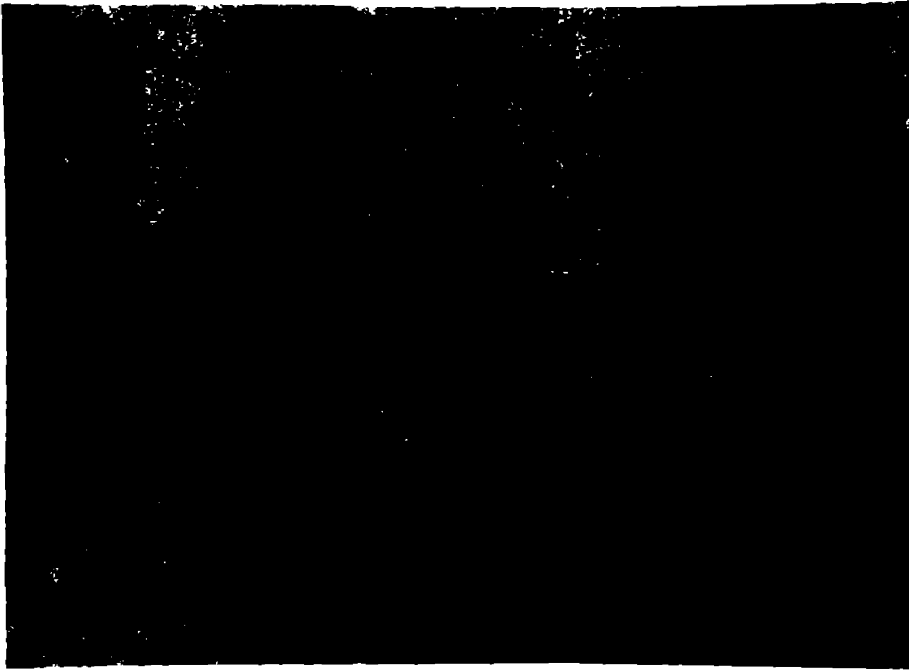


Fig. 3.37

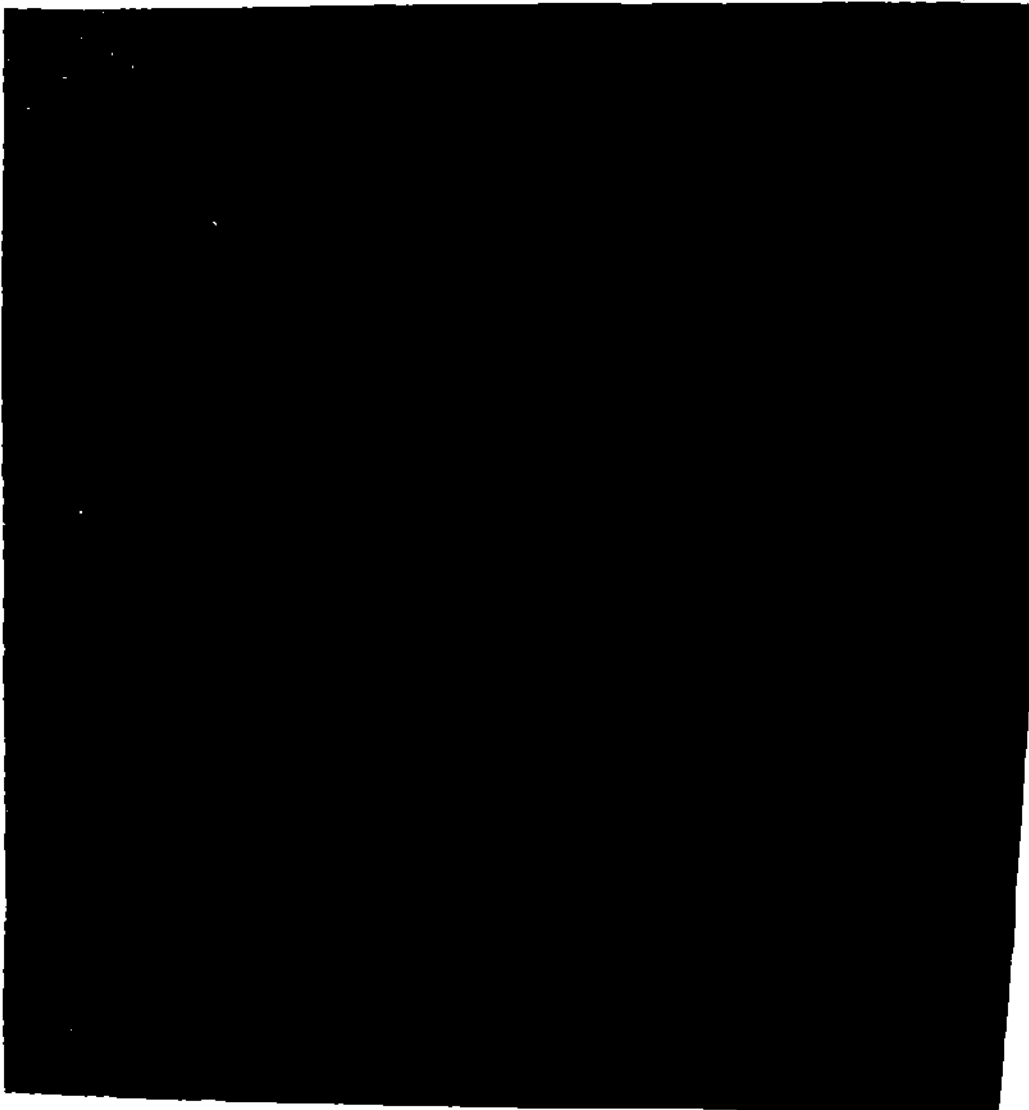


Fig. 3.38

3.2.2. Ecuațiile de mișcare Reynolds.

În cazul reperului inerțial și considerând curgerea turbulentă în conducta curbată expresia ecuațiilor va fi:

$$\begin{aligned} \bar{v}_x \frac{\partial \bar{v}_x}{\partial x} + \frac{R_c}{R_c+x} \bar{v}_y \frac{\partial \bar{v}_x}{\partial y} + \bar{v}_z \frac{\partial \bar{v}_x}{\partial z} - \frac{\bar{v}_y^2}{R_c+x} = -\frac{1}{\rho} \frac{\partial \bar{p}}{\partial x} - \frac{R_c}{R_c+x} \frac{\partial \bar{v}_y' \bar{v}_x'}{\partial y} - \\ - \frac{\partial \bar{v}_x'^2}{\partial x} - \frac{\partial \bar{v}_x' \bar{v}_z'}{\partial z} + \frac{1}{R_c+x} (\bar{v}_y'^2 - \bar{v}_x'^2) + \nu \left[\frac{\partial^2 \bar{v}_x}{\partial x^2} + \frac{R_c^2}{(R_c+x)^2} \frac{\partial^2 \bar{v}_x}{\partial y^2} + \right. \\ \left. + \frac{\partial^2 \bar{v}_x}{\partial z^2} + \frac{1}{R_c+x} \frac{\partial \bar{v}_x}{\partial x} - \frac{\bar{v}_x}{(R_c+x)^2} - \frac{2R_c}{(R_c+x)^2} \frac{\partial \bar{v}_y}{\partial y} \right] \end{aligned} \quad (3.38)$$

$$\begin{aligned} \bar{v}_x \frac{\partial \bar{v}_y}{\partial x} + \frac{R_c}{R_c+x} \bar{v}_y \frac{\partial \bar{v}_y}{\partial y} + \bar{v}_z \frac{\partial \bar{v}_y}{\partial z} + \frac{\bar{v}_x \bar{v}_y}{R_c+x} = -\frac{R_c}{R_c+x} \frac{1}{\rho} \frac{\partial \bar{p}}{\partial y} - \\ - \frac{R_c}{R_c+x} \frac{\partial \bar{v}_y'^2}{\partial y} - \frac{\partial \bar{v}_y' \bar{v}_x'}{\partial x} - \frac{\partial \bar{v}_y' \bar{v}_z'}{\partial z} - 2 \frac{\bar{v}_y \bar{v}_x'}{R_c+y} + \nu \left[\frac{R_c^2}{(R_c+x)^2} \frac{\partial^2 \bar{v}_y}{\partial y^2} + \right. \\ \left. + \frac{\partial^2 \bar{v}_y}{\partial x^2} + \frac{\partial^2 \bar{v}_y}{\partial z^2} + \frac{1}{R_c+x} \frac{\partial \bar{v}_y}{\partial x} - \frac{\bar{v}_y}{(R_c+x)^2} + \frac{2R_c}{(R_c+x)^2} \frac{\partial \bar{v}_x}{\partial y} \right] \end{aligned} \quad (3.39)$$

$$\begin{aligned} \bar{v}_x \frac{\partial \bar{v}_z}{\partial x} + \frac{R_c}{R_c+x} \bar{v}_y \frac{\partial \bar{v}_z}{\partial y} + \bar{v}_z \frac{\partial \bar{v}_z}{\partial z} = -\frac{1}{\rho} \frac{\partial \bar{p}}{\partial z} - \frac{R_c}{R_c+x} \frac{\partial \bar{v}_y' \bar{v}_z'}{\partial y} - \\ - \frac{\partial \bar{v}_x' \bar{v}_z'}{\partial x} - \frac{\partial \bar{v}_z'^2}{\partial z} - \frac{\bar{v}_x' \bar{v}_z'}{R_c+x} + \nu \left[\frac{R_c^2}{(R_c+x)^2} \frac{\partial^2 \bar{v}_z}{\partial y^2} + \frac{\partial^2 \bar{v}_z}{\partial x^2} + \right. \\ \left. + \frac{\partial^2 \bar{v}_z}{\partial z^2} + \frac{1}{R_c+x} \frac{\partial \bar{v}_z}{\partial x} \right] \end{aligned} \quad (3.40)$$

3.2.3. Ecuațiile stratului limită.

Ipoteze de calcul: a) conducta este perfect netedă; b) mișcarea fluidului este permanentă; c) fluidul este incompresibil; d) se admite continuitatea mișcării secundare; e) curbura conductei este suficient de lină și constantă; f) curgerea turbulentă este deplin dezvoltată; g) curgerea se divide formal în două: un strat limită la parete, unde se concentrează turbulența și vâscozitatea și are loc mișcarea secundară (experimentale făcute de Saph și Schoder /68/, fig. 3.39 confirmă ipoteza) și un nucleu potențial.

Precedinți identic ca și în cazul curgerii turbulente în conducte rotitoare, 3.1., ecuațiile de mișcare Reynolds s-au adaptat stratului limită, obținându-se în final ecuațiile integrale:



Fig. 3.39

$$-\frac{1}{R} \frac{d}{d\theta} \int_0^{\delta} v_z^2 d\xi + \frac{h\nu\theta}{Rc} \int_0^{\delta} [(v_y)_{\delta}^2 - v_y^2] d\xi = \frac{\bar{b}_{\theta_0}}{\rho} \quad (3.41)$$

$$-\frac{1}{R} \frac{d}{d\theta} \int_0^{\delta} v_z v_y d\xi + (v_y)_{\delta} \frac{1}{R} \frac{d}{d\theta} \int_0^{\delta} v_z d\xi = \frac{\bar{b}_{y_0}}{\rho} \quad (3.42)$$

$$\frac{d(v_y)_{\delta}}{d\theta} = \frac{\left(\frac{\partial p}{\partial y}\right) R^2 h\nu^2 \theta}{\rho \int_0^{\delta} v_z d\xi} \quad \frac{\partial p}{\partial y} = -\frac{2}{\tilde{r}R} \int_0^{\tilde{r}} \bar{b}_{y_0} d\theta \quad (3.43)$$

Soluționarea ecuațiilor necesită explicitarea vitezelor și a tensiunii la perete.

Viteza axială se exprimă:

$$v_y = (v_y)_{\delta} \eta^{1/n}$$

Viteza tangențială este:

$$v_z = \varepsilon (v_z)_{\delta} \eta^{1/n} (1-\eta)^2$$

Tensiunea de forfecare se exprimă în două moduri, similar cu 3.1.

-după /96/ :

$$\bar{b}_{y_0} = k_1 \rho (v_y)_{\delta}^{3/4} \eta^{1/4} \left[\int_0^{\delta} v_y [(v_y)_{\delta} - v_y] d\xi \right]^{-1/4}, \quad k_1 = 0,01255$$

se observă că $k_1 = 0,01255$ concordă cu datele lui Ito /62/, /70/, la care $k_2 = 0,0225/\sqrt{1+k^2}$

-după Bradshaw /23/, Johnston /75/, Parsons /120/, Se-Yeller /152/:

$$\bar{b}_{y_0} = \rho k_2 (\delta/R)^{-1/4} (v_y)_{\delta}^2 (1-\beta_c Ric)^2, \quad \beta_c = 7 \text{ (convex)} \\ \beta_c = 4,5 \text{ (concau)}$$

unde :

$$Ric = -2 \left(\frac{v_y}{Rc} \right) / \left(\frac{\partial v_y}{\partial \xi} \right) = 2 \frac{v_y}{Rc} \frac{-1}{\frac{1}{\rho h\nu\theta} \frac{\partial}{\partial \theta} (v_y)}$$

sau :

$$Ric = -\frac{2 \rho c h\nu\theta}{\frac{\partial}{\partial \theta} (v_y/\tilde{v}_y)} (v_y/\tilde{v}_y), \quad \text{iar } \bar{b}_{\theta_0} = \varepsilon \bar{b}_{y_0}$$

Se utilizează coeficienții adimensionali:

$$\begin{aligned} (v_y)_f &= (\bar{v}_y)_f (v_y)_{f,\theta_0} \\ \varepsilon &= \bar{\varepsilon} P_c^{1/2} \\ \delta &= \bar{\delta} \left(\frac{RR_c \bar{\nu}^{1/2}}{(v_y)_{f,\theta_0}^{1/2}} \right)^{2/5} \end{aligned} \quad (3.42)$$

Ecuațiile integrale devin:

$$-\frac{d}{d\theta} \left[\kappa_2 \bar{\varepsilon}^2 (\bar{v}_y)_f^2 \bar{\delta} \right] + \kappa_3 \text{Nu} \theta (\bar{v}_y)_f^2 \bar{\delta} = \kappa_1 \kappa_4 \bar{\varepsilon} (\bar{v}_y)_f^{7/4} \bar{\delta}^{-1/4} \quad (3.43)$$

$$(\bar{v}_y)_f \frac{d}{d\theta} \left[\kappa_5 \bar{\varepsilon} (\bar{v}_y)_f \bar{\delta} \right] - \frac{d}{d\theta} \left[\kappa_6 (\bar{v}_y)_f^2 \bar{\delta} \bar{\varepsilon} \right] = \kappa_1 \kappa_4 (\bar{v}_y)_f^{7/4} \bar{\delta}^{-1/4} \quad (3.44)$$

$$\frac{d(\bar{v}_y)_f}{d\theta} = - \frac{\frac{2}{\sqrt{\pi}} \kappa_1 \kappa_4 \int_0^{\sqrt{\theta}} (\bar{v}_y)_f^{7/4} \bar{\delta}^{-1/4} d\theta \text{Nu}^2 \theta}{\kappa_5 (\bar{v}_y)_f \bar{\delta} \bar{\varepsilon}} = - \frac{I_1 \text{Nu}^2 \theta}{(\bar{v}_y)_f \bar{\delta} \bar{\varepsilon} \kappa_5} \quad (3.45)$$

unde $I_1 = \frac{2}{\sqrt{\pi}} \kappa_1 \kappa_4 \int_0^{\sqrt{\theta}} (\bar{v}_y)_f^{7/4} \bar{\delta}^{-1/4} d\theta$

3.2.4. Coeficientul de pierdere λ_{CT} .

Din expresia vitezei medii, rezultă:

$$\tilde{v}_{y/0} = I_2 - I_3 D^{-1/5} P_c^{-3/10} \sim^{1/5} \frac{v_{y/0}}{v_{y/0}} \quad (3.46)$$

unde: $I_2 = \frac{2}{\sqrt{\pi}} \int_0^{\sqrt{\theta}} (\bar{v}_y)_f \text{Nu}^2 \theta d\theta$; $I_3 = \frac{2}{\sqrt{\pi}} \int_0^{\sqrt{\theta}} (\bar{v}_y)_f \bar{\delta} d\theta$; $D = \text{Re} P_c^{1/2}$

Coeficientul λ_{CT} are expresia generală:

$$\lambda_{CT} = - \frac{4R}{\tilde{v}_y^2} \frac{1}{P} \frac{\partial P}{\partial y}$$

de unde:

$$\lambda_{CT} = 2^{1/5} I_1 D^{-1/5} P_c^{1/5} \sim^{-9/5} \frac{v_{y/0}}{v_{y/0}} \quad (3.47)$$

3.2.5. Rezultate numerice:

Rezolvarea ecuațiilor integrale au condus la determinarea mărimilor:

$$I_1 =$$

$$I_1 = 0,0485$$

$$I_2 = 0,792$$

$$I_3 = 0,11$$

În fig.3.40 se prezintă variația lui $\lambda_{cr} = f(Re, Pe)$ obținută din calcul. Verificarea rezultatelor s-a făcut comparându-le cu date

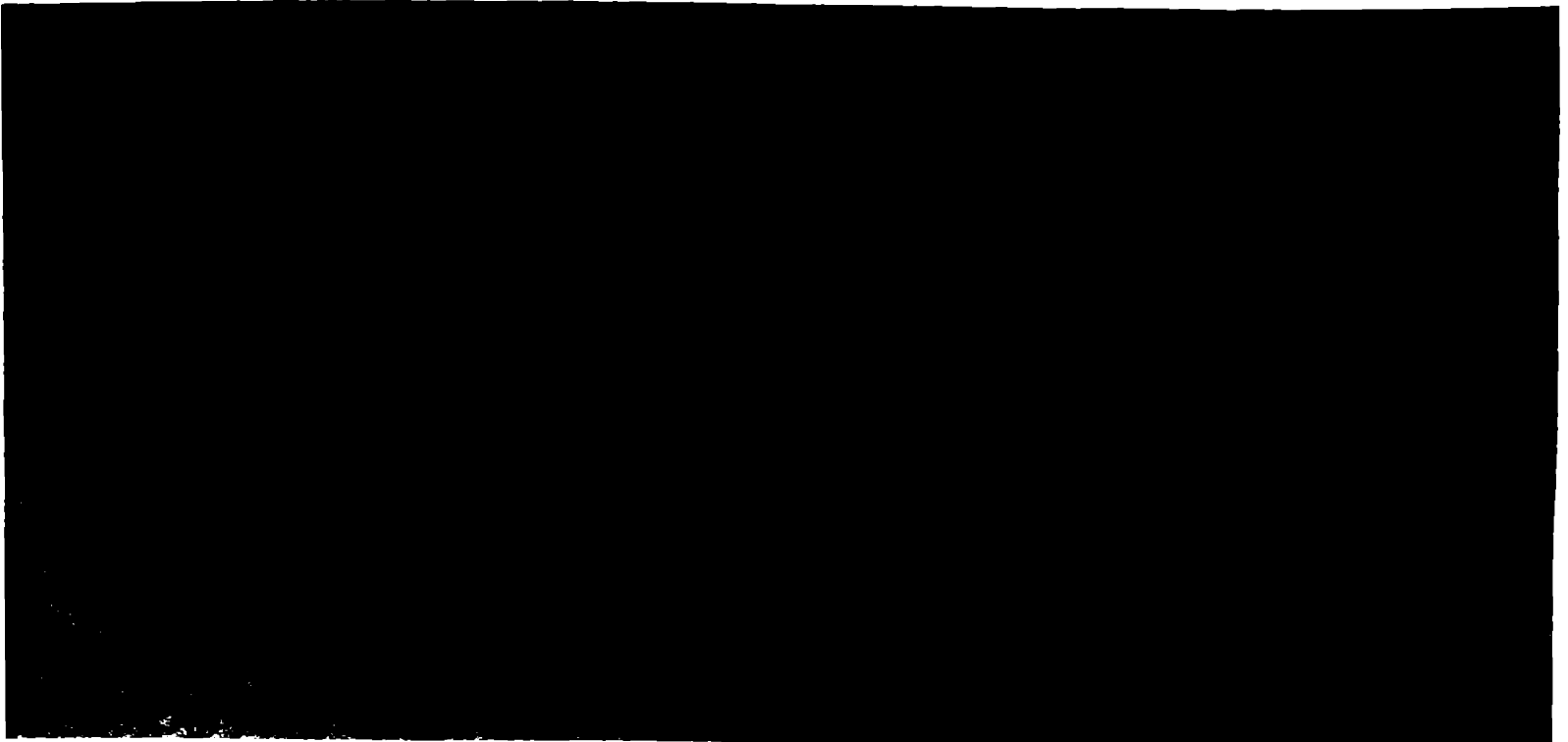


Fig.3.40

experimentale din literatura de specialitate (vezi fig.2.26,2.27, 2.28,2.29,2.31); se remarcă o bună concordanță, ca și în cazul comparării cu /68/, fig.3.41,3.42

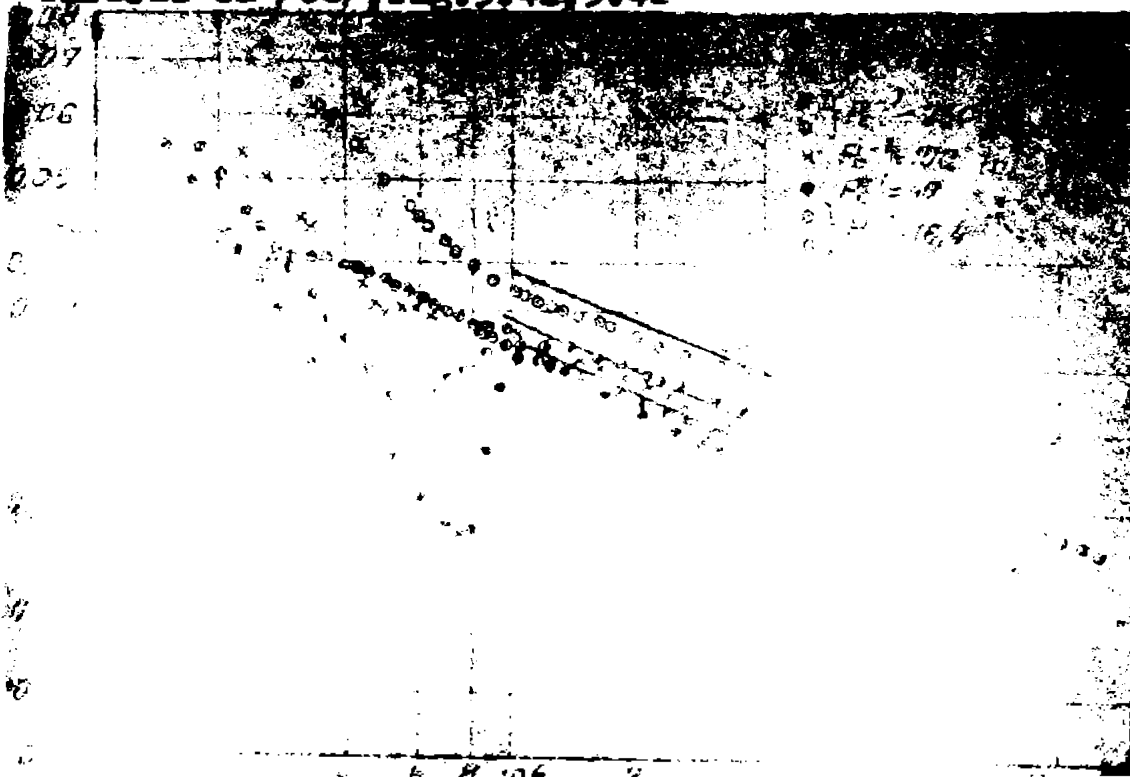


Fig.3.41

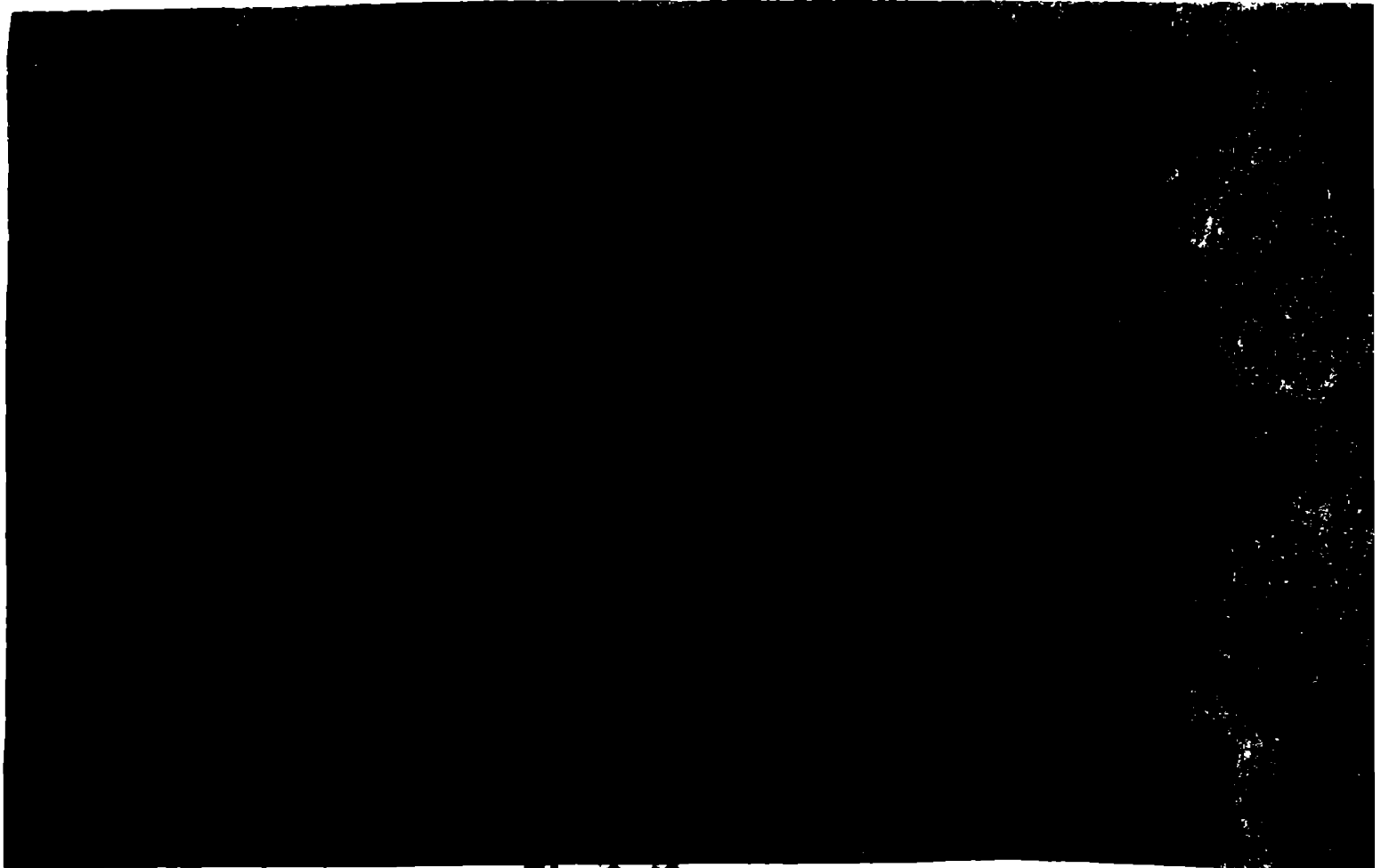


Fig.3.42

Ca și în paragraful 3.1, s-a calculat numărul Richardson, obținându-se pentru partea de suprapresiune a conductei ($\theta \ll 90^\circ$), lângă perete $Ri_\theta \in [0, -0,12]$, ceea ce reprezintă o instabilitate /75/. Pe partea de depresiune a conductei ($\theta \gg 90^\circ$), se obține $Ri_\theta \in [0, +0,28]$ în deplină concordanță cu valorile din /152/ având ca efect o stabilizare a turbulenței.

În fig.3.43 se prezintă comparativ cu /68/ variația tranziției de la regiunea laminară la regiunea turbulentă în funcție de numărul Dean ($D = Re P_\theta^{1/2}$). Prin intersecția curbelor teoretice obținute în prezenta lucrare, $\lambda_c = f(Re)$ laminară și $\lambda_{ct} = f(Re)$ turbulent, la diferite valori ale

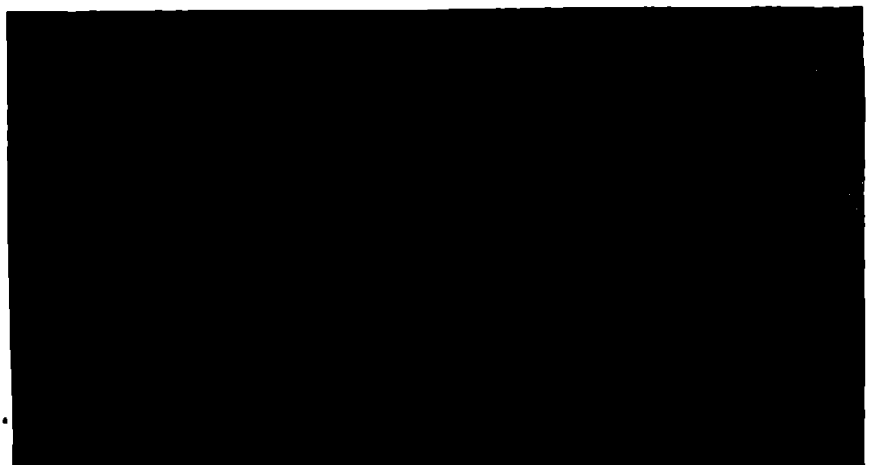


Fig.3.43

curburii s-au obținut punctele teoretice de tranziție, reamănuindu-se că, odată cu creșterea curburii, datorită efectelor stabilizatoare, se întârzie tranziția. Buna concordanță cu valorile experimentale sugerează în plus, valabilitatea și funcționalitatea metodei prezente.

3.3. Debitul cot.

Metoda elaborată și prezentată mai sus, oferă diverse posibilități aplicative, dintre acestea o aplicație imediată reprezentând-o calculul debitului cu metoda cotului.

Metoda cotului de măsurare a debitului este o metodă cunoscută, dar care adesea în literatura de specialitate a primit o justificare teoretică necorespunzătoare, în sensul că nu se ține cont de mișcarea secundară ce apare datorită forțelor centrifuge. Neglijarea curgerii secundare, cum se procedează în /170/, unde se utilizează legea arilor, conduce la obținerea unor repartiții de viteză total eronate, chiar contrarii distribuțiilor reale ale vitezei.

Un mare pas înainte este făcut în /69/, unde pentru regimul laminar, în ipoteza ajutătoare că raza de curbură este foarte mare, se obține coeficientul de debit teoretic. Având în vedere limitările modelului /69/ se propune în continuare pe baza rezultatelor anterioare o metodologie generală de calcul al coeficientului de debit φ , indiferent de regimul de curgere și de valoarea curburii.

3.3.1. Regimul laminar.

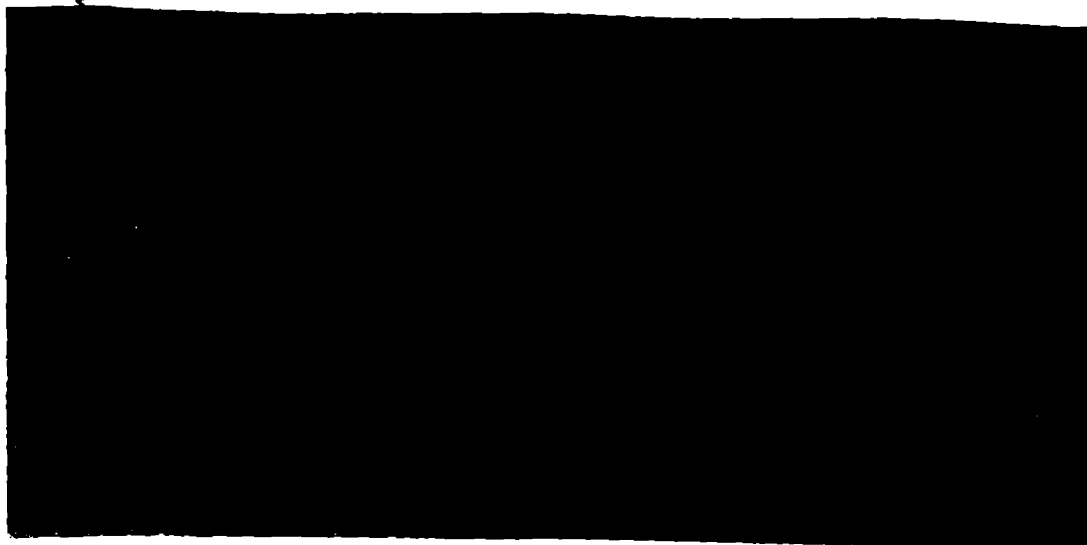


Fig. 3.44

Considerând rezultatele obținute în 2.2. se poate scrie:

$$\left(\frac{\partial p}{\partial \theta}\right)_r = -\rho \frac{R}{R_c} (v_y)_r^2 \sin \theta \quad (3.48)$$

Considerând prizele de presiune 1 și 2 (fig. 3.44) se poate integra și atunci:

$$p_2 - p_1 = - \rho P_c \int_0^{\tilde{r}} (v_y)_r^2 \sin \theta \, d\theta \quad P_c = \frac{R}{R_c} \quad (3.49)$$

ctiind că: $(v_y)_r = (\bar{v}_y)_r (v_y)_{r,\theta_0} \quad \theta_0 = 0$

rezultă: $p_1 - p_2 = \rho P_c (v_y)_{r,\theta_0}^2 \int_0^{\tilde{r}} (\bar{v}_y)_r^2 \sin \theta \, d\theta \quad (3.50)$

notind $I_{1d} = \int_0^{\tilde{r}} (\bar{v}_y)_r^2 \sin \theta \, d\theta$ și definind debitul ca fiind:

$$Q = \varphi A \sqrt{2(p_1 - p_2) / \rho} \quad (3.51)$$

rezultă: $\tilde{v}_y \cdot \frac{Q}{A} = \varphi \sqrt{2(p_1 - p_2) / \rho}$

sau $\tilde{v}_y^2 = \varphi^2 \frac{2}{\rho} \rho P_c (v_y)_{r,\theta_0}^2 I_{1d}$

și folosind notația $\tilde{v}_y / \theta = \tilde{v}_y / (v_y)_{r,\theta_0}$

rezultă $\varphi = \tilde{v}_y / \theta (2 P_c I_{1d})^{-1/2} \quad (3.52)$

Din 2.2 se știe că:

$$\tilde{v}_y / \theta = I_2 - I_3 D^{-1/2} \tilde{v}_y / \theta^{1/2} \quad (2.83)$$

unde: $D = Re P_c^{1/2}$

$$I_{1d} = 0,625 P_c^2 + 1,5 P_c + 0,693$$

$$I_2 = 0,0511 P_c^2 + 0,6741 P_c + 0,56117$$

$$I_3 = -0,7888 P_c^2 + 3,7561 P_c + 2,054$$

3.3.2. Regimul turbulent.

Considerind rezultatele din 3.2. se ajunge la expresia:

$$\varphi = \tilde{v}_y / \theta (2 P_c I_{1d}')^{-1/2} \quad (3.53)$$

unde:

$$\sqrt[3]{y_{10}} = I_2 - I_3 D^{-1/5} P_c^{-3/10} \sqrt[3]{y_{10}}^{1/5} \quad (3.46)$$

$$\text{iar } I'_{1d} = 0,625 P_c^2 + 1,5 P_c + 0,693 \quad (P_c > 0,1)$$

$$I'_{1d} = 0,625 P_c^2 + 1,5 P_c + 0,74 \quad (P_c < 0,1)$$

$$I_2 = 0,792 \quad I_3 = 0,11$$

3.3.3. Rezultate experimentale.

Pentru verificarea metodei s-au realizat încercări experimentale în Laboratorul de Mașini Hidraulice din Timișoara, utilizându-se un debitmetru cu avin și $P_g = 0,35$, la diferite regimuri de funcționare, rezultatele experimentale fiind reprezentate grafic în coordonate

$$\gamma P_c^{1/2} = f(D) \quad \text{comparativ cu datele teoretice.}$$

În fig. 3.45 se prezintă comparativ coeficientul de debit teoretic și experimental, remarcându-se o bună concordanță. De asemenea, în fig. 3.46, se prezintă rezultatele teoretice și experimentale ale lui Ite /69/, pentru regimul laminar, remarcându-se că datele teoretice ale prezentei metode sînt mai apropiate de realitate decît cele oferite de /69/, validîndu-se astfel încă odată justetea metodei.

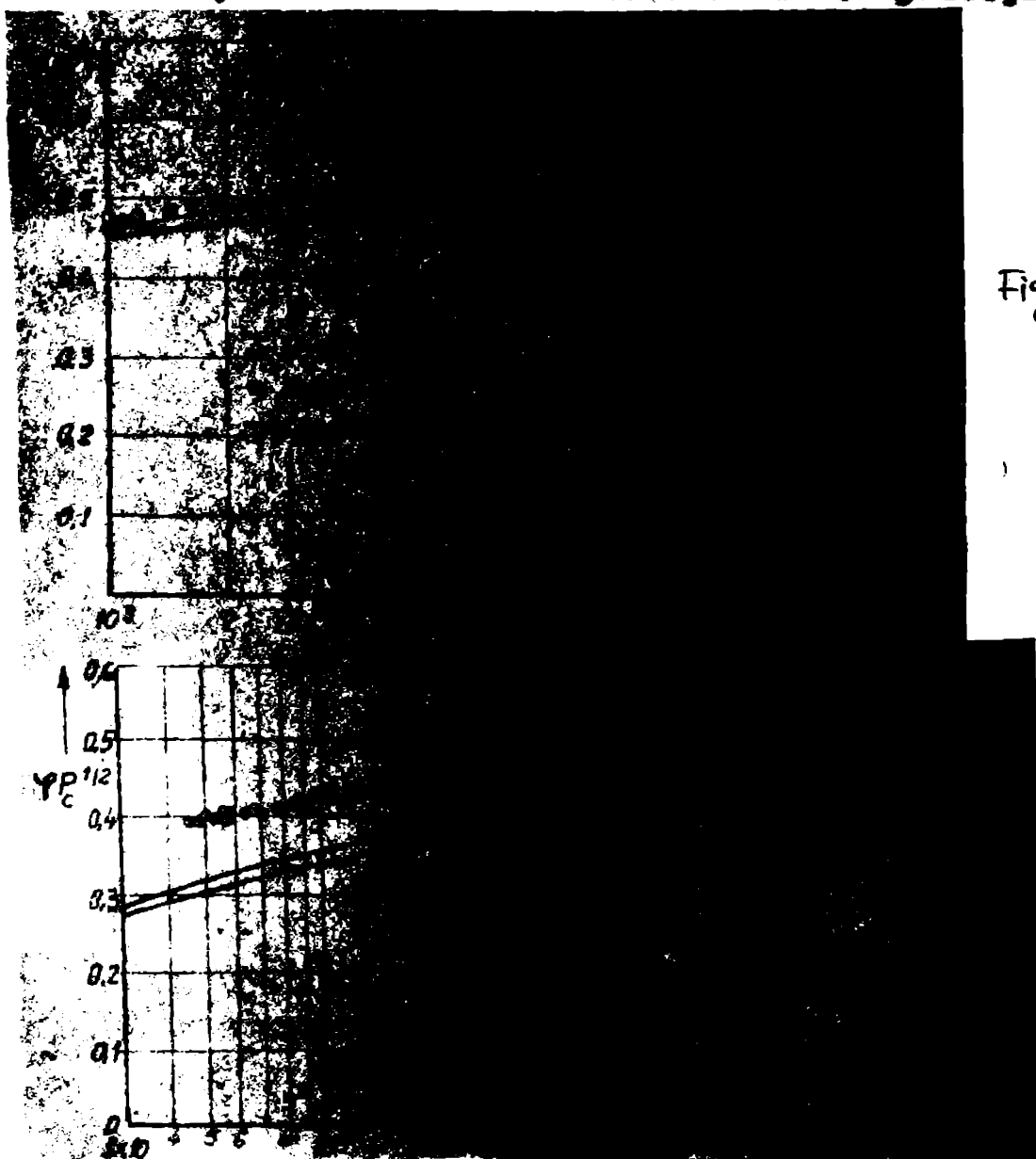


Fig. 3.45

Fig. 3.46

BESTABILITATEA EXPERIMENTALA A PIERDERILOR HIDRAULICE IN CONDUCTE ROTITOARE.

Proiectarea eficientă a mașinilor hidraulice și selectarea varianței optime presupune cunoașterea bilanțului energetic și în special a pierderilor hidraulice, care influențează în mod hotărâtor randamentul și funcționarea mașinii.

Curgerea în canalele interpaletare ale rotorilor de turbotransformator și ai mașinilor hidraulice în general, fiind deosebit de complexă, s-au căutat modele mai simple care să considere inițial doar unii parametri și mai apoi, modelul să se dezvolte plecând de la rezultatele primare. Datorită dificultăților întâlnite la modelarea teoretică a fenomenului, rezultatele teoretice obținute nu pot fi considerate ca suficiente și metoda analitică elaborată trebuie în mod necesar coroborată de o cercetare experimentală, care să verifice teoria și să o completeze.

4.1. Cercetări experimentale pe plan mondial.

Una din primale încercări de studiere a pierderilor hidraulice în conducte rotitoare aparține lui Seelig /46/, /148/, care în anul 1930 prezintă experiența devenită clasică, fig. 4.1, a unei conducte rotitoare formate dintr-o porțiune centrală dreaptă și două coturi de 180° , obținând coeficientul de pierdere ζ pentru trei diametri ai conductei: 33mm, 83,5mm și 119 mm. Rezultatele lui Seelig au fost preluate în calculele de bilanț energetic la pompele centrifuge ale turbotransformatoarelor /46/, suplimentându-se forțat pierderile de la conducte fixe cu o cantitate aproximativă, apreciată după datele lui Seelig. Din păcate o astfel de soluție nu este viabilă și în plus, experimentul lui Seelig prezintă deficiențe grave având în vedere că forma conductei introduse și pierderile datorate coturilor, se nu pot fi separate și deci nu se poate cunoaște efectul rotației.

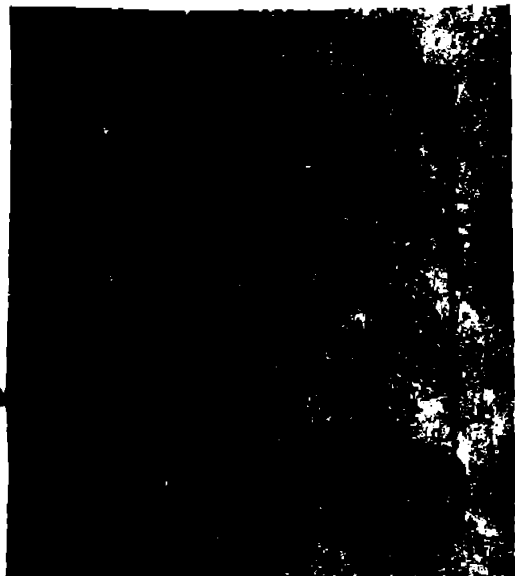


Fig. 4.1

O nouă încercare de studiu experimental al pierderilor hidraulice în conducte rotitoare a efectuată în 1958 Kisbecskoi /89/.



Fig.4.2

construind o instalație cu turajie variabilăgi care permite modi-
 ficarea numărului Reynolds, fig.4.2, încadrind în această situație o
 conductă de diametru de 7 mm. Conducta rotitoare formează un cadru
 dreptunghiular, deci apar patru colțuri de 90°, care introduc pierderi
 suplimentare. Rezultatele ex-
 perimentale obținute pe această
 tă instalație oferă numai o
 imagine calitativă a influ-
 enței rotației asupra pierderi
 lor hidraulice, fig.4.3, 4.4.

Ca totul altfel se pre-
 zintă datele experimentale
 obținute de Dobner /34/ în
 1959, pe baza încredărilor efec-
 tuate pe o stațiune capabilă să

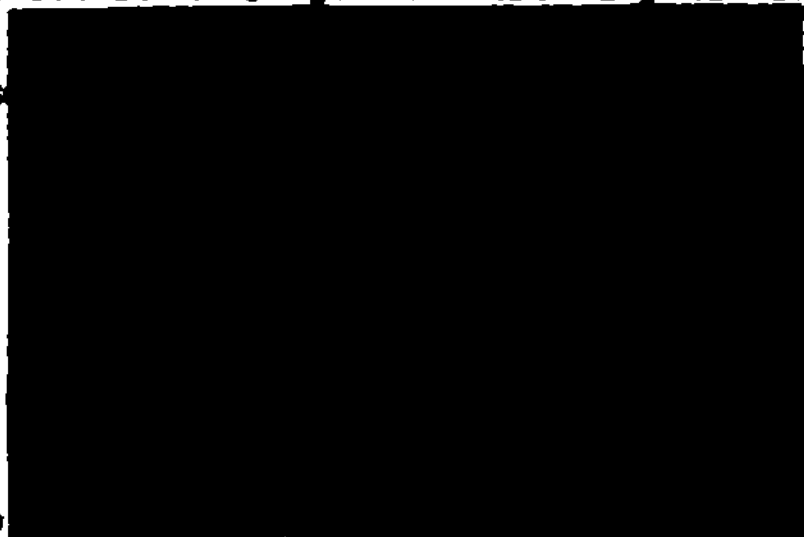


Fig.4.3

ofere rezultate complete și deosebit de importante pentru analiza
 cantitativă și calitativă a pierderilor prin frecare în canale
 drepte rotitoare. Experimen-
 tul lui Dobner este primul
 de acest fel, care prin date-
 le obținute permite cunoaș-
 terea exactă a coeficientului
 de pierdere prin frecare, λ
 fig.4.5. și influența numărul
 lui Reynolds și Strouhal esu-
 pra acestor pierderi. De ase-

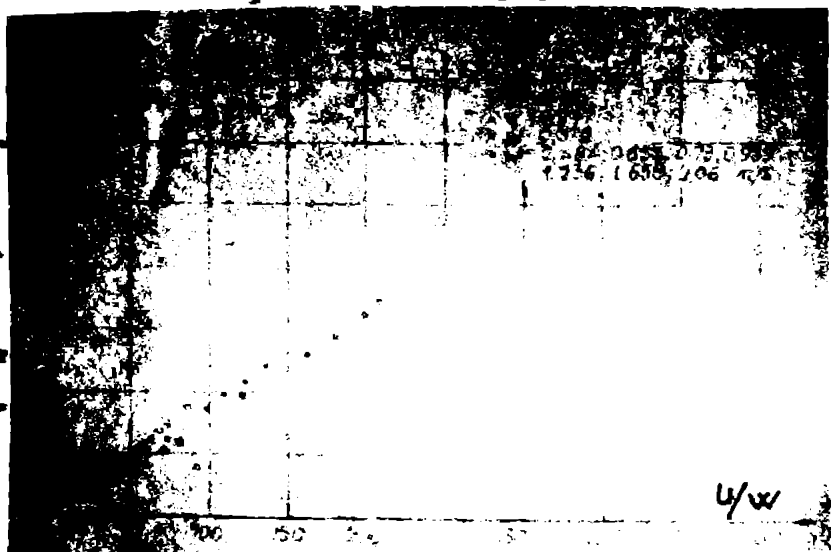


Fig. 4.5

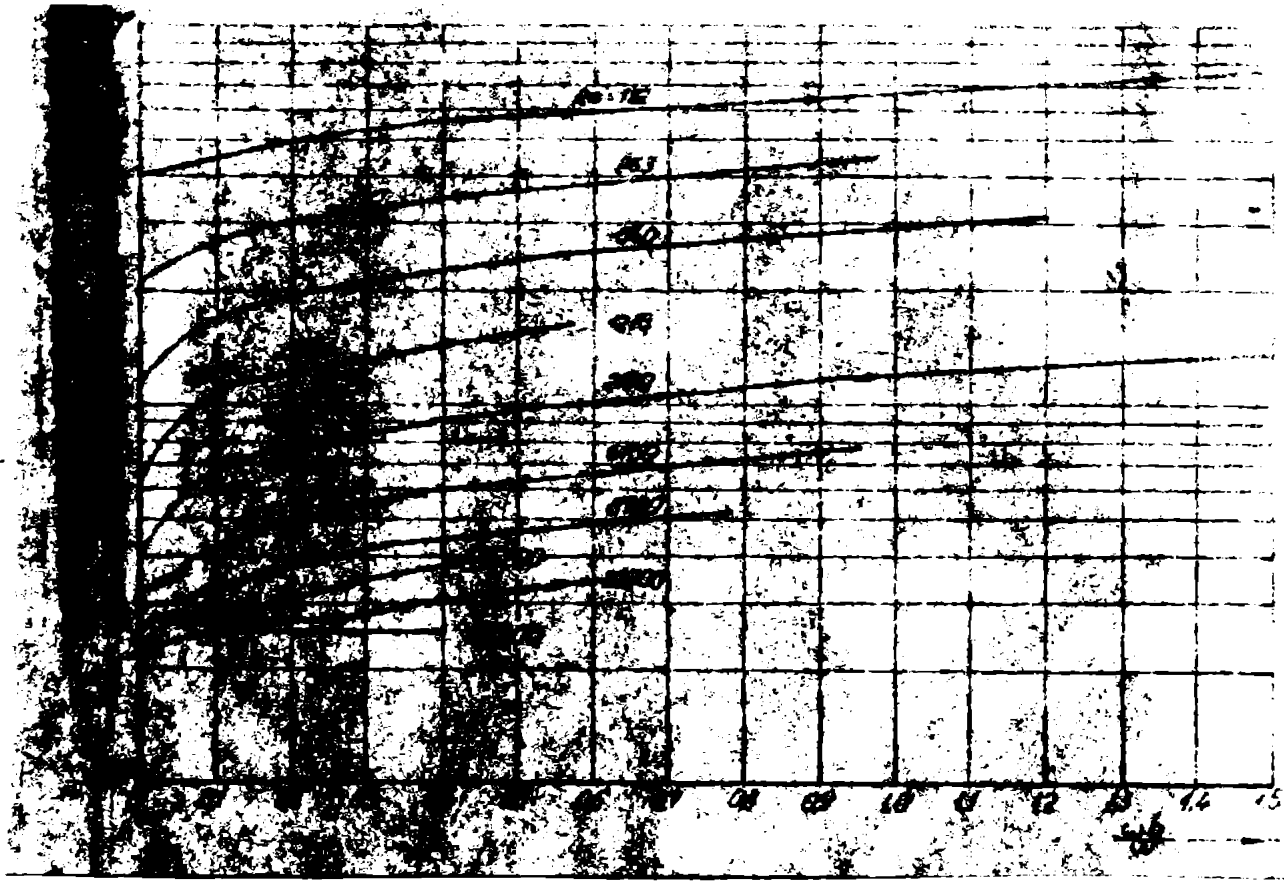
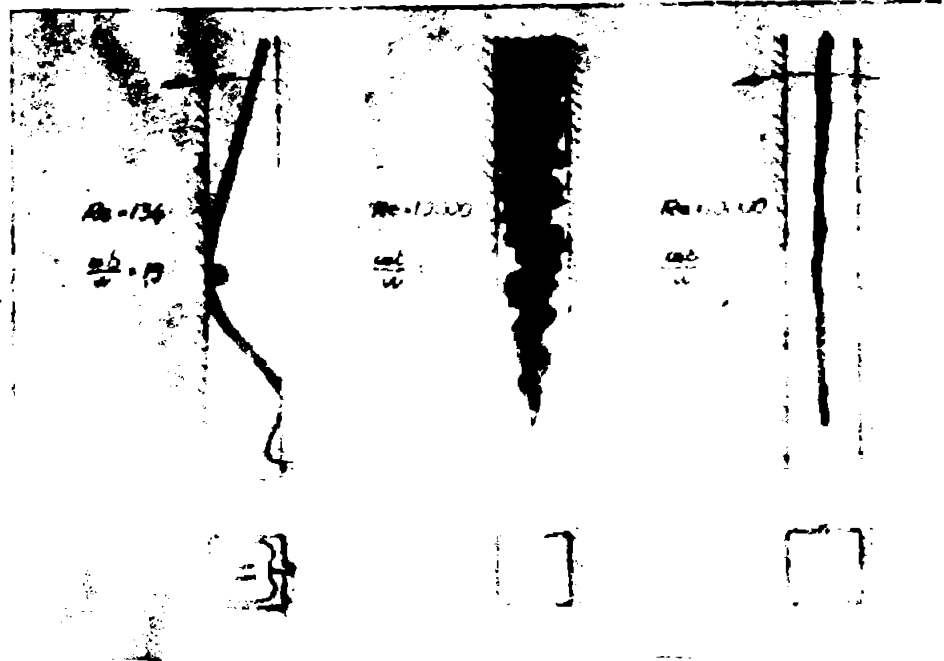


Fig. 4.6



Fig. 4.7



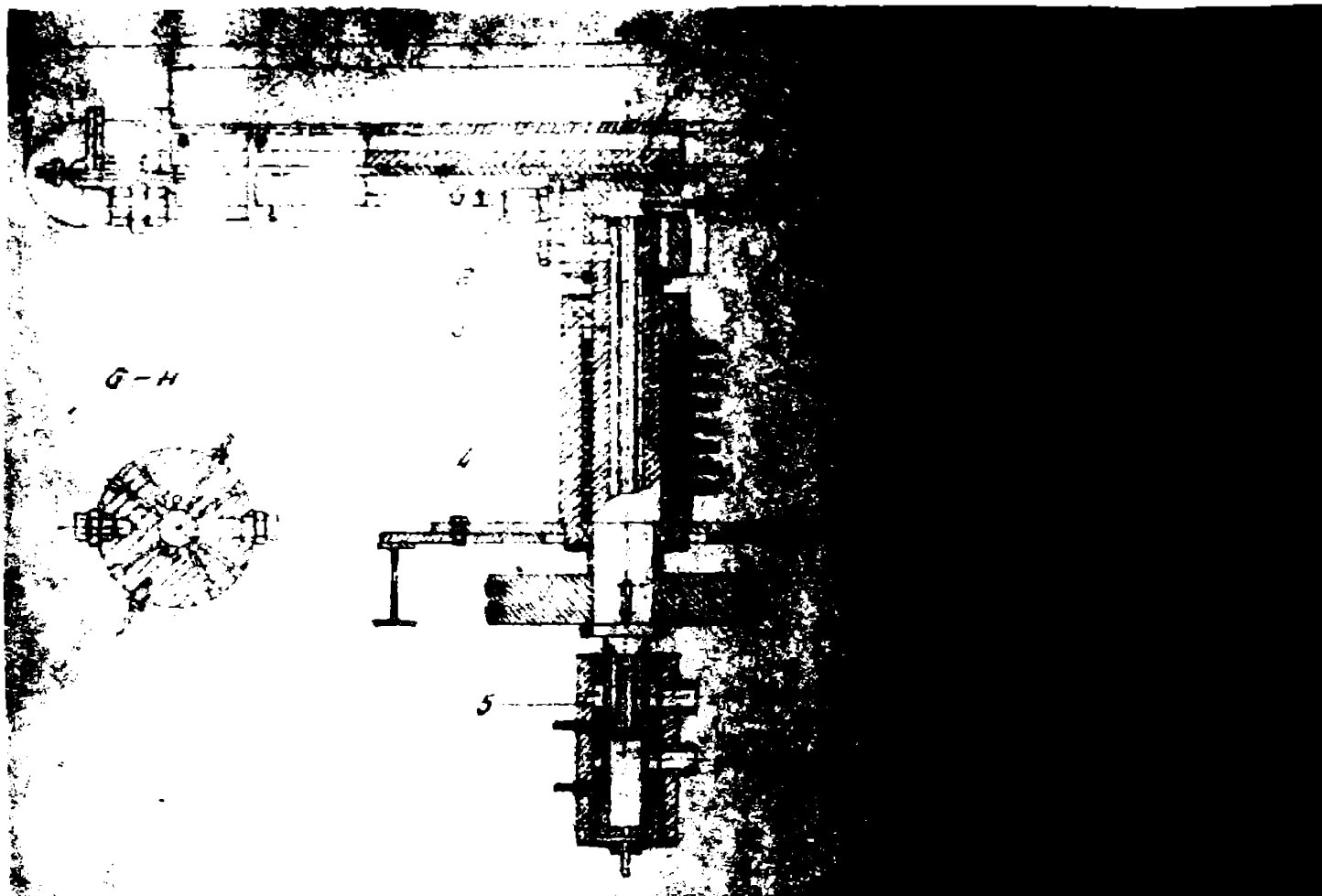


Fig. 4.8

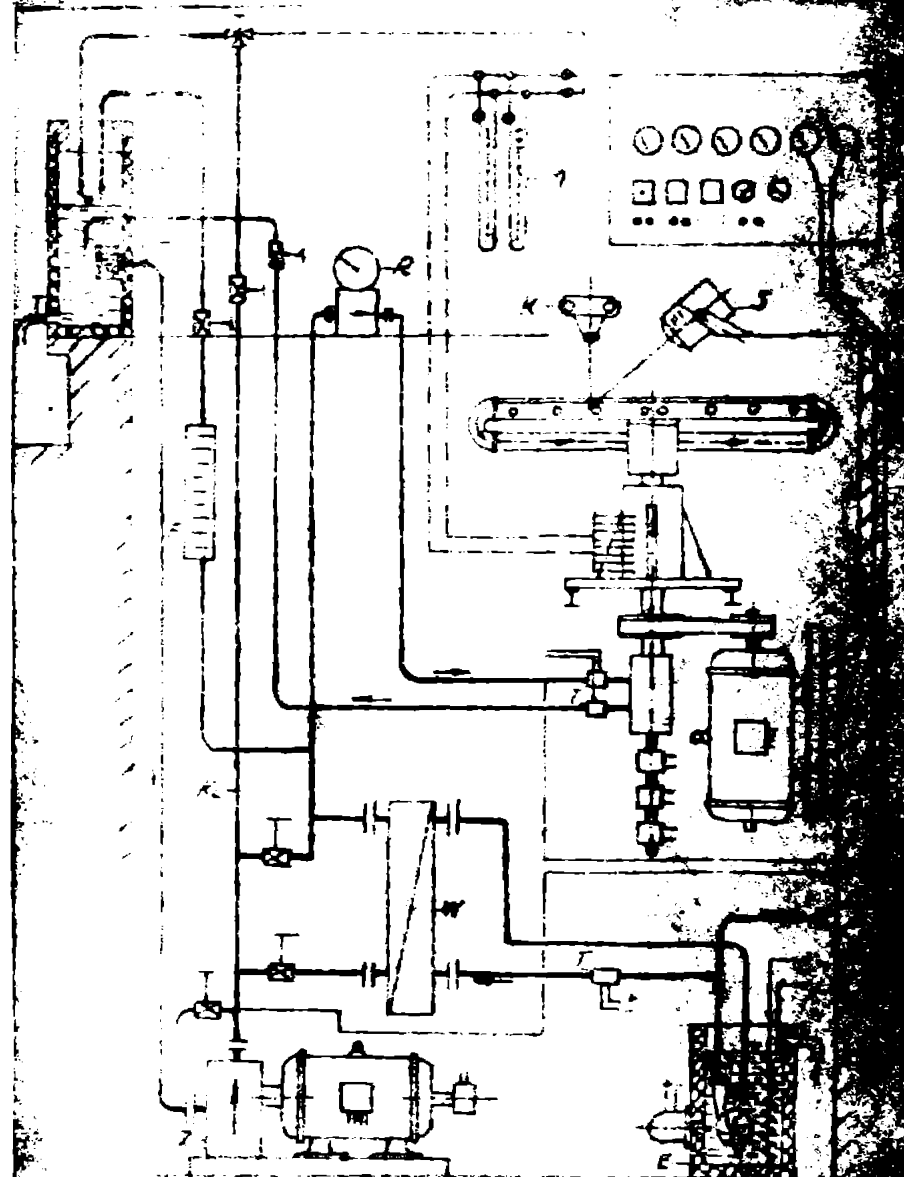


Fig. 4.9

- z - pompă volumică
- A - rezervor
- W - schimbător căldură
- R - debitmetru
- K - conductă
- F - filtru fin
- E - înălțitor de apă
- M - manometru
- T - traductor de temperatură
- L - camera foto
- S - lamă stroboscopică

zence, sînt oferite distribuțiile de viteză, inclusiv legătura între curgerea secundară și rotație, fig. 4.6, precum și visualizări cu vopsea, fig. 4.7. Stațiunea experimentală a lui Dobner conține un tronson de conductă orizontală rotitoare, cu o lungime de măsură de 1280 mm avînd secțiunea transversală de formă patrată cu dimensiunile 20 x 20 mm, amplasarea, dimensiunile și forma conductei fiind condiționate de dificultățile ce apar în cazul unor măsurări în instalații rotitoare. Spre deosebire de Seelig și Kisbocskoi, care au folosit ca lichid de lucru apa, Dobner utilizează uleiul, avînd posibilitatea prin modificarea temperaturii acestuia să varieze vîscozitatea și deci regiunile de curgere. Viteza canalului s-a modificat între valorile: 50-700 rot./min., iar $Re=30-40.000$, fig. 4.8

4.9 Alterarea distribuției de viteză datorită rotației este măsurată în paralel aproape cu Dobner de către Fette, fig. 4.10 și prelucrată de Junglaus /82/.

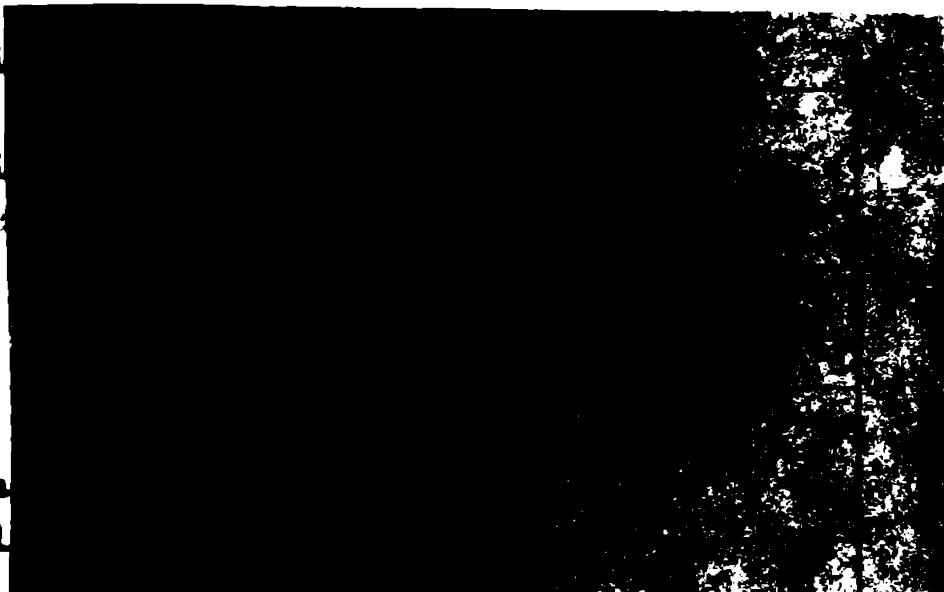


Fig. 4.10

În anul 1965, Benton și Beyer, /18/, efectuează cercetări teoretice și experimentale asupra curgerii în conducte drepte rotitoare, cu particularitatea că numărul Strouhal are valori foarte mari, ceea ce simplifică mult calculul teoretic, dar îl

și limitează. Pentru

creșterea experimentală s-a folosit o masă rotitoare pe care s-a montat o conductă dreaptă, prin care circulă apă.

În mod similar, Fowler /14/ în 1968 studiază experimental câmpul hidrodinamic al curgerii în canale rotitoare în formă de difuzor, imaginînd o instalație în care experimentatorul se află în centrul de rotație. Lichidul de lucru este aerul, și instalația permite studiul curgerii în canal izolat și în canalul încadrat de alte canale adiacente, arătîndu-se deosebiri datorate unui aranjament tip rotor, față de canalul izolat. (fig. 4.11). Viteza folosită a avut valorile: 30-70 rot./min.

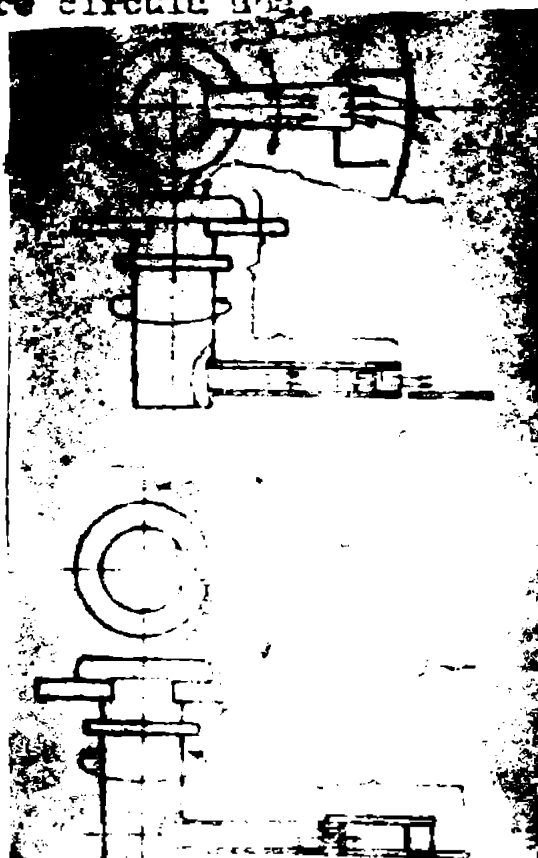


Fig. 4.11

În anul 1971, Herpfer /58/ expune în cadrul tezei de doctorat studiile teoretice și experimentale efectuate asupra curgerii turbulente în conducte drepte rotitoare, de secțiune circulară și eliptică. Rezultatele lui Herpfer se înscriu alături de cele ale lui Bohner, ca foarte valoroase, contribuind la elucidarea problemei pierderilor hidraulice în canale rotitoare.



Fig.4.12

Lichidul de lucru este aerul, axa de rotație a conductei drepte este orizontală (fig.4.12) valorile rotației sînt: 100-500 rot./min., $Re = 8 \cdot 10^4 - 2,5 \cdot 10^5$, iar lungimea conductei este de un metru. Herpfer a efectuat în special măsurători ale distribuțiilor de viteză, fig.4.13, 4.14, și de presiune, fig.4.15, obținînd și câteva valori ale coeficientului de pierdere.

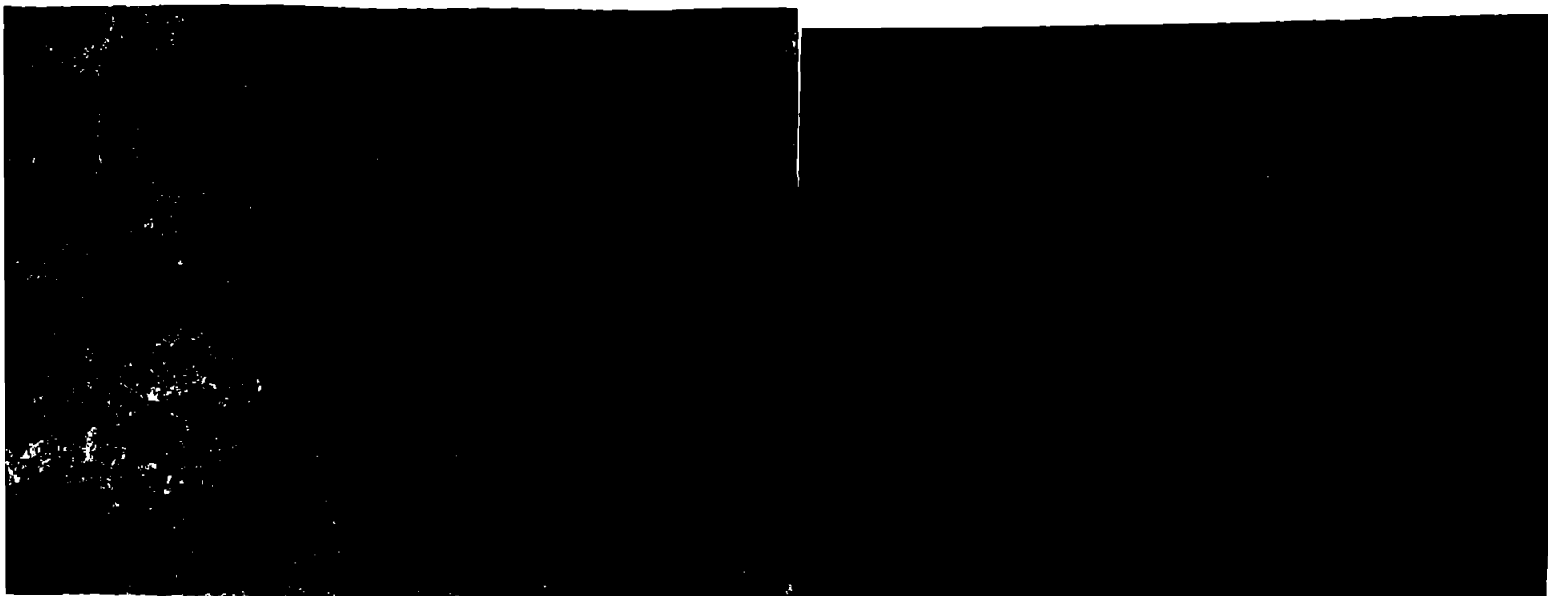


Fig.4.13

Fig.4.14

Problema pierderilor hidraulice în conducte drepte roti-

toare devine aproape complet lămurită din punct de vedere experimental în 1971, când Ito și Hanbu /72/, beneficiind de utilele studii, teoretice și experimentale efectuate de Ito anterior asupra curgerii în conducte curbate fixe, întreprind cercetări experimentale în cazul unei conducte drepte rotitoare.

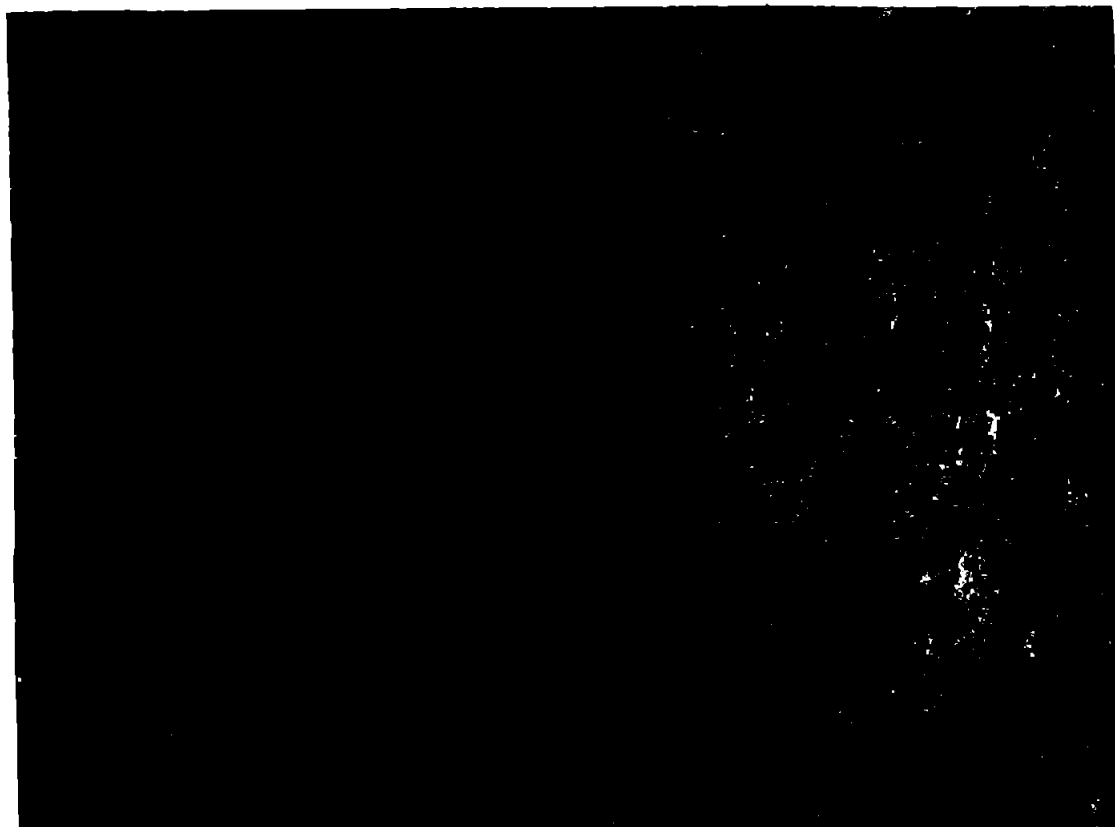


Fig.4.15

Ito și Hanbu oferă imaginea completă a influenței numerelor Re și $Strouhal$ asupra coeficientului de pierdere hidraulică, în conducte drepte rotitoare, pentru regim laminar și turbulent, bogăția de date experimentale, în expansiune cu sârcoia de rezultate obținute de Harpfer, pentru coeficientul de pierdere, datorându-se utilizării unui număr mare de conducte de diferite diametri și a apei ca lichid de lucru, s-au utilizat șapte conducte cu diametri variind între 0,5 și 13,9 mm și lungimi între 268 și 1225 mm, realizate din cupru, fără rugozitate, rotația lor fiind cuprinsă între 130 și 450 rot./min.; $Re = 100 - 60.000$.(fig.4.16)

Stațiunea experimentală se compune din: 1-intrare; 2-ghidaje; 3-ogăre; 4-intrare conductă; 5-manșon alamă; 6-conductă rotitoare; 7-ultimametră rotitor; 8-prize de măsură; 9-difuzor; 10-artere; 11-ieșire. Citirile s-au realizat stroboscopice.

Rezultatele experimentale ale lui Ito pentru curgerea laminară în conducte drepte rotitoare se prezintă exemplificativ în fig. 4.17, pe baza lor propunându-se o relație empirică de forma

$$\frac{f}{f_{st}} = 0,0883 K_L^{1/4} \left(1 + 11,2 K_L^{-0,325} \right) \text{ pentru } R_2/Re < 0,5, \quad R_2 = \frac{2(2R)^2}{D}$$

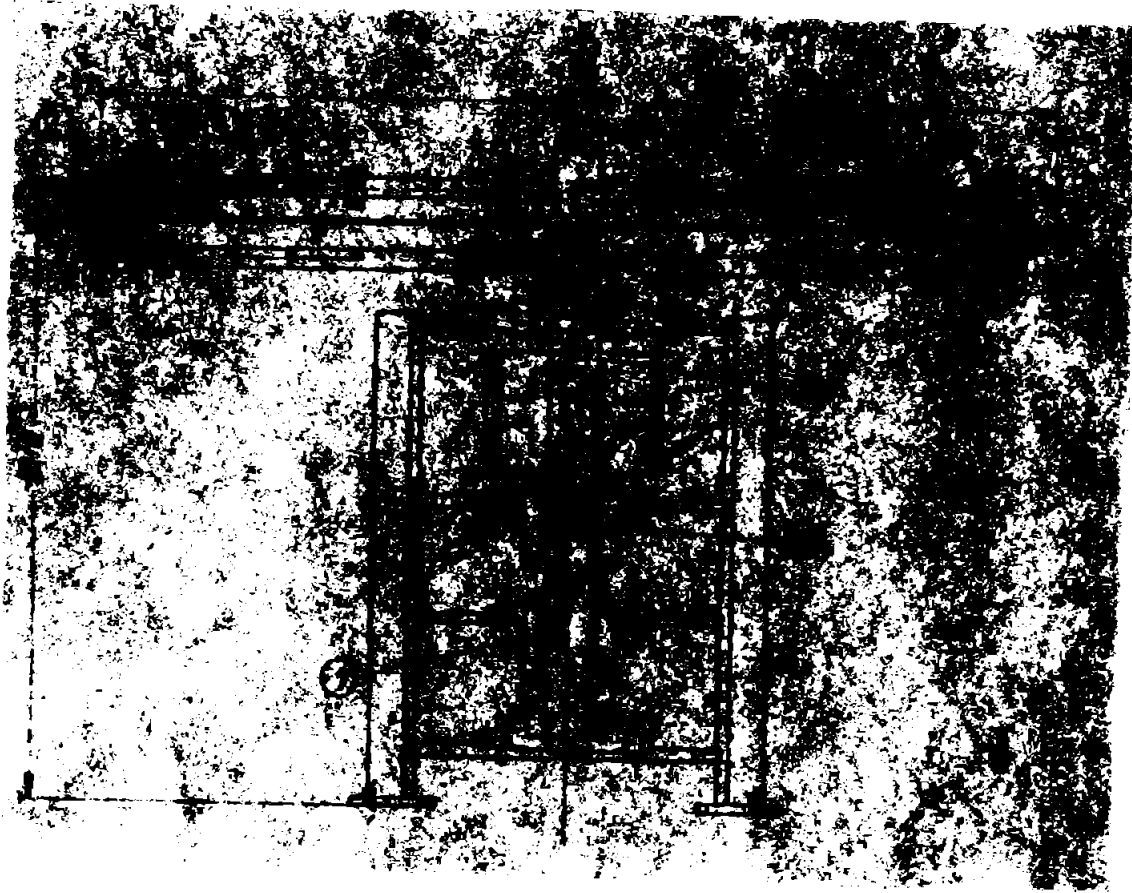


Fig. 4.16

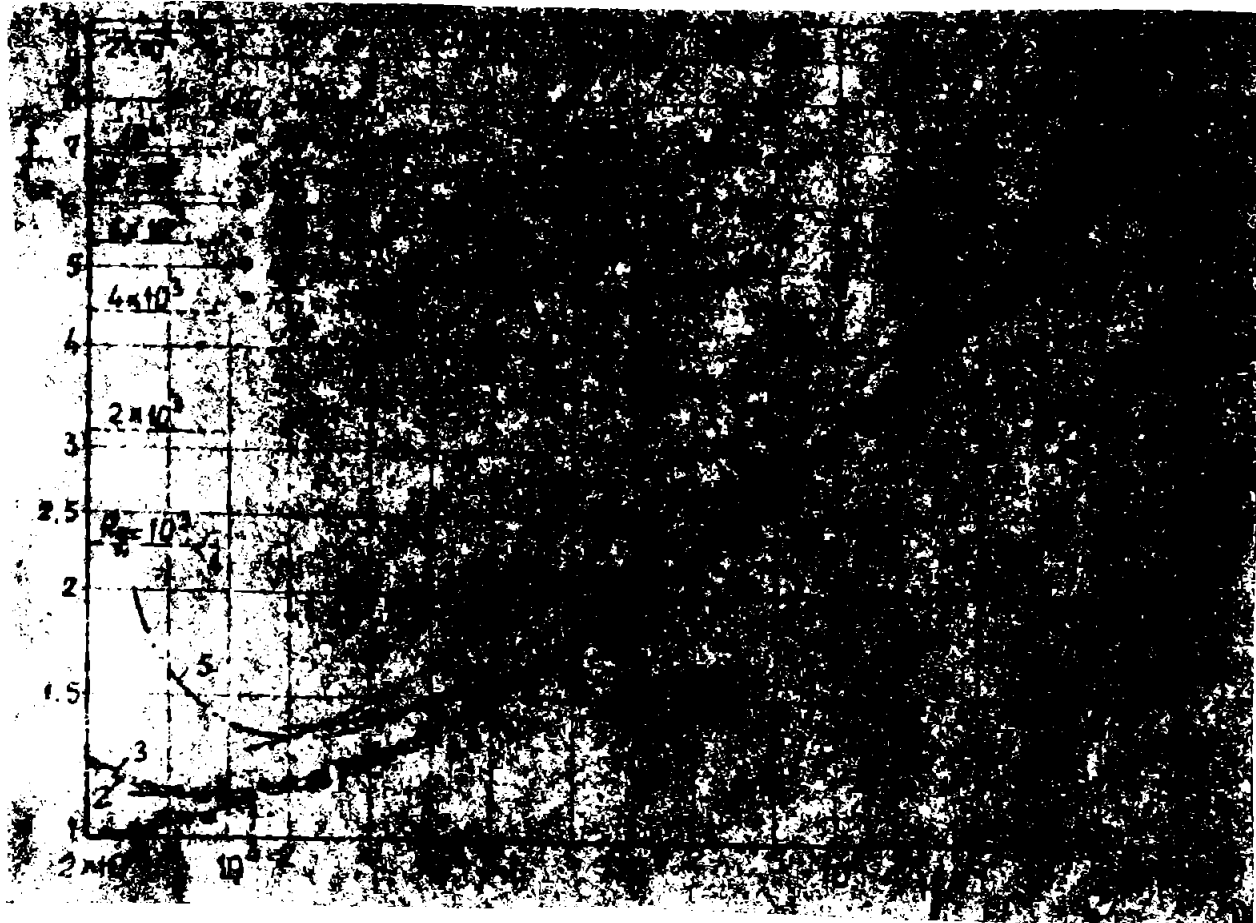


Fig. 4.17

unde f este coeficientul de pierdere pentru rotație, f_{st} coeficientul de pierdere pentru conducte fixe și $K_1 = R_1 / R_0$.

Pentru cazul curgerii turbulente pierderile apar ca în fig.4.18

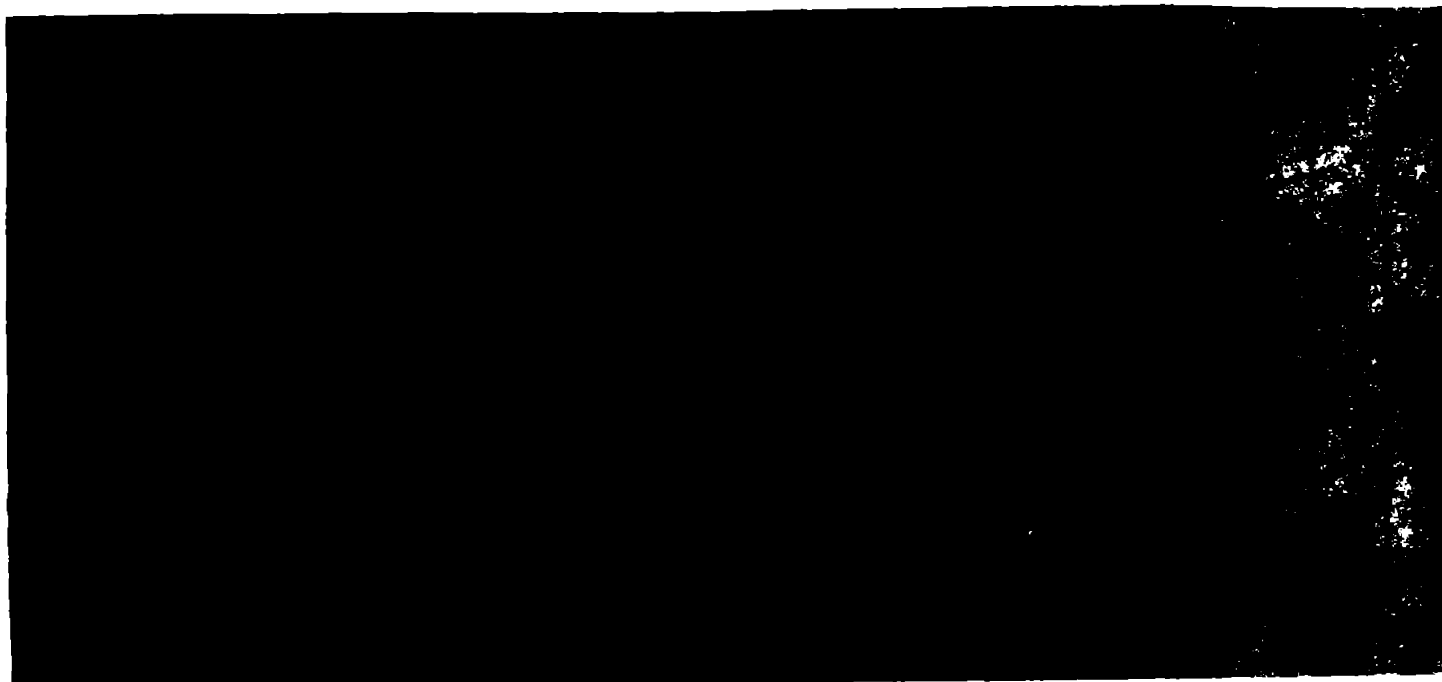


Fig.4.18

oglindite de formula empirică:

$$f / f_{st} = 0,942 + 0,058 K_1^{0,282} \quad , \quad K_1 = R_2^2 / R_0$$

Determinarea experimentală a distribuțiilor de presiuni, fig.4.19 (laminar) și fig.4.20 (turbulent) permite punerea în evidență a influenței mișcării secundare datorită rotației, presiunea mai mare apărând pe partea de viteză caxină (partea de suprapresiune)

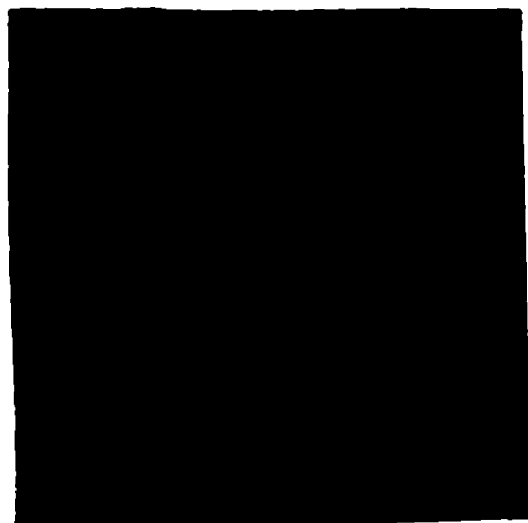


Fig.4.19

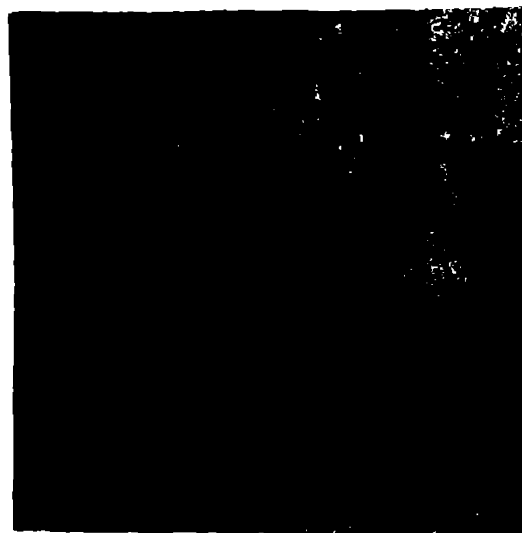


Fig.4.20

În 1971 cercetătorii sovietici elaborează un vast program experimental de studiu al efectului rotației asupra curgerii, mai ales turbulente, în conducte de diverse geometrii. Kvitzovski de pildă [17], studiază curgerea într-o conductă elicoidală retitocare, determinând pierderile hidraulice pe diferite sectoare ale elicoidului sub forma coeficientului ζ , care astfel definit depinde de lungimea sectorului și nu poate fi utilizat în calcule, fără

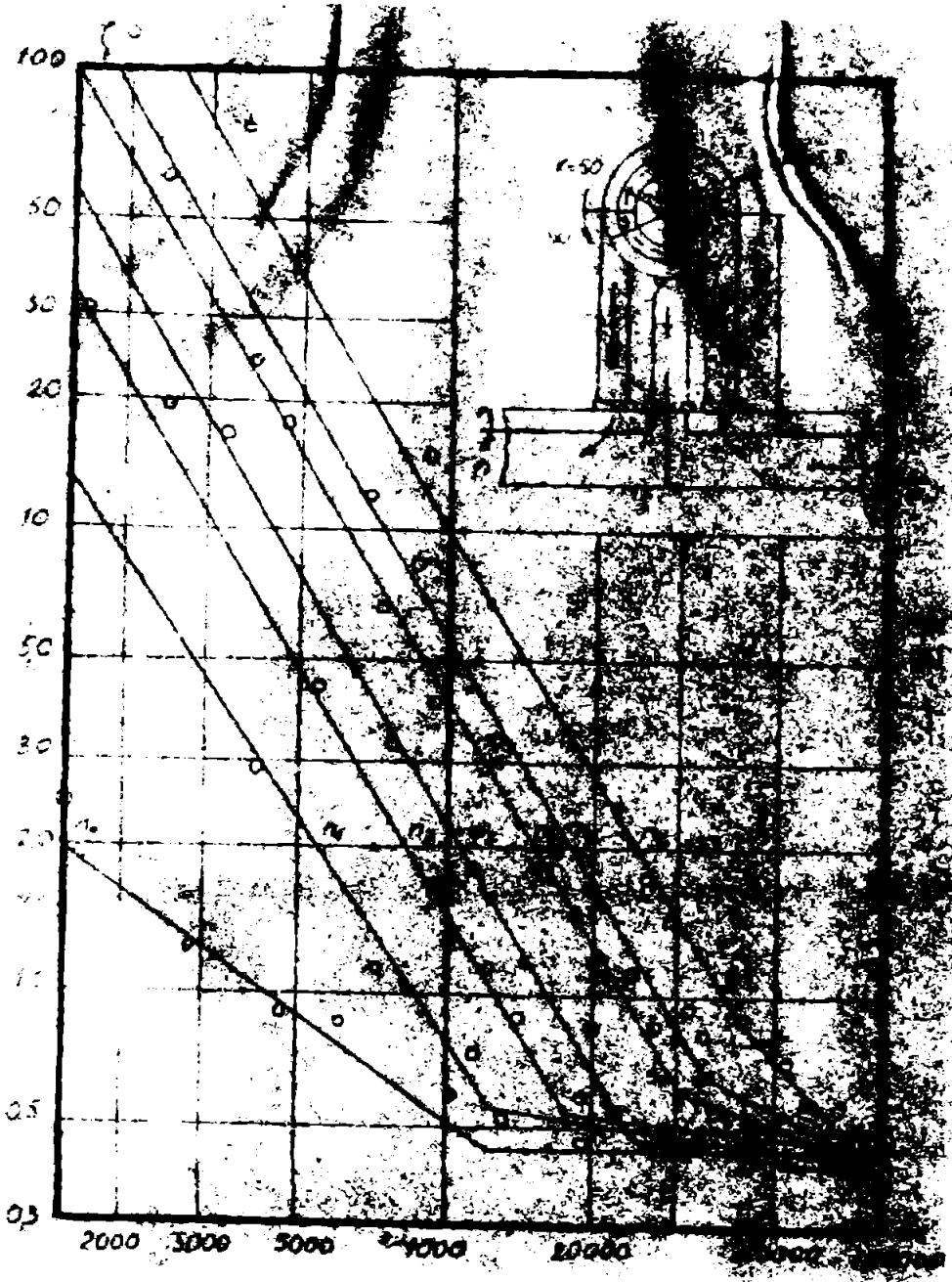


Fig. 4.21

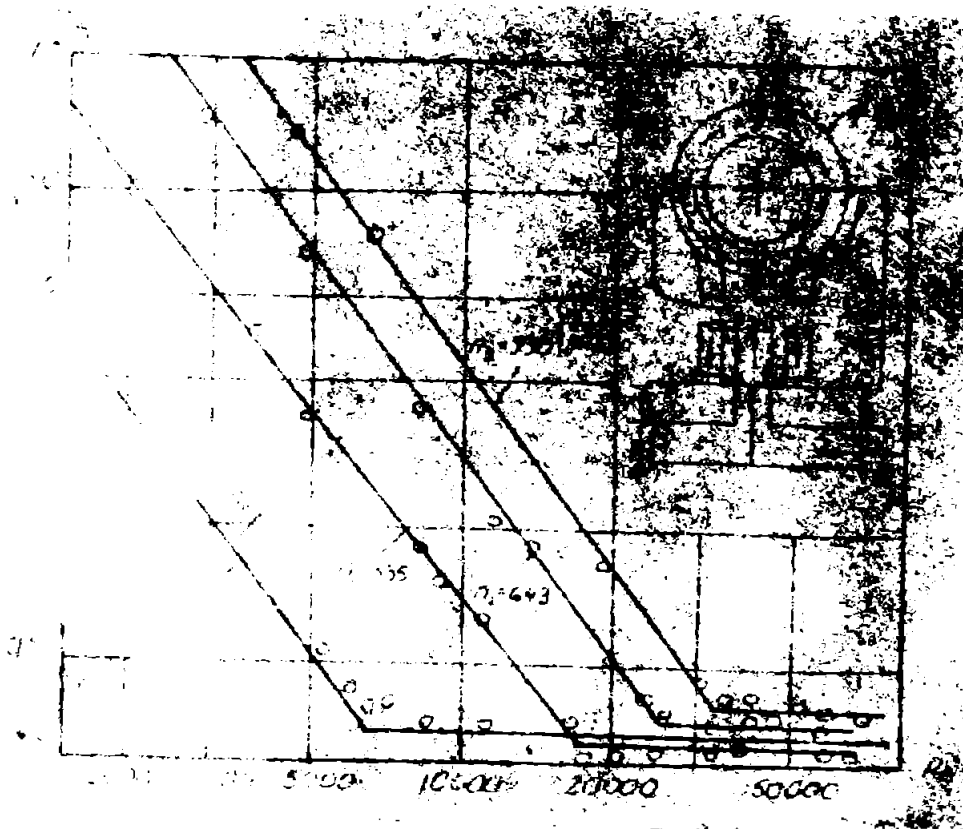


Fig. 4.22

a cunoaște geometria particulară a conductei experimentale; în plus curbura conductei este într-un plan perpendicular pe planul de rotație, ceea ce nu corespunde cazului paletelor turboașiniilor. În fig. 4.21, 4.22, 4.23, se prezintă pentru diverse secțiuni ale eliciei variația lui $\zeta = f(Re)$, remarcându-se creșterea pierderilor cu turația; pentru a înlătura dezavantajul utilizării lui



Fig. 4.23

s-a introdus empiric coeficientul de pierdere λ , prin relația:

$\lambda = a K_v^m$, unde $K_v = U/V$ este numărul Strouhal, iar a este o constantă empirică având valori cuprinse între 0,00093 și 0,00276 în timp ce m variază între 1,56 și 1,75.

C altă instalație experimentală a lui Kvitzovski se prezintă în fig. 4.24, la care s-a studiat influența vâscozității asupra curgerii printr-o conductă axială, fig. 4.25, 4.26. (problemă studiată mai recent în /113/).

Mult mai interesante din punctul nostru de vedere sînt încredințele făcute de Kvitzovski pe o conductă rotitoare radială, punându-se în evidență atât curgera centrifugă, cât și cea centripetă, felul curgerii influențînd pierderile hidraulice, fig. 4.27. Dîndu-și seama că pierderile nu pot fi separate artificial,

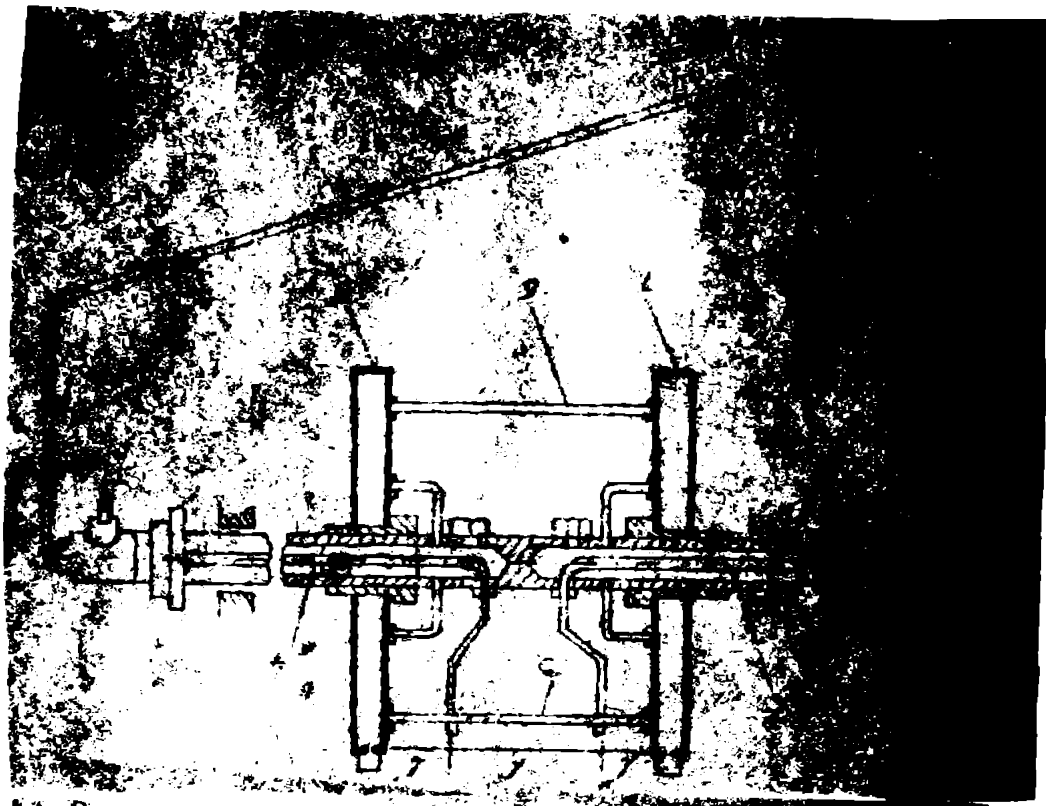


Fig. 4.24

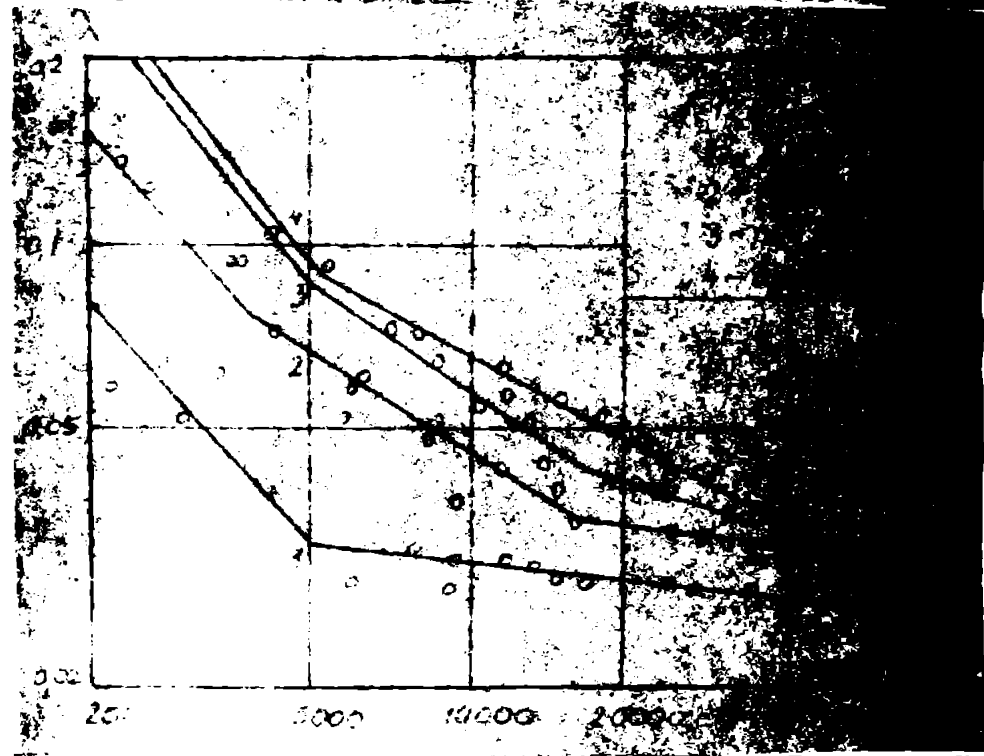


Fig. 4.25

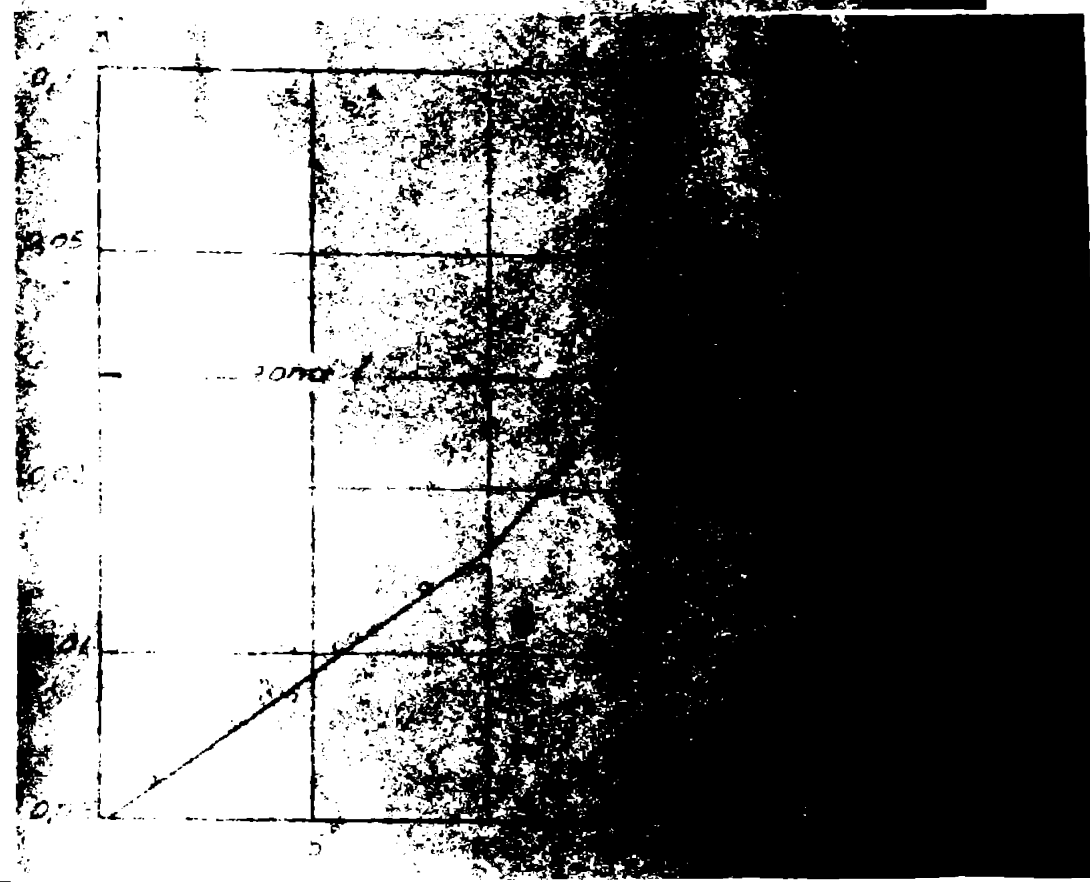
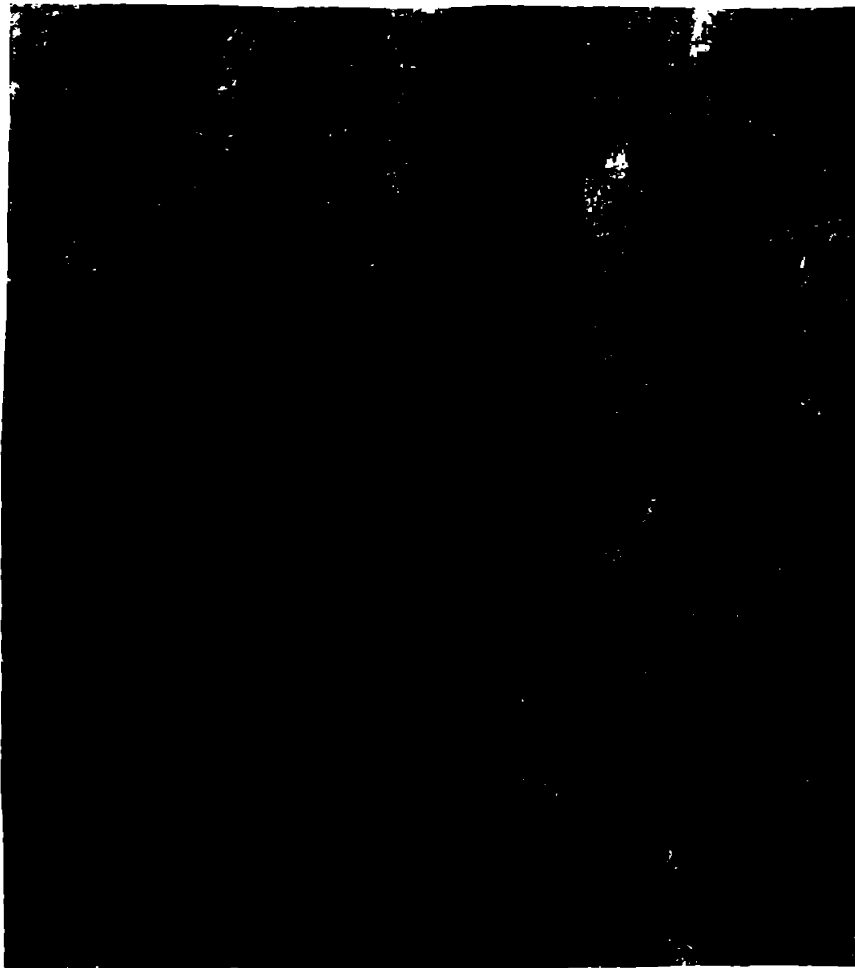


Fig. 4.26

Fig.4.27



Evičkovski determină experimental un coeficient de pierdere ce cuprinde curgerea axială, în cot și radială, toate influențate de rotație și mișcarea deconfigurându-se atât centripet, cât și centrifug, fig.4.28, 4.29. În plus se mai determină și creșterea pierderilor sub influența rotației, în cazul schimbării bruste de secțiune fig.4.30.



Fig.4.28

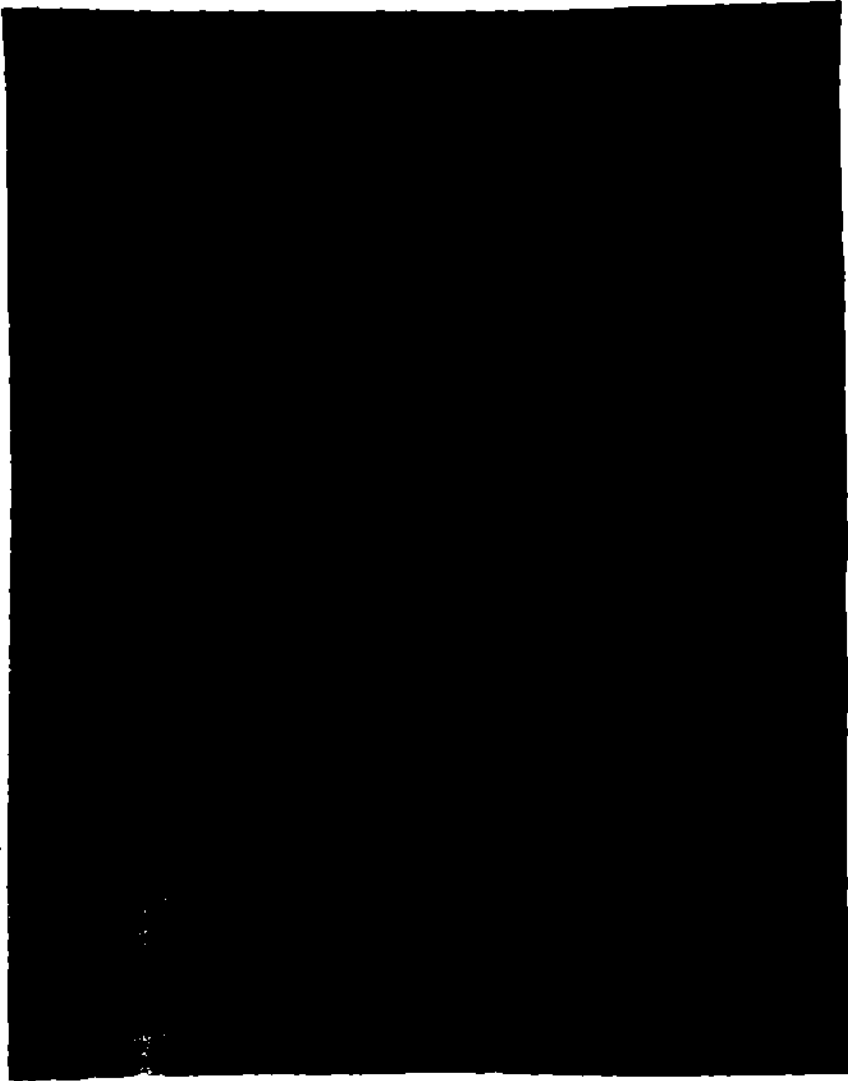


Fig. 4.29

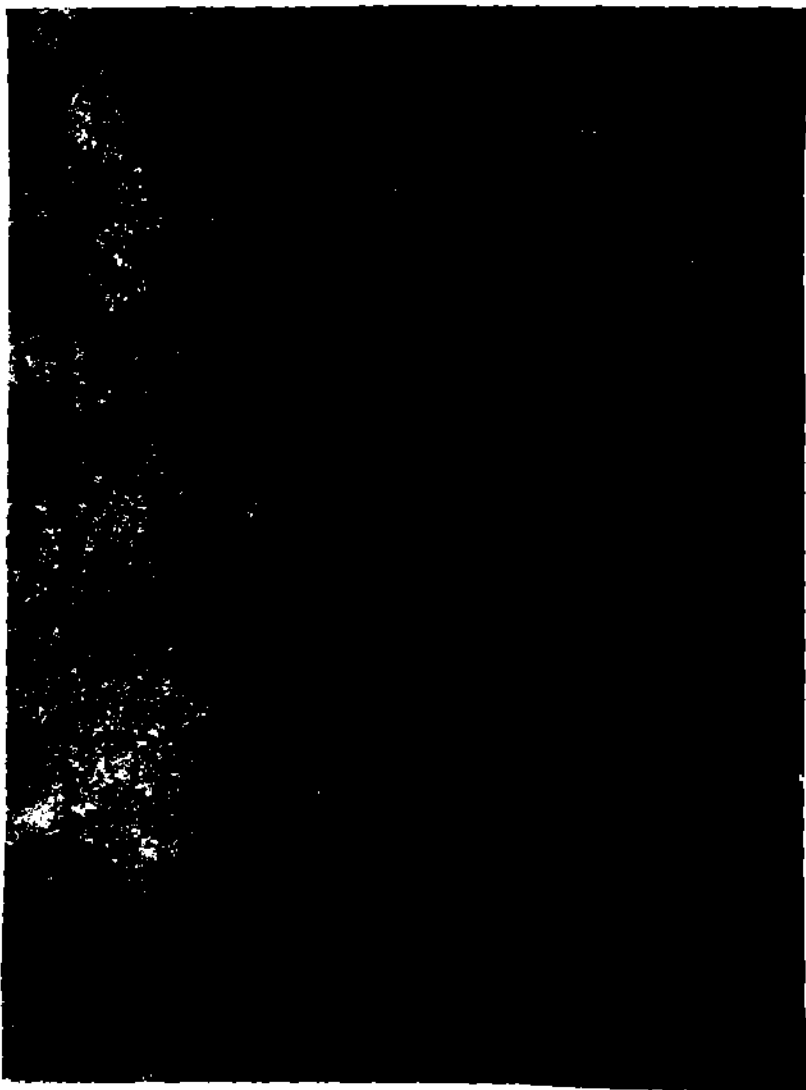


Fig. 4.30

In 1972, J.P. Johnston /76/ studiază efectele stabilizatoare ale rotației asupra surgerii turbulente pe o stațiune experimentală cuprinzând un canal dreptunghiular și funcționând ca apă, la turanții mici, sub 20 rot./min. (fig.4.31); în fig.4.32, 4.33, 4.34, se prezintă influența rotației asupra coeficientului de frecare, în comparație cu efectul de stabilizare.

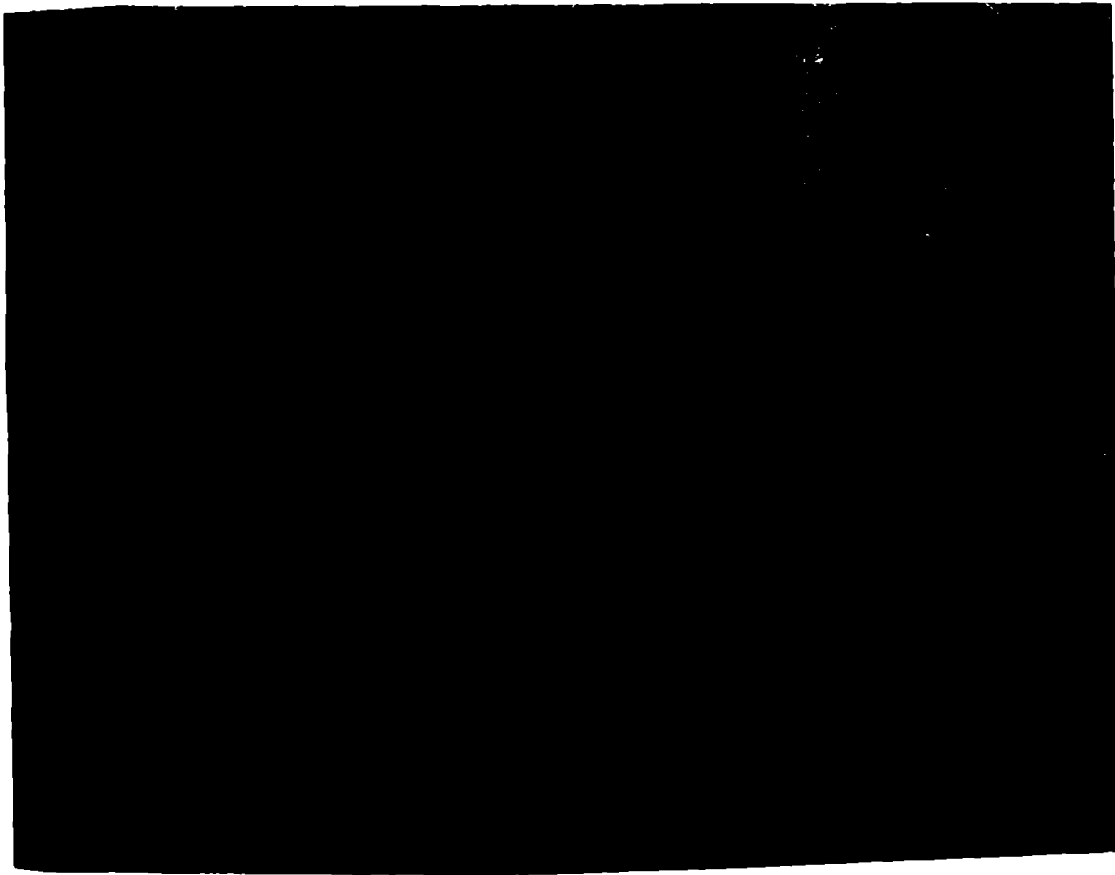


Fig.4.31



Fig.4.32



Fig.4.33

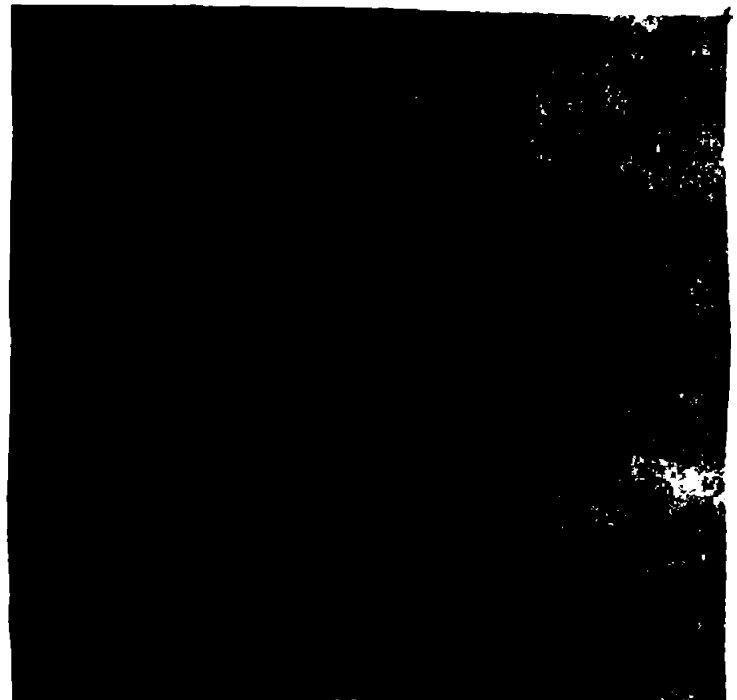


Fig.4.34

In 1973 J. Moore /109/ studiază experimental curgerea într-un canal drept difuzor radial, rotitor, cu fluid de lucru aer.

In 1975, Elking /37/ cercetează experimental curgerea turbulenta lentă într-un canal rotorilor interpalstar izolat, fig. 4.35, fluidul

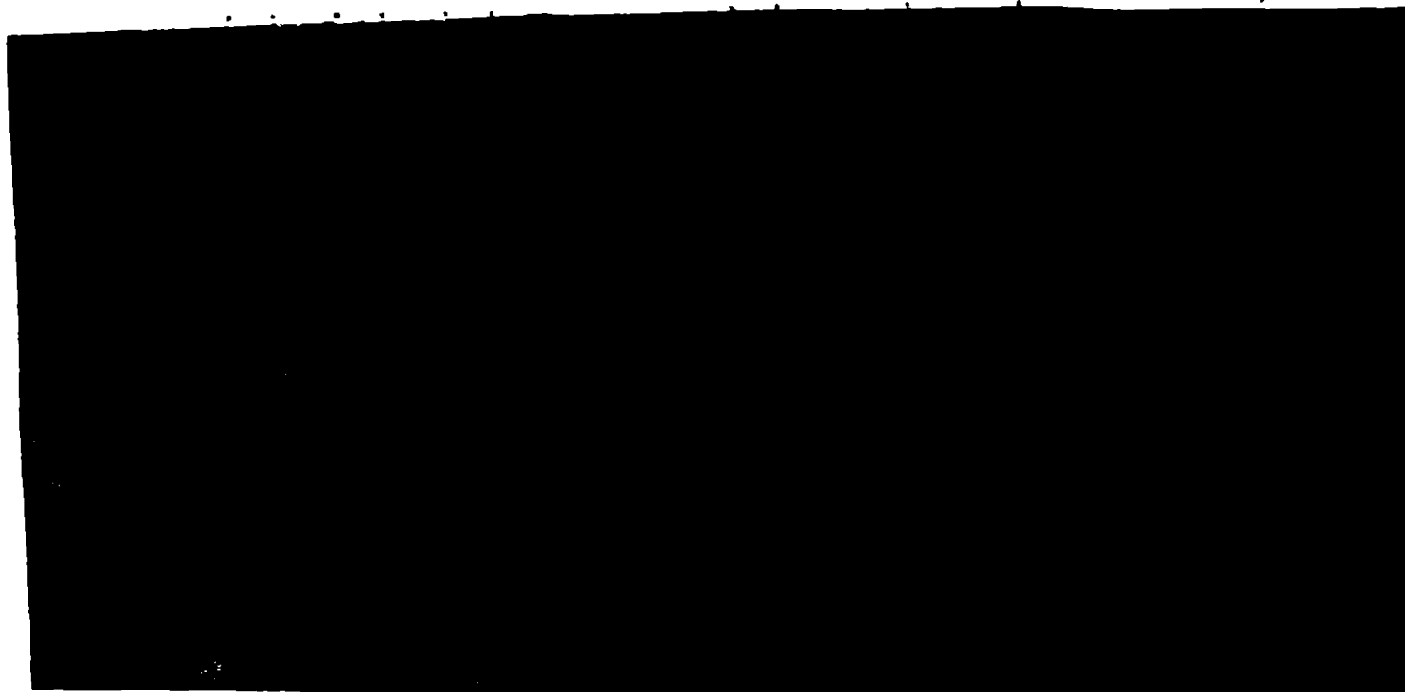


Fig. 4.35

de lucru fiind aerul, canalul în spirală logaritmică rotindu-se cu viteză constantă de 450 rot./min. și $Re = 1,26 \cdot 10^6$. Stațiunea conține: un traductor de viteză (3), două plane de centrare (4), (13), arborele (6), motorul de antrenare (14), tachimetrul (15), traductor de impulsuri pentru stroboscop (5), cameră de liniștire (9), diafragma (10), ajutorul (11). Se obțin în final distribuțiile de viteză, fig. 4.36, 4.37, 4.38, 4.39.

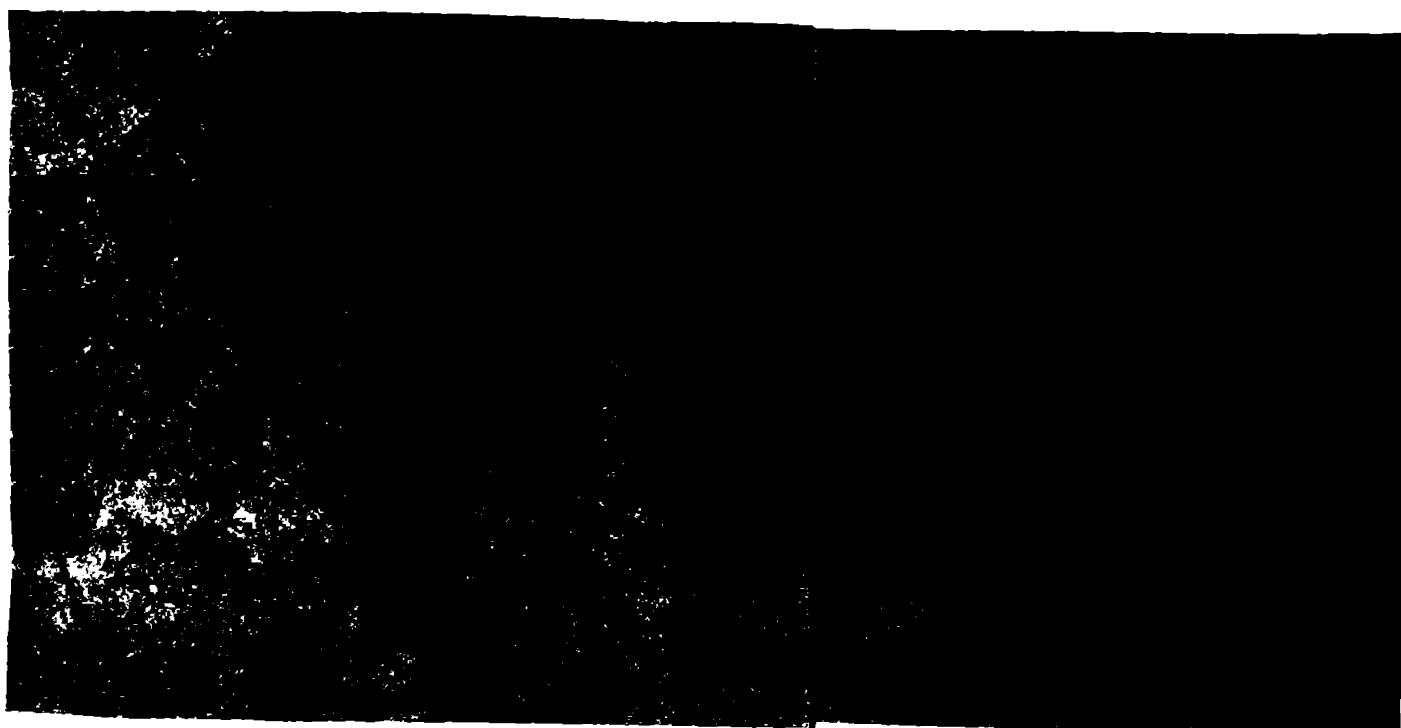


Fig. 4.36

Fig. 4.37

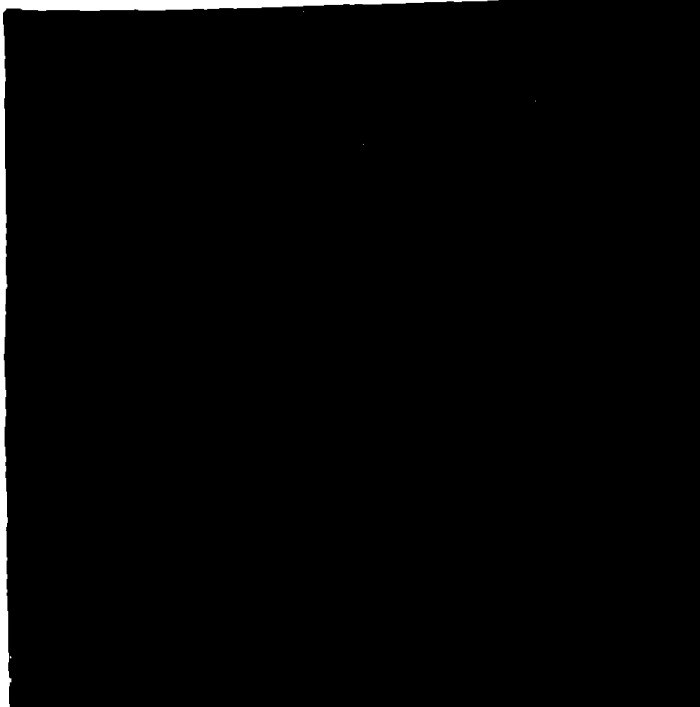


Fig.4.38

Fig.4.39

Datele experimentale obținute nu lămuresc însă care este ponderea curburii, rotației și a difuzorului asupra curgerii hidrodinamice, Elbing considerând că efectele rotației sînt hotărîtoare, stabilindu-se după criteriul lui Heringmeister ponderea mișcării secundare:

Secțiunea	J ₁	J ₂	J ₃	J ₄	J ₅	J ₆
$2qR_c/\sqrt{v_y}$	2,1	2,8	4,0	5,1	6,4	7,4

rezultate asemănătoare cu cele obținute de Hellmann /57/, fig. 4.40, $Re > 2$ indicînd dominarea rotației.

Hellmann, tot în 1975, studiază mișcarea secundară într-un canal paletar rotitor și curbat, pentru o mașină radială, fig.4.41, în cazul regimului turbulent, componentele mișcării turbulente determinate fiind utile la simplificarea ecuațiilor Reynolds (vezi 3.1.3.)

fig.4.42, 4.43, 4.44.

Mai recent, Autenauer și Plesche,

/39/, rezolvă problema pierderilor hidraulice determinîndu-l experimental într-o conductă elicoidală, de lungime mare, fig.4.45. Apă este circulată dintr-un rezervor a captare și de către o pompă centrifugă b, debitul modificîndu-se cu ajutorul vanii c și al unei by-pass-ape trecînd prin conducta elicoidală rotitoare e considerată neted hidraulică.



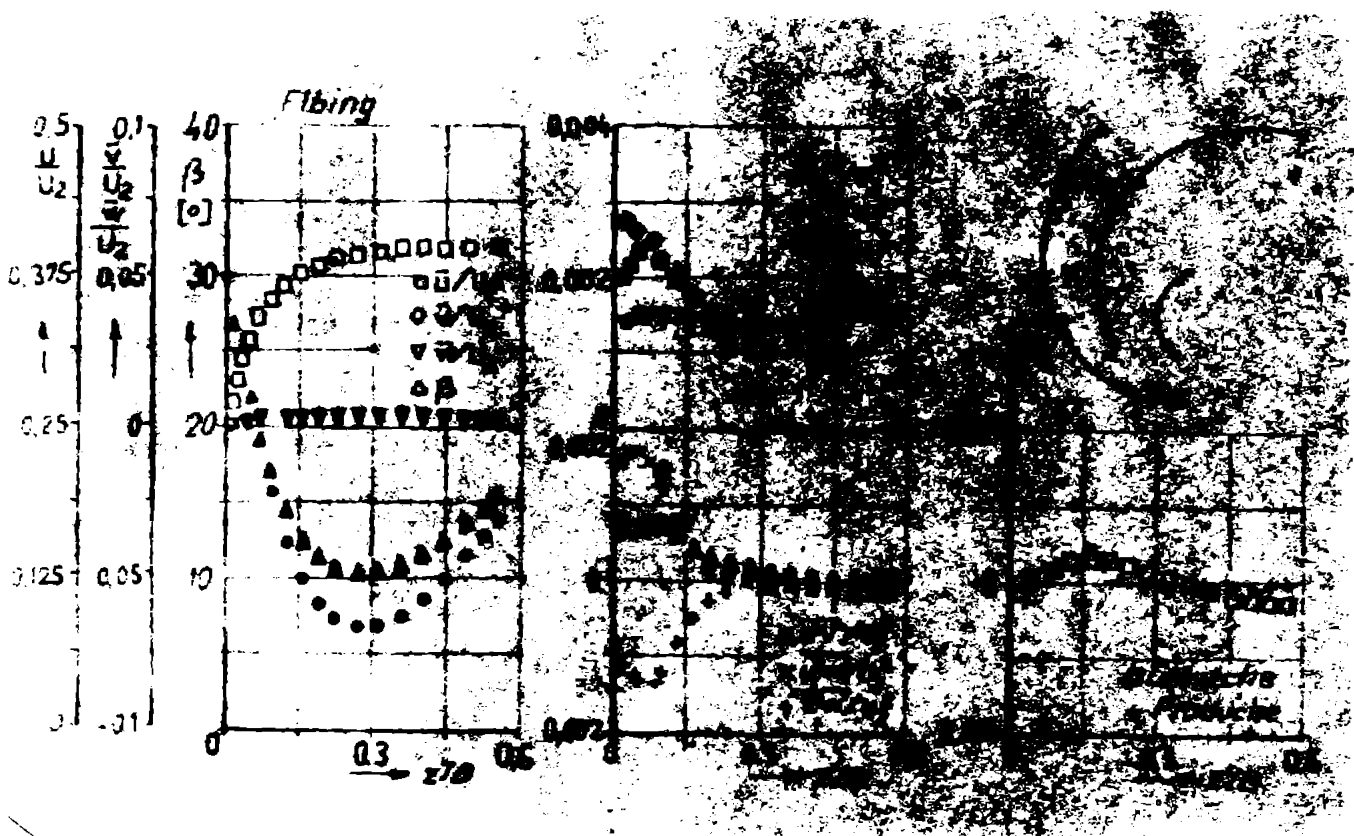


Fig. 4.41

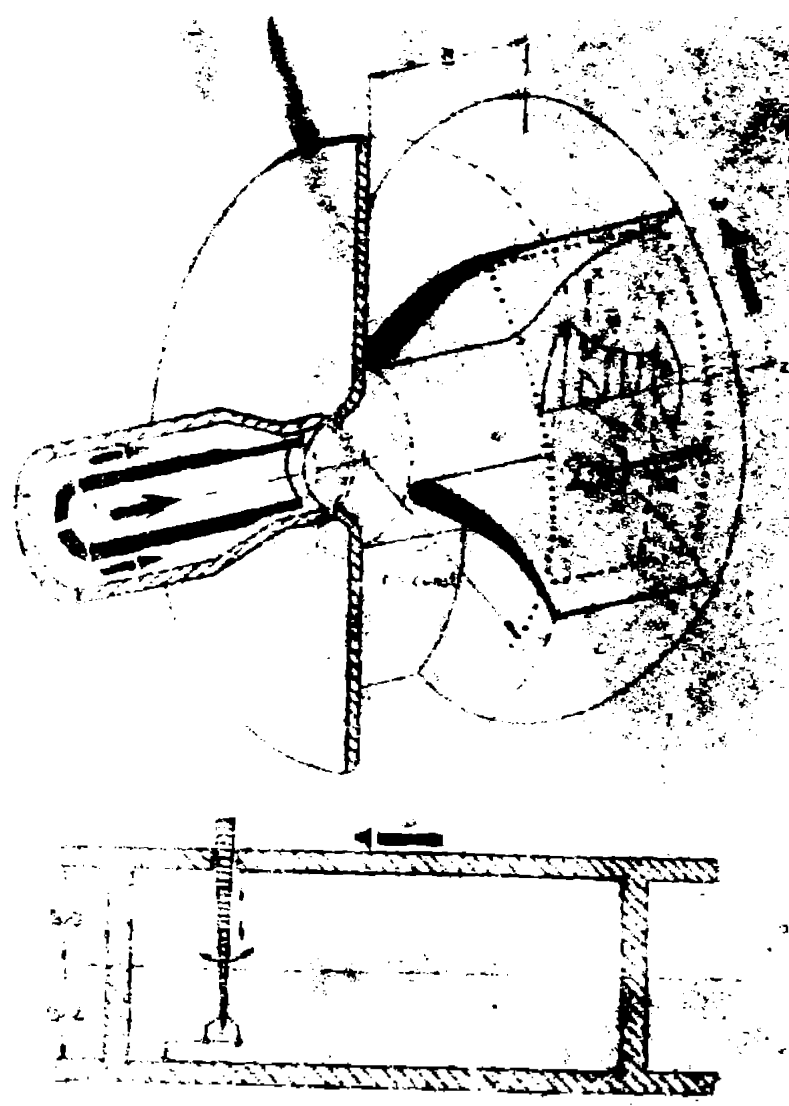


Fig. 4.42

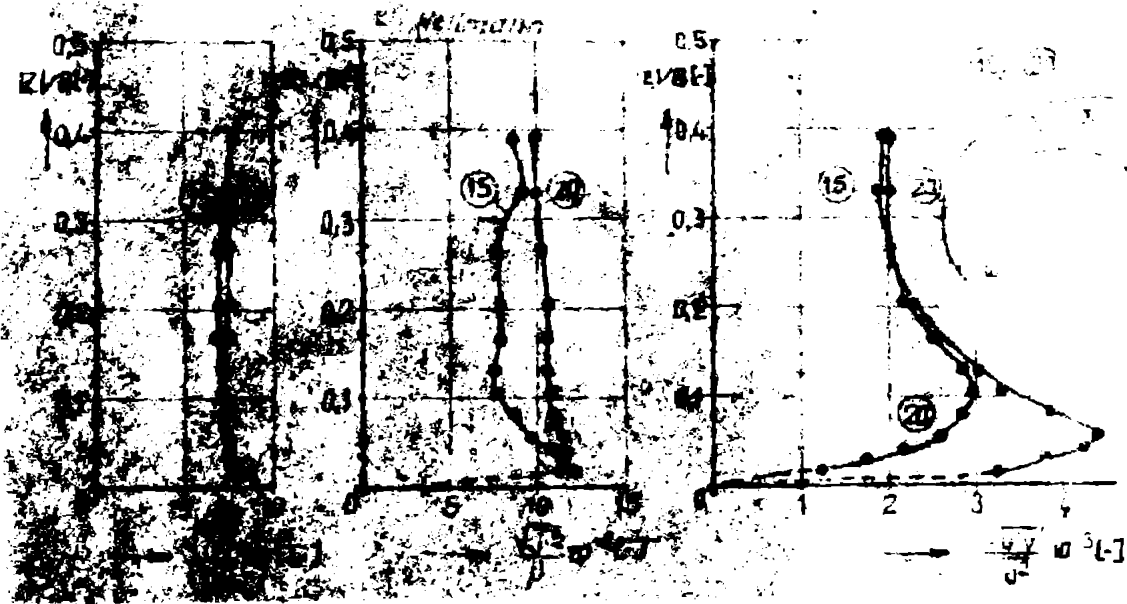


Fig. 4.43

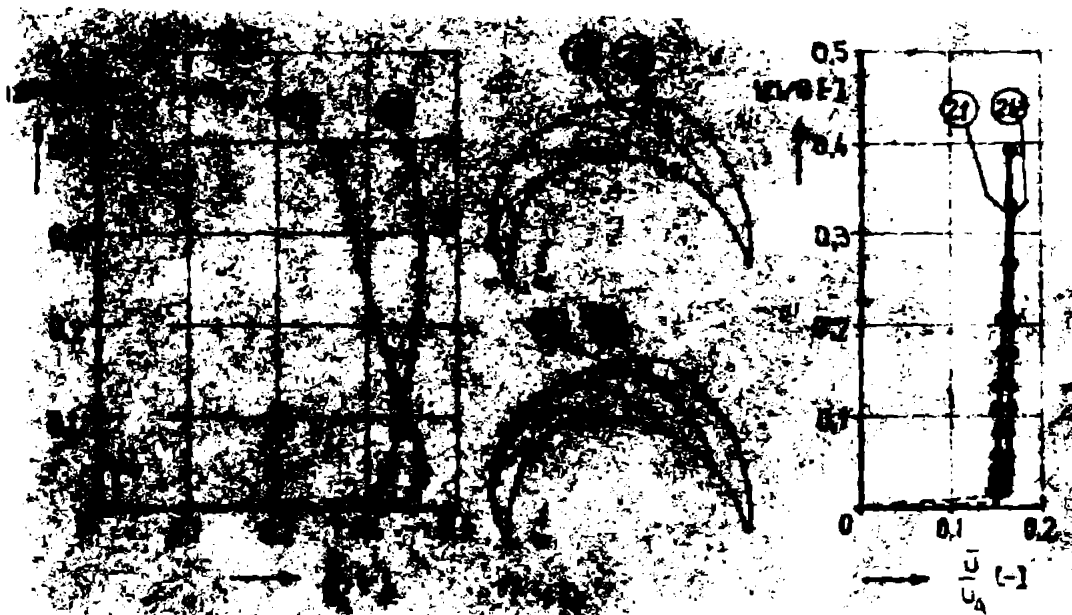


Fig. 4.44

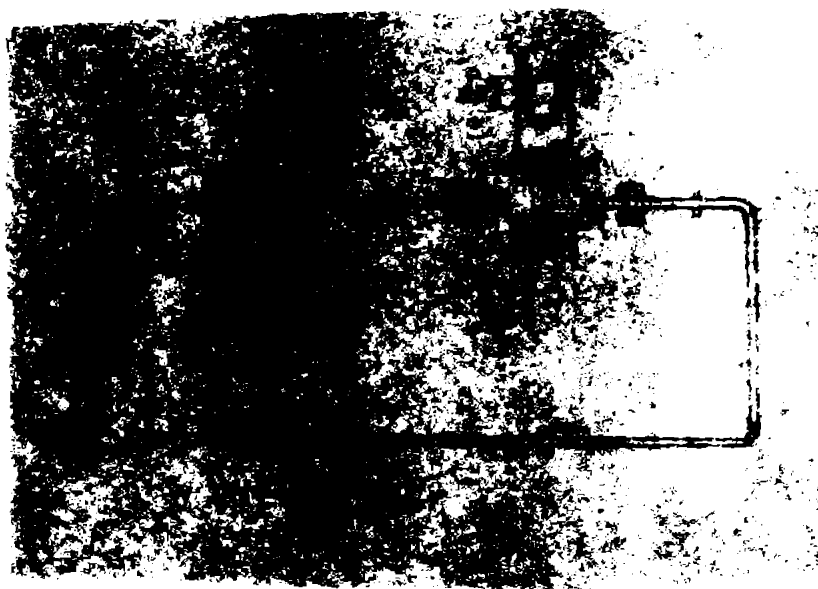


Fig. 4.45

Poarte recent (1984) Hoover și al. /60/, studiază experimental curgera laminară într-un canal dreptunghiular spiralat rotitor, cu axa verticală, modelând curgera în centrifuga de aerosal. Autorii ignoră din păcate datele utile din literatură, cunoștințase pare doar pe cele din anii 1951-1955, ceea ce împiedică evident cercetării efectuate.

Oricum, trecerea în revistă a stadiilor experimentale pe plan mondial, în lucrarea de față, dovedește concludent deosebită importanță și atenția specială acordată problemei curgerii în conducte rotitoare, soluționarea și reprezentind fără îndoială un ajutor însemnat pentru domeniul maginilor hidroalice și al hidroalicii în general. De asemenea se pune în evidență dificultatea deosebită întâmpinată în cercetările experimentale, fapt pentru care, deobicei, conductele studiate sînt drepte și de secțiune constantă.

Analizînd cu mare atenție rezultatele experimentale din literatură, lucrarea de față și-a propus să se apropie mai mult de fenomenul real din turbomașini, modelînd conducta în acest scop, luînd în considerare atât efectele rotației, cit și ale curburii și difuzorului, verificînd astfel și completînd cadrul teoretic elaborat.

4.2. Stațiunea experimentală IAFR.

Proiectarea unei stațiuni experimentale pentru studiul curgerii în conducte rotitoare curbate, presupune elaborarea unei instalații care să răspundă cerințelor impuse de strategia experimentului, adică ea trebuie să fie capabilă să asigure realizarea valorilor necesare pentru criteriile Reynolds și Strouhal, și în același timp să permită măsurarea cu precizie cerută a presiunilor utilizate la calculul coeficientului de pierdere hidraulică. După un studiu în amănunt al tuturor condițiilor cerute de experiment (gama valorilor lui Re, S, diferențelor de presiune, lungime de stabilizare, diametrul optic al conductei, etc.), inclusiv dificila problemă a măsurării în rotor neinerțial, s-a proiectat o stațiune unitară multifuncțională, utilizînd ca fluid de lucru aerul și fiind capabilă să accepte diverse modele de conducte cum canale rotitoare, apropiate de canalele interpolare rotorice ale maginilor hidroalice radiale și radial-axiale.

O astfel de conductă rotitoare, model fizic al canalului rotoric interpaletar, fig. 4.46, se caracterizează prin originea reperului neinertial O' , O centrul de curbură, R_c raza de curbură, excentri-

Fig. 4.46



citatea $O'O, D=2R$ diametrul conductei, L lungimea zonei de lucru, Z_1 și Z_2 razele de poziție ale zonei de lucru.

Pentru această conductă diferența de presiune ce apare între secțiunile marcate de Z_1 și Z_2 se calculează cu relația:

$$\Delta p = \lambda \frac{L}{D} \rho \frac{v^2}{2} - \frac{\rho}{2} q^2 (z_2^2 - z_1^2) \quad (4.1)$$

căci, în reperul neinertial, fig. 4.47:

$$\frac{1}{\rho} \nabla' p'_M = \frac{1}{\rho} \nabla' p' - \bar{Q}^T \bar{f} + [\bar{q}' \cdot (\bar{z}' - \bar{c}')] \bar{q}' - \bar{q}'^2 (\bar{z}' - \bar{c}') \quad (4.2)$$

și atunci, deoarece $\nabla' = \frac{\partial}{\partial \bar{z}'}$ și $\bar{Q}^T \bar{f} = -\nabla' \Omega$ rezultă:

$$\nabla' p'_M = \nabla' p' + \rho \nabla' \Omega - \rho q'^2 (\bar{z}' - \bar{c}') \quad (4.3)$$

și integrând:

$$p'_M = p' + \rho \Omega - \rho/2 q'^2 (\bar{z}' - \bar{c}')^2 \quad (4.4)$$

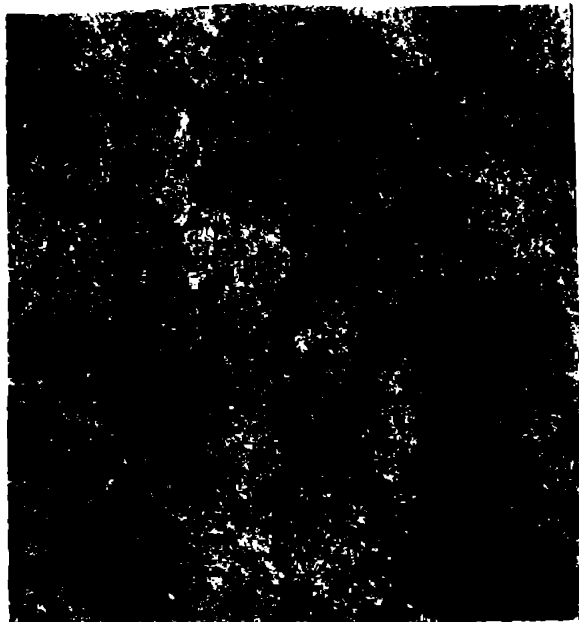


Fig. 4.47

$$\text{dar, } q'^2(\bar{z}' - \bar{c}') = q'^2(\bar{Q}^T \cdot \bar{z})$$

iar fluidul de lucru fiind aerul, termenul $\rho \Omega$ se poate neglija și atunci:

$$p_m = p - \frac{\rho}{2} q'^2 z'^2$$

Se remarcă imediat că diferența de presiune (4.1), poate avea valori pozitive sau negative în funcție de aportul forțelor centrifuge pe de o parte și în funcție de regimul de

surgere pe de altă parte, ceea ce face să apară tendințe contradictorii greu de conciliat și de care s-a ținut seama la proiectarea stațiunii experimentale.

Schematic, stațiunea experimentală utilizată la determinarea pierderilor hidraulice în conducte și canale rotitoare curbate, se prezintă ca în fig. 4.48, foto 1.

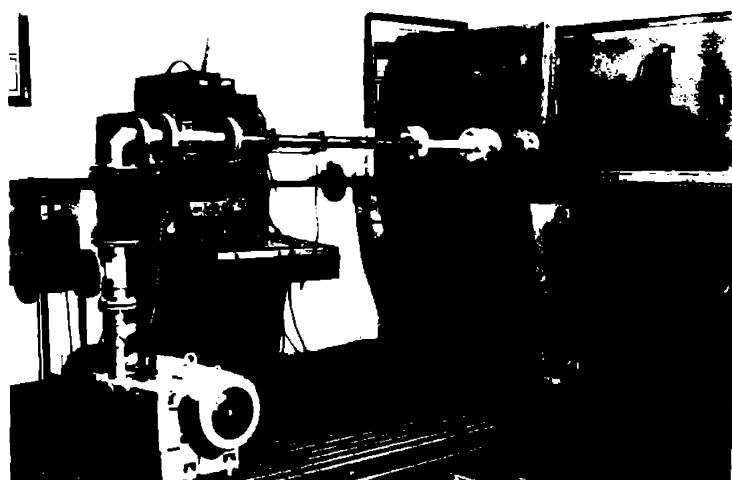


Foto 1.

Filtrale de ulei să nu fie necesare. De asemenea compresorul

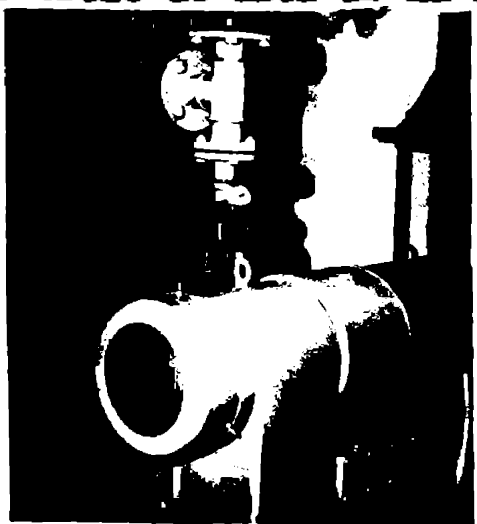


Foto 2

Fluidul de lucru fiind aerul, pe planșoul (1) s-a montat un compresor (2) de tip KMT 140, Becker, foto 2, acestafiind un compresor volumic multiceular avind un rotor cu palete glisante fabricate din grafit special, fără e necesitate ungere cu ulei și dese, prezentind avantajul că vehiculează aer fără vapori de ulei, ceea ce face ca

KMT 140 transportă aerul fără pușcații, în mod continuu, ne avind nevoie de ventile sensibile la defecte sau de rezervare. Debitul maxim dat de compresor este de $140 \text{ m}_3/\text{h}$, puterea motorului este 7,5CP, turația normală de 1420 rot./min., iar suprapresiunea maximă admisibilă este de 1,2 at.

(indicați la manometrul (3))

Pe conducta de refulare a compresorului s-au montat două vane, una (21) permițind și reglind accesul aerului la conducta princi-

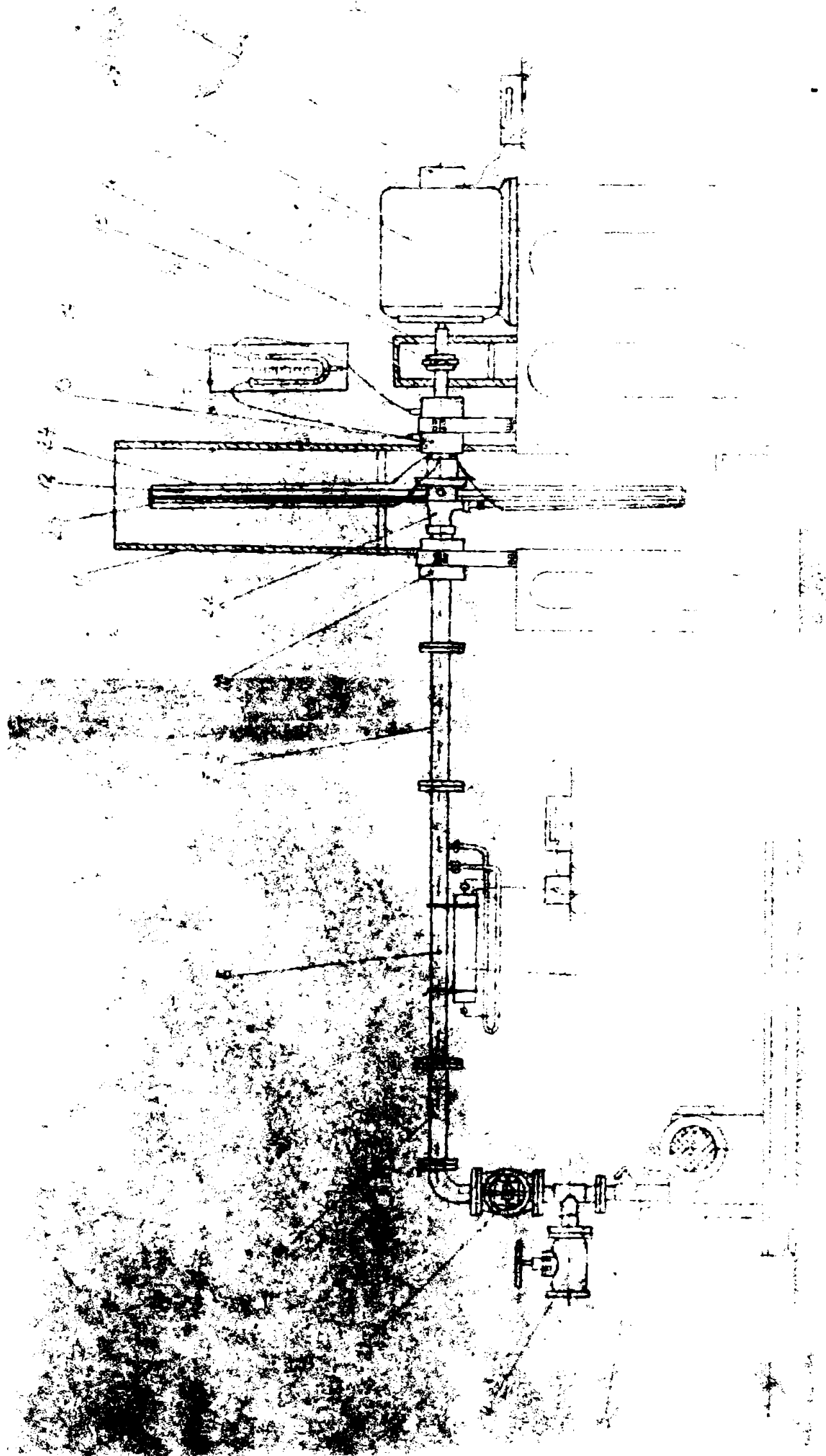


Fig 448

pală (9), iar alia (4), făcând posibilă evacuarea aerului în exterior. Reglarea dublă cu ajutorul celor două vane permite reglarea debitului în instalație și realizarea numerelor Reynolds dorite. De la vana (21), prin intermediul unui cot se trece la conducta principală orizontală (5) pe care s-a intercalat și debitmetrul (7), cu conducta sa (6). Fronsoanele de conductă, înainte și după debitmetru sînt suficient de lungi pentru a nu perturba măsurările de debit și deci de a anihila influența rezistențelor locale. Măsurarea debitului se face cu un debitmetru termic U70, tip Tetaran, ce poate măsura cu precizie debite de aer sau gaz sub $200 \text{ m}^3/\text{h}$, $100 \text{ m}^3/\text{h}$ și $50 \text{ m}^3/\text{h}$, el avînd avantajul că oferă o măsurare directă a debitului absolut, indicația instrumentului fiind independentă de presiunea gazului și temperatură; de asemenea căderea de presiune pe debitmetru este relativ mică și etanșitatea este excelentă. Ca principiu de bază, debitmetrul termic

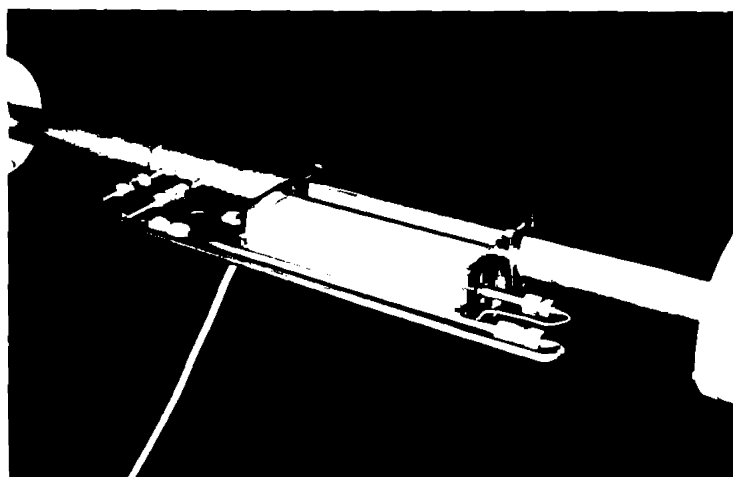


Foto 3

(foto 3) este compus dintr-un tub drept orizontal de cîtiva milimetri diametru, în care circulă gazul, acest tub jucînd rolul de senzor. Tubul este așezat într-o dublă incintă pentru protecție termică și mecanică. Două bobine electrice simetrice sînt înfășurate pe tub și funcționează atât pentru încălzire cât și pentru măsurarea tempera-

turii. Aceste bobinaje formează cele două ramuri ale unei punți Wheatstone. Puterea disipată în înfășurări produce o încălzire a tubului și gazului, urmînd o distribuție parabolică în absența curgerii. Cînd există debit, curba distribuției de temperatură este perturbată oglindind o răcire în secțiunea amonte și o încălzire în aval, dezechilibrînd puntea. Dacă θ_0 este temperatura ambiantă și θ_m temperatura medie a unei înfășurări, iar W puterea dată de înfășurare prin încălzire electrică, rezultă că $\theta_m - \theta_0 = W/A$ unde A este conductanța totală între înfășurare și mediul înconjurător. Cînd gazul curge, el este încălzit în amonte cu $\theta - \theta_0$ și răcit în aval în același fel, θ reprezentînd temperatura maximă.

Si atunci:

$$\text{în amonte} \quad \theta_{1m} - \theta_0 = \frac{W - (\theta - \theta_0) CM}{A}$$

$$\text{în aval} \quad \theta_{2m} - \theta_0 = \frac{W + (\theta - \theta_0) CM}{A}$$



Fig.4.49



Fig.4.50

unde θ este căldura specifică și M debitul masei absolute.
Dacă,

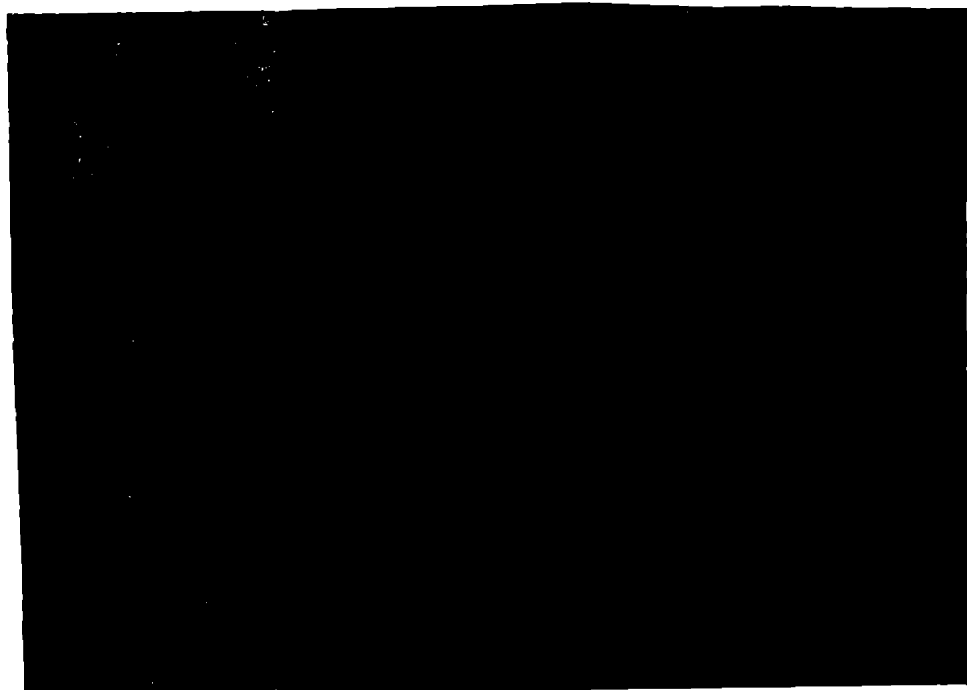
$$\theta_{2m} - \theta_{1m} = \frac{2(\theta - \theta_0)CM}{A}$$

Măsurarea este dată de dezechilibrul punții, care este proporțional cu $\theta_{2m} - \theta_{1m}$ (Fig.4.49,4.50)

Dacă debitometrul termic se asociază cu un tub Venturi (6) debitul maxim ce se poate măsura ajunge la $200 \text{ m}^3/\text{h}$. Precizia instrumentului este de 1,5%. Alături de debitometrul propriu-zis este montat blocul de alimentare (8) și aparatul de înregistrare a semnalului electric (9). Măsurarea cu precizie a debitului este o condiție esențială în determinarea corectă a rezultatelor cercetării experimentale, cea ce a lipsit, în special pentru domeniul debitelor

mici, dublarea instrumentelor de măsură, pe lângă debitometrul termic fiind înserat și un rotametră cu floțor (25), ce permite determinarea debitului pentru următoarele domenii de valori nominale: $25 \text{ m}^3/\text{h}$, $15 \text{ m}^3/\text{h}$, $2 \text{ m}^3/\text{h}$, cu precizia de 1,9%, fiind posibilă pe de o parte verificarea datelor obținute cu debitometrul termic, iar pe de altă parte permițând măsurarea cu precizie a debitului pentru domeniul de valori sub $10 \text{ m}^3/\text{h}$, unde debitometrele termice existente la IMHT nu au acces decât cu erori mari.

Trecerea de la conducta principală fixă (5) la conducta rotitoare (23) se face prin intermediul etanșării magnetofluidice (10) ce permite pătrunderea fără pierderi de debit a aerului din conducta fixă în cotul rotitor (22). În principiu, etanșarea magnetofluidică conține două piese polare inelare (fig. 4.51 și 4.52) între care este



cuprins un magnet permanent tot de formă inelară. Acest pachet de inele va fi tras pe transversal de conductă rotitoare, piesele polare fiind prevăzute pe diametrul interior cu un număr de dinți, între acești dinți și peretele conductei rotitoare punându-se ferofluid și formându-se astfel niște inele de

Fig. 4.51

ferofluid ce vor constitui etajele de etanșare. Fluidale magnetice sau ferofluidale sînt suspensii coloidale ultrastabile de particule magnetice cu dimensiuni foarte reduse de aproximativ 100 \AA , în diferite lichide de bază, ca apa, petrolul, uleiurile minerale, diesterii

Datorită dimensiunilor reduse ale particulelor și a acțiunii adansului stabilizator, particulele magnetice se integrează în structura lichidului de bază, conferindu-i proprietăți magnetice remanente. Aceste lichide magnetice, deși sînt medii bifazice își păstrează stabilitatea chiar și sub acțiunea unor câmpuri magnetice neuniforme intense. În cazul etanșării magnetofluidice, fiecare inel de ferofluid constituie deci un etaj de etanșare, care în funcție de magnetizația de saturație a ferofluidului M_s și de configurația câmpului magnetic din întrefier resistă la o anumită diferență de presiune: $\Delta p \cong M_s (B_1 - B_2)$, unde B_1 este valoarea maximă a inducției magnetice din întrefier, iar B_2 cea minimă; $\Delta p_{\max} = n \Delta p$ unde n = numărul de etaje. [180], [181]

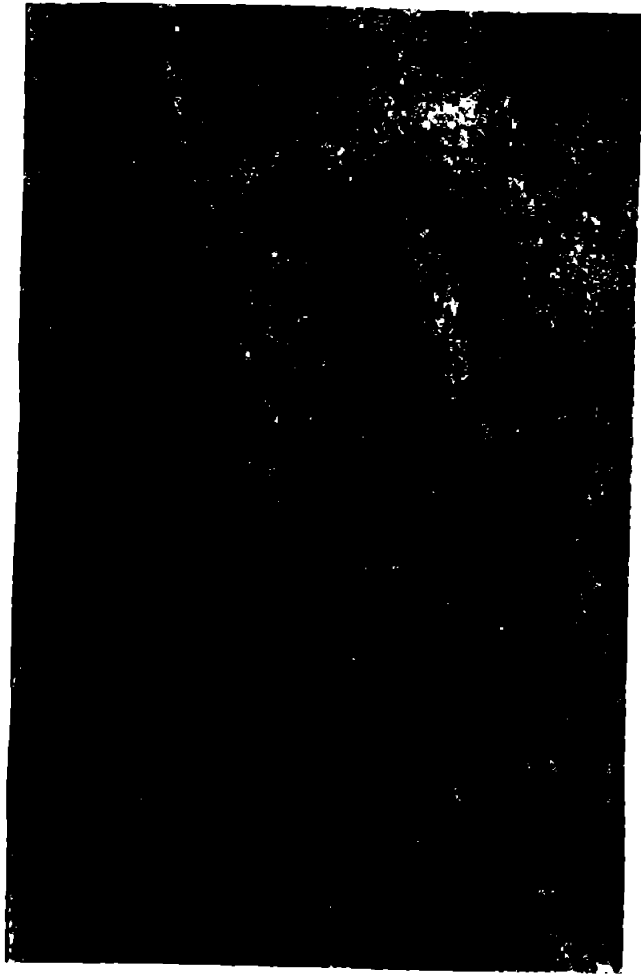


Fig.4.52



Fig.4.53

Cotul rotitor (22), fig.4.53, turnat din aluminiu, permite pe de o parte trecerea de la mișcarea orizontală la curgerea aerului într-un plan vertical, iar pe de altă parte, face trecerea de la secțiunea conductei orizontale de diametru de 50 mm la secțiunea conductei rotitoare de diametru de 25 mm, sau de 10mm. Cotul rotitor (22) este fixat solidar cu butucul crucii (12), crucea fiind

formată din patru țevi sudate pe butuc și având rolul de-a rigidiza conducta rotitoare (23) și de-a permite o echilibrare a ansamblului rotitor prin intermediul unor greutateți culisante din interiorul celor patru țevi. Mișcarea de rotație este transmisă de la un motor de curent continuu (17), având puterea de 4,6 KW și având posibilitatea reglării turației în domeniul 100-700 rot./min

Turația se măsoară cu ajutorul unei fotodiode și al discului cu 60 de fante (18), semnalul fiind preluat de un numărător electronic (19). Motorul electric se află montat pe batiul (20). Prin intermediul cuplajului elastic (15), protejat de carcasa (16), mișcarea de rotație este transmisă arborelui principal, care, la rândul său va roti butucul crucii (12). Crucea și conducta rotitoare, montată pe ea, sînt protejate cu carcasa (11).

O problemă deosebită e constituită măsurarea diferențelor de presiune pe conducta rotitoare. Conducta rotitoare este prevăzută cu mai multe prize de presiune, la care se realizează furtunurile de cauciuc (24), ce vor face legătura cu prizele de presiune practice în arborele principal. (fig. 4.54). Arborele principal are practicate în interiorul său un număr de canale de diametru de 3 mm, corespunzătoare numărului de prize de presiune (în total 5 prize, deci canale), care permit transmiterea presiunii de la conducta rotitoare prin intermediul celor 5 prize de intrare în arbore, la 5 inele colectoare distribuite pe exteriorul și pe lungimea arborelui. (fig. 4.55). Cele 5 inele colectoare sînt realizate cu ajutorul a trei pachete de etanșări magnetofluidice care permit trecerea de la mișcarea de rotație la reperul fix, (foto 8).

Inelele colectoare comunică cu 5 prize de presiune practice pe carcasa ansamblului de etanșări (13), de unde prin intermediul unor furtunuri de cauciuc se face legătura la traductorul de presiune (14). Traductorul de presiune utilizat a fost în funcție de domeniul de presiuni, fie cu ferofluid, fie cu alcool sau apă, ca lichid de măsură. Pentru presiuni mici, alături de microsenzorele cu alcool, traductorul de presiune cu ferofluid a permis evitarea dezavantajului folosirii aerului ca fluid de lucru (diferențele de presiune la aer fiind mult mai mici decît la apă), el compunîndu-se dintr-un tub în formă de U din material nemagnetic izolator (teflon), fig. 4.56, pe fiecare braț fiind înfășurată cîte o bobină L_1 și L_2 . Bobinile au același număr de spire și sînt legate diferențial. Tubul U se umple pînă la jumătatea înălțimii, cu fluid magnetic și se montează vertical pe o placă cu înclinare reglabilă, prevăzută cu nivelă cu lichid pentru controlul și reglarea poziției traductorului. Diferența de presiune ce urmează a fi

măsurată produce o denivelare a fluidului magnetic din tub, astfel că inductanțele bobinelor se modifică dezechilibrând o punte tensiometrică. Traductorul a fost realizat la IATP. [183]

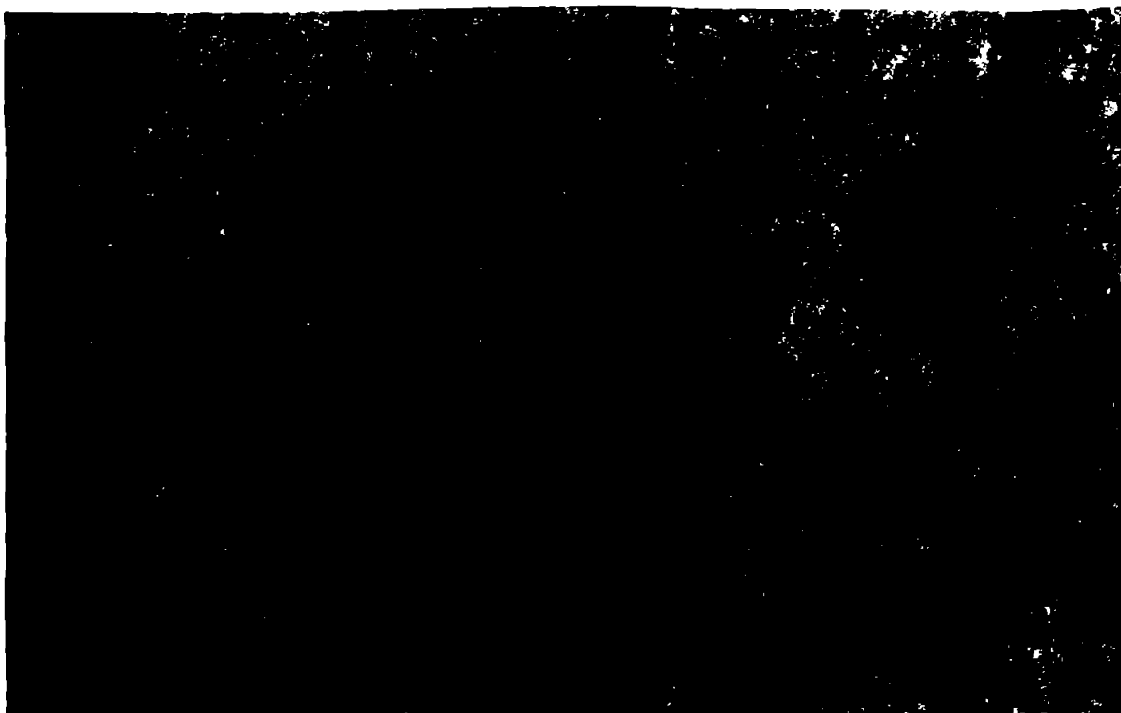


Fig. 4.54



Fig. 4.55

Foto 4

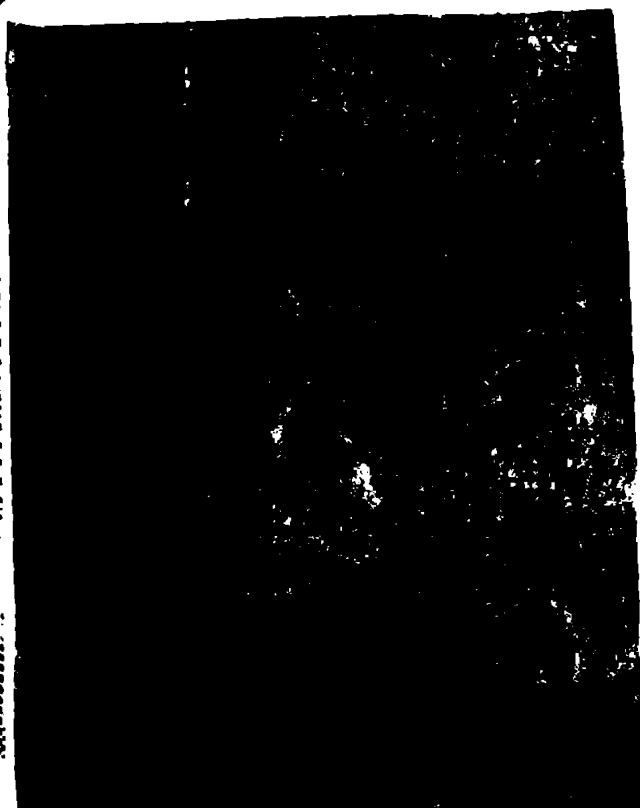
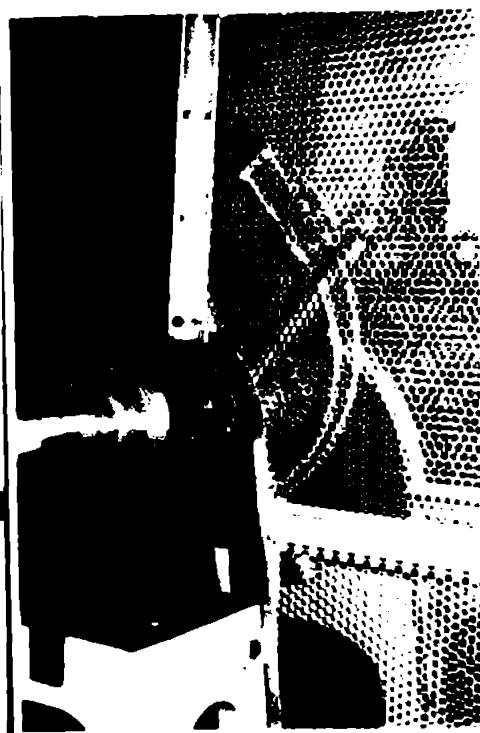


Fig. 4.56

Așa cum măsurarea presiunii, datorită conductei în rotație, a constituit o problemă deosebită, măsurarea temperaturii în conducta rotitoare a ridicat aceleași complicații. În final s-a recurs pentru măsurarea temperaturii la un sistem de telemăsură prin emisie-recepție, care permite transmiterea la distanță prin unde radio a semnalului. Sistemul de telemăsură a temperaturii, realizat la IRII, se compune dintr-un emițător ce constituie partea de transmisie, format dintr-un modulator de frecvență joasă, bazat pe un oscilator comandat în tensiune, de la un mixer echilibrat, și o punte resistivă, pe un braț al acesteia aflându-se traductorul termic (semiconductor termoresistiv). Se folosește un sistem de modulație în frecvență cu bandă îngustă, deoarece acesta este imun la aglomere și perturbații electrice. Modulatorul comandă un oscilator stabilizat, cu cristal de cuarț (stabilizare de 10^{-9} Hz), frecvența oscilatorului fiind de 10,7 MHz, după care semnalul este amplificat în putere și emis de antenă (puterea de emisie este de 100 mW, având bătăie de 250 m). Receptorul se compune dintr-un amplificator de radiofrecvență, la 10,7 MHz, un filtru din cristal de cuarț pentru 10,7 MHz, cu o lățime de ± 7 kHz, un etaj de amestec, rezultând frecvența intermediară de 465 kHz. Semnalul este demodulat în frecvență cu un detector de produs, urmînd o amplificare într-un amplificator cu două etaje, cu un nivel de ieșire de 1V, necesar pentru intrarea directă în frecvența numerică cu 7 cifre tip K202. Sensibilitatea la intrarea în receptor este de 10^{-6} V. Precizia instrumentului este de 1%.

4.2.1. Conducta rotitoare curbată.

În urma studiilor preliminare și analizînd planificarea experimentului, s-a proiectat, ca prim pas, cu scopul de a verifica rezultatele teoretice, a testa posibilitățile spațiunii realizate și a determina noi direcții de cercetare, o conductă de secțiune circulară, curbată, cu raza de curbatură constantă, și avînd posibilitatea de a se roti în plan vertical, cu centrul de curbatură deplasat față de centrul de rotație, permițînd astfel modelarea simplificată a unui canal interpaletar centrifug. (fig. 4.57, foto 5). După cum se remarcă în figură conducta este fixată pe crucea de rigidizare, celul rotitor fiind solidar cu butucul crucii și de el legîndu-se în continuare conducta curbată rotitoare. Zona totală de lucru are o lungime $L_{15} = 290$ mm iar diametrul conductei este de 8 mm, aceste dimensiuni permițînd realizarea unor pierderi de presiune semnificative. Raza de curbatură a conductei este $R_0 = 690$ mm. Conducta are practic un număr de 5



Fig.4.57

prize de presiune în următorul mod: două perechi de prize 1-2 și 4-5 fiind situate pe același diametru de curbură, deci simetric față de centrul de curbură și o priză de presiune suplimentară 3, situată intermediar, între prizele 1 și 5. În plus, prizele 1 și 2, respectiv 4 și 5, sînt poziționate pe același diametru al conductei, simetric față de centrul secțiunii conductei. În acest fel s-au realizat mai multe posibilități de măsură a diferențelor de presiune acestea determinîndu-se și pe tronsoane mai scurte, $L_{23}=1250$ mm și $L_{35}=1650$ mm, sau pe fața interioară a conductei L_{25} , sau pe fața exterioară a conductei $L_{14}=L_{25}=2900$ mm. Față de centrul de rotație al conductei,

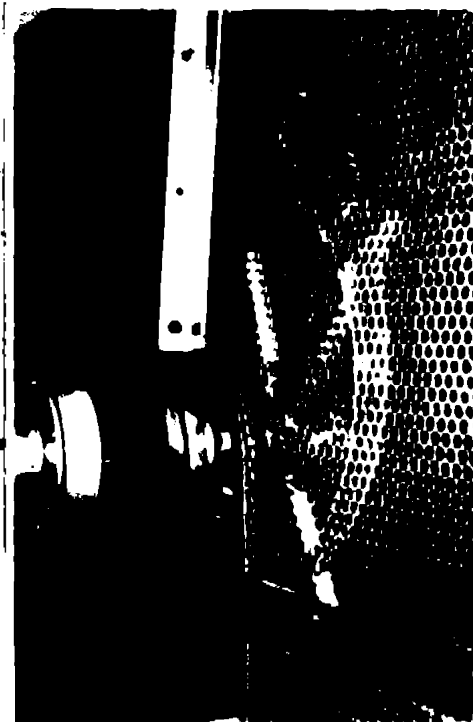


Foto 5

poziția prizelor de presiune este dată de $Z_1=Z_2=693$ mm, $Z_3=885$ mm și $Z_4, Z_5=1090$ mm. Pentru a crea condiții favorabile măsurărilor experimentale, aerul după ce parcurge o porțiune dreaptă de conductă care-i permite să se angajeze pe cercul de rază R_0 străbate o sonă neutră suficient de lungă, în comparație cu diametrul conductei, pentru a se realiza o curgere deplin dezvoltată în momentul când se ajunge la prima pereche de prize. De asemenea după ultima pereche de prize de presiune, mai există un tronson de conductă ce înlătură efectul de capăt.

4.2.2. Canal difuzor-confuzor rotitor.

Având în vedere că scopul prezentei cercetări este de a facilita elaborarea unor metode pentru determinarea pierderilor hidraulice în canalele interpaletare ale mașinilor hidraulice, și luând în considerare bunele rezultate obținute în cazul conductei curbate rotitoare, s-a căutat în continuare, utilizând stațiunea existentă să se proiecteze și realizeze un model mai apropiat de forma unui canal rotoric. (fig. 4.58)

În urma analizei legate de posibilitățile stațiunii și de posibilitățile de măsurare s-a stabilit noua formă și dimensiunile modelului experimental; astfel, canalul va fi de tipul unui difuzor curbat, secțiunea de intrare, considerând că funcționează ca rotor centrifug, fiind de formă pătrată, cu latura de 10 mm, iar secțiunea de ieșire având forma dreptunghiulară, cu dimensiunile $l=45$ mm și $l=10$ mm. Canalul are o grosime constantă de 10 mm (interior), doar lățimea crescând continuu de la 10 mm la 45 mm, și realizând astfel difuzorul în plan vertical, planul de rotație de asemenea curbura canalului este constantă, raza de curbură fiind în axa de simetrie a canalului fiind $R_0=250$ mm și să specificăm că acest canal este curbat numai în plan vertical, el fiind cuprins în acest plan și deci, față de un canal interpaletar de turbină Francis de pildă, constituie un model mai simplu, dar care mediează foarte bine rotorii de turbotransformator. Lungimea de lucru a canalului este de $l=500$ mm, ea fiind delimitată de cele două secțiuni de măsură, fiecare secțiune având 4 prize de presiune, în același plan, câte una pe fiecare față a canalului. Zona de lucru a canalului s-a realizat din plexiglas, ceea ce elimină influența rugozității. Secțiunile de măsură sînt amplasate față de centrul de rotație la $Z_1=150$ mm și $Z_2=300$ mm. Centrul de rotație este deplasat față de centrul de curbură. Întreaga conductă este fixată pe un cadru rigid compus dintr-un butuc și patru țevi de rigidiza-

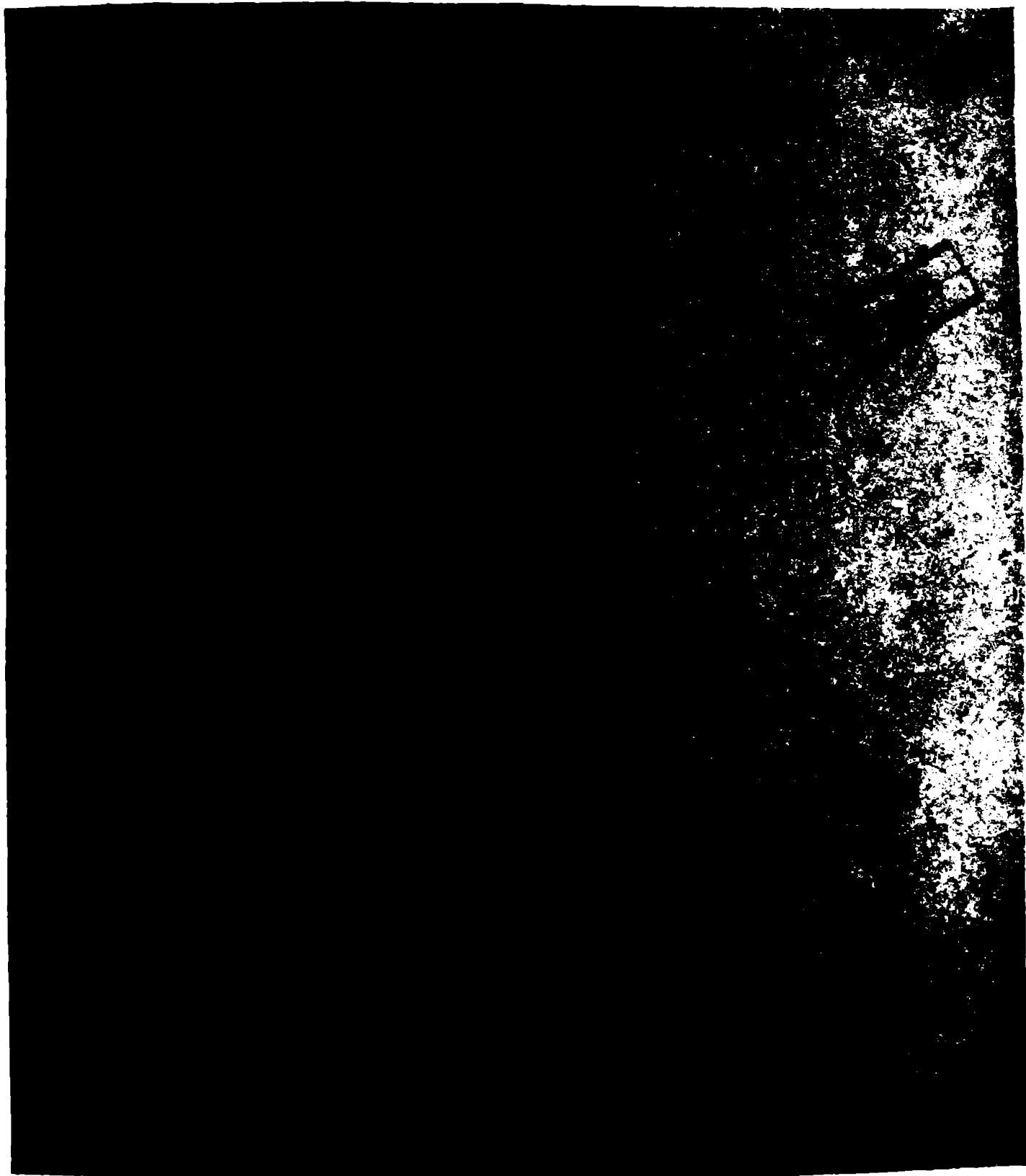


Fig.4.50

re, având și posibilități de echilibrare. După cum am spus rolul acestui canal este multiplu: se urmărește în primul rând trecerea de la cazurile mai simple ale conductei curbate rotitoare, de secțiune circulară constantă, pentru care rezultatele experimentale au confirmat modelul teoretic și funcționalitatea staționară, la cazul complex al canalului, care este mult mai apropiat de situația reală din rotorii turboaerodinamici; prin forma canalului se permite determi-

marea influenței geometriei dreptunghiulare a secțiunii combinate cu influența difuzorului, asupra curgerii în canal, peste care se suprapune influența curburii și a rotației, toate acestea subliniind complexitatea problemei. Rolul multiplu al canalului rotitor se oglindește și în faptul că el a fost proiectat astfel încât să permită o funcționare atât în regim de pompă centrifugă cât și ca un canal de turbină centripetă; există într-adevăr posibilitatea ca de la cotul rotitor al stațiunii să se realizeze o legătură elastică, fie cu secțiunea patrată, în care caz canalul funcționează ca pompă centrifugă, fie cu secțiunea dreptunghiulară în care caz canalul funcționează ca turbină centripetă.

CAPITOLUL V.

ANALIZA REZULTATELOR EXPERIMENTALE.

5.1. Prezentarea datelor experimentale.

5.1.1. Erori de măsură.

Corectarea experimentală a pierderilor hidraulice în conducte curbe rotitoare prezintă multiple dificultăți, care în mod inevitabil conduc la apariția unor erori de măsură specifice unor astfel de încercări experimentale.

În primul rând, măsurarea presiunii statice a fost afectată de o eroare sistematică, oăci în mod corect, instrumentul de măsură ar fi trebuit să se afle așezat solidar cu conducta rotitoare, la priză de presiune, orice îndepărtare a instrumentului de priză, datorită forțelor centrifuge ce apar în mișcarea de rotație, conducând la modificarea presiunii. Având în vedere că de la prizele de presiune aflate pe conducta rotitoare, presiunea este "adusă" prin intermediul racordurilor decaucine, în axa de rotație a sistemului, va rezulta o diminuare a ei din cauza forțelor centrifuge și atunci valorile măsurate ale presiunii vor fi mai mici decât valoarea adevărată. Pentru determinarea și corectarea acestei erori de măsură se va considera după Herzfer /56/, distribuția de presiuni într-o colcană de aer de lungime z , care se rotește cu viteza unghiulară ω perpendicular pe axa ei longitudinală. Modificarea presiunii de-a lungul razei, sub formă diferențială va fi:

$$\frac{\partial p}{\partial z} = \rho \omega^2 z$$

Din ecuația termodinamică de stare a gazului rezultă:

$$pV = \nu RT$$

sau

$$pV = \frac{m}{\mu} RT$$

de unde

$$\rho = \frac{m}{V} = \frac{\mu p}{RT}$$

și atunci

$$\frac{RT}{\mu} \frac{dp}{p} = \omega^2 z dz$$

sau integrând

$$\int_{p_1}^p \frac{RT}{\mu} \frac{dp}{p} = \int_0^z \omega^2 z dz$$

de unde

$$\ln \frac{p}{p'} = \frac{\rho^2 z^2}{2} \frac{\mu}{RT}$$

și

$$p = p' \exp \left(\frac{\rho^2 z^2 \mu}{2RT} \right)$$

unde p^0 este valoarea presiunii citită la traductorul de măsurare a presiunii. Înseamnă că toate măsurările de presiune vor trebui corectate cu ajutorul relației de mai sus. Facem observația

că fiind vorba de aer, eroarea aceasta de măsură este aproape neglijabilă, termenul $\exp \left(\frac{\rho^2 z^2 \mu}{2RT} \right)$ fiind foarte aproape de unitate.

O altă eroare de măsură apare datorită faptului că axa de rotație este orizontală și conducta se rotește într-un plan vertical. Din aceste motive o priză de presiune de pe conducta în rotație, față de axa de rotație, va fi variabilă ca poziție, ceea ce conduce la o modificare continuă a termenului gravitațional (gz) și deci la o modificare a presiunii datorate coloanei de aer și gz . Înșă, datorită faptului că fluidul de lucru este aer, termenul gravitațional este foarte mic și se poate neglija.

Ereri de măsură pot să apară și din cauza că temperatura se măsoară la partea terminală a conductei rotitoare, ori, după cum se știe într-un sistem rotitor, ca urmare a mișcării secundare, transmiterea căldurii prin convecție crește comparativ cu cazul curgerii în conducta fixă și apare deci o pierdere de căldură suplimentară, prin cedarea acesteia în exterior, în mediul ambiant; există atunci o diferență de temperatură între priza 1 și 5 de pildă. Calculele făcute demonstrează însă că modificări ale temperaturii cu câteva grade Celsius (1-5 °C), producându-se astfel modificarea viscozității și deci a valorii numărului Reynold, conduc la erori ale coeficientului de pierdere λ neînsemnate pentru scopul cercetării.

O altă eroare, care este dificil de determinat, o constituie pierderile de debit ce pot să apară în cazul de debitmetru. În experimentul prezent, aceste pierderi de debit s-au neglijat.

Înșăși măsurarea presiunii statice în conducta rotitoare se va face cu erori, având în vedere că mișcarea secundară existentă nu permite ca priza de presiune să fie mereu perpendiculară pe direcția curgerii; și aceste erori s-au neglijat.

Unele erori de măsură au putut apărea și datorită faptului că nu s-a ținut cont de rugozitatea interioară a conductei, aceasta considerându-se netedă hidraulic.

5.1.2. Calculul erorilor.

5.1.2.1. Erori grosolane.

Incercările experimentale din cadrul lucrării de față au fost efectuate cu deosebită grijă, astfel că erori grosolane evidente nu au apărut. Totuși, pentru o prelucrare corectă a datelor experimentale s-a considerat necesară verificarea valorilor care se abat cel mai mult de la valorile medii și analizarea dacă aceste valori fac parte din categoria erorilor grosolane sau nu. Metoda folosită este cea care consideră σ , eroarea medie pătratică necunoscută, [136] și utilizează în schimb abaterea standard empirică:

$$S = \sqrt{\frac{1}{n-1} \sum_{k=1}^n (x_k - \bar{x})^2}$$

unde: n - numărul de măsurări

\bar{x} - valoarea medie aritmetică

Excluderea erorii grosolane, a valorii apărute neașteptat, notată cu x^* s-a făcut determinând raportul:

$$t = \frac{|x^* - \bar{x}|}{S}$$

și stabilindu-se cu siguranță a estimății $P = 99\%$, ceea ce corespunde unui nivel al probabilității de excludere $\alpha = 1\%$ și unei valori $t(P) = 2,576$. Iaste datele experimentale x^* pentru care raportul $t > t(P)$, au fost excluse din șirul de măsurări; focus observația că astfel de cazuri au fost foarte rare în cercetările prezente, o singură valoare fiind respinsă pentru încercările în conductă curbată fixă și două valori în cazul conductei rotitoare.

5.1.2.2. Erori sistematice și aleatoare.

O eroare sistematică despre care am vorbit în paragraful 5.1.1. a fost aceea legată de măsurarea presiunii, valorile măsurate la instrumente fiind afectate de eroarea datorată forțelor centrifuge; această eroare a fost eliminată prin corecțiile determinate teoretic în același paragraf. O altă eroare sistematică s-a raportat la punctul de zero al instrumentului de măsurare a debitului, la fiecare șir de măsurări ținându-se cont și corectându-se deplasarea de zero, și de asemenea verificându-se în timp constanța acestei erori.

O problemă aparte o constituie precizia aparatului de măsură, care, după cum se știe reflectă eroarea sistematică de indicație a instrumentului, eroare ce apare ca diferență între valoarea nominală (valoare-

rea înscrisă pe instrument) și valoarea adevărată a mărimi măsurate (sau valoarea efectivă a instrumentului etalon)

Având în vedere că rezultatele finale ale cercetării experimentale reprezintă mărimi calculate în funcție de alte mărimi măsurate direct, se pune problema determinării preciziei mărimi finale ceea ce implică un calcul bazat pe teoria propagării indicilor de precizie. În acest caz, mărimea obținută indirect se calculează considerându-se medii aritmetice ale valorilor datelor experimentale obținute direct, precizia mărimi finale depinzând de precizia e cu care se măsoară celelalte mărimi.

Pentru situația generală, se consideră mărimea măsurată indirect \bar{u} ca fiind exprimată de relația/105/:

$$\bar{u} = f(\bar{x}, \bar{y})$$

unde \bar{x} și \bar{y} sînt medii aritmetice a două grupuri separate de valori, obținute pentru două mărimi fizice măsurate.

Atunci:
$$\bar{u} + \epsilon_u = f(\bar{x} + \epsilon_x, \bar{y} + \epsilon_y)$$

unde $\epsilon_u, \epsilon_x, \epsilon_y$ reprezintă abaterile celor trei mărimi față de valorile medii.

Dacă funcția f este continuă și derivabilă ea poate fi dezvoltată în serie Taylor și reținând numai primii doi termeni, se obține în final:

$$\epsilon_u = \left(\frac{\partial f}{\partial x}\right)_{\bar{y}} \epsilon_x + \left(\frac{\partial f}{\partial y}\right)_{\bar{x}} \epsilon_y$$

Considerînd dispersia pentru mărimea determinată indirect:

$$\sigma_u^2 = \frac{\sum_1^n (\mu_i - \bar{u})^2}{n} = \frac{\sum_1^n \epsilon_{ui}^2}{n}$$

unde:

$$\sum_1^n \epsilon_{ui}^2 = \left(\frac{\partial f}{\partial x}\right)_{\bar{y}}^2 \sum_1^n \epsilon_{xi}^2 + \left(\frac{\partial f}{\partial y}\right)_{\bar{x}}^2 \sum_1^n \epsilon_{yi}^2 + 2 \left(\frac{\partial f}{\partial x}\right)_{\bar{y}} \left(\frac{\partial f}{\partial y}\right)_{\bar{x}} \sum_1^n \epsilon_{xi} \epsilon_{yi}$$

se obține în final, pentru o repartiție simetrică:

$$\sigma_u^2 = \left(\frac{\partial \bar{u}}{\partial \bar{x}}\right)_{\bar{y}}^2 \sigma_x^2 + \left(\frac{\partial \bar{u}}{\partial \bar{y}}\right)_{\bar{x}}^2 \sigma_y^2$$

În cazul particular cînd mărimea finală se obține prin însumarea celor măsurate direct, se poate scrie:

$$\bar{u} = \bar{x} + \bar{y}$$

sau

$$\bar{u} + \epsilon_u = \bar{x} + \epsilon_x + \bar{y} + \epsilon_y$$

de unde $\epsilon_u = \epsilon_x + \epsilon_y$

și particularizând $\sigma_u^2 = \sigma_x^2 + \sigma_y^2$

sau $\sigma_u = \sqrt{\sigma_x^2 + \sigma_y^2}$

În cazul când mărimea finală se obține ca produs al celor două mărimi obținute direct, se poate scrie:

$$\bar{u} = \bar{x} \cdot \bar{y}$$

sau $\bar{u} + \epsilon_u = (\bar{x} + \epsilon_x) \cdot (\bar{y} + \epsilon_y)$

de unde $\epsilon_u = \epsilon_x \bar{y} + \epsilon_y \bar{x} + \epsilon_x \epsilon_y$

sau, neglijând produsul $\epsilon_x \epsilon_y$, rezultă:

$$\epsilon_u = \epsilon_x \bar{y} + \epsilon_y \bar{x}$$

și particularizând relația lui σ_u , se obține:

$$\sigma_u^2 = \bar{y}^2 \sigma_x^2 + \bar{x}^2 \sigma_y^2$$

sau:

$$\frac{\sigma_u^2}{\bar{u}^2} = \frac{\sigma_x^2}{\bar{x}^2} + \frac{\sigma_y^2}{\bar{y}^2}$$

și în final:

$$\frac{\sigma_u}{\bar{u}} = \sqrt{\left(\frac{\sigma_x}{\bar{x}}\right)^2 + \left(\frac{\sigma_y}{\bar{y}}\right)^2}$$

În cazul când funcția apare sub formă $\bar{u} = \bar{x}^a \bar{y}^b$ eroarea medie patritică este dată de formula:

$$\frac{\sigma_u}{\bar{u}} = \sqrt{a^2 \left(\frac{\sigma_x}{\bar{x}}\right)^2 + b^2 \left(\frac{\sigma_y}{\bar{y}}\right)^2}$$

Pentru cercetările experimentale efectuate pe conducta curbată rotitoare, mărimile calculate sînt în principal: coeficientul de pierdere

λ și numărul Reynolds, unde:

$$\Delta p_M = \lambda \frac{L}{D} \rho/2 v^2$$

și

$$Re = \frac{v \cdot D}{\nu}$$

Diferența de presiune de mișcare se obține din relația:

$$\Delta p_M = \Delta p + \rho/2 Q^2 (\bar{x}_2^2 - \bar{x}_1^2)$$

Diferența de presiune Δp se măsoară cu o precizie constantă de 1,5% iar turația conductei n , se măsoară cu o precizie de 0,03%, ceea ce conduce la calculul diferenței de presiune Δp_M cu o precizie, obținută conform relațiilor de mai sus, de 1,5% aproximativ.

În privința coeficientului de pierdere λ , rezultă:

$$\frac{\sigma_\lambda}{\lambda} = \sqrt{\left(\frac{\sigma_{\Delta p}}{\Delta p}\right)^2 + \left(\frac{\sigma_\rho}{\rho}\right)^2 + 2^2 \left(\frac{\sigma_Q}{Q}\right)^2}$$

Viteza este obținută măsurându-se debitul, care prin folosirea unor debitoare diferite pentru diferitele densități, permite păstrarea unei precizii de 1,5% (eroare maximă). Densitatea aerului este funcție de temperatură, aceasta fiind măsurată cu o precizie de 1%.

Încercăm să se poate scrie:

$$\frac{\sigma_{\lambda}}{\lambda} = \sqrt{1,5^2 + 1,0^2 + 4 \cdot 1,5^2} = 3,5\%$$

aceasta fiind eroarea medie pătratică maximă pentru cazul coeficientului de pierdere prin frecare.

Pentru calculul preciziei de determinare a numărului Reynolds, se scrie:

$$\frac{\sigma_{Re}}{Re} = \sqrt{\left(\frac{\sigma_Q}{Q}\right)^2 + \left(\frac{\sigma_t}{t}\right)^2} = \sqrt{1,5^2 + 1,0^2} = 1,8\%$$

În afara erorilor ce apar datorită clasei de precizie a instrumentului de măsură, se vor evidenția desigur și erorile aleatoare care sînt cele mai dificile, căci ele nu pot fi anihilate.

Pentru a studia precizia de determinare a coeficientului de pierdere λ în raport cu erorile aleatoare, s-au calculat dispersiile σ^2 ale măsurilor măsurate direct, pentru trei valori ale numărului Reynolds, cu scopul de a cunoaște înformativ indicele de precizie pentru λ . În final s-a obținut:

$$Re = 5 \cdot 10^2$$

$$\frac{\sigma_{\lambda}}{\lambda} = \sqrt{0,85^2 + 0,25^2 + 4 \cdot 0,6^2} = 1,49\%$$

$$Re = 5 \cdot 10^3$$

$$\frac{\sigma_{\lambda}}{\lambda} = \sqrt{0,73^2 + 0,25^2 + 4 \cdot 0,47^2} = 1,18\%$$

$$Re = 5 \cdot 10^4$$

$$\frac{\sigma_{\lambda}}{\lambda} = \sqrt{0,47^2 + 0,25^2 + 4 \cdot 0,35^2} = 0,88\%$$

Compuind incertitudinea sistematică cu incertitudinea aleatoare pe baza relației:

$$\frac{\sigma_{\lambda}}{\lambda} = \sqrt{\left(\frac{\sigma_{\lambda}}{\lambda}\right)_s^2 + \left(\frac{\sigma_{\lambda}}{\lambda}\right)_a^2}$$

se obține:

$$Re = 5 \cdot 10^2 \quad \frac{\sigma_{\lambda}}{\lambda} = 3,8 \%$$

$$Re = 5 \cdot 10^3 \quad \frac{\sigma_{\lambda}}{\lambda} = 3,7 \%$$

$$Re = 5 \cdot 10^4 \quad \frac{\sigma_{\lambda}}{\lambda} = 3,6 \%$$

5.1.2.3. Numărul necesar de măsurări.

Determinarea indicilor de precizie în cazul erorilor aleatoare a presupus pentru cazurile considerate un calcul preliminar al numărului necesar de măsurări. S-a stabilit un nivel de încredere $P = 0,97$ și din /136/ s-a obținut numărul necesar de măsurări, cu relația:

$$n \geq \left[\frac{t(P)}{\varepsilon} \right]^2 S^2$$

unde $t(P)$ este 2,576, iar $q = \frac{\varepsilon}{S} = 0,8$.
Rezultă $n \geq 10$ măsurări.

5.1.2.4. Estimare prin interval de încredere.

Pentru cele trei valori ale numărului Reynolds s-au estimat și intervalele de încredere, după relația cunoscută:

$$|a - \bar{x}| < \varepsilon$$

unde a este valoarea adevărată a mărții măsurate. Considerându-se precizia măsurărilor cunoscută se va utiliza abaterea standard empirică:

$$S = \sqrt{\frac{1}{n-1} \sum_{i=1}^n (x_i - \bar{x})^2}$$

care este o estimatie a parametrului σ . În acest caz, intervalul de încredere devine:

$$|a - \bar{x}| < t(P, k) \frac{S}{\sqrt{n}}$$

unde $t(P; k)$ se raportează funcției de repartiție Student și s-a

alea, pentru nivelul de încredere $P = 0,99$, egal cu 3,250 (pentru $N = n-1 = 9$)

și atunci rezultă pentru măsurarea debitului:

$$\varepsilon = 3,250 \frac{0,12}{\sqrt{9}} = 0,13$$

deci intervalul de încredere va fi $(19,67; 20,13)$, pentru o valoare medie de $20 \text{ m}^3/\text{h}$.

Pentru măsurarea diferențelor de presiune rezultă:

$$\varepsilon = 3,250 \frac{0,34}{\sqrt{9}} = 0,37$$

și deci intervalul de încredere este $(119,63; 120,37)$ pentru o valoare medie de 120 mm c.e.

În cazul măsurării temperaturii se obține:

$$\varepsilon = 3,250 \frac{0,34}{\sqrt{9}} = 0,19$$

iar intervalul de încredere devine $(24,81; 25,19)$ pentru o valoare medie de 25°C .

5.1.3. Determinarea modelului aleator al încercării.

Având în vedere că în cazul prezentei cercetări experimentale se urmărește în final obținerea dependenței funcționale $\lambda = f(Re)$, deci rezultatele experimentale se vor reprezenta sub formă de grafice, este dificil și nepractic de a analiza fiecare valoare măsurată din punct de vedere al erorilor de măsură aleatorii, în astfel de cazuri obținându-se a se utiliza prelucrarea statistică a datelor experimentale cu ajutorul corelației și a metodei celor mici pătrate. În acest scop, este important ca în timpul măsurărilor să vină în vedere că punctele măsurate nu se referă la o singură valoare a mărimei fizice, ci este vorba de o variație într-un domeniu larg de valori, să se realizeze un model aleator al încercării, care să permită o uniformizare a repartiției erorilor aleatoare, căci în ordine aleatoare în efectuarea experimentului va avea efectul variabilelor necontrolate. La prezentele încercări modelul aleator stabilit a permis ca în decursul unei ședințe de încercări experimentale să se parcurgă combinații aleatoare de valori ale turanței și ale debitului, de forma:

$$n = n_1 \text{ ————— } Q \in (0, Q_1]$$

$$n = n_2 \text{ ————— } Q \in [Q_1, Q_2]$$

$$n = n_3 \text{ ————— } Q \in [Q_2, Q_3]$$

$$\begin{aligned} n = n_4 & \text{-----} \xi \in [0,3^0 0,4] \\ n = n_2 & \text{-----} \xi \in [0,4^0 0,3] \\ n = n_4 & \text{-----} \xi \in [0,3^0 0,2] \\ n = n_1 & \text{-----} \xi \in [0,2^0 0,1] \\ n = n_3 & \text{-----} \xi \in [0,1^0 0] \end{aligned}$$

5.1.4. Prelucrarea statistică a rezultatelor.

Din analiza erorilor ce pot să apară, făcută în paragrafele precedente, rezultă necesitatea unei prelucrări statistice a rezultatelor care să permită eliminarea erorilor aleatoare, respectiv atenuarea "șagocotului". Rezultatele obținute se vor reprezenta în general sub forma unei dependențe între coeficientul de pierdere λ și numărul Reynolds ce caracterizează regimul de curgere, având ca parametru numărul rotațional $R_c = 2(2R)^2/\gamma$. Din relațiile de calcul ale coeficientului de pierdere λ și al numărului Reynolds Re , rezultă că fiecare dintre cele două variabile poate fi supusă la o împrăștiere aleatoare, ceea ce ar însemna că, λ de pildă nu depinde numai de Re și R_c , pentru o curbură $Re = \text{const.}$, ci și de alte variabile necontrolabile și atunci nu se mai poate vorbi de o dependență funcțională ci numai de o dependență stochastică, aplicându-se metode de analiză a corelației, în acest caz ne mai fiind vorba de cea mai bună valoare a lui λ în raport cu Re , ci de cea mai probabilă valoare a lui λ în jurul căreia se distribuie punctele măsurate.

a) Analiza de corelație, constă în determinarea curbei de regresie și al coeficientului de corelație K_c ; K_c ia valori în intervalul $[-1, 1]$, când $K_c = 1$, existând o dependență funcțională, iar când $K_c = 0$ nu există nici un fel de corelație. În cadrul cercetărilor experimentale efectuate s-a urmărit calculul lui K_c , cu scopul de a verifica dacă variabilele necontrolabile afectează foarte mult rezultatele. Dependența dintre coeficientul de pierdere λ și numărul Re este neliniară, fiind funcție de mai mulți parametri, a căror determinare implică calcule laborioase și greoaie, de aceea s-a căutat o soluție de simplificare a calculului, apelându-se la metoda nivelării.

b) Metoda nivelării permite printr-o schimbare convenabilă de variabile aducerea formulei empirice de la forma complicată neliniară la o expresie liniară, de tipul:

$$Y = aX + b,$$

unde, în cazul de față:

$$Y = \log(\log \lambda) \quad \text{și} \quad X = \log Re$$

Simplificarea facilitată de metoda nivelării a permis considerarea

in continuare a cazului corelației liniare, unde funcțiile de regresie sînt liniare și coeficientul de corelație are expresia:

$$K_c = \frac{\overline{xy} - \bar{x} \cdot \bar{y}}{S_x S_y}$$

unde S_x și S_y sînt abaterile medii pătratice:

$$S_x = \sqrt{\frac{1}{n} \sum_i (x_i - \bar{x})^2}$$

$$S_y = \sqrt{\frac{1}{n} \sum_i (y_i - \bar{y})^2}$$

pentru un șir de n valori măsurate, iar \bar{x} și \bar{y} sînt mediile aritmetice ale șirurilor de valori.

Coeficientul de corelație a fost calculat pentru toate șirurile de măsurări, și în toate cazurile valoarea rezultată a fost aproximativ 1, ceea ce indică o dependență funcțională și permite în continuare o prelucrare statistică bazată pe metoda celor mai mici pătrate.

e) Metoda celor mai mici pătrate permite obținerea unor estimări nedepsășate și consistente ale coeficienților polinomialului liniar considerat ca model matematic al experimentului, eliminînd pe cît posibil efectele erorilor aleatoare. Considerînd, prin metoda nivelării, funcția liniară: $y = ax + b$, metoda celor mai mici pătrate permite determinarea parametrilor a și b din condiția cunoscută:

$$\sum_{k=1}^n [y_k - (ax_k + b)]^2 = \text{minim}$$

Și atunci ecuația dreptei obținute va fi:

$$y - \bar{y} = \frac{\overline{xy} - \bar{x} \cdot \bar{y}}{\overline{x^2} - \bar{x}^2} (x - \bar{x})$$

unde

$$a = \frac{\overline{xy} - \bar{x} \cdot \bar{y}}{\overline{x^2} - \bar{x}^2} \quad b = \frac{\overline{x^2 y} - \bar{x} \cdot \overline{xy}}{\overline{x^2} - \bar{x}^2}$$

Toate rezultatele cercetării experimentale au fost prelucrate statistic cu metoda celor mai mici pătrate.

5.2. Rezultatele experimentale pentru cazul conductei rotitoare.

5.2.1. Metodologia încercării.

Scopul prezentei cercetări experimentale a fost determinarea pierderilor hidraulice într-o conductă curbată rotitoare, de secțiune circulară constantă. Încercarea a cuprins două etape importante:

a) în prima etapă s-a considerat conducta în care s-au măsurat pierderile, fluxă, urmărindu-se a se determina influența curburii asupra lor. Metodologia încercării a fost următoarea: pentru dimensiuni de debit

corespunzător domeniului de valori ale numărului Reynolds ($5 \cdot 10^2 - 10^5$), s-a stabilit în ordine crescătoare a debitului, cîte un regim de curgere, cu ajutorul dublei regliri a vanelor (4) și (21), la fiecare valoare constantă a debitului, măsurîndu-se simultan debitul, temperatura fluidului de lucru, și diferențele de presiune: ΔP_{14} , ΔP_{23} , ΔP_{35} , ΔP_{24} . Pentru curgera domeniului de debite s-a făcut atât în sens crescător, cît și descrescător, fiecare ciclu de măsurări repetîndu-se de mai multe ori.

b) În a doua etapă, s-a considerat cazul general cînd conducta curbă se rotește. S-au stabilit trei valori ale turației conductei $n_1 = 136$ rot./min., $n_2 = 190$ rot./min. și $n_3 = 270$ rot./min., modificarea turației realizîndu-se cu ajutorul unui redresor trifazat comandat cu tiristoare. Pentru fiecare valoare a turației păstrată constantă s-a repetat metodologia încercării de la punctul a), măsurîndu-se la fiecare regim: debitul, temperatura, diferențele de presiune și turația.

5.2.2. Interpretarea rezultatelor.

Urînd metodologia prezentată mai sus, s-au obținut datele experimentale primare, ce au fost apoi prelucrate în conformitate cu cele explicate la punctul 5.1.

În fig. 5.1 se prezintă variația coeficientului de pierdere hidraulică λ , determinat experimental, în funcție de numărul Reynolds pentru cazul conductei curbate fixe. Datele experimentale



Fig. 5.1

s-au comparat cu cele teoretice determinate cu relația (2.85), (3.47), rezultându-se o foarte bună congruență și de asemenea s-au comparat cu rezultatele experimentale ale lui Adler/1/ observându-se și în acest caz o suprapunere convenabilă a punctelor experimentale, ceea ce pe de o parte validează calitățile stațiunii de încercare LMSI, iar pe de altă parte confirmă justetea metodei teoretice prezentate anterior, atât pentru regimul laminar, cât și pentru cel turbulent. Se observă că (fig.5.2) curbura conduce la

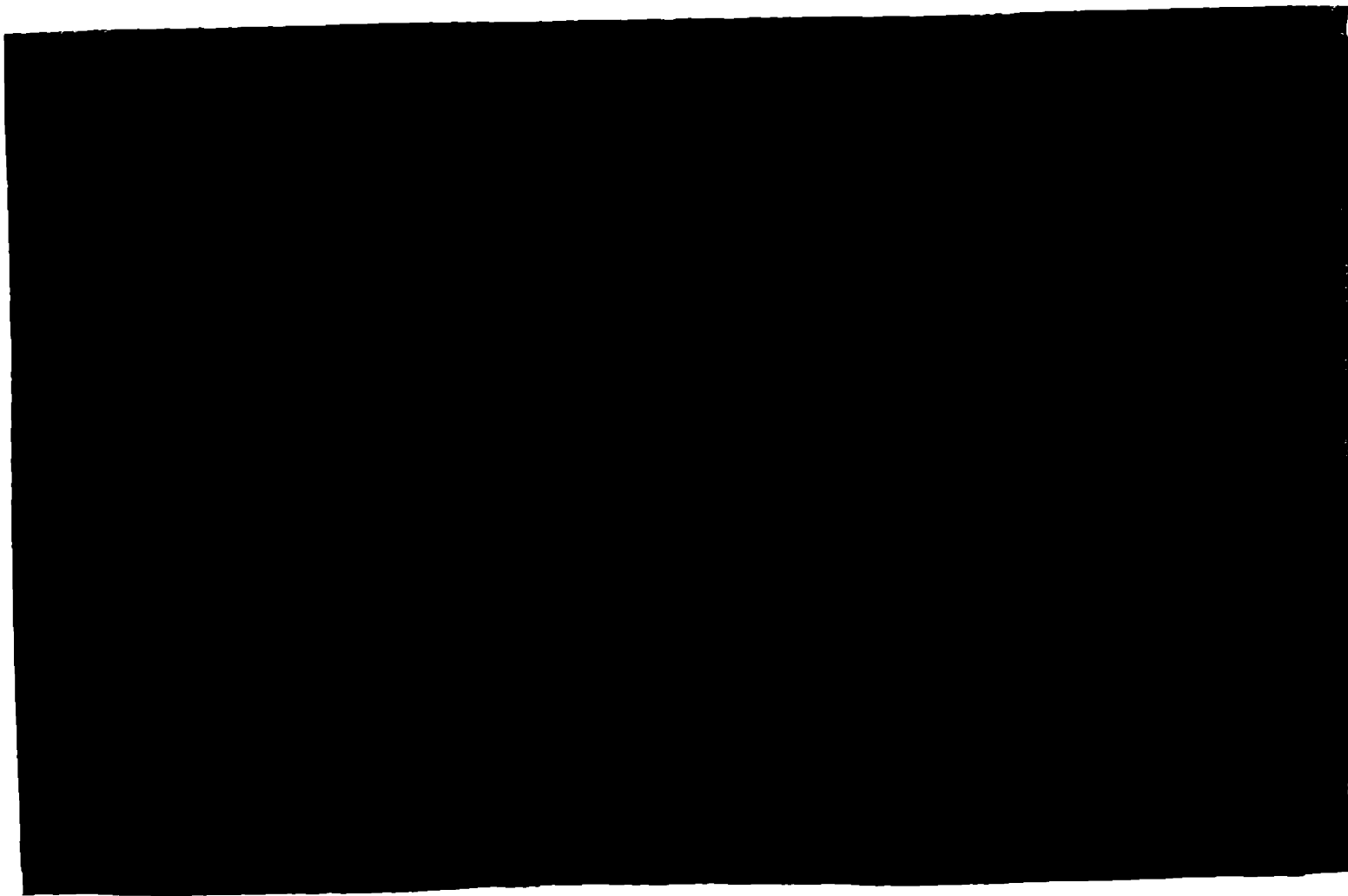


Fig.5.2

creșterea pierderilor hidraulice față de cazul conductei drepte fixe, cum era de așteptat, diferențele fiind mult mai evidente la curgerea laminară, față de curgerea turbulentă. Prelucrând statistic datele experimentale se obțin următoarele relații empirice pentru coeficientul de pierdere hidraulică, în cazul când $Re = 0,005$.

Fig.5.3.:

$$\log(100 \lambda_c) = -0,697069 \log Re + 3,08644 \quad \log Re < 3,6$$

$$\log(100 \lambda_c) = -0,20083 \log Re + 1,31699 \quad \log Re > 3,6$$

În cazul în care se introduce și efectul rotației, datele se modifică, astfel pentru $nq = 60$, în fig.5.4 s-au reprezentat rezul-

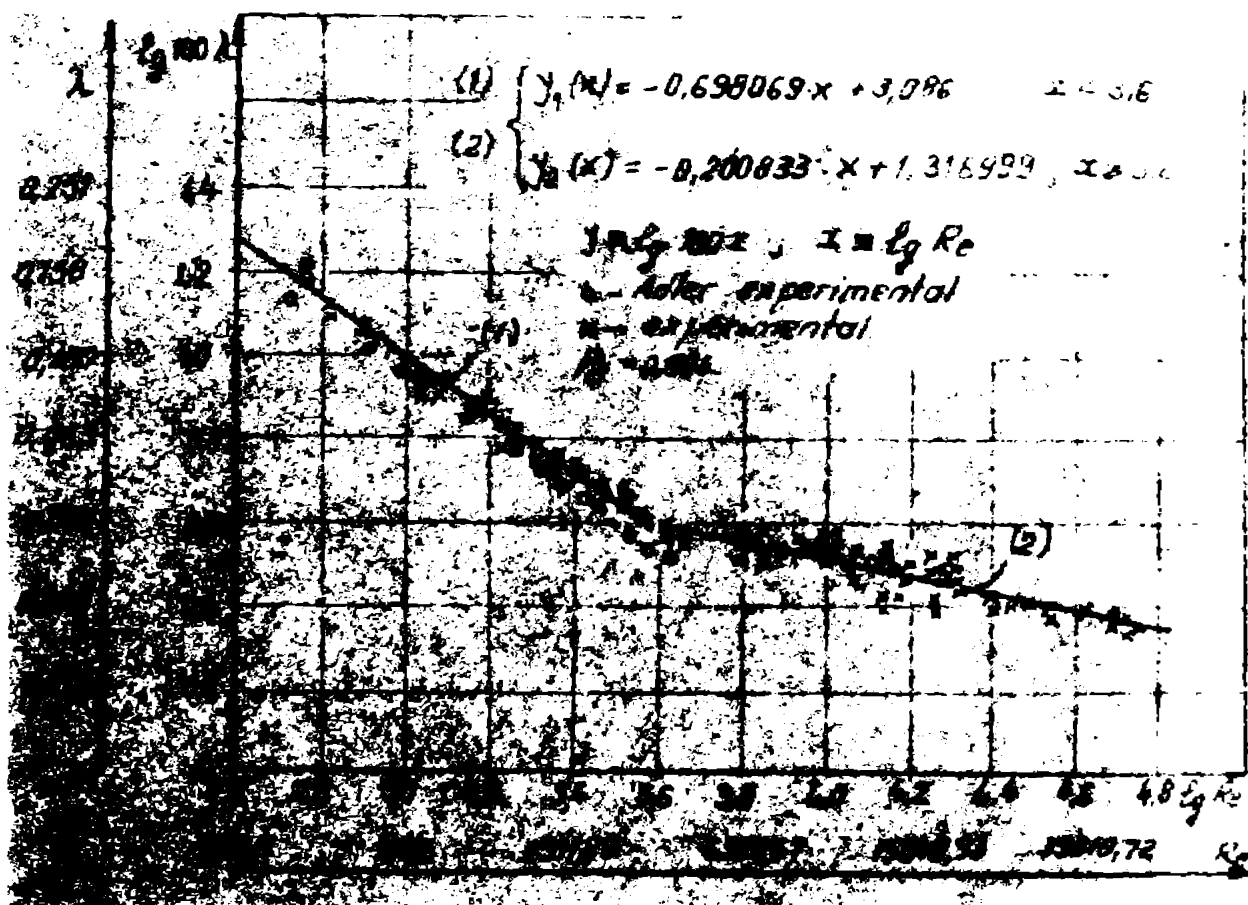


Fig 5.3

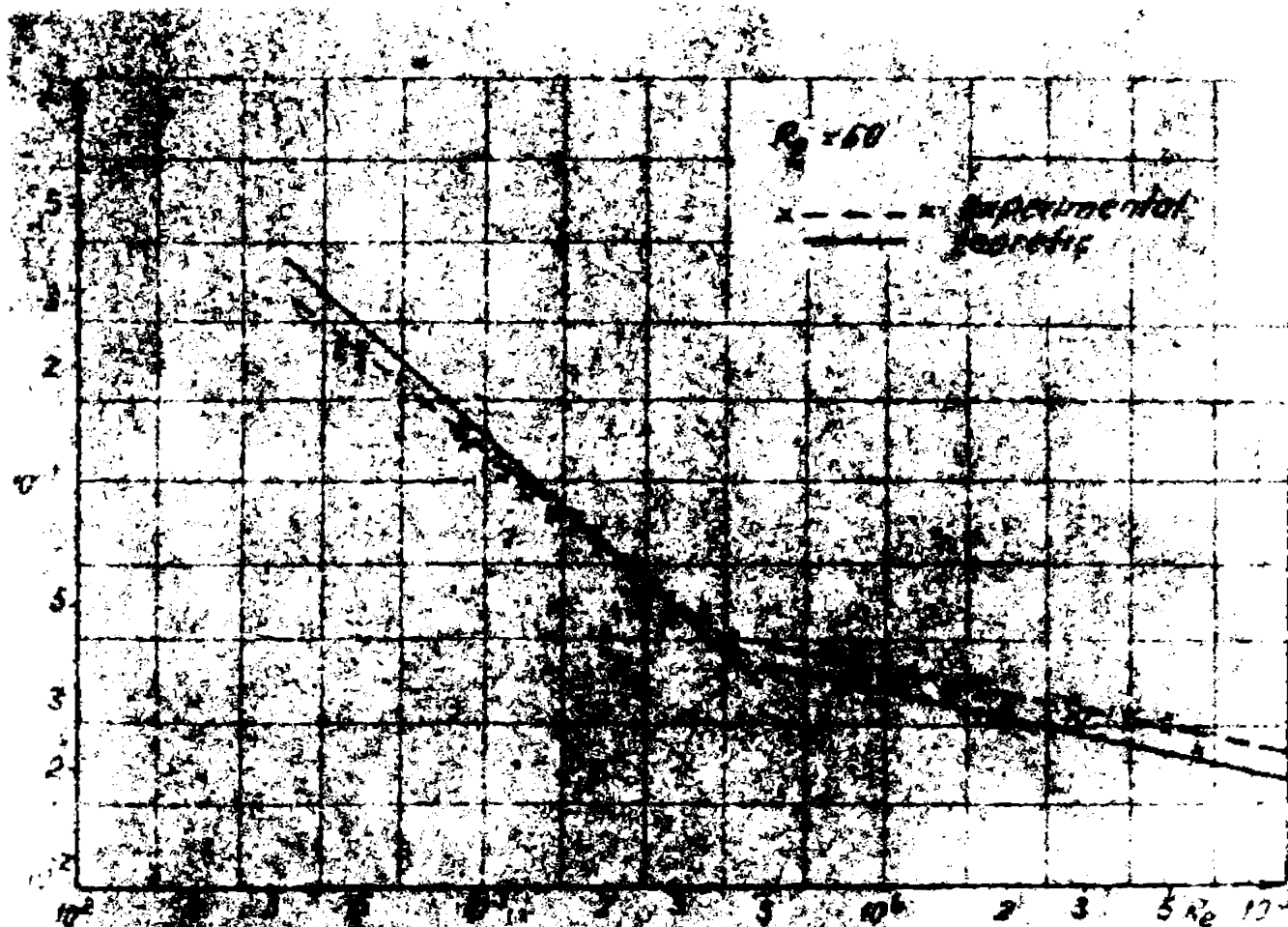


Fig 5.4

tatele experimentale comparativ cu cele teoretice determinate cu relațiile (2.112), (3.36), remarcându-se o bună concordanță în special pentru regimul laminar, în cazul regimului turbulent, rugozitatea conductei experimentale, curbura ei și anumite neuniformități geometrice conducând la o creștere a valorilor experimentale ale coeficientului de pierdere hidraulică λ_{CR} . Comparând cu valorile prezentate în fig. 5.3 pentru cazul $2q = 0$, se vede imediat că rotația produce o creștere a pierderilor hidraulice. În fig. 5.5 se prezintă



Fig. 5.5

comparativ cu cele experimentale ale lui Ito [7.7] pentru conducta dreaptă rotitoare și cele ale prezentei lucrări, observându-se o bună suprapunere, cu observația că, datorită curburii rezultatele experimentale obținute în [7.7] prezintă valori mai ridicate decât cele ale lui Ito. Prelucrarea statistică a experimentului a permis obținerea următoarelor ecuații:

$$\begin{aligned} \log(\log \lambda) &= -0,722549 \log Re + 3,477373 & \log Re < 3,61 \\ \log(\log \lambda) &= -0,50 \log Re + 1,32 & \log Re > 3,61 \end{aligned}$$

Pentru $2q = 89$, deci la rotație mai mare, pierderile hidraulice cresc și ele, se prezintă în fig. 5.6 prezentându-se datele experimentale comparativ cu cele teoretice obținute cu relațiile (2.112) și (3.36)

Din nou se observă o bună suprapunere în domeniul regimului laminar, față de cazul curburii turbulente. Datele experimentale s-au

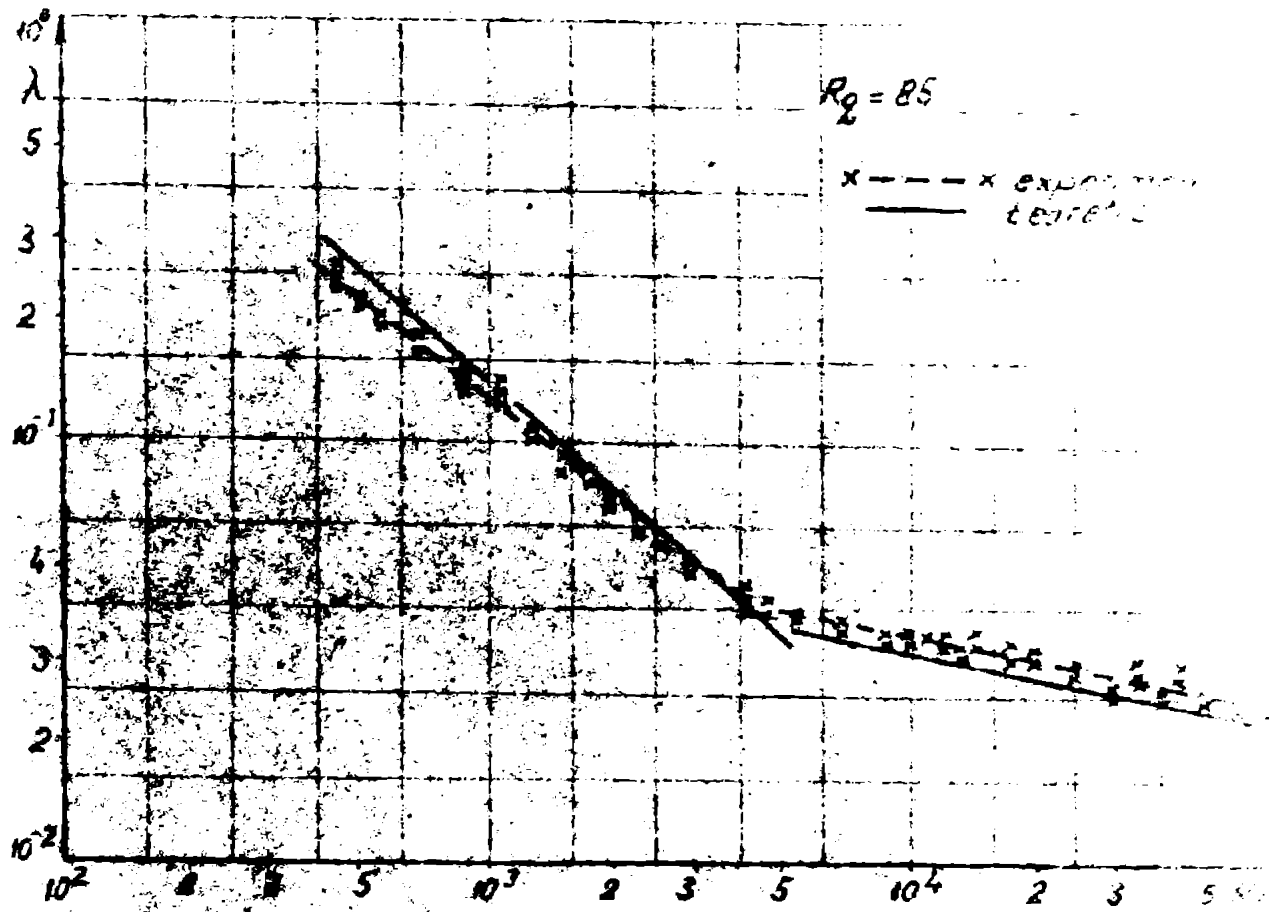


Fig. 56

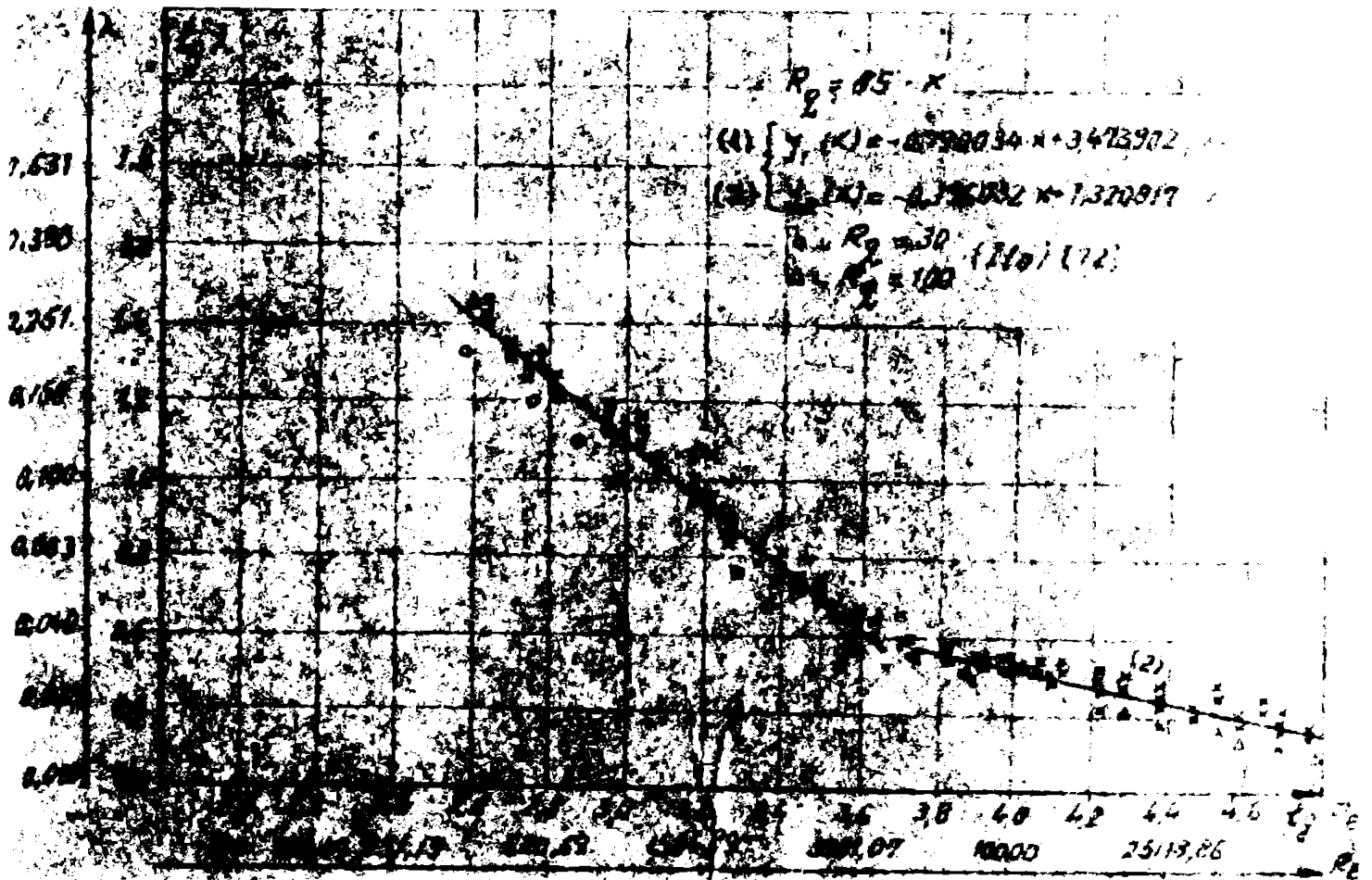


Fig. 57

comparat de asemenea cu rezultatele experimentale ale lui Ito, fig.5.7, obținându-se o concordanță satisfăcătoare. Din prelucrarea statistică rezultă următoarele ecuații empirice:

$$\begin{aligned} \log (100 \lambda) &= -0,79 \log Re + 3,4739 & \log Re < 3,65 \\ \log (100 \lambda) &= -0,196 \log Re + 1,3208 & \log Re > 3,65 \end{aligned}$$



Fig.5.8

În fig.5.8 este reprezentat coeficientul de pierdere pentru o traptă mai ridicată de rotație a conductei curbate, $Rq = 120$, observându-se comparativ cu rezultatele teoretice o bună concordanță, mai puțin în cazul regimului turbulent. Fig.5.8 oferă și comparația datelor experimentale cu cele ale lui Ito, remarcându-se o suprapunere suficient de bună, în special pentru curgerea laminară. Prelucrarea statistică a permis deducerea următoarelor expresii empirice ale coeficientului de pierdere hidraulică:

$$\begin{aligned} \log (100 \lambda) &= -0,77196 \log Re + 3,4538 & \log Re < 3,653 \\ \log (100 \lambda) &= -0,209 \log Re + 1,3922 & \log Re > 3,653 \end{aligned}$$

Este de remarcat faptul că tranziția de la regim laminar la regim turbulent se modifică odată cu rotația, creșterea turajului având un efect stabilizator și numărul Reynolds critic mărindu-și în mod corecorvențelor valoarea:

$Re = 0,005$	$Rq = 0$	Re_{cr}
	0	3900
	60	4030
	85	4470
	120	4500

În fig.5.9 se prezintă în ansamblu curbele de λ pentru diferite valori ale turajului, remarcându-se creșterea pierderilor hidra-

alice odată cu creșterea rotației și totodată observându-se valori
le mai mari ale pierderilor hidraulice față de cazul conductei
drepte fixe; de asemenea, se compară datele experimentale cu cele
obținute de Ertensuer /39/ pentru o conduită rotitoare elicoidală
remarcându-se o încadrare satisfăcătoare a curbelor experimentale
ceea ce justifică deplin rezultatele obținute pe baza teoriei de in-
certări 1911.

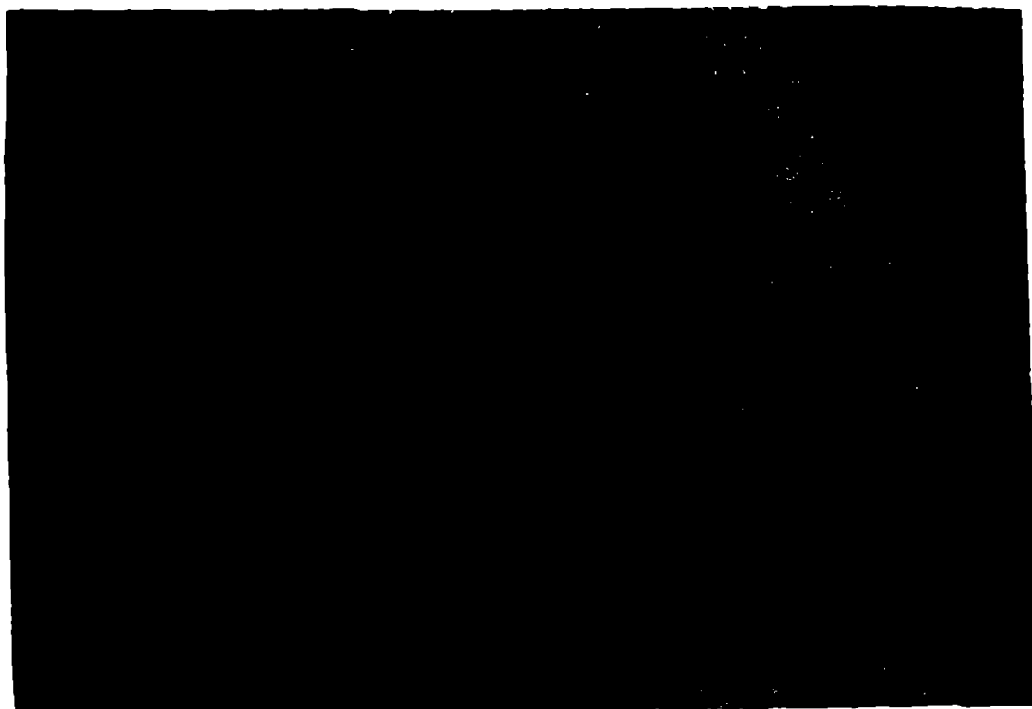


Fig. 5.9

5.3. Rezultatele experimentale pentru cazul canalului rotitor.

5.3.1. Curgerea în difuzoare.

Curgerea în canale de secțiune dreptunghiulară și în ferăstră de difu-
zor este, după cum se știe, relativ complicată și există multiple stu-
dii și cercetări legate de difuzoarele staționare.

În difuzor se realizează o transformare treptată a energiei cine-
tice în energie potențială, cu pierderi de energie, în general mai mici
decît la lărgirea bruscă de secțiune, avînd $\zeta_d = k \zeta$, $k < 1$,

ζ fiind coeficientul de pierdere pentru lărgire bruscă.
În curgerea în difuzor, particulele de fluid în mișcare înving date-
rită energiei cinetice gradientul de presiune ce crește mereu, dar
această energie cinetică se pierde continuu și la un anumit ist straturile
de fluid se sînt în contact direct cu pereții, posedînd o energie ci-

acțiunii mai scăzută vor fi incapabile să învingă presiunea și se vor opri, sau chiar vor începe să revină înapoi, formându-se astfel vortajuri și desprinderi, zone turbulente, ce conduc la creșterea pierderilor energetice și sînt proporționale cu unghiul de deschidere α al difuzorului.

Pentru cazul destinderii bruste, ecuațiile fundamentale ale mecanicii fluidelor permit determinarea exactă a expresiei pierderilor hidraulice, sub forma relației Bazin-Carnot:

$$h_p = \frac{(V_1 - V_2)^2}{2g}$$

În cazul difuzoarelor însă, se consideră pe baza rezultatelor experimentale că, pierderile hidraulice sînt mai mici de K ori, adică:

$$h_{pd} = K \frac{(V_1 - V_2)^2}{2g}$$

unde K depinde în mod direct de unghiul α . Valorile lui K s-au determinat experimental și ele sînt date în lucrări de specialitate [32], [49], [67], [ap. 167]. K are expresia empirică:

$$K = 3,2 \operatorname{tg} \frac{\alpha}{2} \sqrt{\operatorname{tg} \frac{\alpha}{2}}$$

secțiune circulară

$$K = 6,2 \operatorname{tg} \frac{\alpha}{2} \sqrt{\operatorname{tg} \frac{\alpha}{2}}$$

secțiune dreptunghiulară

După Fligner, Bahl [93]: $K = \sin \alpha$

Să reamintim însă că mulți cercetători au aplicat aceste relații la calculul bilanțului energetic în turbomășini, mai precis în rotori și în special în rotori turbotransformatoarelor, ceea ce este desigur o greșeală. [93], [115], [66], [138], [84] etc.

O problemă interesantă o constituie faptul că și aici pierderile de difuzor nu trebuie separate de cele longitudinale, și Nekrasov (Cours d'hydraulique, ed. Masson, 1976) propune o relație care să țină cont de ambele tipuri de pierderi:

$$h_d = h_{fr} + h_e$$

unde h_e - pierderile în difuzor

h_{fr} - pierderile longitudinale

h_e - pierderile datorită desprinderilor și turbulențelor

$$h_{fr} = \lambda \frac{dl}{2r} \frac{V^2}{2g}$$

și efectuînd calculele se obține în final:

$$h_{fr} = \frac{\lambda}{8 \sin \frac{\alpha}{2}} \left(1 - \frac{1}{n^2}\right) \frac{V_1^2}{2g}$$

unde $n = \frac{D_2}{D_1} = \left(\frac{r_2}{r_1}\right)^2$

Pierderile hidraulice în difuzor vor fi: $h_d = \zeta_d \frac{V_1^2}{2g}$

unde:

$$S_d = \frac{\lambda}{8 \sin^2 \frac{\alpha}{2}} \left(1 - \frac{1}{n^2}\right) + K \left(1 - \frac{1}{n}\right)^2$$

Facem observația că în cazul unui coeficient pierderile turbionare sînt neglijabile în general.

În afara exprimării pierderilor hidraulice în difuzor sub formele arătate, se mai utilizează o altă caracteristică importantă a acestuia și anume, coeficientul de restituire a energiei cinetice sau randamentul difuzorului:

$$\eta_d = \frac{\frac{\alpha_1 v_1^2}{2g} - \frac{\alpha_2 v_2^2}{2g} - h_{p_{d2}}}{\frac{\alpha_1 v_1^2}{2g}}$$

Uneori, se folosește și expresia /142/, /133/:

$$\eta_d = 1 - \frac{\rho g h_{p_{d2}}}{\rho/2 (\tilde{v}_1^2 - \tilde{v}_2^2)}$$

sau:

$$\eta_d = \frac{p_2 - p_1}{\rho/2 (\tilde{v}_1^2 - \tilde{v}_2^2)}$$

După O. Popa /127/ ultima relație se poate rescrie ca:

$$\eta_d = 1 - \frac{S_d}{1 - 1/n^2} = 1 - \epsilon$$

căci reprezintă /133/, /127/ raportul dintre coeficientul de recuperare a presiunii statice $C_p = \frac{p_2 - p_1}{\rho/2 \tilde{v}_1^2}$ și coeficientul de recuperare a presiunii statice ideale $C_{pi} = 1 - n^{-2}$ și atunci

$$\eta_d = \frac{C_p}{C_{pi}} = \frac{p_2 - p_1}{\rho/2 (\tilde{v}_1^2 - \tilde{v}_2^2)}, \text{ unde } \tilde{v} \text{ reprezintă medierea spațială}$$

trebuie menționat că în definirea lui C_p și η_d în acest nod nu s-a ținut cont de redistribuirea sau distorsionarea profilului de viteză de la intrare, ceea ce face ca un profil de viteză distorsionat la intrare ce se transformă pe parcurs într-unul mai uniform să conducă la o creștere a presiunii statice, ajungându-se în curgeri reale la randamente cuprinzătoare (intervine coeficientul lui Coriolis α). În cazul când la intrare în difuzor există o curgere turbulentă deplin dezvoltată, recuperarea presiunii nu se va face pe seama normalizării vitezei, ci din cauza ce distorsionare tot mai mult și atunci relațiile de mai sus se pot utiliza /104/

Tot O. Popa /127/ propune folosind ecuația transferului energiei mecanice prin volumul de control ∂V și ecuația transferului impulsului amintirea expresiei pentru η_d riguroasă pentru coeficientul de pierdere S_d :

$$S_d = \left(1 - \frac{1}{n}\right)^2 + \frac{S_{\Sigma 1}}{S_2} C_{p1} + \frac{S_{\Sigma}}{S_2} C_{F1}$$

unde S_{Σ} este aria laterală a difuzorului, iar

$$C_{p1} = 2 \frac{\bar{e}_x \cdot \int_{S_{\Sigma 1}} (p - p_1) \bar{n} da}{\tilde{V}_1^2 \text{ mes } A_{\Sigma 1}}$$

coeficientul de presiune

$$C_{F1} = \frac{4V}{S_{\Sigma} \tilde{V}_1^2} \bar{e}_x \cdot \int_{A_{\Sigma}} \tilde{D} \cdot \bar{n} da$$

coeficientul de frecare în lungul suprafeței rigide a difuzorului

Ambii acești coeficienți sînt extrem de dificil de determinați teoretic, din care motiv în [127] se preferă relația experimentală

$$S_d = \varepsilon \left(1 - \frac{1}{n^2}\right)$$

și atunci

$$\frac{S_{\Sigma 1}}{S_2} C_{p1} + \frac{S_{\Sigma}}{S_2} C_{F1} = \varepsilon \left(1 - \frac{1}{n^2}\right) - \left(1 - \frac{1}{n}\right)^2$$

Problematicele difuzorului nu poate fi evitată cînd se dorește o apreciere cît mai exactă a curgerii în canalele interpaletare și este sugestiv faptul că J.P. Johnston, care a adus contribuții importante la studiul influenței rotației și curburii asupra cîrării în canale, s-a ocupat în mod constant de analiza curgerii în difuzoare. Încă în 1965, [74], studiază pierderile în difuzor la pompele și compresoarele centrifuge, separînd și el pierderile în pierdere prin frecare și pierderi de difuzor. În 1967, [29], [133], J.P. Johnston studiază influența geometriei unor difuzoare bidimensionale asupra performanțelor acestora, iar în 1969, [172] influența distribuției de viteze de la intrare asupra acelorși performanțe, coexistînd cu rezultatele din 1973 [104] și 1980 [13], cînd se pun în evidență patru scene principale (dar nu singurele) ale curgerii turbulente în difuzoare: curgere fără desprindere, desprindere de tranziție, vîrturi complete dezvoltate (cînd desprinderea are loc numai la un perete divergent) și desprinderea totală (pe amii peretei, curgere de jet)

Unele aspecte evidențiate de Johnston se regăsesc în [99], [61], [93]

Alături de experiment sînt amintite modelarea matematică, ce de obicei ignoră daturile dificiltăților desprinderii [74], [104], deși mai recent propunerea se abate și în această direcție [13].

Datorită dificultăților matematice în tratarea teoretică a curgerii în difuzoare, cercetarea experimentală rămîne pe prima plan-

Cercetările experimentale arată, pun în evidență influența parametrilor geometrici ai difuzorului asupra curgerii și performanțelor acestuia: raportul de formă b/t_1 (b - distanța între pereții paraleli ai difuzorului, t_1 - lățimea canalului la intrare în difuzor), coeficientul de obturare a curgerii ($2\delta/t_1$, unde δ - grosimea de depunere a straturii limită, șansele de desprindere provocând o obturare a curgerii și o scădere a coeficientului de recuperare a presiunii statice), raportul ariilor t_2/t_1 , unghiul difuzorului 2θ , lungimea difuzorului l/t_1 , toate aceste mărimi geometrice influențează curgera în difuzor, indicând complexitatea acesteia. În rezultatele experimentale rezultă că cei trei parametri ai difuzorului: $C_p = \Delta p / \frac{\rho}{2} v_1^2$, $\eta_d = C_p / C_{pi}$ și coeficientul de pierdere $\zeta_d = C_{pi} - C_p$ se corelează numai dacă $t_2/t_1 = \text{ct.}$

Este important de remarcat că, spre deosebire de cazul când raportul de formă este foarte mare, la b/t_1 subunitar forțele viscoase devin importante în tot canalul și pierderile hidraulice, căderile frecărilor, apar ca remarcabile.

Cu cât de însemnate sînt aceste cercetări, ele rîmîn valabile numai pentru cazul elastic al difuzoarelor drepte staționare și efectele curburii și rotației vor complica și mai mult problema.

Schlichting /142/ prezintă rezultatele experimentale ale lui Akeret pentru difuzoare curbate, evidențiind scăderea performanțelor difuzorului cu creșterea curburii. Un studiu mai atent îl realizează în 1973 Parsons și Hill /120/, care determină teoretic și experimental (teoria ne ținînd seama de desprindere și utilizînd numărul Richardson) influența curburii asupra curgerii în difuzoare.

În privința rotației, Fowler /44/ este cel care în 1966 pune în evidență modificările majore ce apar în curgerea în difuzoare atunci atunci cînd intervine rotația. În fig. 5.10 se remarcă deosebirile ce apar în cazul curgerii hidrodinamice pentru cazul difuzorului staționar izolat (a - debit nominal; b - 50% din debitul nominal), cazul difuzorului rotitor izolat (c), cazul difuzorului rotitor încadrat de canale adiacente (d) și cazul rotorului de turbomăcină (e - distribuția de viteze la ieșire din canal); se remarcă alura asemănătoare cu cea a viteselor obținute în prezenta lucrării cu modelul teoretic.

În fig. 5.11 Weber compară curgerea în difuzor (c), cu aceea din canalul rotitor convergent (a) și din canalul paralel rotitor (b). Se remarcă în cazul confuzorului o bună apropiere de cazul canalului paralel rotitor decobindîndu-se clar de difuzorul rotitor. (Același concluzii sînt obținute din prezenta cercetare experimentală).

J. Moore /109/ studiază și el experimental curgerea în difuzorul drept rotitor, dar mult mai bine sînt puse în evidență efectele rota-

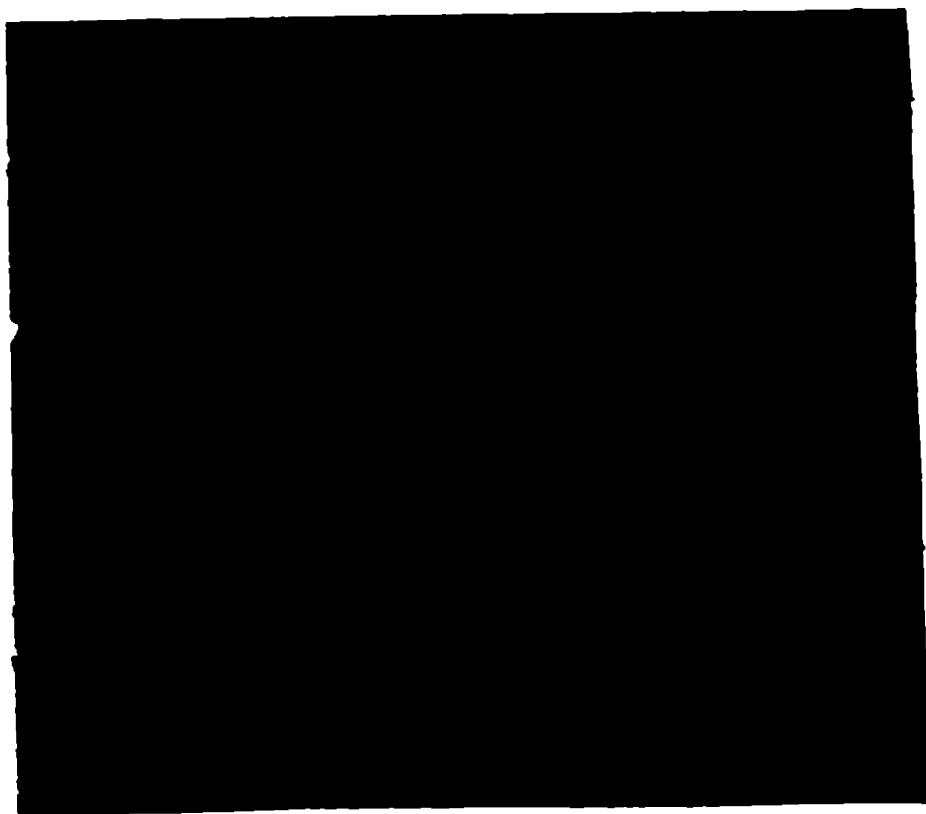


Fig.5.10



Fig.5.11

ției asupra energiei în direcțiile axelor în /135/, acestea studiindu-se în următoarea experimentare din Fig.5.12. Notația produce scăderea recuperării programate, pentru cazul unor desprinderi înseamante, de la 0,65 la 0,52. Stabilizarea cu spații laterale rotației conduce la scăderea producției tensiunilor caracteristici, ori se crește nivelul turbulenței axiale și susține alinierea de lungă perioadă întrucât gradientul de presiune favorabil și constant, stabilizarea nivelului limită conduce și la reducerea timpului necesar de vîrtej și desprinderea în canalele radiale rectilinie, având ca rezultat scăderea performanțelor rotorilor. Căzul unei desprinderi de vîrtej sau de vîrtejuri și desprinderea într-un număr mai mic de vîrtejuri se prezintă în Fig. 5.13

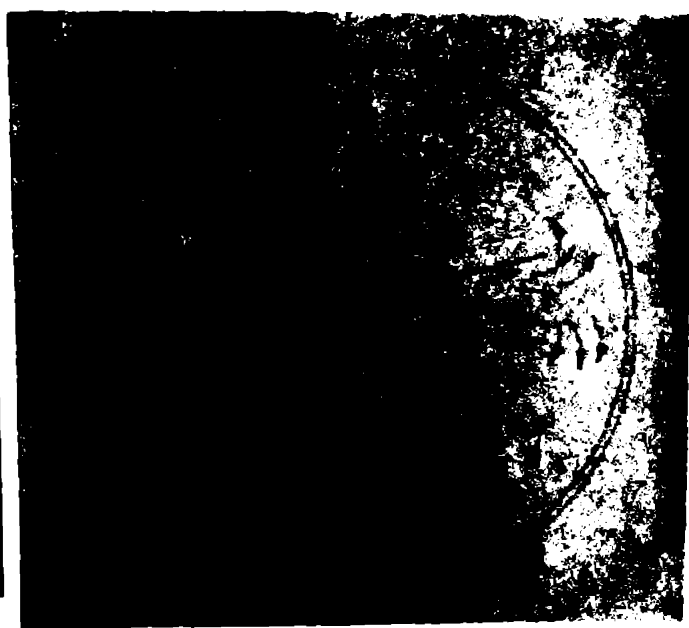


Fig.5.12

Fig.5.13



5.3.2. Rezultatele experimentale obținute la LMI.

În cadrul stațiunii LMI prezentate în 4.2. , pentru canalul difuzor proiectat și realizat, s-au efectuat încercările experimentale după metodologia explicată în 5.2.1.3-s-au măsurat presiunile statice, la cele două secțiuni de măsură, pe toți cei patru pereți ai canalului printr-o combinație judicioasă a priselor de presiune, măsurătorile efectuându-se cu micromanometre cu alcool, dublate de patru traductoare cu ferofluid și de pișonete cu apă. Turanția canalului difuzor s-a modificat în trepte, având următoarele valori: ω ; 146 rot./min.; 267 rot./min.; 339 rot./min.; 472 rot./min.; 554 rot./min. .

Rezultatele măsurătorilor au fost prelucrate statistic, având în vedere geometria canalului difuzor, calculul coeficientului de pierdere hidraulică s-a făcut cu ajutorul relației:

$$\lambda_1 \frac{L}{D_{h1}} \frac{\rho}{2} v_1^2 = \Delta p_{12} + \rho/2 Q^2 (z_2^2 - z_1^2) + \rho/2 (v_1^2 - v_2^2).$$

raportându-se la secțiunea de la intrare,

În mod similar, coeficientul de recuperare a presiunii statice s-a determinat cu relația:

$$C_p = \frac{\Delta p_{12} - \rho/2 Q^2 (z_2^2 - z_1^2)}{\rho/2 v_1^2}$$

Deoarece rezultatele obținute trebuiau comparate cu cercetările anterioare, teoretice și experimentale, în afara coeficientului de pierdere hidraulică λ_1 , raportat la secțiunea de la intrare, s-a mai calculat un coeficient de pierdere hidraulică echivalent λ_e , în funcție de un număr Reynolds echivalent Re_e , ce reprezintă curgerea printr-o conductă de secțiune circulară constantă echivalentă cu canalul difuzor.

Datele geometrice ale canalului difuzor sînt:

- grosimea constantă a canalului $b = 0,01 \text{ m}$
- lățimea canalului $t_1 = 0,01 \text{ m}$; $t_2 = 0,045 \text{ m}$
- lungimea canalului $L = 0,5 \text{ m}$

Atunci, diametrul echivalent al conductei va fi:

$$D_e = 14,28 \cdot 10^{-3} \text{ m.}$$

Deci, diametrul hidraulic are expresia:

$$D_h(x) = 2 \frac{b \cdot t(x)}{b + t(x)}$$

unde x este poziția secțiunii:

$$\begin{array}{lll} \text{cînd } x = 0 & t(x) = t_1 & \text{și } D_h(x) = D_{h1} \\ x = L & t(x) = t_2 & \text{și } D_h(x) = D_{h2} \end{array}$$

Ori,

$$D_e = \frac{1}{L} \int_0^L D_h(x) dx = \frac{2 \cdot 10^2 b}{7L} \int_{t_1}^{t_2} \frac{t dt}{b+t}$$

În mod similar,

$$V_e = \frac{10^2 Q}{7\pi L} \int_{t_1}^{t_2} \frac{(t+b)^2}{t^2 b^2} dt$$

Preluarea rezultatelor a permis trasarea unor dependente interesante, capabile să eglindască scopul cercetării de față și utile pentru activitatea de proiectare a turbomășinilor.

În fig.5.14 s-au prezentat datele experimentale obținute în cazul curgerii prin canalul difuzor curbat ($Poe = D_e/2Re = 0,0285$)

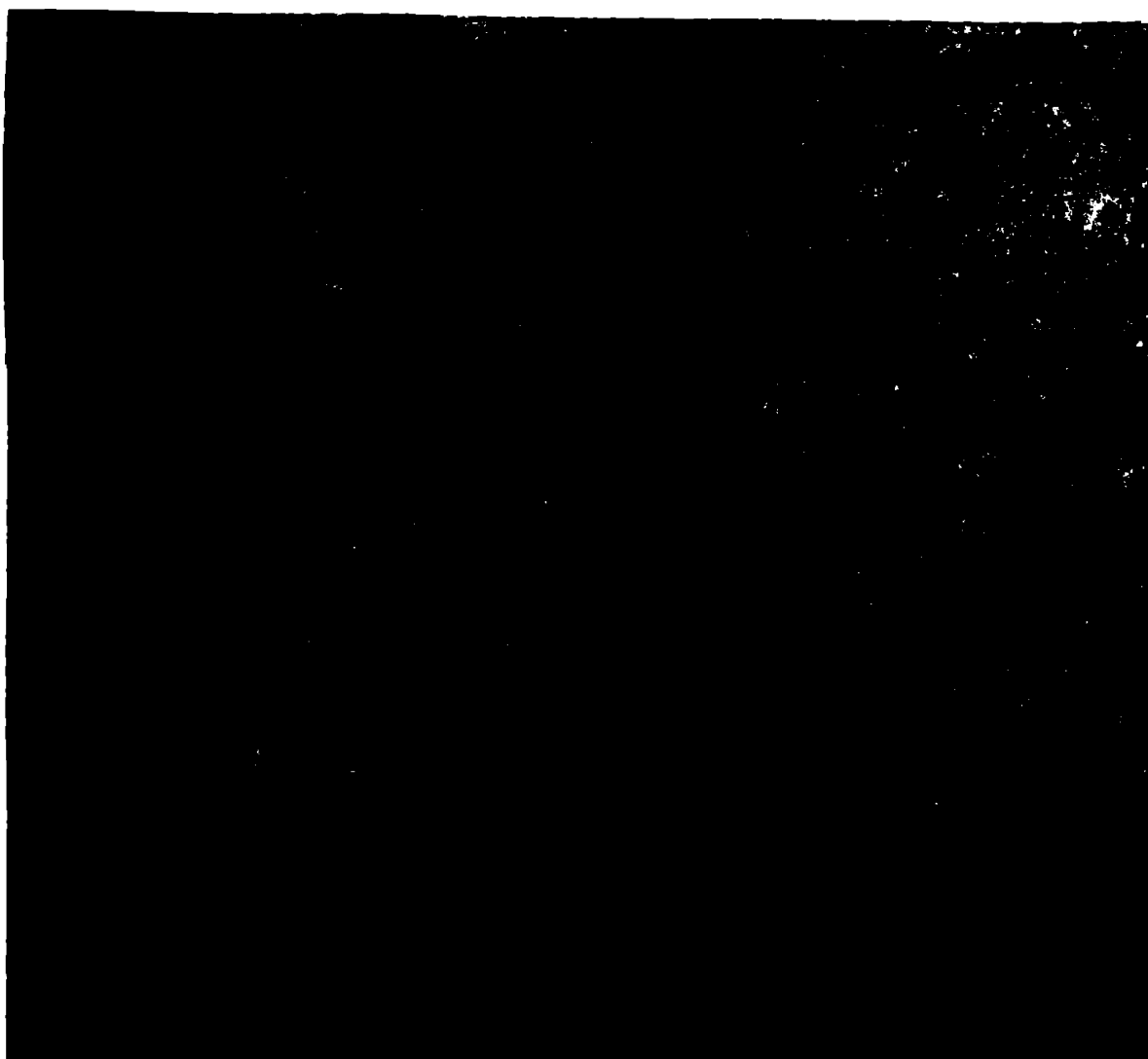


Fig.5.14

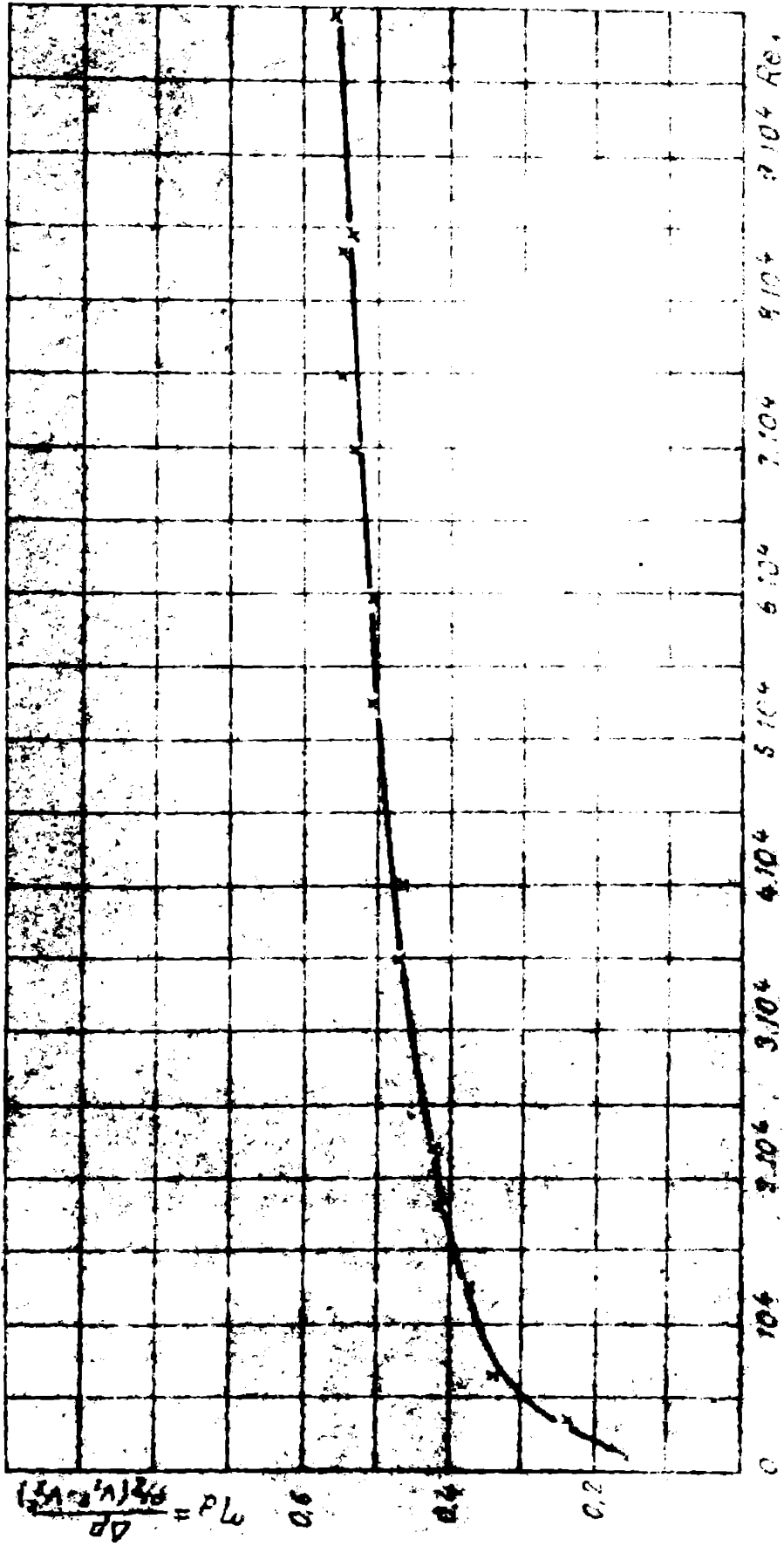
fix, deci fără rotație. Regimul de curgere a acoperit atât zona laminară, cât și cea turbulentă. Punctele experimentale (cele mai probabile) sînt reprezentate în coordonate logaritmice, obținându-se astfel două drepte statistice, pentru regimul laminar și cel turbulent lent, calculate cu metoda celor mai mici pătrate. Pe aceeași diagramă s-au trasat drepte oferite de metoda teoretică pentru cazul unei secțiuni de secțiune circulară, curbă, fără rotație. Analizînd diagrama 5.14 se observă imediat că efectul curburii conduce la o creștere substanțială a valorilor coeficientului de pierdere hidraulică, și că forma de difuzor afectează, deși în mai mică măsură, coeficientul de pierdere λ_e (s-a folosit coeficientul echivalent și Re echivalent pentru a se putea realiza comparația) crescînd datorită curgerii în difuzor. Diferențele relativ mici între cele două cazuri se datoresc în primul rînd geometriei de difuzor blinde pe care o are canalul experimental, cele mai pronunțate diferențe sesizîndu-se la numere Reynolds mici. Pentru o analiză mai profundă și o verificare mai amplă în fig.5.15 s-au reprezentat alături de dependența experimentală $\lambda_e = f(Re_e)$, obținută pentru canalul difu-



Fig.5.15

sor, câteva puncte experimentale măsurate de Adler și White la co-
conducte curbate, remarcându-se o bună concordanță, în sensul că
valorile lui λ_e ale difuzorului se apropie mai mult de puncte-
le experimentale ale lui White ($Pe=0,066$), decât de ale lui Adler
($Pe=0,02$), tocmai datorită efectului de difuzor. Se mai observă in-
fluența curburii ce produce o creștere importantă a coeficientului
de pierdere, față de cazul conductei drepte. În grafic s-a mai tre-
sat dependența $\lambda_1 = f(Re_1)$, respectiv coeficientul de pierdere hid-
raulică raportat la ecotiuinea de la intrare, sesizându-se diferen-
țele ce apar datorită modului diferit de definire a lui λ ; după
cum a rezultat din cercetările experimentale ale lui Johnston
/104/, /133/, pierderile hidraulice în cazul diruzoarelor drepte
cresc odată cu scăderea raportului de formă b/t_1 (fără a conside-
ra desprinderile) și atunci, valorile pentru λ_1 obținute de John-
ston la un $b/t_1=0,1$ sînt mai mari decât cele obținute în prezenta
lucrare, unde $b/t_1=1$, așa cum C_p la $b/t_1=0,1$ este mai mic decât în

Fig 5 16



cazul $b/t_1=1$. Este important de subliniat că în cazul de față spre deosebire de cazul difuzoarelor cu raport de focal foarte mare ($b/t_1=10$), pierderile hidraulice depind semnificativ de numărul Reynolds fapt observabil și din fig. 5.16, unde s-a trasat variația randamentului difuzorului în funcție de numărul Reynolds, pe baza rezultatelor experimentale obținute în lucrarea de față, observându-se că η_d depinde mult mai drastic de Re pentru cazul regimului laminar, în timp ce în cazul curgerii turbulente, variația $\eta_d = f(Re)$, este mai lină, fapt confirmat de cercetările din [104] și [142].

În fig. 5.17 se prezintă datele măsurătorilor, când se introduce ca efect suplimentar rotația canalului difuzor, adică pentru cazul cel mai apropiat de cel întâlnit la turbomăgini. Pentru o

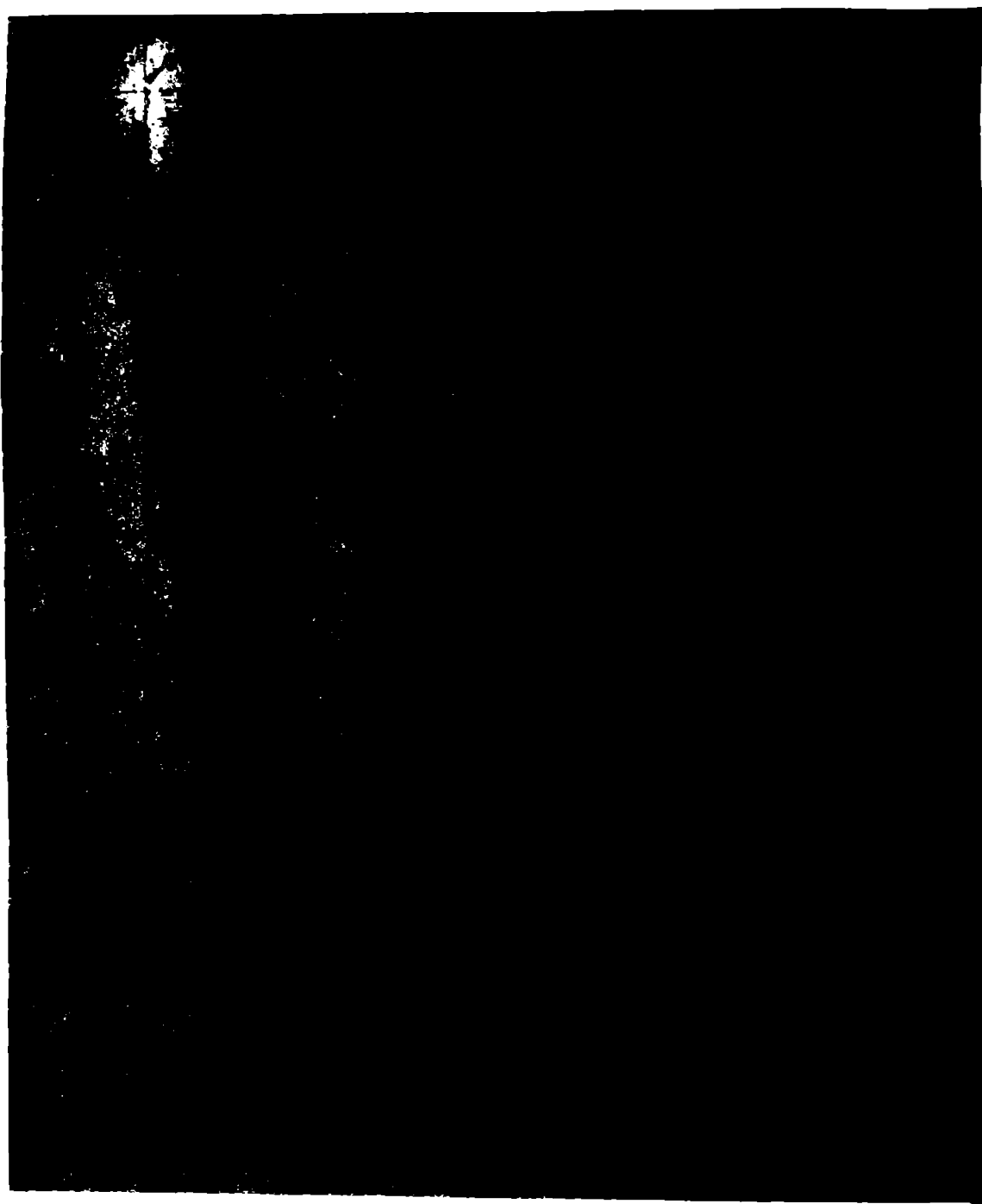


Fig. 5.17

turație de $n = 146 \text{ rot./min.}$, ceea ce corespunde unui număr rotațional

mai echivalent $R_{qe}=2\sigma_0$, s-au prelucrat statistic punctele experimentale, trasându-se cu metoda celor mai mici pătrate dreptele empirice (1) și (2). Comparativ cu rezultatele prezentate în fig.5.14 se remarcă evident o sporire a valorilor lui λ_e datorită rotației. În fig.5.17 s-au reprezentat și dreptele obținute teoretic pentru cazul conductei curbate rotitoare de secțiune circulară constantă și de asemenea câteva puncte experimentale determinate de Ito, în cazul conductei drepte rotitoare /72/. Se observă o bună încadrare a rezultatelor experimentale de la difuzor, sesizându-se influența curburii și fazei de difuzor asupra pierderilor hidraulice, comparativ cu rezultatele lui Ito; în plus se remarcă o creștere a efectului de difuzor sub influența rotației în sensul că, față de cazul conductei de secțiune constantă, valorile lui λ_e sînt mai mari în comparație cu diferența observată la $R_{qe}=0$ (fig.5.14).

Fig.5.18 conține rezultatele experimentale pentru difuzor în cazul rotației canalului de $n=267$ rot./min., alioși $R_{qe}=30$, remarcîndu-

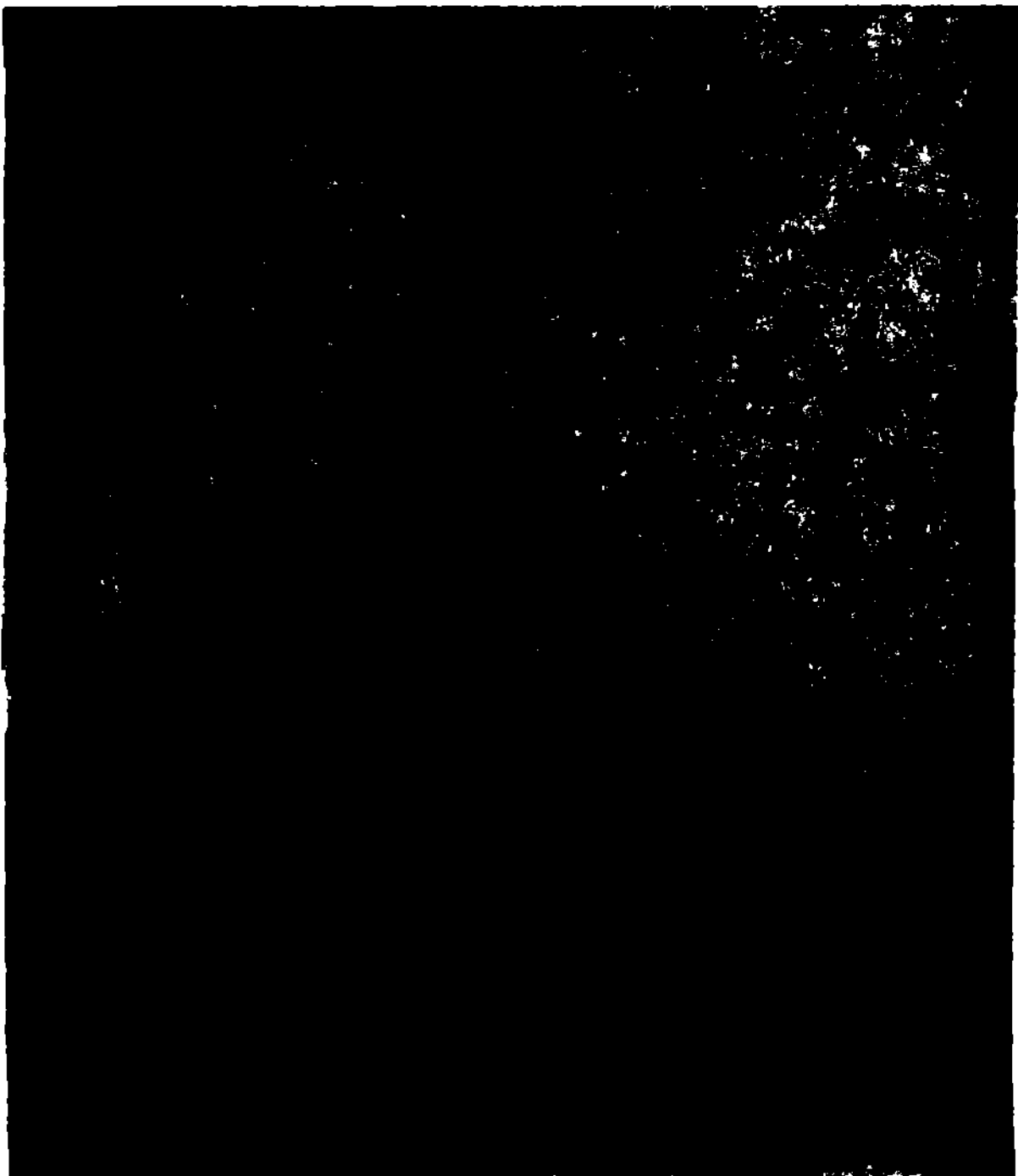


Fig. 5.18

du-se creșterea coeficientului de pierdere hidraulică datorită efectelor rotației. Fig. 5.19 și 5.20 completează imaginea dependenței pierderilor hidraulice de rotația canalului și se observă că odată cu creșterea turației, $n=339$ rot./min. ($R_{qe}=492$), respectiv $n=472$ rot./min. ($R_{qe}=672$), pierderile cresc. În toate trei diagrame s-au trasat comparativ rezultatele teoretice obținute în prezenta lucrare pentru conducta de secțiune circulară constantă și punctele experimentale determinate de Ite, care confirmă efectele curburii și difuzorului asupra pierderilor hidraulice.



Fig. 5.19

În fig. 5.21 s-au prezentat datele experimentale obținute pentru $n=554$ rot./min., $R_{qe}=789$, comparativ cu rezultatele teoretice și cu

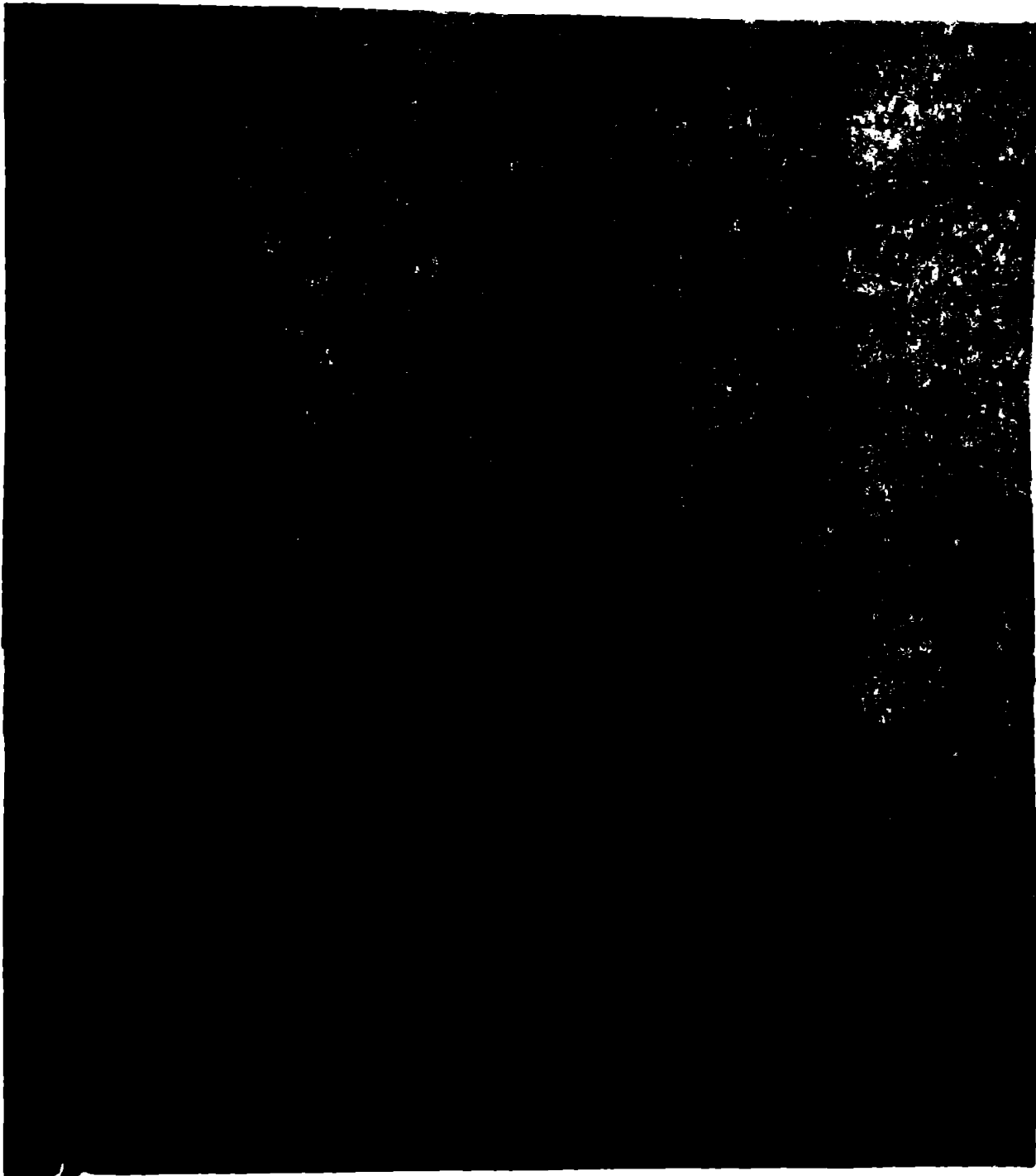


Fig.5.20

cele experimentale ale lui Ito /72/ și Entensner /39/, acesta din urmă efectuând încercări experimentale pe o conductă curbată rotitoare, ceea ce a permis o verificare suplimentară a rezultatelor din prezenta lucrare. Se remarcă creșterea pierderilor hidraulice caracterizată efectului de difuzor. Pentru a avea o vedere de ansamblu a efectelor rotației și de difuzor în diagrama 5.22 s-a reprezentat variația coeficientului de pierdere hidraulică λ_e în funcție de numărul Reynolds Re_g , avînd ca parametru numărul rotațional Rq_g .

Se observă clar creșterea pierderilor hidraulice odată cu creșterea rotației, dar în același timp se remarcă influența mai puternică a rotației la trecerea de la canalul fix la cel rotitor, ca apoi odată cu creșterea valorilor lui Rq_g influența să se diminueze.

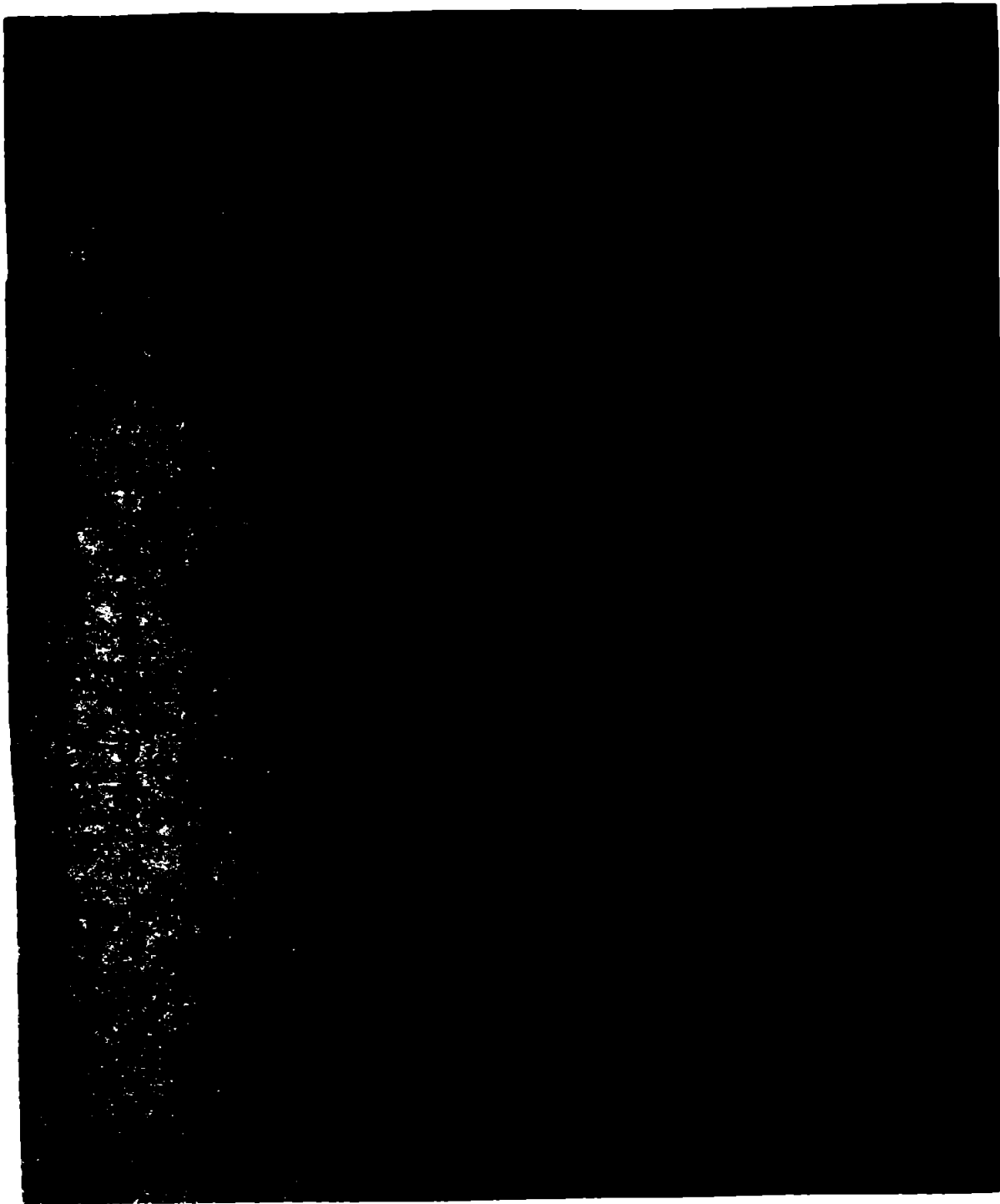


Fig.5.21

In fig.5.23 s-au reprezentat valorile coeficientului de recuperare a presiunii C_p la diferite valori ale turajiei, ramareindu-se ca și in cazul pierderilor hidraulice, o scădere a acestuia (deci a performanțelor difuzorului) odată cu creșterea turajiei canalului.

Datele experimentale ale prezentei lucrări au fost comparate cu cele obținute in /135/, pentru cazul unui difuzor drept rotitor, observându-se și la acestia scăderea lui C_p cu creșterea lui Rq , precum și influența raportului arilor t_2/t_1 asupra valorilor lui C_p . Diferențele ce apar între rezultatele experimentale ale lui Rothe /135/ și ale lucrării de față se datorează așa cum au mai arătat, raportului de formă b/t_1 care la Rothe este de 7, iar in

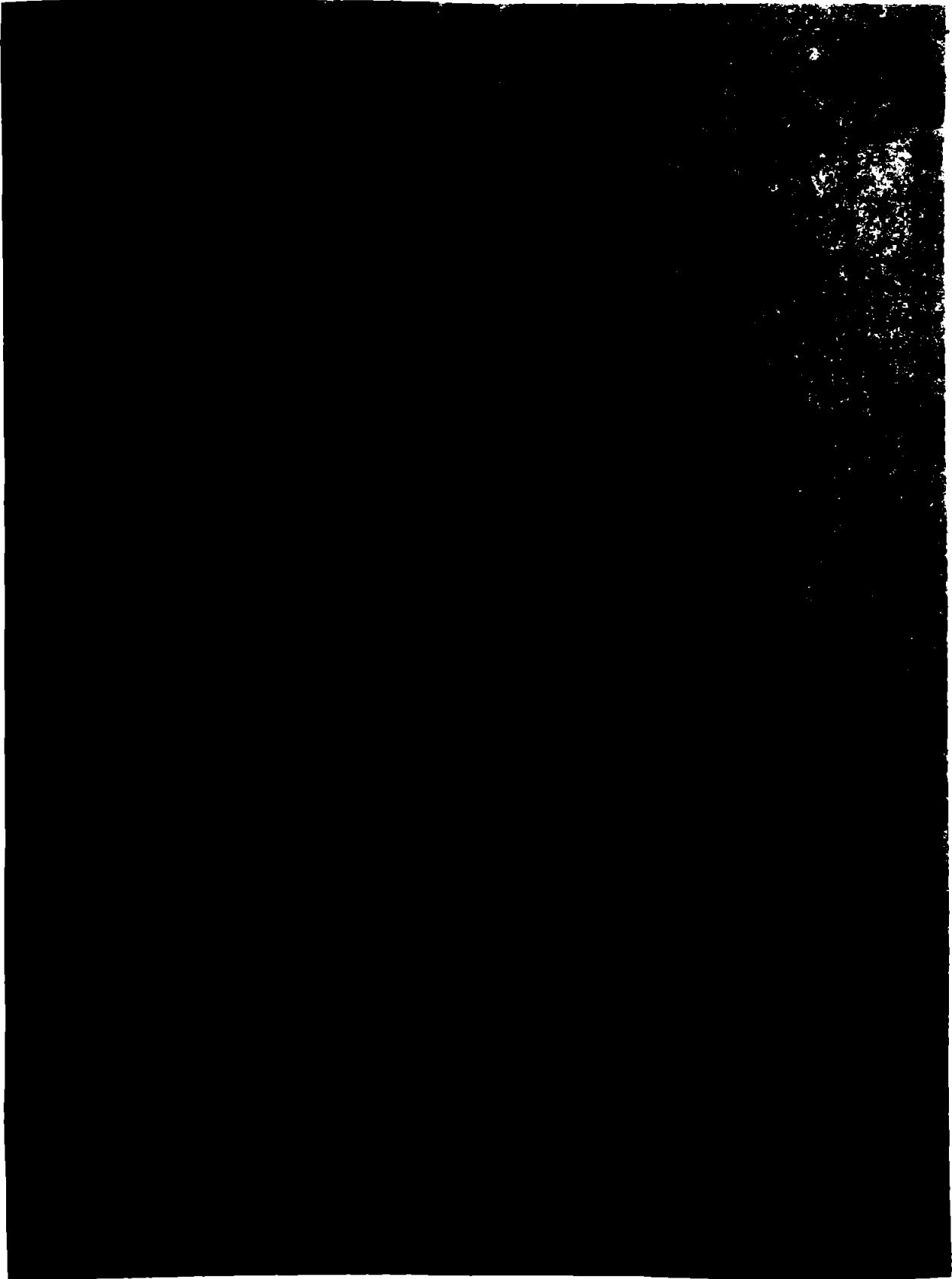


Fig. 5.22

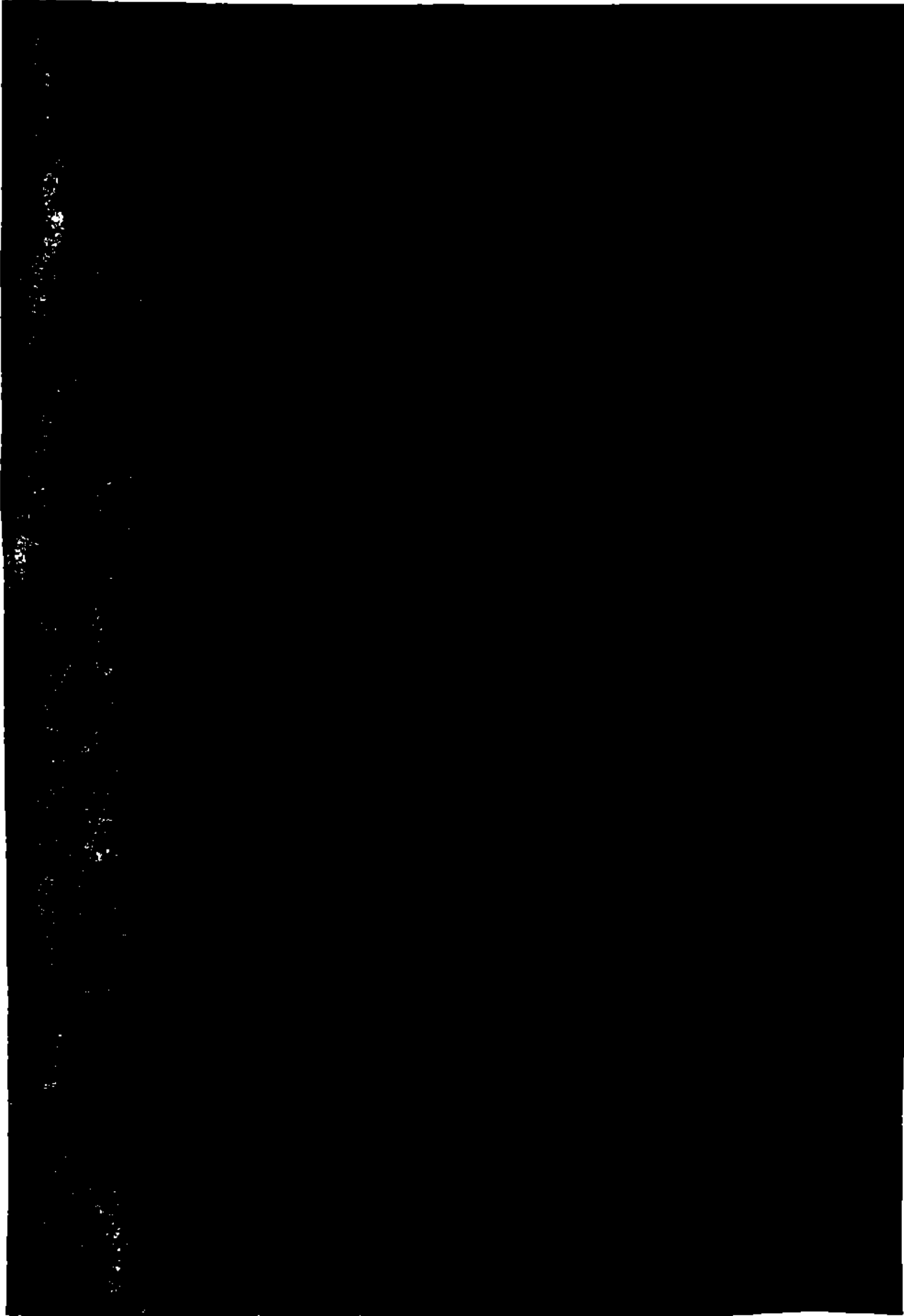


Fig. 5.23

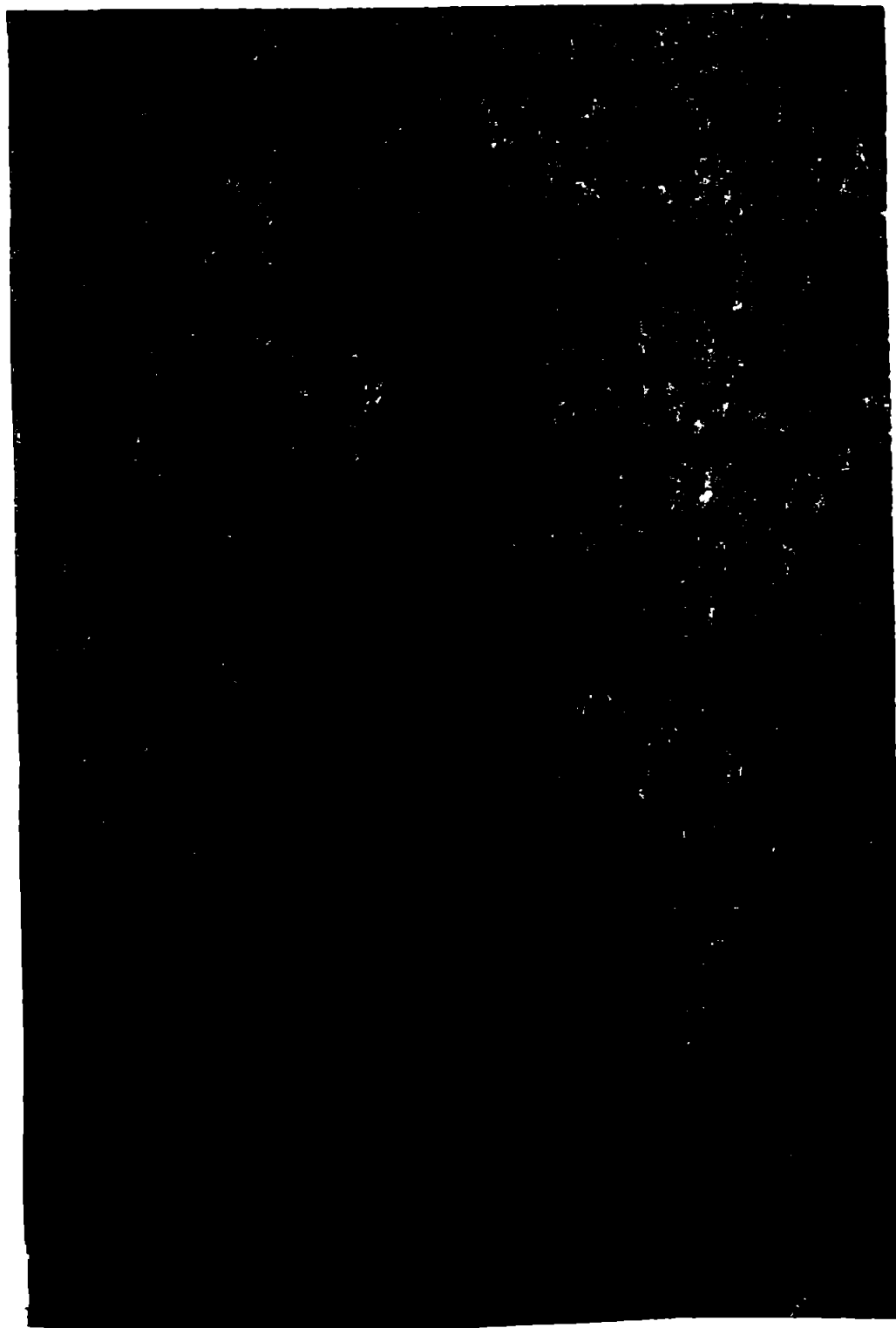
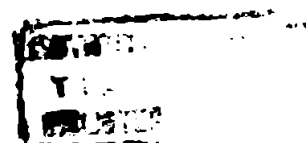


Fig 5.24



prezenta lucrare $h/t_1=1$; prezentând comparativ datele experimentale ale lui Johnston /104/ pentru R_{q0} și $h/t_1=0,1$ se vede imediat că scăderea lui h/t_1 produce scăderea lui C_p și atunci rezultatele actuale se încadrează foarte bine printre valorile din literatura de specialitate. Se observă în plus că C_p crește puternic cu numărul Reynolds în domeniul laminar, fapt confirmat de cercetările lui Johnston /135/, /104/, ca apoi, în regiile turbulente creșterea să se atenueze vizibil. Comparatiile făcute pe tot parcursul prezentării rezultatelor experimentale îndreptățesc concluzia că datele obținute sînt corecte și măsurătorile efectuate sînt corroborate de datele din literatură, ceea ce permite utilizarea lor și a stațiunii de încercări în continuare. Pentru a studia efectele formei de difuzor asupra pierderilor hidraulice s-a calculat un coeficient de pierdere de difuzor echivalent K_e , obținut din:

$$h_{dif} = \lambda_e \frac{L}{D_{he}} \frac{v_e^2}{2g} - \lambda_{ct} \frac{L}{D_{he}} \frac{v_e^2}{2g} = K_e \frac{v_e^2}{2g}$$

deci

$$K_e = \frac{L}{D_{he}} (\lambda_e - \lambda_{ct})$$

unde λ_{ct} este valoarea teoretică pentru conducte de secțiune constantă. În fig. 5.24 s-a reprezentat variația coeficientului K_e în funcție de numărul rotațional R_{q0} , pentru diferite numere Reynolds, remarcîndu-se unele aspecte interesante: în primul rînd se observă că efectele rotației influențează indubitabil pierderile hidraulice datorate formei de difuzor, K_e crescînd monoton cu R_{q0} , indiferent de numărul Reynolds. Influența rotației asupra pierderilor de difuzor este, cum era de așteptat, mai puternică la trecerea de la canalul fix la cel rotitor, ca apoi să se estompeze evident, tînd să realizeze un palier. Creșterea numărului Reynolds conduce la scăderea variației spectaculoase a coeficientului de pierdere de difuzor K_e cu turația, în regiile turbulente efectele rotației fiind mult diminuate. Cercetările experimentale ale lui Fowler /44/, /135/ și Johnston, confirmă pe deplin creșterea pierderilor de difuzor odată cu creșterea rotației și dependența $C_p = f(R_q)$ obținută de Johnston /135/ dovedește tendința de aplatizare ce apare odată cu creșterea turației. Să mai remarcăm că K_e , coeficientul de pierdere de difuzor scade cu creșterea numărului Reynolds mai brusc în cazul regimului laminar, mult mai lent în cazul regimului turbulent.

Datorită modului cum au fost concepute stațiunea și canalul este posibilă inversarea canalului și transformarea curgerii difuzor în curgere confuzor centripetă, adică transformarea modelului de ca-

Fig. 5.25

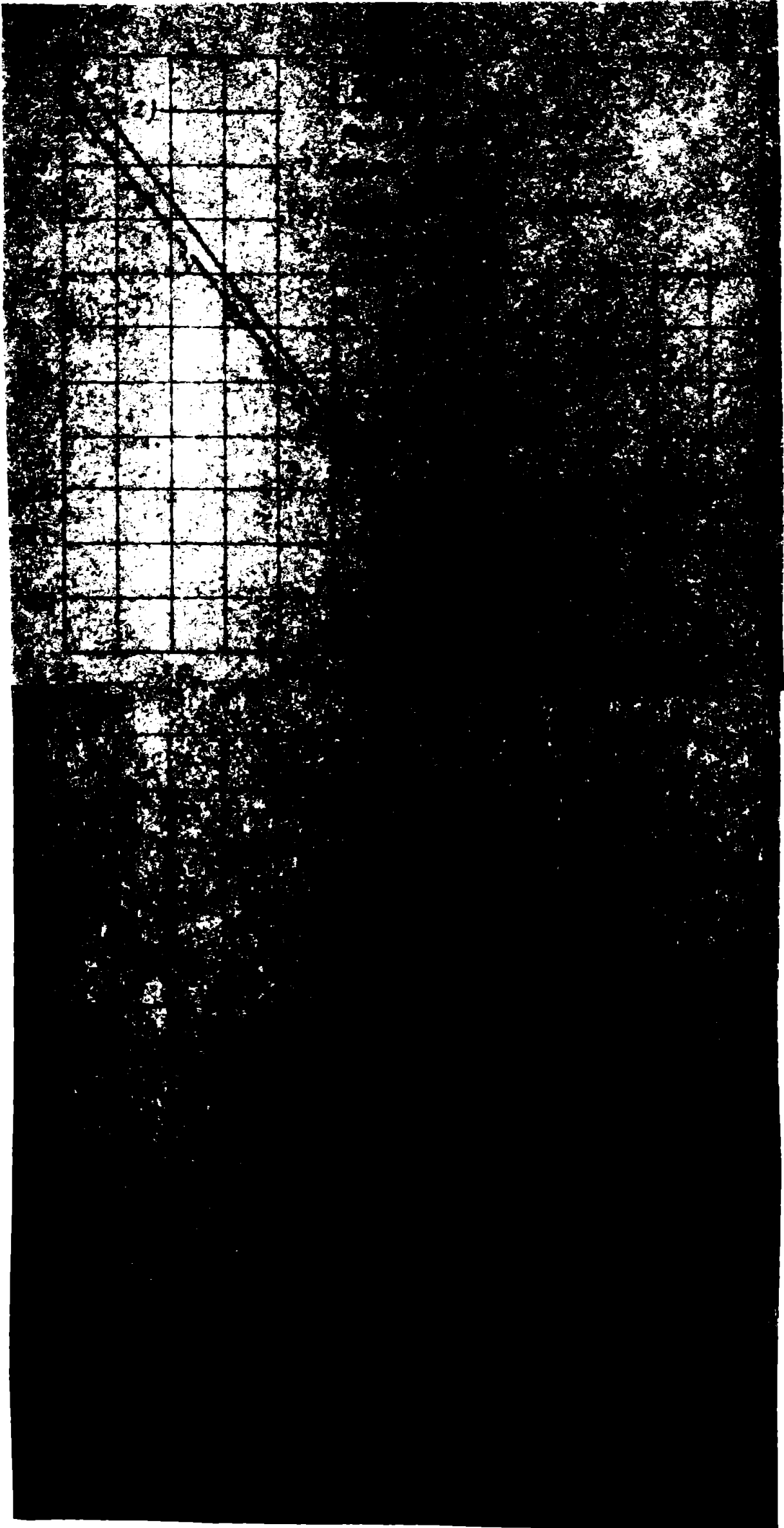
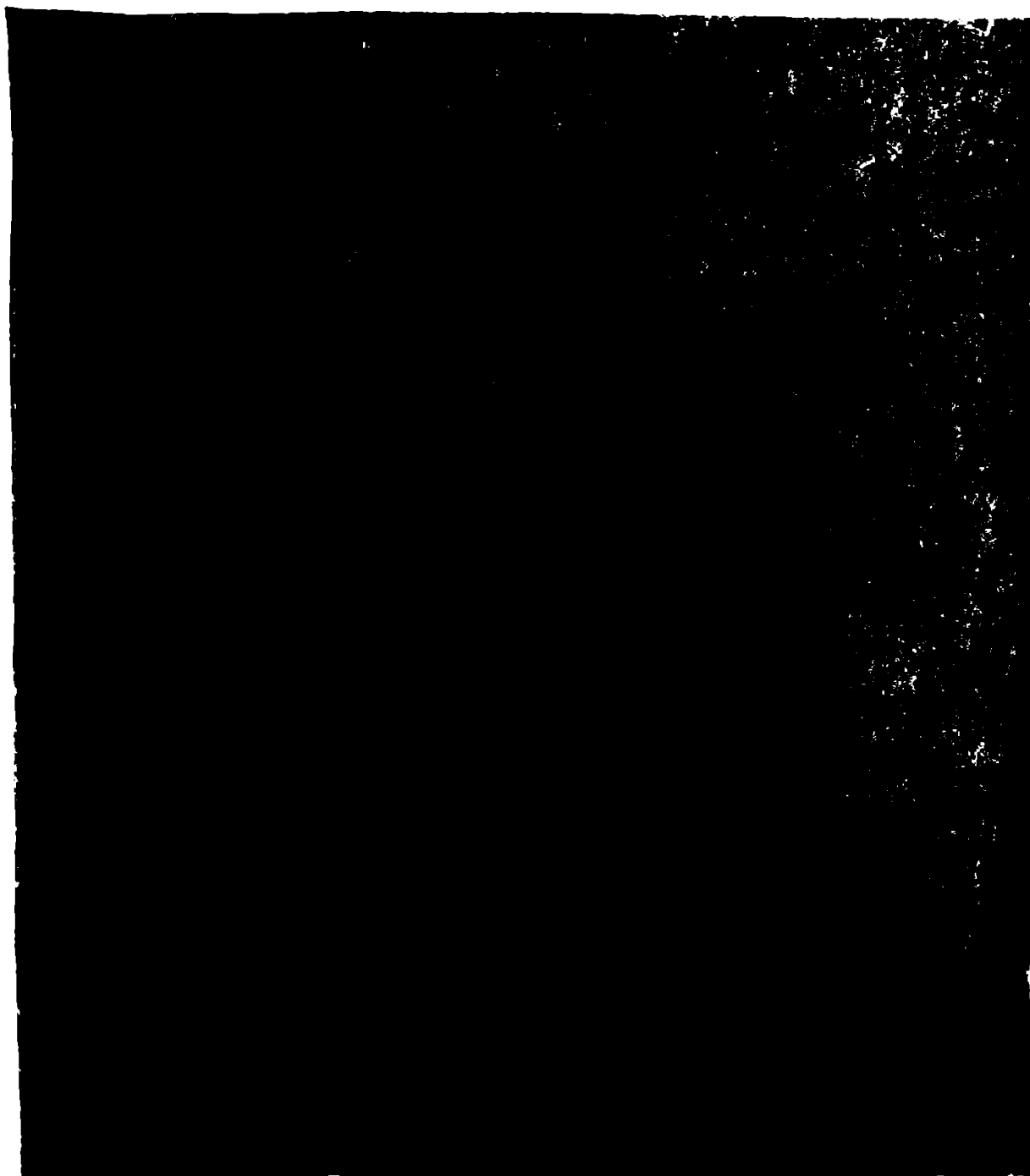


Fig. 5.26



Fig.5.27

nal de pompă centrifugă în model de canal de turbină. Încercările experimentale, realizate în confuzorul rotitor la turațiile $R_{\text{rot}} = 0, 210, 380, 480, 790$, au permis trasarea diagramelor din fig.5.25, 5.26, 5.27, 5.28, 5.29, în care s-au prezentat comparativ datele experimentale de la difuzor și confuzor, precum și cele teoretice din prezenta lucrare. Se remarcă în toate turațiile că, în cazul de față curgerea în confuzorul rotitor este foarte apropiată de curgerea în conducta rotitoare, efectele rotației coplezind pe cele datorate confuzorului, așa cum se remarcă și la Fowler, sesizându-se o ușoară creștere a pierderilor datorită efectului contripet, confirmată în /172/.

**Fig.5.28**

În fig.5.30 și 5.31 se compară datele experimentale obținute pentru difuzor, cu cele oferite de Terao-Ishihara /87/ pentru turbotransformator, remarcându-se o bună apropiere și această comparație, chiar cu titlu calitativ, indică clar posibilitatea utilizării datelor experimentale obținute în prezenta lucrare la calculul pierderilor hidraulice în turbomașini.

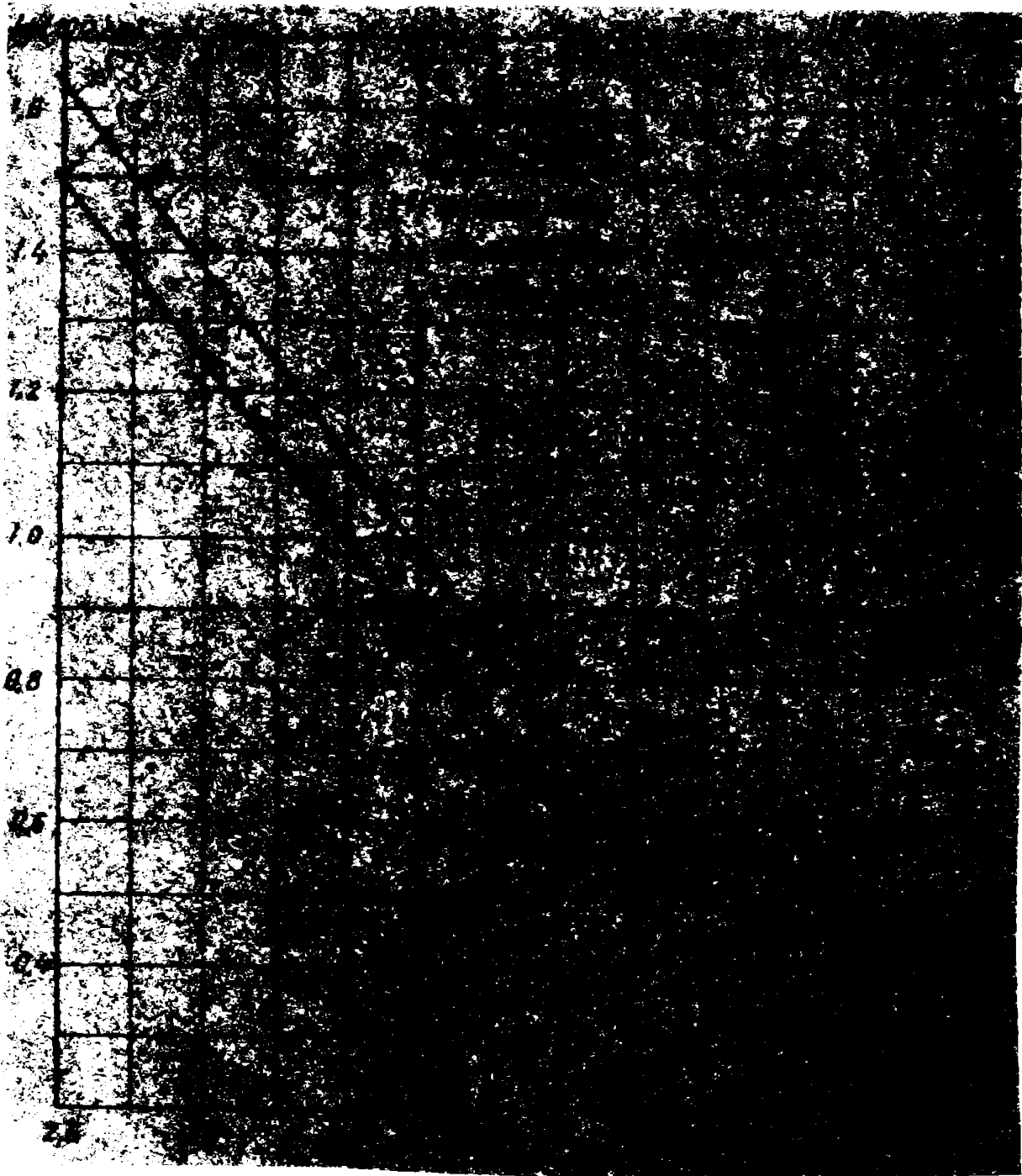


Fig. 5.29



Fig. 5.30

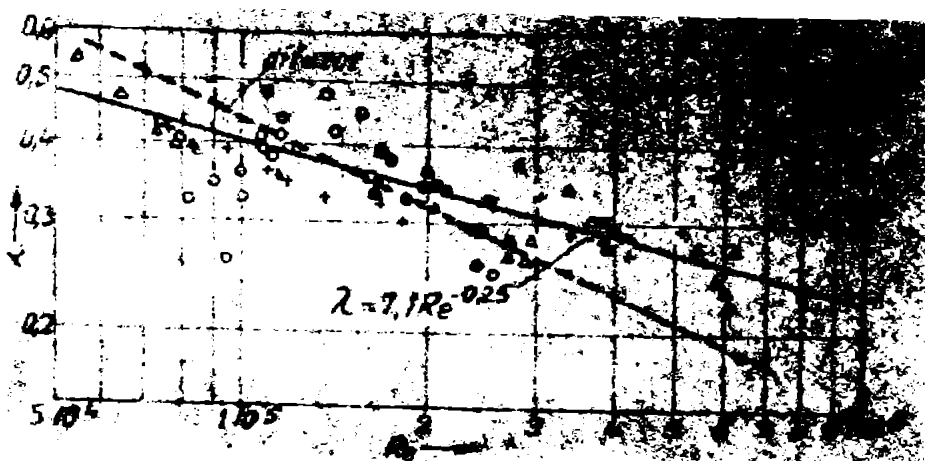
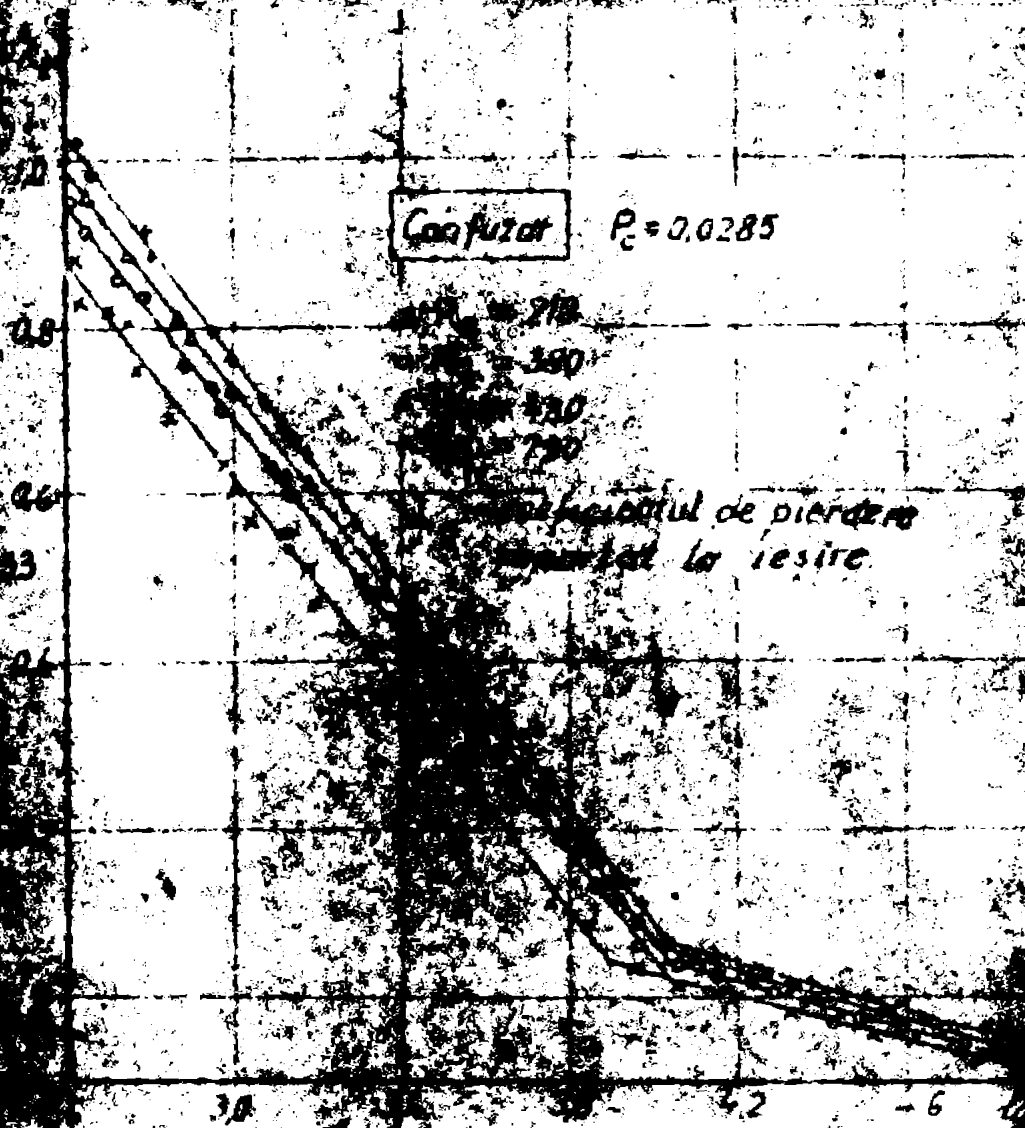
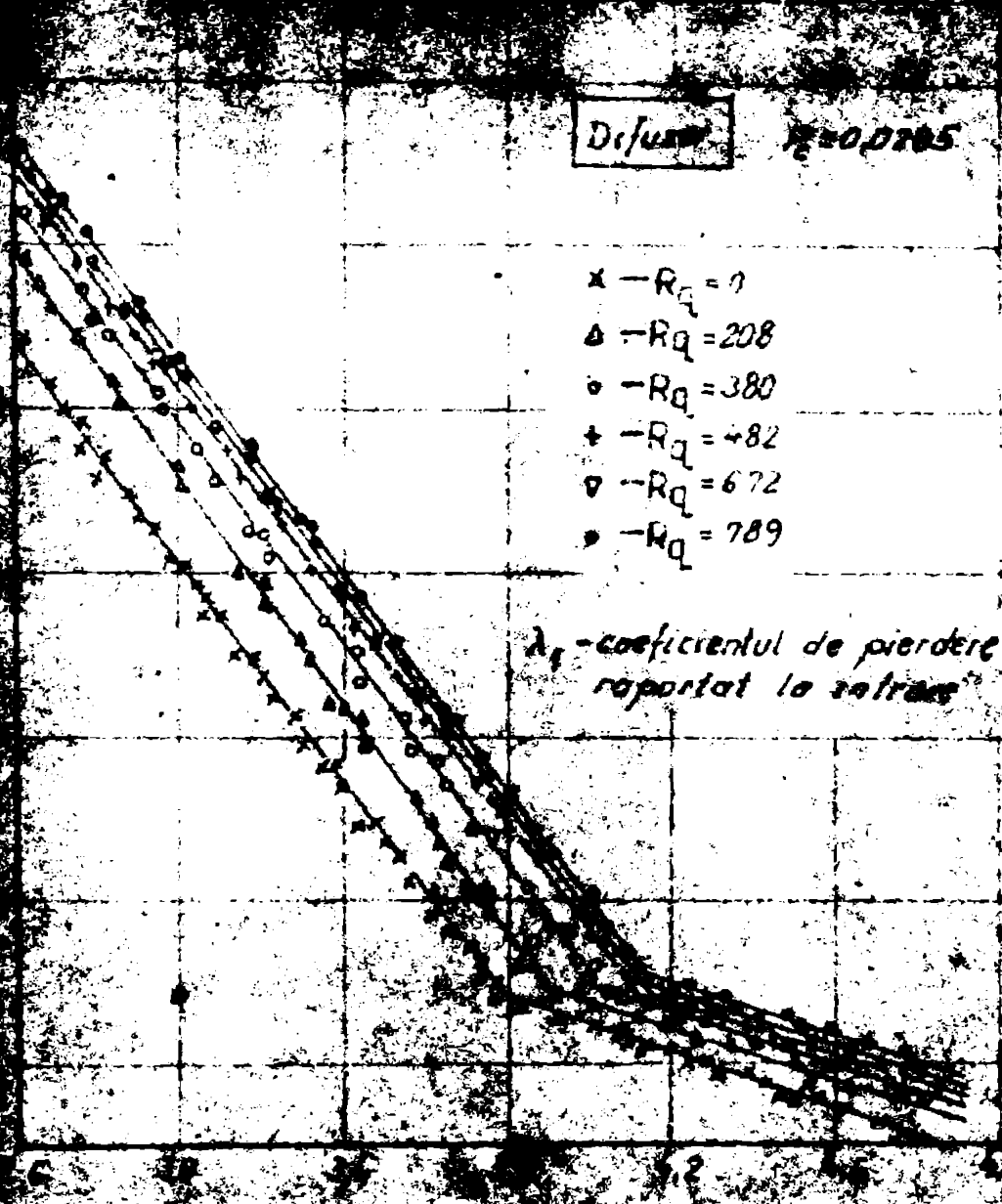


Fig. 5.31



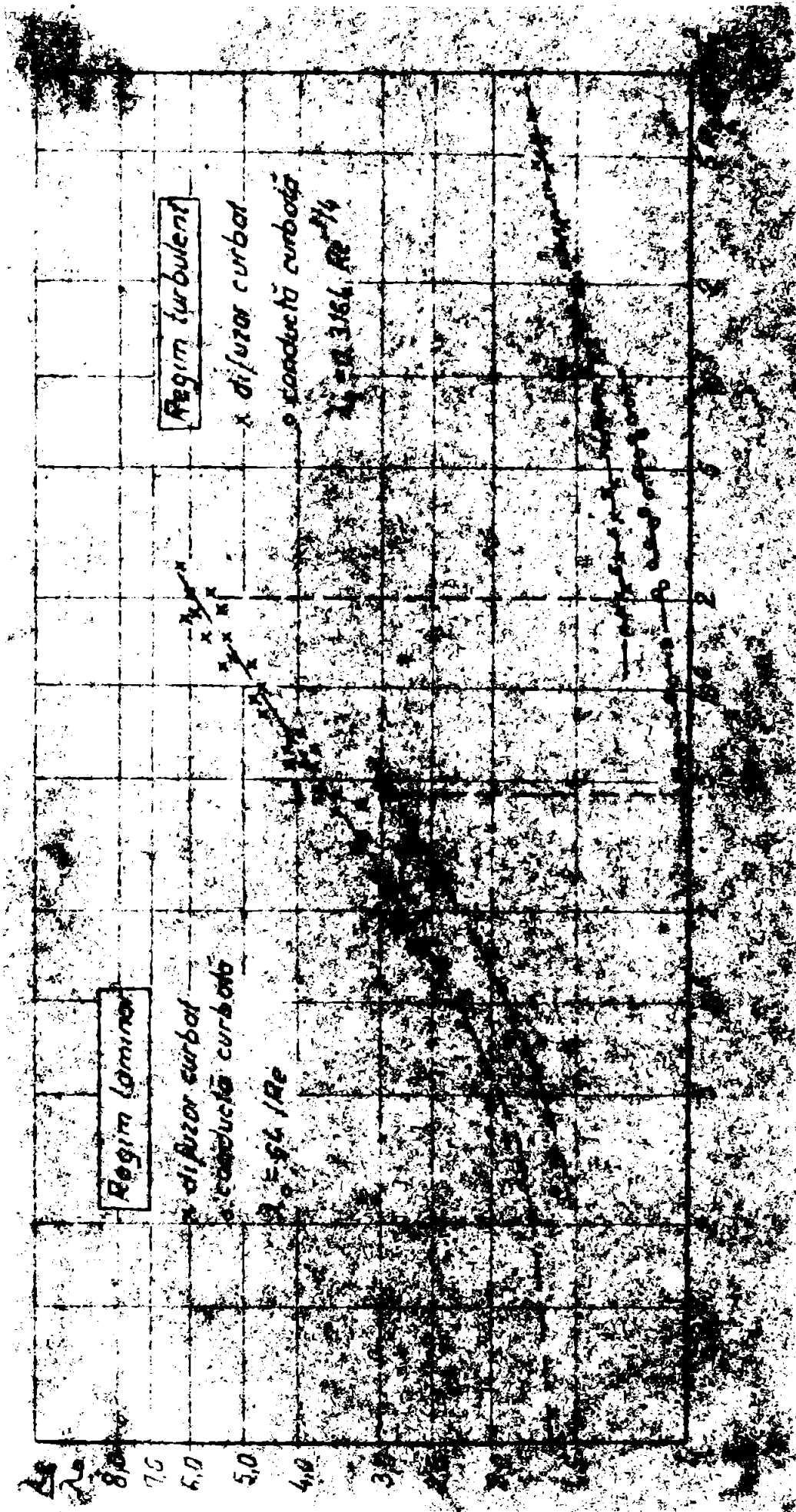


Fig. 5.34

În fig.5.32, pentru difuzor și în fig.5.33 pentru confuzor se prezintă variația coeficientului λ în funcție de numărul Reynolds, evind parametrul numărul rotațional R_2 , remarcându-se creșterea pierderilor odată cu creșterea rotației. Și mai evident apare efectul rotației în fig.5.34, unde se prezintă creșterea odată cu rotația a coeficientului de pierdere λ în raport cu valorile de la conducta staționară dreaptă, evidențiindu-se mărirea pierderilor datorită rotației de 2 pînă la 7 ori, față de cazul clasic al conduitei fixe.

5.4. Apudra aplicabilității rezultatelor la evaluarea pierderilor în mașinile hidraulice.

Cercetările experimentale întreprinse și discutate în acest capitol împreună cu modelul analitic elaborat, au avut ca scop principal, așa cum s-a afirmat încă la începutul lucrării, elucidarea fenomenelor ce apar la curgerea în conducte și canale reticulate în vederea determinării pierderilor hidraulice în turbotransformatoare și, în general în turbomășini, ținînd cont că pierderile din rotorii mașinilor hidraulice, datorate curgerii viscoase în canalele interpaletare, sînt de primă importanță. În literatura de specialitate, evaluarea pierderilor de acest tip, în turbotransformatoare se face într-un mod cu totul simplist și nesatisfăcător, admițîndu-se pentru rotorul de pompă o relație de formă $\lambda_p = \lambda + \Delta\lambda$ /46/, unde λ este coeficientul de pierdere longitudinală de la conductele drepte staționare (de obicei formula lui Blasius), iar $\Delta\lambda$ este o constantă ($\Delta\lambda \cong 0,2$) obținută din analiza rezultatelor calitative ale lui Seelig /143/.

Deficiențele unei astfel de evaluări sînt evidente: în primul rînd se concentrează în mod artificial toate pierderile suplimentare în pompă, apoi se consideră greșit efectele rotației constante, ori așa cum s-a demonstrat în lucrarea de față pierderile hidraulice variază substanțial cu modificarea rotației. De asemenea, nu se recomandă nici însumarea artificială a diferitelor tipuri de pierderi din canal, căci are loc o interacțiune a diverselor efecte.

Rezultatele experimentale și cele teoretice obținute în prezenta lucrare, chiar dacă nu se referă în mod direct la cazul canalelor interpaletare ale rotorilor mașinilor hidraulice, prezintă avantajul că oferă valorile coeficientului de pierdere λ pentru orice rotație și curbură a conduitei, evidențiind și elucidînd cel mai important efect din canalele rotorice, efectul rotației, ceea ce sugerează că aceste rezultate, chiar cu aproximația, vor putea fi folosite la calcul

lui pierderilor hidraulice în canalele rotative, conducând la evaluări mai aproape de realitate decât metodele existente în literatura de specialitate.

Aplicabilitatea rezultatelor lucrării de față depinde însă în primul rând de ușurința cu care proiectantul poate să le utilizeze efectiv, deci sînt necesare relații eficiente și expeditiv care, egîlînd datele experimentale și teoretice prezentate grafic în diagramele de mai sus, să permită un calcul rapid al coeficientului de pierdere λ în funcție de parametrii inguși de situația particulară existentă, și de asemenea, să poată fi exprimate în metoda de proiectare (inclusiv calcul pe calculatorul electronic)

Analizînd rezultatele experimentale obținute la încercarea în stațiune a canalului prismatic difuzor se propune următoarea relație empirică pentru calculul coeficientului de pierdere prin frecare λ :

$$\lambda_1 = 0,303 Re_1^a \cdot 10^{b-2} \quad (5.1)$$

unde :

- pentru $Re_1 < 6000$

$$a = -0,67$$

$$b = 5 \cdot 10^{-4} R_2 + 3,15$$

pentru $R_2 \leq 500$

$$a = -0,68$$

$$b = 2,5 \cdot 10^{-5} R_2 + 3,4$$

pentru $R_2 > 500$

- pentru $Re_1 > 6000$

$$a = -0,182$$

$$b = 8 \cdot 10^{-5} R_2 + 1,3$$

pentru $R_2 \leq 500$

$$b = 1,875 \cdot 10^{-5} R_2 + 1,34$$

pentru $R_2 > 500$

$$R_2 = \frac{(2R)^2}{\sqrt{\quad}}$$

Aceste relații se recomandă pentru calculul pierderilor hidraulice în canalele rotative ale pompelor și turbinelor centrifuge din turbotransformator, precum și pentru cazul pompelor clasice. Se recomandă raportarea relației (5.1) la secțiunea de intrare în difuzor (λ_1, Re_1). Se menționează că relația empirică de mai sus este limitată de condițiile încercărilor efectuate, în sensul că datele experimentale s-au obținut pentru o geometrie particulară constantă a difuzorului rotator ($Pe=0,0285$, unghiul difuzorului constant)

Avînd în vedere aceste limite, relația de mai sus se poate comple

ta cu relațiile obținute cu metode teoretică elaborată în prezenta lucrare.

Astfel, pentru conducte curbate staționare se recomandă:

-pentru regiia laminară:

$$\lambda_{CL} = 2^{1/2} I_1 D^{-1/2} P_c^{1/2} \left(\sqrt{I_3^2 D^{-1} + 4I_2} - I_3 D^{-1/2} \right)^{-3} \quad (5.2)$$

unde :

$$I_1 = 0,384 P_c^2 + 0,3174 P_c + 0,5211$$

$$I_2 = 0,0511 P_c^2 + 0,6741 P_c + 0,56117$$

$$I_3 = -0,7888 P_c^2 + 3,7561 P_c + 2,054$$

$$D = Re P_c^{1/2}, \quad P_c = R/P_e$$

-pentru regiia turbulentă:

$$\lambda_{CT} = 2^{1/5} I_{1T} D^{-1/5} P_c^{1/5} \sqrt[5]{y/0}^{-3/5} \quad (5.3)$$

unde :

$$\sqrt[5]{y/0} = I_{2T} - I_{3T} D^{-1/5} P_c^{-3/10} \sqrt[5]{y/0}^{1/5}$$

$$I_{1T} = 0,0485$$

$$I_{2T} = 0,792$$

$$I_{3T} = 0,11$$

Pentru conducte rotitoare se recomandă:

-in cazul regiunii laminare:

$$\lambda_{RL} = 4,7568 I_1 Re^{-1/2} S^{3/2} (S)_{S, \theta_0}^{-5/4} \quad (5.4)$$

unde :

$$(S)_{S, \theta_0} = A \cdot S \cdot e^{Bs} \quad \text{pentru } S \leq 1,5$$

$$A = 0,58141 - 1,2505 Re^{-1/5}$$

$$B = 0,3421 + 0,4776 Re^{-1/5}$$

$$(S)_{S, \theta_0} = a S^2 - b S + c \quad \text{pentru } S \in (1,5; 6)$$

$$a = 0,71193 - 0,333 Re^{-1/5}$$

$$b = 0,77 + 5,52844 Re^{-1/2}$$

$$c = 0,885 + 5,9 Re^{-1/2}$$

iar

$$I_1 = 0,000164 (S)_{\delta, \theta_0}^3 - 0,00828 (S)_{\delta, \theta_0}^2 + 0,4204 (S)_{\delta, \theta_0} + 0,511$$

$$S = \frac{(2R)g}{\check{V}_y}$$

sau, cind se consideră și curbura, dar $S > P_c$:

$$\lambda_{crl} = 2^{9/4} I_1 Re^{-1/2} S^{3/2} P_c^{-5/4} (R_0)_{\delta, \theta_0}^{-5/4} \quad (5.5)$$

unde :

$$I_1 = 0,167 S + 0,567$$

$$P_c (R_0)_{\delta, \theta_0} = 0,834 S - 0,167$$

-in cazul regimului turbulent:

$$\lambda_{RT} = 2^{21/10} I_{1T} (Re^{-2} S)^{1/10} \check{V}_{y/0}^{-17/10} \quad (5.6)$$

unde :

$$\check{V}_{y/0} = I_{2T} - I_{3T} (S^2 Re)^{-1/5} \check{V}_{y/0}^{-1,5}$$

$$I_{1T} = -0,007792 S^2 + 0,034739 S + 0,03806$$

$$I_{2T} = -0,001538 S^2 + 0,014999 S + 0,79546$$

$$I_{3T} = -0,017857 S^2 + 0,091964 S + 0,1477$$

Deoarece aceste relații teoretice se referă la conducte avind secțiunea constantă, se propune mai jos o relație semiempirică ce îmbină datele teoretice cu cele experimentale și ține cont nu numai de efectele rotației și curburii, dar și de cele datorate formei de difuzor a canalului

$$\lambda_1 = 0,303 \lambda + K_1 \frac{2R}{L} \quad (5.7)$$

unde λ_1 se calculează cu una din relațiile (5.2), (5.3), (5.4), (5.5), (5.6)

$$\text{iar } K_1 = 1,136 R_g Re_1^{-1} + 0,1348 e^{(-10,7 \cdot 10^{-5} Re_1)} \quad \text{pentru } R_g \leq 500$$

$$K_1 = 1,03 \cdot 10^{-5/2} R_g Re_1^{-1/2} + 439,35 Re_1^{-1} + 0,1348 e^{(-19,7 \cdot 10^{-5} Re_1)} \quad \text{pentru } R_g > 500$$

Relația finală (5.7) oglindește cel mai complet curgera din canalele rotative ale turbotransformatoarelor și oferă valorile coeficientului de pierdere λ cu cea mai bună apropiere de fenomenul real din mașină.

În concluzie, se poate evidenția că deși prezenta lucrare conduce la rezultate obținute din studii teoretice și experimentale al curgerii în conducte și canale rotative, aceste rezultate se pot aplica și sînt extrem de utile la calculul pierderilor prin frecare în canalele rotative ale turbomașinilor, permițînd stăpînirea efectelor dominante ale rotației, precum și cele datorate surturi și parțial difuzivității.

CAPITOLUL VI

CONCLUZII.

6.1. Concluzii generale.

6.1.1. Lucrarea de față evidențiază că, la ora actuală, fiind problema energetică se detașează ca o problemă de bază în dezvoltarea economică a țării, studiul căilor de reducere a pierderilor energetice în mașinile hidraulice se impune cu stringență.

6.1.2. Se argumentează și se justifică necesitatea cunoașterii teoretice a bilanțului energetic și a pierderilor hidraulice la turbo-transformatoare, fapt ce-ar permite, pe de o parte îmbunătățirea metodelor de proiectare, iar pe de altă parte ar permite o preselecție a variantelor calculate, economisindu-se timp, manoperă și bani, doar selecția finală realizându-se în laborator.

6.1.3. Se pune în evidență complexitatea curgerii în turbomășini, reliefându-se problema cea mai dificilă, și anume, curgera în canalele rotorice interpaletare, subliniindu-se că, datorită dificultăților teoretice în modelarea fenomenului real din rotor, o cale accesibilă și promițătoare este înlocuirea, ca prim pas, a canalului interpaletar cu o conductă rotitoare.

6.1.4. Studiul pierderilor hidraulice în conducte și canale curbate rotitoare permite obținerea unor rezultate ce pot fi utilizate nu numai la modelarea curgerii în turbotransformatoare, dar și pentru cazul pompelor și turbinelor hidraulice, deci pentru întreg domeniul mașinilor hidraulice.

6.1.5. În lucrarea de față se explică detaliat că însăși curgera în conducte rotitoare este extrem de complicată, efectele rotației, curbării și difuzării fiind multiple și contradictorii, ceea ce impune o modelare teoretică de la simplu la complex. În literatura de specialitate, la ora actuală, există puține modele teoretice adecvate pentru studiul curgerii în conducte rotitoare și ele sînt tributare unor ipoteze simplificatorii, precum rotația foarte mică, sau foarte mare, limitându-le astfel utilitatea la cazuri cu totul particulare.

6.1.6. Considerându-se în primă etapă, regiul de curgere laminar, s-a elaborat un model teoretic pentru conducta curbată rotitoare, rezultatele obținute arătînd clar că pierderile hidraulice cresc odată cu rotația conductei, cresc odată cu curbura conductei, și în cazul cînd ambele efecte se manifestă deodată, pierderile secundare datorate for-

țelor Coriolis și celor centrifuge se compun într-o mișcare secundară rezultantă, ce influențează în mod direct pierderile hidraulice

6.1.7. Relația teoretică obținută pentru pierderile hidraulice din conducta rotitoare sau/și curbată, dovedește că expresia pierderilor hidraulice nu poate fi o simplă însumare a unor efecte locale, cum se procedea de obicei în literatura de specialitate, ci apare o interacțiune de efecte, coeficientul de pierdere λ depinzând atât de regimul de curgere (numărul Reynolds), cât și de rotație (numărul Strouhal) și de curbură (parametrul de curbură Pe) după o lege complicată, dar care rezultă firesc din ecuațiile de mișcare ale curgerii.

6.1.8. Rezultatele teoretice dovedesc, prin distribuțiile de viteze calculate că, chiar la valori foarte mici ale rotației, apariția acestui efect produce imediat o perturbare violentă a câmpului de viteze, datorită mișcării secundare, maximul vitezei deplasându-se la peretele de suprapresiune al conductei, iar odată cu creșterea rotației, maximul scâinzând ca intensitate și apărând o tendință de aplatizare a distribuției de viteze. Un același comportament se remarcă în cazul unei conducte fixe curbate. În cazul conductei rotitoare curbate, când efectele curburii și rotației sînt în opoziție alura distribuției de viteze depinde de raportul S/Pe . Rezultatele teoretice obținute în cazul curgerii în conducte curbate rotitoare arată că, la rotație foarte mică pierderile hidraulice sînt influențate de parametrul de curbură Pe , care dacă este mare ($Pe > S$), produce o mișcare secundară predominantă, ce odată cu creșterea rotației va fi anihilată și supusă de curgerea secundară datorată forțelor Coriolis, pierderile hidraulice modificându-se apoi în special cu rotația.

6.1.9. Se dovedește, prin rezultatele teoretice obținute, că efectele curburii sînt similare cu cele ale rotației, comparația la diferite numere Reynolds a dependențelor $\lambda = f(S)$ și $\lambda = f(Pe)$ arătînd limpede că există o echivalență între acțiunea forțelor centrifuge și cea a forțelor Coriolis. Pierderile hidraulice cresc odată cu creșterea rotației sau a curburii, foarte violent în domeniul valorilor mici pentru S și Pe , urmînd apoi o tendință de aplatizare.

6.1.10. Efectele rotației și curburii se manifestă prin intermediul mișcărilor secundare, acestea modificînd esențial curgerea în conductă, ce va diferi total de cazul curgerii potențiale, ceea ce indică necesitatea absolută a utilizării în modelul teoretic al unei ecuații care să țină cont de curgerea secundară.

6.1.11. În cazul curgerii turbulente în conducte drepte rotitoare

se dovedește că rotația influențează hotărâtor tensiunea turbulentă și se introduce în expresia ei numărul Richardson, ce ține cont de efectele rotației și permite studiul stabilității stratului limită turbulent. Se demonstrează că, față de cazul laminar, în curgerea turbulentă influența rotației asupra pierderilor hidraulice este mai estompată, însoți mecanismul curgerii turbulente provocând o acorturare a efectelor rotației. Rezultatele teoretice arată că grosimea stratului limită depinde de numărul Reynolds și Strouhal, îngroșarea stratului limită producându-se pe partea de suprapresiune a conductei, unde numărul Richardson ia valori negative, ceea ce indică imediat din calcule că turbulența crește și stratul limită este instabil. Pe partea de depresiune s-au obținut valori pozitive pentru numărul Richardson, având loc o tendință de laminarizare și de stabilizare a stratului limită turbulent. De asemenea, s-a dovedit că odată cu creșterea rotației, punctul de tranziție de la regiă laminar la regiă turbulent migrează spre numere Reynolds mai mari.

6.1.12. În cazul curgerii turbulente în conducte curbate staționare se demonstrează că, la fel ca în cazul rotației, curbura produce efecte de creștere a pierderilor hidraulice, de modificare a stabilității stratului limită turbulent (oglinduită de criteriul Richardson) și de migrare a punctului de tranziție de la regiă laminar la regiă turbulent.

6.1.13. Aplicând rezultatele teoretice de la cazul curgerii laminare și turbulente în conducte curbate staționare, la debitometrul cot, se arată că efectele curburii manifestate prin mișcarea secundară ce apare, produc o modificare total diferită a distribuției vitezei față de cazul curgerii potențiale și atunci legea arilor ce a stat la baza modelului teoretic pentru debitometrul cot nu mai este valabilă, calculul prezent cu bune rezultate al coeficientului de debit dovedind acest lucru.

6.1.14. Cercetările experimentale efectuate pentru o conductă curbată rotitoare, de secțiune circulară constantă, verifică și confirmă modelul teoretic prezentat în lucrare, dovedind creșterea pierderilor hidraulice odată cu creșterea rotației.

6.1.15. Rezultatele experimentale obținute la curgerea în canalul difuzor curbat rotitor, de formă prismatică, arată că rotația influențează pierderile de difuzor, acestea crescând odată cu rotația canalului. Pe asemenea, efectul de difuzor produce o creștere a pierderilor hidraulice, în comparație cu conducta de secțiune constantă. Rotația produce o scădere a performanțelor difuzorului, coeficientul de recuperare a presiunii statice C_p , scăzând cu creșterea rotației. Se remarcă încă dependența pierderilor hidraulice din difuzor de numărul

Reynolds, ceea ce sugerează că expresia pierderilor dintr-un canal difuzor trebuie să depindă de interacțiunea mai multor parametri (geometria difuzorului, numărul Reynolds, numărul Strouhal, curbura.)

6.1.16. Rezultatele teoretice și experimentale din prezenta lucrare comparate cu puținele date existente în literatura de specialitate se dovedesc a fi reale și corecte, ceea ce permite utilizarea lor în calcule aproximative de bilanș energetic la turbomașini. Primele calcule efectuate, cu scopul de verificare, la determinarea pierderilor hidraulice în rotorii de turbotransformator și de turbină Francis, au condus la bune rezultate, indicând că se pot extinde cu succes datele obținute în lucrarea de față, la canalele rotorice interpalețare.

6.2. Contribuții originale.

6.2.1. Partea teoretică.

În literatura de specialitate, la ora actuală, există câteva metode analitice de modelare a curgerii în conducte rotitoare, toate bazându-se pe ipoteze simplificatoare, precum rotația conductei foarte mică sau foarte mare, ceea ce desigur facilitează rezolvarea teoretică a problemei, dar conduc la rezultate inacceptabile pentru domeniul de funcționare al mașinilor hidraulice. De asemenea, pentru curgerea turbulentă se preiau relații de la cazul particular al plăcii plane staționare, fără a se ține seama că rotația canalului afectează direct tensiunile turbulente, iar în situația mișcării turbulente din rotorii turbomașinilor, este importantă tocmai cunoașterea efectelor rotației asupra turbulenței însăși. Chiar în cazul conductelor staționare curbate, modelele existente se limitează la situația particulară când raza de curbură are valoare foarte mare.

Ținând cont de aceste deficiențe, în lucrarea de față am elaborat o metodă teoretică unitară și generală, ce construiește pas cu pas și conduce la obținerea unui model analitic inedit, capabil să ofere soluții atât pentru regimul de curgere laminar, cât și pentru cel turbulent, la orice valoare a rotației și indiferent de mărimea razei de curbură. Prin simplă particularizare se pot regăsi cazurile cunoscute din literatură (rotație foarte mică, sau rotație foarte mare, sau curbură foarte mică) și datele experimentale existente pentru aceste cazuri particulare, confirmă foarte bine rezultatele metodei, validându-i astfel funcționalitatea și generalitatea.

Printre contribuțiile originale și de importanță deosebită pot fi menționate următoarele:

6.2.1.1. Stabilirea celei mai generale forme a ecuațiilor de mișcare Navier-Stokes, în raport cu reperul nainertial și expresiei celei mai generale pentru presiunea de mișcare p_2 -specifică curgerii în canale rotitoare-cazurile particulare regăsimu-se în literatura de specialitate.

6.2.1.2. Reducerea expresiei generale pentru coeficientul de pierdere hidraulică λ , în cazul curgerii în conducte rotitoare, expresie care prin rezolvarea ecuațiilor de mișcare și ținând cont de curgerea secundară, s-a concretizat pentru cazul principal al mișcării în conducte curbate rotitoare și pentru cazurile secundare -particularizări ale celui principal-referitoare la conducta dreaptă rotitoare și conducta curbată staționară, atât pentru regiile laminare cât și pentru regiile turbulente. Rezultatele experimentale din literatură, existente pentru cazurile particulare, au confirmat justetea expresiei obținute. Se menționează că relația teoretică este nouă și valabilă pentru orice valoare a rotației și curburii.

6.2.1.3. Deducerea unei relații generale pentru distribuția vitezei axiale în conducta rotitoare curbată, ca și pentru cazurile secundare (conductă dreaptă rotitoare și conductă curbată fixă), punindu-se în evidență efectele complexe ale rotației și curburii asupra curgerii. Atât relația de calcul al coeficientului de pierdere λ , cât și cea pentru determinarea distribuției de viteze, depind, spre deosebire de datele teoretice din literatură, direct de rotația și curbura conductei, fiind capabile să oglindească fidel fenomenul real din conducta rotitoare curbată.

6.2.1.4. Pentru cazul regiunii turbulente, metoda analitică elaborată permite în plus, prin utilizarea unui criteriu de apreciere (numărul Richardson), studiul efectelor rotației și curburii conductei asupra structurii curgerii turbulente.

6.2.2. Partea experimentală.

În literatura de specialitate, majoritatea cercetărilor experimentale sînt legate de curgerea în conducte staționare curbate, dificultățile întâmpinate la efectuarea de măsurători în conducte rotitoare limitînd cercetările în această direcție. Există totuși rezultate experimentale privind pierderile hidraulice în conducte rotitoare, dar ele sînt relativ puține (trei cazuri numai /34/, /58/, /72/) și toate se referă la conducte rotitoare drepte, o singură lucrare /39/ tratează determi-

area experimentală a pierderilor hidraulice în conducte curbate rotitoare, dar canalul este de formă elicoidală cu mai multe spire și deci nu se apropie de cazul curgerii în canalele rotorice ale turbomășinilor.

Analizând rezultatele existente, prezenta lucrare a urmărit determinarea experimentală a pierderilor hidraulice în conducte și canale curbate rotitoare, care să modeleze, chiar și aproximativ, curgerea în rotorii mașinilor hidraulice.

Se evidențiază următoarele elemente originale deosebite:

6.2.2.1. Studiarea, proiectarea și realizarea unei stațiuni experimentale originale, funcționând cu aer, capabilă să cuprindă diverse modele de conducte și canale prismatice curbate rotitoare, de felurite geometrii, realizând gama dorită de numere Reynolds și de numere Strouhal, și permițând printr-o concepție inedită măsurarea presiunii și temperaturii în conducta rotitoare.

6.2.2.2. Proiectarea și realizarea unui conducte curbate rotitoare de secțiune circulară constantă, cu centrul de rotație excentric față de centrul de curbură, modelând curgerea într-un canal rotorice de pompă centrifugă.

6.2.2.3. Proiectarea și realizarea unui canal prismatic difuzor, curbat și rotitor, mai aproape ca formă de canalul rotorice al unei mașini hidraulice, având posibilitatea de-a fi montat în stațiunea de încercări în două moduri: ca un model de canal rotorice de pompă centrifugă și ca un model de canal confuzor rotorice de turbină centripetă.

6.2.2.4. Efectuarea unui număr mare de măsurători în conducta curbată rotitoare de secțiune circulară, obținându-se coeficientul de pierdere hidraulică λ , aceste rezultate experimentale ne întâlnite în literatura de specialitate, confirmând datele teoretice ale modelului analitic elaborat în prezenta lucrare și fiind coroborate de datele experimentale din literatură pentru cazurile particulare.

6.2.2.5. Efectuarea încercărilor experimentale pentru cazul canalului prismatic rotitor, determinându-se pentru prima dată în literatura de specialitate coeficientul de pierdere hidraulică λ , punându-se în evidență influența rotației asupra pierderilor de difuzor, influența difuzorului asupra pierderilor longitudinale, performanțele difuzorului curbat rotitor, diferențele dintre curgerea difuzor și curgerea confuzor. Se constată o bună concordanță cu rezultatele teoretice. De asemenea, se observă marea apropiere dintre fenomenul curgerii prin aceste conducte și canale rotitoare și prin canalele rotorice ale turbotransformatoarelor și în general ale mașinilor hidraulice.

6.3. Perspectivă

Rezultatele bune teoretice și experimentale obținute la studiul pierderilor hidraulice în conducte curbate rătătoare și canalul prismatic difuzor, se pot folosi, cu cuvenita aproximație, la estimarea bilanțului energetic în turboșăini. Cunoașterea cât mai exactă a pierderilor în canalele interpaletare ale rotorilor turboșăinilor presupune însă depășirea acestei șaze și amuză: preluând și asimilând prezentate rezultate se iapune în viitor extinderea și amplificarea atât a metodei teoretice cât și a cercetărilor experimentale, pentru a se obține un model matematic capabil să oglindească curgerea în rotorii mașinilor hidraulice, ținând cont de efectul difuzorului și de problema desprinderilor; de asemenea, studiile experimentale viitoare vor trebui îndreptate cu precădere spre încercarea unui canal ce modelează prin similitudine, un canal rotoric de pompă centrifugă și apoi de turbină Francis.

De peste concluziona că rezultatele promițătoare obținute în prezenta lucrare justifică și susțin continuarea cercetării, existând toate premisele pentru a se elabora în final o metodă generală capabilă să determine pierderile hidraulice direct în turboșăini.

1984

BIBLIOGRAFIE.

1. Adler, H., Strömung in gekrümmten Rohren, Z.Nr. 14, 1934
2. Adler, F., V. Markova, V. Granovsky, The design of experiments to find optimal conditions, Mir, Moscow, 1975
3. Alekopolaki, D. I., Hidrodinamicke preodaci, Zagreb, 1963
4. Anand, A. K., B. Lakshminarayana, An experimental study of Three-Dimensional Turbulent Boundary Layer and Turbulence Characteristics Inside a Turbo-machinery Rotor Passage, ASME, Oct., 1978
5. Anand, A. K., B. Lakshminarayana, Three-Dimensional Turbulent Boundary Layer in a rotating helical channel, ASME, June 1975
6. Ancușă, V., Mecanica fluidelor și mașini hidraulice, IFM Tim, 1960
7. Anton, I., Turbine hidraulice, Ed. Pacla, Timișoara, 1979
8. Anton, I., Contribuții la studiul pierderilor în camera în spirală, Bul. Șt. și Tehn. I. P. Tim., an II, 1956
9. Anton, I., I. Pitero, Considerații asupra curentului principal și apariției curentilor secundari în camerele în spirală, Bul. I. P. Tim., Tom 13/1969
10. Anton, I., Z. Pășag, A. Baya, Analiza pierderilor hidraulice în roto-rii mașinilor reversibile de foarte înaltă cădere, Protocol SBIPIH Regița, 1983
11. Anton, I., Z. Pășag, A. Baya, Protocol SBIPIH Regița, 1985
12. Anton, V., A. Popoviciu, I. Pitero, Hidraulică și mașini hidraulice, S. D. P., București, 1978
13. Ashjase, J., J. P. Johnston, Straight-Walled, Two-Dimensional Diffuser, J. of Fl. Eng., Sept. 1960
14. Assassa, G. M., K. D. Papailiou, An Integral Method of Calculating Turbulent Boundary Layer with Separation, J. of Fl. Eng., 3, 1979
15. Baya, A., Z. Pășag, Motorizarea prin calcul a diagramei universale la turbinele hidraulice tip Francis, Conf. M. H. și Hidrod. Tim., 05
16. Baya, A., Z. Pășag, Influența unor parametri geometrice și funcționali asupra caracteristicilor energetice ale turbinelor radiale tip Francis, Conf. M. H. și Hidrod., Timișoara, Oct. 1985
17. Benedict, R., E. Carlucci, C. Swetz, Flow Losses in Abrupt Enlargements and Contractions, J. Eng. for Power, Jan. 1966
18. Denton, C., D. Boyer, Flow Thru a Rapidly Rotating Conduct of Arbitrary Cross Section, J. of Fl. Mech., 26, 1966
19. Lobak, L., Determination of pressure losses in turbomachines, Budapest, 1972
20. Bobok, E., Wall roughness effects on loss-coefficient of centrifugal pumps, Budapest, 1972
21. Bradshaw, P., An Introduction to Turbulence and its measurement, Pergamon Press, Oxford, 1975
22. Bradshaw, P., Calculation of three-dimensional turbulent boundary layers, J. Fl. Mech., 1971, 46, 3.
23. Bradshaw, P., Effects of Streamline Curvature on Turbulent Flow, ASME, Graf 169
24. Bradshaw, P., Review-Complex Turbulent Flows, ASME, June 1975
25. Bradshaw, P., The analogy between streamline curvature and buoyancy in turbulent shear flow, J. Fl. Mech., 36, 1969
26. Bragg, G., The turbulent boundary layer in a corner, J. Fl. Mech., 260
27. Brown, J., Turbulent Flow of water in Plane Curved Channels of Finite Depth, J. Fl. Mech., 1963
28. Burbank, R., J. Pillo, Curvature Effects in Laminar Boundary Layers, ASME, 1971
29. Carlson, J., J. P. Johnston, S. Inagi, Effects of Wall Shape on Flow Regimes and Performance in Straight, Two-Dimensional Diffusers, J. Basic Eng., March 1967

- Sebeci, T., A. Smith, Analysis of Turbulent Boundary Layers, Acad. P Press, New York, 1974
31. Chandrasekar, H., S. Swamy, Wall Shear Stress Inference for Three Dimensional Turbulent Boundary Layer Velocity Profiles, J. of Appl. Mech., March, 1976
32. Chung-hsiung Li, A Note in Comment on "Analysis of Steady Laminar Flow Through Curved Pipes", J. Fl. Mech., 6, 1976
33. Davis, W., Three-Dimensional Boundary Layer Computation on the Stationary End-Walls of Centrifugal Machinery, ASME, Sept, 1976
34. Bohner, E., Über den Strömungswiderstand in einem rotierenden Kanal, Dissertation, Darmstadt, 1959
35. Dring, R., A Momentum Integral Analysis of the Three-Dimensional Turbine End-Wall Boundary Layer, ASME, Oct. 1971
36. Eaton, J., J.F. Johnston, Turbulent Flow over a Plane Symmetric Sudden Expansion, J. Fl. Eng., Dec. 1979
37. Elbing, G., Messungen der turbulenten Strömung in rotierendem Radialrad einer Arbeitsmaschine, Berlin 1975
38. Ellis, G., A Study of induced Vorticity in centrifugal compressor, J. Eng. for Power, 86, 1, Jan. 1964
39. Aufenauer, G., Plesche H., Druckabfallmessungen in stationär rotierenden, gekrümmten Kanalstrecken mit quadratischen sowie kreisförmigen Durchflussquerschnitt, Forsch. Ing.-Wes. 44, 1978
40. Pachbach, R., Flow Investigation in a Francis turbine, J. Basic Eng., Dec. 1971
41. Pelsch, K., Beitrag zur Berechnung turbulenter Grenzschichten in zweidimensionalen inkompressibler Strömung, Karlsruhe, 1965
42. Ferguson, T., Radial vanelles Diffusers, Budapest, 1969
43. Fischer, G., Parameters of Secondary Flow in Curved Channels, Budapest, 1969
44. Fowler, H., The distribution and stability of flow in a rotating channel, ASME, 1968
45. Galinkina, L., V. Migcenko, Ob odnom metode rasčeta poter energii v gidrotransformatore, Energetika, 6, 1967
46. Gavrilenko, B., I. Sericiastnov, Gidrodinamiceckie zufti i transformatori, Moskva 1969
47. Gesaner, F., A method of measuring Reynolds stresses with a constant-current, hot-wire anemometer, ASME, 1964
48. Gesaner, F., The origin of secondary flow in turbulent flow along a corner, J. Fl. Mech., 58, 1973
49. Giles, V., Fluid mechanics and Hydraulics, Mc Graw-Hill, New York 1962
50. Gorton, C., B. Lakshminarayana, A Method of Measuring the Three-Dimensional Mean Flow and Turbulence Quantities Inside a Rotating Turbo-Machinery Passage, ASME, April, 1976
51. Grianko, L., Issledovanie rabecevo protessa gidrotransformatora s tetrobejnoi turbinoi, Energetika, 3, 1961
52. Gustafson, W., I. Pelsch, Effects of curvature on laminar boundary layers in sink-type flows, J. Basic Eng., Sept. 1969
53. Hah, C., B. Lakshminarayana, Numerical Analysis of Turbulent wakes of Turbomachinery Rotor Blades, J. Fl. Eng., Dec. 1980
54. Halleen, R., J.F. Johnston, W. Reynolds, The Laminar Boundary Layer on a Rotating circular Arc Blade, ASME, J. Basic Eng., 1966
55. Hart, J., Instability and secondary motion in a rotating channel flow, J. Fl. Mech., Jan. 1971
56. Helst, M., Torque Converters or Transmissions, Maghiz, Moskva 1960
57. Hellmann, B., Sekundärströmung in gekrümmten rotierenden Schaufelkanälen einer radialen Arbeitsmaschine, Berlin 1975.
58. Herpfer, B., Theoretische und experimentelle Untersuchungen turbulenter Strömungen in rotierenden Kanälen von Kreisformig und von elliptischen Querschnitten, Karlsruhe 1970
59. Hicks, C., Fundamental concepts in the design of experiments, Holt, New York, 1964
60. Hoover, L., W. Stüber, Experiment on Laminar Flow in a Rotating Curved duct of Rectangular Cross Section, ASME, 3, 1934.

61. Boksan, G., Inverse Design of Optimal Diffusers with Experimental Corroboration, *J. Fl. Eng.*, Dec. 1979
62. Eoerd, J., C. Kitzner, Measured Velocities in a Radial Impeller with Shrouded and Unshrouded Configuration, *J. Eng. Power*, 4, 1975
63. Howard, J., E. Jannasch, Measured and Predicted Secondary Flows in Centrifugal Impeller, *J. Eng. Power*, 1, 1971
64. Howard, J., S. Patankar, A. Bortyniak, Flow Prediction in Rotating Duct using Coriolis-Modified Turbulence Models, *J. Fl. Eng.*, 12, 1980
65. Hughes, W., J. Brighton, Fluid Dynamics, Mc Graw Hill, N.Y., 1967
66. Murzukian, G., Hidrodinamicheskie peredaci, *Kniga 92*, Mogniz 1959
67. Idelcik, I., Gidravlicheskie soprotivlenia, *Knokva*, 1975
68. Ito, H., Friction Factor for Turbulent Flow in Curved Pipes, *Rep. Inst. High Sp. Tech.*, Sendai, Japan, 11, 1959/1960
69. Ito, H., Laminar flow in curved pipes, *ibid.*, 1959
70. Ito, H., On the Pressure Losses for Turbulent Flow in Smooth Pipe Bends, *Rep. Inst. High Sp. Tech.*, Sendai, Japan, 6, 1956
71. Ito, H., T. Totai, Secondary Flow in a Rotating Curved Pipe, *Rep. Inst. High Sp. Tech.*, 29, 1974
72. Ito, H., H. Maabu, Flow in Rotating Straight Pipes of Circular Cross Section, *ASME*, 1971
73. Johnson, H., Secondary Flow in Rotating Bends, *J. Eng. Power*, 4, 1973
74. Johnston, J. F., W. Dean Jr., Losses in Vaned Diffusers of Centrifugal Compressors and Pumps, *J. Eng. Power*, Dec. 1966
75. Johnston, J. F., J. Eide, Turbulent Boundary Layers on Centrifugal Compressor Blades, *ASME*, 1976
76. Johnston, J. F., G. Hallett, D. Lezins, Effects of spanwise rotation on the structure of two-dimensional fully developed turbulent channel flow, *J. Fl. Mech.*, 96, 1978
78. Jones, J., I. Walters, A note on the Motion of a Viscous Liquid in a rotating straight pipe, *ASME*, 1967
81. Jones, W. Jr., An Improvement in the calculation of turbulent friction in rectangular ducts, *J. Fl. Eng.*, 6, 1976
82. Jungblaus, G., Grenzschichtuntersuchung an in rotierender wandlen und bei scherenströmungen, *Göttingen*, 1955
83. Kiser, A., A. McDonald, Effect of Wake-Type Nonuniform Velocity Profiles on First Appreciable Stall in Plane-Hall Diffusers, *J. Fl. Eng.*, 9, 1980
84. Kartev, V., Otkazka poter energii v elementah gidroturbinnoy usformirovannoy po eksperimentalnyam dannym, *Energetika*, 3, 1969
85. Kelleher, A., D. Plentie, R. McKee, An Experimental Study of the Secondary Flow in a Curved Rectangular Channel, *J. Fl. Eng.*, 3, 1980
86. Khalil, I., W. Tabakoff, A. Rased, Losses in Radial Inflow Turbines, *ASME*, 9, 1976
87. Kickbusch, H., *Pfüttinger-Pupplungen und Wälzlager Getriebe*, Springer Verlag, Berlin, 1963
88. Kim, J., S. Line, J. F. Johnston, Investigation of a Reattaching Turbulent Shear Layer, *J. Fl. Eng.*, 9, 1980
89. Kisbacsok, L., Ubur die Änderung des Strömungswiderstandes in schnell rotierenden Rohrleitungen, *Budapest*, 1958
90. Kosrovskii, N., G. Duraistov, Vliyanie nekotorykh geometricheskikh parametrov na poteri v tsentrobajnik kolekah, *Energoma*, 3, 1978
91. Korsin, I., Vtorichnie techenia vo vraschivayushchisya kanalakh radialnykh turboagzin, *Energomashinostroyeniye*, 2, 1978
92. Krüger, H., Berechnung von Druckverlusten in Rohrkrümmern, *aus dem Bauwesen*, 19, 1970
93. Kudriavtsev, L., Proektirovaniye postroika i ispitaniye gidravlicheskiy turbopredaci, *Knokva*, 1947
94. Kuznitskii, S., I. Filev, Primeneniye uravneniya balansa energii na otkazki energeticheskikh harakteristik gidroturbin, *Energ.*, 3, 1977
95. Lakshminarayana, S., An Axial Flow Research Compressor Facility Designed for Flow Measurement in Rotor Passages, *J. Fl. Eng.*, 11, 1980
96. Lakshminarayana, S., A. Jabbari, R. Amaka, Turbulent Boundary Layer on a Rotating Helical Blade, *J. Fl. Mech.*, 91, 3, 1972
97. Litvai, E., I. Fetko, Prediction of the boundary layer on the blades of radial impellers, *Budapest*, 1979.

98. Lohmann, R., An Investigation of the Influence of the Boundary Layers on the Performance of Centrifugal Compressor Impellers, *J. Basic Eng.*, 3, 1966
99. Lohmann, R., S. Markovski, E. Brookman, Swirling Flow Through Annular Diffusers, *J. Fl. Eng.*, 6, 1979
100. Ludwig, H., Die ausgebildete Kanalströmung in einem rotierenden System, *Ing. Archiv*, 19, 1951
101. Lunar, R., Der hydraulische Drehmomentwandler und die hydraulische Kupplung, München, 1961
102. Makarcjuk, V., O vnutrennik protsesah dvuhrektornevo gidrotransformatora, *Vestnik Mashinost.*, 1, 1966
103. McDonald, Lennemann, Howard, Measured and Predicted Flow Near the Exit of Radial-Flow Impeller, *ASME*, 10, 1971
104. McMillan, G., J. P. Johnston, Performance of Low-aspect-Ratio Diffusers with Fully Developed Turbulent Flows, *J. Fl. Eng.*, 9, 1973
105. Milles, A., Esari electrica, S. T., Bucuresti, 1980
106. Minin, V., S. Lvov, Gidroprivodnie mehanizmi, Moskva, 1972
107. Misencke, V., O rasčetu profilnih poter v rešetkah turbomashin, *Energetika*, 2, 1965
108. Misencke, V., Metodi rasčeta profilnih poter v rešetkah turbomashin, Kiev, 1966
109. Moore, J., A Wake and an Eddy in a Rotating Radial-Flow Passage, *ASME*, 7, 1973
110. Moore, J., J. S. Moore, A Calculating Procedure for Three-Dimensional Viscous, Compressible Duct Flow, *ASME*, 1977
111. Majumdar, A., V. Prata, R. Spalding, Numerical Computation of Flow in Rotating Ducts, *ASME*, 3, 1977
112. Murakami, K., T. Kikuyama, E. Asakura, Velocity and Pressure Distributions in the Impeller Passages, *J. Fl. Eng.*, 12, 1980
113. Murakami, K., Mitsukio, Kikuyama, Turbulent Flow in Axially Rotating Pipes, *J. Fl. Eng.*, 3, 1980
114. Nagornic, N., Ispitivanje udarnih poter i koeficijentov udara v lopatkah sistemah gidrotransformatorov, *V. Mashinost.*, 6, 1961
115. Harbut, A., Gidrotransformatori, Mashinostromie, Moskva, 1966
116. Nevry, J., Calculation of characteristics of a hydrodynamic torque converter, Budapest, 1975
117. Orlandi, F., B. Cunsolo, Two-Dimensional Laminar Flow in Elbows, *J. Fl. Eng.*, 6, 1979
118. Over, Rankinurst, The Measurements of Air Flow, Pergamon Press, 66
119. Pache, R., Zur Frage der Entwicklung von Strömungsgrenzschichten in Turbomaschinen, Darmstadt, 1976
120. Parsons, D., P. Hill, Effects of Curvature on Two-Dimensional Diffuser Flow, *J. Fl. Eng.*, 9, 1973
121. Pedly, T., On the instability of viscous flow in a rapidly rotating pipe, *J. Fl. Mech.*, 1969
122. Peligrad, S., Cuplaje hidraulice și convertitoare hidraulice de cuplu, S. T., 1985
123. Peligrad, S., Pierderile hidraulice în circuitul convertitoarelor de cuplu în diferite regimuri de lucru, Teză de doctorat, Timișoara, 1984
124. Pierce, F., The Law of the Wake in Three-Dimensional Turbulent Boundary Layers, *J. Basic Eng.*, 3, 1966
125. Pizner, V., Băran H., Determinarea pierderilor prin frecare în stratal limită pe pelete de turbină, *St. cerc. Mec. Apl.*, 37, 1978
126. Polakki, B., Energeticele karakteristiki krivoosnih diffuzorov, *Mashinostromie*, 1964
127. Popa, C., Mecanica fluidelor și măsurii hidraulice, I. P. T. V. Timișoara, 1980
128. Pröhl, T., A Note on the Leak of Johnston's Triangular Model, *J. Fl. Eng.*, 9, 1976
129. Proskuriakov, G., O rasčetu poter trania v oblopacivanie osevih turbin, *Energomashinost.*, 3, 1968
130. Proskuriakov, G., L. Tartakovskaja, G. Svarzman, Rasčet koeficijentov poter v obodnojeh lopatkah osevih turbin, *Energ.*, 3, 1972

131. Kuzbe, J., A new aspect of efficiency scale effect of a rotor in the light of an experiment, Ljubliana, 1984
132. Raj, Lakshminarayana, Three-dimensional Characteristics of Turbulent wakes behind Rotors, *ASME*, 4, 1976
133. Rensen, L., J.P. Johnston, S. Line, Performance and Design of Straight Diffusers, *J. Basic Eng.*, 3, 1967
134. Reynolds, A., Turbulent Flow in Engineering, London, 1974
135. Roth, F., J.P. Johnston, Effects of System Rotation on the Performance of Two-Dimensional Diffusers, *ASME*, 1976
136. Ruzicki, L., *Relecurarea matematică a detelor experimentale*, B.T., București, 1974
137. Sakurai, Flow Separation and Performance of Decelerating Channels for Compressor Turbochargers, *ASME*, 7, 1975
138. Sarciuk, M., Teresa V., *Hidrvlicke predci te. lozozov*, Moskva, 1943
139. Sattar, A., Secondary Flow and Losses in a Straight Turbine Cascade Budapest, 1979
140. Schilling, A., Berechnung der ausgebildeten Strömung in rotierenden Kanälen mit rechteckigen Querschnitt, *ASME*, 4, 1961
141. Schlichting, H., Boundary-Layer Theory, McGraw-Hill, 1968
142. Schlichting, H., Three-Dimensional Boundary Layer Flow, Lubrovnik 1961
143. Seelig, W., Über das Verhalten der Rotationsturbulenz in rotierenden Kanälen und Röhren, Stockholm, 1956
144. Senoo, Y., K. Tsunaguchi, M. Nishi, A Photographic Study of the Three Dimensional Flow in a Radial Compressor, *J. Eng. Power*, 7, 1966
145. Silbertson, H., Turbulent Flow in Axially Rotating Pipes, *J. Fl. M.* 1960
146. Šerbat, S., *Šest prostanstvennogo pograničnogo sloja vo vrotasjajhah kanalah vntrobojnih kole*, *Energ.* 1, 1973
147. Šerbat, S., V. Valciuk, *Analiz prostanstvennogo pograničnogo sloja v vntrobojnoj kolese turbonajini*, *Energ.* 1, 1977
148. Smith, A., J. Layte, An Experimental Investigation of Flow in Lane Curved Diffusers, *J. Fl. Eng.*, 6, 1979
149. Smith, R., Turbulent Flow over a Plane Symmetric Sudden Expansion *J. Fl. Eng.*, 9, 1979
150. So, R., An Approximate Method for Curved Shear Layers, *J. Fl. Eng.* 76
151. So, R., Entry Flow in Curved Channels, *J. Fl. Eng.*, 6, 1976
152. So, R., G. Mellor, Experiment in convex curvature effects in turbulent boundary layers, *J. Fl. Mech.*, 60, 1973
153. Solberg-Larsen, L., *Über die Strömung in rotierenden Kanälen*, Karlsruhe, 1966
154. Timag, M.A., *Șteia experimentului planificat, aplicată la încercarea turbotransformatoarelor*, *Bl. st. tehn.*, 25, 1930
155. Timag, M.A., *Diagrama universală a transformatoarelor hidrodinamice de tip Föttinger*, *Bl. st. tehn.*, 26, 1931
156. Timag, M.A., *Contribuții la calculul și dimensionarea turbotransformatoarelor de clasă I*, *Bl. st. tehn.*, 28, 1933
157. Timag, M.A., *Optimizarea proiectării turbotransformatoarelor utilizând metoda coeficienților de viteză*, *Știința*, Oct. 1985
158. Timag, M.A., Friction Losses in Rotating Curved Pipes, *București* 1933
159. Timag, M.A., Theoretical Model of Flow in Rotating Straight Pipe *Bl. st. tehn.*, 32, 1934
160. Timag, M.A., Friction Losses in Curved Pipes, in the Case of Laminar Flow, *Bl. st. tehn.*, 29, 1934, *Trg.*
161. Timag, M.A., Friction Losses in Rotating Straight Pipes, *t. cerc. Mec. Ap.*, 29, 3, 1934, București
162. Timag, M.A., Pierderi hidraulice în conducte curbate și rotitoare în cazul regimului laminar, *I.P.T.V. Trg.*, Oct. 1985
163. Timag, M.A., Pierderi hidraulice în conducte rotitoare în cazul curgerii turbulente, *Conf. M.H. și Hidr. Trg.*, Oct. 1985
164. Timag, M.A., Pierderi hidraulice în conducte curbate în cazul regimului turbulent, *Conf. M.H. și Hidr. Trg.*, Oct. 1985

165. Tănas, M.A., Debitometrul cot, Conf. M.H. și Hidr., Tim., 1985
166. Tănas, M.A., I. Anton, Friction Losses in Rotating Curved Pipes for Laminar and Turbulent Flow, Hydroforum 1985, Gdanak
167. Tănas, M.A., I. Anton, Studiul stabilității curgerii turbulente în conducte rotitoare, Conf. M.H. și Hidr., Tim., Oct. 1985
168. Tănas, M.A., I. Anton, I. Potencz, Determinarea experimentală a pierderilor hidraulice în conducte rotitoare curbate, Conf. M.H. și Hidr., Tim., Oct. 1985
169. xxx The computation of Optimum Pressure Recovery in Two-Dimensional Diffusers, J. Fl. Eng., 9, 1979
170. Proskolanski, A., Theorie et pratique des mesures hydrauliques Lamod, Paris, 1963
171. Trudi MHT, Napornoe oviženie gidkosti va vrasčajinsoihala kanalah i gidrotransport, Moskva, 1971
172. Van Eriest, E., On Turbulent Flow near a Wall, J. Aeron. Sc., 1956
173. Vidyanidhi, V., S. S. Sigin, Secondary Flow in a Rotating Channel, J. Math. and Phys. Sc., 1967
174. Enealer, A., J. P. Johnston, An Assessment of Three-Dimensional Turbulent Boundary Layer Prediction Methods, J. Fl. Eng., 1973
175. Hill, G., Modellvorstellung sur Strömung in Radialen Laufrädern, Maschinentechnik, 23, 1974
176. Winato, T., S. Durno, T. Crane, Measurements within Görtler Vortices, J. Fl. Eng., 12, 1979
177. Solf, S., Strömungskuppungen und Stützwandler, Springer V. Berlin, 1962
178. Solf, S., J. P. Johnston, Effects of Nonuniform Inlet Velocity Profiles on Flow Regimes and Performance in Two-Dimensional Diffusers, J. Basic Eng., 9, 1969
179. Zelenin, N., Bilov V., Primenenie STVA dlia rasčeta poter v rešetkah profilei turbomazin, Inergosaz., 8, 1964
180. Anton, I., De Sabata, I., Vekas, L., Potencz, I., Etanșări cu ferrofluid magnetic, Conf. M.H. și Hidrod., Timișoara, 1985.
181. Anton, I., Potencz, I., Suciu, E., Vekas, L., Dynamical Sealing with magnetic fluids, Techninform, Budapest, 1982.
182. Nekrasov, B., Cours d'hydraulique, Ed. Moscou, 1978.
183. Potencz, I., Suciu, E., Vekas, L., Magnetofluidic Transducers for Low Pressure Difference, Mecanique Applique, Tom 30, 2-3, Bucaresti, 1985.
184. Rothe, P., J. P. Johnston, Free Shear Layer Behavior in Rotating Systems, ASME, 3, 1979.